

ผลของการใช้สารรีดิวซิงซ์ต่อคุณลักษณะทางเคมีภัณฑ์
และเนื้อสัมผัสของข้าวเก่า



วิทยานิพนธ์นี้เป็นส่วนหนึ่งของการศึกษาตามหลักสูตรปริญญาวิทยาศาสตร์มหาบัณฑิต
สาขาวิชาเทคโนโลยีอาหาร
มหาวิทยาลัยเทคโนโลยีสุรนารี
ปีการศึกษา 2554

**EFFECTS OF REDUCING AGENTS ON
PHYSICOCHEMICAL AND TEXTURAL PROPERTIES
OF AGED RICE**



**A Thesis Submitted in Partial Fulfillment of the Requirements for
the Degree of Master Science in Food Technology
Suranaree University of Technology
Academic Year 2011**

ผลของการใช้สารรีดิวซิงซ์ต่อคุณลักษณะทางเคมีภัณฑ์ และเนื้อสัมผัสของข้าวเก่า

มหาวิทยาลัยเทคโนโลยีสุรนารี อนุมัติให้นับวิทยานิพนธ์ฉบับนี้เป็นส่วนหนึ่งของการศึกษา
ตามหลักสูตรปริญญามหาบัณฑิต

คณะกรรมการสอบวิทยานิพนธ์

(ผศ. ดร. สุเวทัย นิสานันท์)

ประธานกรรมการ

(ผศ. ดร. สุนันทา ทองทา)

กรรมการ (อาจารย์ที่ปรึกษาวิทยานิพนธ์)

(รศ. ดร. จิรวัฒน์ ยงสวัสดิคุล)

กรรมการ

(ศ. ดร. ชุดกิจ ลิมปีจันงค์)

รองอธิการบดีฝ่ายวิชาการ

(ผศ. ดร. สุเวทัย นิสานันท์)

คณบดีสำนักวิชาเทคโนโลยีการเกษตร

ท่านตะวัน ถนนพลกรัง : ผลของการใช้สารรีดิวชิงซ์ต่อกุณลักษณะทางเคมีกายภาพ และ
เนื้อสัมผัสของข้าวเก่า (EFFECT OF REDUCING AGENTS ON PHYSICOCHEMICAL
AND TEXTURAL PROPERTIES OF AGED RICE) อาจารย์ที่ปรึกษา :

ผู้ช่วยศาสตราจารย์ ดร. สุนันทา ทองทา, 159 หน้า.

การศึกษาการเปลี่ยนแปลงข้าวพันธุ์ข้าวคอกองะลิ 105 ที่ 4 สภาวะการทดลอง คือ ข้าวใหม่ ข้าวเก่า 1 ปี เก็บที่อุณหภูมิห้อง ข้าวเก็บแช่แข็งอายุ 1 ปี และข้าวเร่งเก่าที่อุณหภูมิ 100 องศาเซลเซียส 1 ชั่วโมง พบว่าข้าวใหม่จะนุ่มเมล็ดข้าวสุกภาวะกันดี ต่างจากข้าวเก่าที่แข็ง และร่วน ข้าวแช่แข็งมีเนื้อสัมผัสที่แข็ง และร่วนขึ้น และข้าวเร่งมีลักษณะเมล็ดข้าวเกะกะตัวกันได้น้อยลง เมื่อตรวจสอบ คุณสมบัติการเกิดเพสท์ ด้วยเครื่องวัดความหนืดแบบบรรดาวี พบว่าข้าวเก่า ข้าวแช่แข็ง และข้าวเร่ง มีอุณหภูมิการเกิดเพสท์ (pasting temperature, PT) ที่สูงขึ้น ขณะที่ค่าความหนืดสูงสุด (peak viscosity, PV) และเบรคดาวน์ (breakdown, BD) ต่ำลงเมื่อเปรียบเทียบกับข้าวใหม่ การกำจัด โปรตีนทำให้ค่า PV และ BD เพิ่มขึ้น แต่ค่าเซทแบค (setback, SB) ลดลงในบางตัวอย่าง

การศึกษาคุณสมบัติทางเคมีของโปรตีนในข้าวใหม่ และข้าวเก่า 1 ปี เก็บที่อุณหภูมิห้อง พบว่าการละลายของโปรตีนที่สักด้ายด่างในข้าวเก่ามีค่าต่ำ และสามารถเพิ่มขึ้นเมื่อใช้โซเดียมโคเดซิล ซัลเฟตช่วยในการสักดัย นอกจากนี้ปริมาณพื้นผิวไฮโดรฟิบิก และพันธะไคลซัลไฟด์ที่มีค่ามากกว่า แสดงถึงการเปิดตัว และเกาะกลุ่มกันเพิ่มขึ้น สอดคล้องกับผล SDS-PAGE ที่พบโปรตีนขนาดใหญ่ มากกว่า ซึ่งเชื่อมกันด้วยอันตรกิริยาไฮโดรฟิบิก และพันธะไคลซัลไฟด์ การศึกษาโปรตีนในข้าวสุก พบว่ามีค่าปริมาณพื้นผิวไฮโดรฟิบิกสูงกว่าข้าวสาร แสดงถึงการเปิดตัวของโปรตีนที่เพิ่มมากขึ้น นอกจากนี้ผล SDS-PAGE ของโปรตีนข้าวสุก กับพนแคนโปรกลูทีลินมีความเข้มมากกว่าแคนอื่น และพนแคนโปรตีนใหม่ขนาด 41 กิโลดาตตัน ซึ่งเกิดจากเกาะกลุ่มกันใหม่ของหน่วยย่อยเบต้ากลูทีลิน หลังหุงข้าว การศึกษาในสภาวะที่มีเบต้า-เมอร์แคปโตเอทานอล แสดงให้เห็นว่า แคนโปรกลูทีลินที่เข้มขึ้นที่พบในโปรตีนข้าวสุกนี้เกิดจากการเกาะตัวกันมากขึ้นของหน่วยย่อยแอลฟ่า และเบต้ากลูทีลิน ด้วยพันธะไคลซัลไฟด์ ซึ่งสัมพันธ์กับการเพิ่มขึ้นของปริมาณพันธะไคลซัลไฟด์ในโปรตีนข้าวสุก

การใช้สารละลายรีดิวชิงซ์ 3 ชนิด ได้แก่ โซเดียมซัลไฟฟ์ (SS) กรดแอสคอร์บิก (AA) และ ซีสทีอีน (CYS) โดยเติมในน้ำหุงข้าว ทำให้เนื้อสัมผัสข้าวเก่านุ่มนิ่นใกล้เคียงข้าวใหม่ได้ทุกระดับ ความเข้มข้น คือ 5, 10 และ 15 มิลลิโมลาร์ การใช้บัฟเฟอร์เพื่อควบคุมพีเอชของสารรีดิวชิงซ์ ทั้ง 3 ชนิดให้เท่ากัน ทำให้ข้าวนุ่มนิ่นได้เฉพาะที่ 15 มิลลิโมลาร์ การปรับพีเอชของน้ำที่ใช้หุงข้าว ให้เท่ากับสารรีดิวชิงซ์ ที่ 9.53 และ 3.20 มีผลทำให้ข้าวสุกนุ่มนิ่นได้ สารรีดิวชิงซ์ทั้งหมดทำให้ค่า

PV และ BD เพิ่มขึ้น ขณะที่ค่า SB ต่ำลง การศึกษาการแสวงหาน้ำเก่าในสารละลายน้ำ SS ที่ 5, 10 และ 15 มิลลิโน้มาร์ และได้ไทด์ไอโอดิทอล (DTT) ที่ 5 มิลลิโน้มาร์ โดยแซ่ที่ 37 องศาเซลเซียส 6 ชั่วโมง แล้วอบแห้ง พบการเพิ่มขึ้นของค่า PV และ BD ขณะที่ค่า SB ลดลงทั้ง 3 ระดับความเข้มข้น เช่นเดียวกับการแซ่ด้วย DTT เมื่อนำตัวอย่างที่แซ่ SS ที่ 5 มิลลิโน้มาร์ มาตรวจสอบโดย วัดค่าวัดเนื้อสัมผัสพบว่ามีความนุ่มนวลใกล้เคียงกับข้าวสุกใหม่ และลักษณะการเกาะติดกันของเมล็ดข้าวที่เพิ่มขึ้น นอกจากนี้ยังพบการลดลงของปริมาณพันธะ ไดซัลไฟฟ์ในโปรตีน ซึ่งสัมพันธ์กับปริมาณหมู่ชัลไธดิริลที่เพิ่มขึ้น และผลของ SDS-PAGE ก็พบว่าແฉบูโปรตีนขนาดใหญ่ และແฉบูโปรตูร์ทีลิน ทางลงขณะที่ແฉบูหน่วยอยกลูทีลินเข้มข้น จากผลเหล่านี้แสดงให้เห็นว่าสามารถปรับเปลี่ยนเนื้อสัมผัส ข้าวเก่าให้ใกล้เคียงกับข้าวใหม่ได้ด้วยสารรีดิวซิงซ์



TANTAWAN THANOMPOLKRUNG : EFFECT OF REDUCING
AGENTS ON PHYSICOCHEMICAL AND TEXTURAL PROPERTIES OF
AGED RICE. THESIS ADVISOR : ASST. PROF. SUNANTA TONGTA,
Ph.D., 159 PP.

RICE STORAGE/TEXTURE/RICE PROTEINS/REDUCING AGENTS

The changes to Khaw Dawk Mali 105 rice following four treatments, which used fresh rice, aged rice (a year's storage at room temperature), frozen rice (a year's storage at -20 °C) and aged-accelerated rice (AA, heated at 100 °C for 1 h) were studied. The texture of the cooked fresh rice was tender and sticky while it was different from the cooked aged and frozen rice which were harder and less sticky. The low stickiness also appeared in the AA rice. The pasting property was measured using a Rapid Visco-Analyzer (RVA). When compared with the fresh rice, the pasting temperature (PT) of aged, frozen and AA rice was higher, but the peak viscosity (PV) and breakdown (BD) were lower. After proteins were removed, the PV of some rice samples was higher, but the setback (SB) was lower.

The chemical properties of proteins were studied in the fresh and aged rice. Low solubility of proteins in alkaline solution was found in the aged rice, but it increased when SDS was added in the solution. The protein extract of aged rice showed higher surface hydrophobicity (S_0) and a greater total of disulfide bonds, indicating more protein unfolding and aggregating. This was consistent with the increase in high molecular weight proteins (HWM) on SDS-PAGE which were linked via hydrophobic interactions and disulfide bonds. The cooked rice showed more protein unfolding as observed by higher S_0 . The intensity of proglutelin was greater than that of other bands on

SDS-PAGE. In addition, the new protein band of 41 kDa was found as a result of the aggregation of β -glutelin subunits after cooking. SDS-PAGE study with β -mercaptoethanol (BME) suggested that the higher intensity of the proglutelin band resulted from the aggregation of α -glutelin and β -glutelin via disulfide bonds. This correlated with the increased total disulfide bonds of cooked rice protein.

The reducing agents, sodium sulfite (SS), ascorbic acid (AA) and cysteine (CYS) were added in the cooking water of the aged rice. All of them increased the tenderness of the aged rice at concentrations of 5, 10 and 15 mM. The softer texture of cooked aged rice was also observed in all reducing agents (at 15 mM) with equal pH control using phosphate buffer. In addition, the pH value of cooking water was adjusted to be equal to the pH of the reducing agent solution at 9.50 and 3.20 which also increased the soft texture of the cooked aged rice. All of the reducing agents increased PV and BD, but decreased SB. The soaking of aged rice with SS at 5, 10 and 15 mM and 5 mM dithiothreitol (DTT) at 37 °C for 6 h followed by drying was also investigated. An increase in PV and BD and a decrease in SB were observed at all concentrations of SS and DTT. The cooked aged rice soaked with 5 mM SS showed a soft texture similar to that of the cooked fresh rice and the stickiness also increased. In addition, the disulfide bonds were lower which was related to the greater content of sulphhydryl groups. The SDS-PAGE showed a lower intensity of HMW and proglutelin, but higher glutelin subunits. Based on this study, the addition of reducing agents can be used to change the texture of cooked aged rice to make it more like fresh rice.

School of Food Technology

Student's Signature_____

Academic Year 2011

Advisor's Signature_____

Co-advisor's Signature_____

กิตติกรรมประกาศ

วิทยานิพนธ์นี้สำเร็จลุล่วงด้วยดี ผู้วิจัยขอกราบขอบพระคุณ ผู้ช่วยศาสตราจารย์ ดร.สุนันทา ทองทา อาจารย์ที่ปรึกษาวิทยานิพนธ์ ที่ได้กรุณาให้คำปรึกษา ชี้แนะ ให้ความช่วยเหลือสนับสนุน ในการศึกษาวิจัยอย่างดีเยี่ยม ตลอดจนแนะนำในการเขียน และตรวจแก้ไขวิทยานิพนธ์จนสำเร็จ สมบูรณ์ ครบถ้วนของพระคุณ รองศาสตราจารย์ ดร.จริรัตน์ ยงสวัสดิกุล ที่กรุณาให้คำปรึกษา และ ตรวจแก้ไขวิทยานิพนธ์ ผู้ช่วยศาสตราจารย์ ดร.สุเทพ นิงสา่นนท์ ประธานกรรมการสอบ วิทยานิพนธ์

ขอขอบคุณเจ้าหน้าที่ประจำสูญบัญชีวออุบราชธานี สำหรับการอนุเคราะห์ และตัวอย่าง ที่นำมาใช้บางส่วนในการทำวิจัยครั้งนี้

ขอขอบคุณบุคลากรประจำสูญบัญชีเครื่องมือ 1 และ 3 มหาวิทยาลัยเทคโนโลยีสุรนารีทุกท่าน ที่เสียสละเวลาให้ความช่วยเหลือ และอำนวยความสะดวกในการทำวิจัยด้วยดีตลอดมา ขอขอบคุณ นางสาวนวพร ลากส่งผล และพี่ ๆ เพื่อน ๆ และน้อง ๆ บัณฑิตศึกษาสาขาวิชาเทคโนโลยีอาหาร ที่ทำงานในห้องปฏิบัติการเทคโนโลยีอาหารทุกท่าน ซึ่งเคยให้ความช่วยเหลือ แนะนำ และให้ กำลังใจตลอดระยะเวลาการเรียนและการทำวิทยานิพนธ์ตลอดมา

ท้ายนี้ ขอกราบขอบพระคุณบิดา มารดา ที่ให้การเลี้ยงดูอบรุณ และสนับสนุนส่งเสริม การศึกษาของข้าพเจ้าเป็นอย่างดี จนผู้ทำวิจัยประสบความสำเร็จในทุก ๆ ด้านของชีวิตตลอดมา

ท่านตะวัน ถนนพลดรง

สารบัญ

หน้า

บทคัดย่อ (ภาษาไทย).....	ก
บทคัดย่อ (ภาษาอังกฤษ).....	ก
กิตติกรรมประกาศ.....	ก
สารบัญ.....	ก
สารบัญตาราง.....	ก
สารบัญภาพ.....	ก
บทที่	
1 บทนำ.....	1
1.1 ความสำคัญและที่มาของปัญหาการวิจัย.....	1
1.2 วัตถุประสงค์ของการวิจัย.....	4
1.3 สมมติฐานของการวิจัย.....	5
1.4 ขอบเขตของการวิจัย.....	5
1.5 ประโยชน์ที่คาดว่าจะได้รับ.....	5
1.6 รายการอ้างอิง.....	6
2 บริทัศน์วรรณกรรมและงานวิจัยที่เกี่ยวข้อง.....	8
2.1 โครงสร้างของเมล็ดข้าว.....	8
2.1.1 แกคลบ (hull, husk).....	8
2.1.2 ผลแท้ (true fruit หรือ caryopsis grain).....	9
2.2 องค์ประกอบทางเคมี.....	9
2.2.2 คาร์โบไฮเดรต.....	9
2.2.3 ลิปิด.....	11
2.2.4 โปรตีน.....	11
2.2.5 น้ำ หรือความชื้น.....	16
2.3 คุณภาพข้าว.....	16
2.4 โปรตีนกับคุณภาพข้าว.....	17

สารบัญ (ต่อ)

หน้า

2.5 การเปลี่ยนแปลงคุณภาพข้าวระหว่างเก็บรักษา.....	19
2.6 พันธะเคมี และแรงดึงด้วยที่สำคัญของโปรตีน.....	23
2.7 สารรีดิวชิงซ์ (Reducing agent)	27
2.8 รายการอ้างอิง.....	31
3 การเปลี่ยนแปลงคุณสมบัติของข้าวภายหลังการเก็บรักษา	
3.1 บทคัดย่อ.....	43
3.2 บทนำ.....	43
3.3 วัสดุอุปกรณ์และวิธีดำเนินการวิจัย.....	45
3.3.1 วัสดุทดลอง.....	45
3.3.2 การเตรียมตัวอย่างข้าวสาร.....	45
3.3.3 การเตรียมตัวอย่างเป็นข้าว.....	45
3.3.4 การเตรียมสตาร์ชข้าว.....	46
3.3.5 การวิเคราะห์องค์ประกอบทางเคมี.....	47
3.3.5.1 การวัดความชื้น.....	47
3.3.5.2 การวิเคราะห์ไขมัน.....	47
3.3.5.3 การวิเคราะห์ปริมาณโปรตีน.....	47
3.3.5.4 การวิเคราะห์ปริมาณอะไมโลส.....	48
3.3.6 การปลดปล่อยอะไมโลสอิสระ.....	49
3.3.7 การวิเคราะห์กำลังการพองตัว (swelling power)	50
และปริมาณของแข็งที่ละลายได้ (soluble solid)	50
3.3.8 คุณสมบัติการเกิดเพสท์ (pasting properties)	50
3.3.9 การศึกษาสภาพการเตรียมตัวอย่างข้าวสุก.....	51
3.3.9.1 เวลาในการหุงข้าว (minimum cooking time).....	51
3.3.9.2 การหาปริมาณน้ำที่ใช้ในการหุงข้าว (water uptake ratio).....	51
3.3.9.3 การหุงข้าว.....	52
3.3.9.4 การอัดตัวอย่าง.....	53

สารบัญ (ต่อ)

หน้า

3.3.10 การวัดเนื้อสัมผัสข้าวสุก.....	53
3.3.11 การตรวจสอบคุณสมบัติทางความร้อนของตัวอย่างเบঁงและสตราชข้าว.....	53
3.3.12 การวัดสีของตัวอย่าง.....	54
3.3.13 การวางแผนการทดลองและการวิเคราะห์ทางสถิติ.....	54
3.4 ผลการทดลองและวิจารณ์.....	54
3.4.1 องค์ประกอบทางเคมีของข้าวสาร	54
3.4.2 ลักษณะทางเคมีกายภาพของฟลาრ์ และสตราชข้าว.....	56
ที่สภาวะการทดลองที่ต่างกัน.....	56
3.4.3 คุณสมบัติการเกิดเพสท์ (pasting properties)	62
3.4.4 คุณสมบัติทางความร้อน (Thermal properties)	67
3.4.5 เนื้อสัมผัสข้าวสุก.....	69
3.5 สรุปผลการทดลอง.....	71
3.6 รายการอ้างอิง.....	71
4 คุณสมบัติทางเคมีของโปรตีนในข้าวภายหลังการเก็บรักษา	
4.1 บทคัดย่อ.....	76
4.2 บทนำ.....	76
4.3 วัสดุอุปกรณ์และวิธีดำเนินการวิจัย.....	79
4.3.1 วัสดุทดลอง.....	79
4.3.2 การสกัดโปรตีนในตัวอย่างเบঁงข้าว	79
4.3.3 การหาสภาวะเหมาะสมในการสกัดโปรตีนจากตัวอย่างข้าวสุก.....	80
4.3.4 การสกัดโปรตีนจากตัวอย่างเจลข้าวสุก.....	80
4.3.5 การวิเคราะห์โปรตีนด้วยเทคนิค SDS-PAGE.....	81
4.3.6 การวิเคราะห์ปริมาณพื้นผิวไฮโดรฟอบิกของโปรตีน	82
4.3.7 การวิเคราะห์ปริมาณหมู่ชัลไอดริล (Total SH)	83
และ พันธะ ไดชัลไฟฟ์ (SS)	83

หน้า

4.3.7.1	การวิเคราะห์ปริมาณหมู่ชัลไชค์ริลทั้งหมด (Total SH).....	83
4.3.7.2	การวิเคราะห์ปริมาณหมู่ชัลไชค์ริล.....	84
	และหมู่ไดซัลไฟฟ์ (Total SH + SS).....	84
4.3.8	การวิเคราะห์ทางสถิติ.....	84
4.4	ผลการทดลองและวิจารณ์.....	84
4.4.1	ปริมาณโปรตีนที่ละลายได้จากฟลาร์ว	84
4.4.2	ขนาดโมเลกุลของโปรตีนด้วยอิเล็กโทรโฟรีซิส (SDS-PAGE).....	86
4.4.3	ปริมาณโปรตีนที่ละลายได้จากข้าวสุก.....	93
4.4.4	ขนาดโมเลกุลของโปรตีนในตัวอย่างข้าวสุก.....	95
	ด้วยอิเล็กโทรโฟรีซิส (SDS-PAGE).....	95
4.4.5	ปริมาณพื้นผิวไชโคโรไฟบิก (Surface hydrophobicity).....	99
4.4.6	ปริมาณหมู่ชัลไชค์ริล (SH) และไดซัลไฟฟ์ (SS)	100
4.5	สรุปผลการทดลอง.....	101
4.6	รายการอ้างอิง.....	102
5	ผลของสารรีดิวชิงชี้ต่อกุณสมบัติข้าวเก่า	
5.1	บทคัดย่อ.....	107
5.2	บทนำ.....	108
5.3	วัสดุอุปกรณ์และวิธีดำเนินการวิจัย.....	109
5.3.1	วัสดุทดลอง.....	109
5.3.2	การเตรียมตัวอย่างข้าวสุก.....	109
5.3.3	การวัดเนื้อสัมผัสข้าวสุก.....	111
5.3.4	คุณสมบัติการเกิดเพสท์ของแป้งในสารละลายน้ำรีดิวชิงชี้.....	111
5.3.5	การเตรียมตัวอย่างข้าวเก่าที่ปรับปรุงคุณภาพด้วยสารรีดิวชิงชี้.....	112
5.3.6	การเตรียมสารละลายน้ำรีดิวชิงชี้.....	113
5.3.7	การวิเคราะห์โปรตีนด้วยเทคนิค SDS-PAGE	114
5.3.8	การวิเคราะห์ปริมาณพื้นผิวไชโคโรไฟบิกของโปรตีน	114
5.3.9	ปริมาณหมู่ชัลไชค์ริล (SH) และไดซัลไฟฟ์ (SS)	115

สารบัญ (ต่อ)

หน้า

5.3.9.1	การวิเคราะห์ปริมาณหมู่ชัลไชคริลทั้งหมด (Total SH).....	115
5.3.9.2	การวิเคราะห์ปริมาณหมู่ชัลไชคริล.....	84
	และหมู่ไดซัลไฟฟ์ (Total SH + SS).....	116
5.3.10	การวิเคราะห์ทางสถิติ.....	116
5.4	ผลการทดลองและวิจารณ์.....	117
5.4.1	ผลของสารละลายน้ำรีดิวชิงช์ต่อเนื้อสัมผัสข้าวสุก.....	117
5.4.2	ผลของพีเอชในสารละลายน้ำรีดิวชิงช์ต่อกุณลักษณะเนื้อสัมผัสของข้าวเก่า....	119
5.4.3	ผลของการใช้สารรีดิวชิงช์ต่อกุณสมบัติการเกิดเพสของฟลาร์ว.....	124
5.4.4	การปรับปรุงกุณสมบัติข้าวเก่าด้วยการแช่สารรีดิวชิงช์.....	127
5.4.5	ปริมาณหมู่ชัลไชคริล (SH) และไดซัลไฟฟ์ (SS)	130
5.4.6	ปริมาณพื้นผิวไฮโดรฟอบิก.....	131
5.4.7	การศึกษาขนาดโมเลกุลของโปรดีนด้วย SDS-PAGE.....	132
5.5	สรุปผลการทดลอง.....	135
5.6	รายการอ้างอิง.....	136
6	บทสรุป.....	139
	ภาคผนวก.....	141
	ประวัติผู้เขียน.....	159

สารบัญตาราง

ตารางที่	หน้า
2.1 ร้อยละส่วนประกอบโดยประมาณของส่วนต่าง ๆ ของในเมล็ดข้าว คิดเทียบเป็นน้ำหนักแห้ง.....	9
3.1 ปริมาณตัวอย่าง น้ำ และเวลาที่ใช้ในการหุงข้าว.....	53
3.2 องค์ประกอบทางเคมีของตัวอย่างข้าวสารพันธุ์ข้าวคาดอุ่นมะลิ 105 ในสภาวะการทดลองที่ต่างกัน.....	55
3.3 คุณลักษณะเคมีกายภาพของฟลาร์วและสตาร์ชจาก 4 กลุ่มตัวอย่างทดลอง.....	57
3.4 ค่าสีของเมล็ด ฟลาร์ว และสตาร์ชจาก 4 กลุ่มตัวอย่างทดลอง.....	60
3.5 คุณสมบัติการเกิดเพสท์ของตัวอย่างฟลาร์ว ฟลาร์วที่สกัดไขมันออก และสตาร์ช จากข้าวที่สภาวะการทดลองต่างกัน.....	64
3.6 คุณสมบัติทางความร้อนของฟลาร์วและสตาร์ชจากห้อง 4 กลุ่มตัวอย่างทดลอง.....	68
4.1 การเติมเอนไซม์ในตัวอย่างข้าวสุก.....	81
4.2 การเติมสารละลายสำหรับสกัดโปรตีนในตัวอย่างสารละลายข้าวสุก.....	81
4.3 ปริมาณโปรตีนที่สกัดได้จากฟลาร์วข้าวคาดอุ่นมะลิ 105 ใหม่ และเก่า.....	85
4.4 ปริมาณโปรตีนที่สกัดได้จากข้าวสุกคาดอุ่นมะลิ 105 ใหม่ และเก่า.....	94
4.5 ค่าพื้นผิวความเป็นไอโอดิฟอฟิกของตัวอย่างโปรตีนที่สกัดจากฟลาร์วและข้าวสุก.....	99
4.6 ปริมาณหมู่ชัลไชดรอย และไคชัลไฟด์ของโปรตีนจากฟลาร์ว และตัวอย่างข้าวสุก.....	100
5.1 ปริมาณตัวอย่าง น้ำ และเวลาที่ใช้ในการหุงข้าว.....	111
5.2 พีอชของรีดิวซิงซ์ในตัวทำละลายที่เป็นน้ำกลั่น และฟอสเฟตบัฟเฟอร์.....	120
5.3 คุณสมบัติการเกิดเพสท์ของฟลาร์วในรีดิวซิงซ์เข้มข้น 5 มิลลิโมลาร์	125
5.4 คุณสมบัติการเกิดเพสท์ของฟลาร์วในที่ใช้น้ำกลั่นปรับพีอชเลียนแบบสารรีดิวซิงซ์.....	125
5.5 คุณสมบัติการเกิดเพสท์ของฟลาร์วในสารรีดิวซิงซ์เข้มข้น 5 มิลลิโมลาร์ ในสารละลายฟอสเฟตบัฟเฟอร์เข้มข้น 50 มิลลิโมลาร์.....	126
5.6 คุณสมบัติการเกิดเพสท์ในฟลาร์วที่เตรียมจากข้าวแช่สารรีดิวซิงซ์ ที่อุณหภูมิ 37 องศาเซลเซียส เวลา 6 ชั่วโมง.....	128

สารบัญตาราง (ต่อ)

ตารางที่	หน้า
5.7 ปริมาณหมุนซัลไฮดิวล์ และ ไดซัลไฟเด็กของตัวอย่างเบื้องต้น	
หลังผ่านการแข่ด้วยสารละลายวีคลิวชิงซ์ ที่ 37 องศาเซลเซียส เวลา 6 ชั่วโมง.....	130
5.8 ปริมาณพื้นผิวไฮโดรฟอฟิกของโปรตีนในตัวอย่างฟลาร์วข้าว	
ที่ผ่านการแข่ด้วยโซเดียมซัลไฟท์ ที่อุณหภูมิ 37 องศาเซลเซียสเป็นเวลา 6 ชั่วโมง.....	131



สารบัญภาพ

ภาพที่	หน้า
2.1 โครงสร้างเม็ดข้าว.....	8
2.2 โครงสร้างของอะไนโอลสและอะไนโอลเพคติน.....	10
2.3 ปฏิกิริยาการเกิดพันธะไดซัลไฟฟ์.....	26
2.4 ปฏิกิริยารีดิกชันของโปรตีนด้วยสารรีดิวชิงช์.....	29
2.5 สูตรโครงสร้างของสารรีดิวชิงช์.....	30
3.1 เส้นกราฟความหนืดของตัวอย่างฟลาร์วข้าวที่สภาวะการเก็บต่าง ๆ	65
3.2 ความหนืดของตัวอย่างฟลาร์ว และฟลาร์วที่กำจัดไขมัน และสารซึ่งข้าวที่สภาวะการเก็บต่าง ๆ กัน.....	66
3.3 คุณลักษณะเนื้อสัมผัสด้านความแข็ง และความเหนียวติดของเม็ดข้าวสุก.....	70
4.1 ผลการแยกขนาดโปรตีนด้วยวิธี SDS-PAGE ของสารละลายโปรตีน จากข้าวขาวคอกมะลิ105 ภายใต้สภาวะที่ไม่มีเบต้า-เมอแแคปトイเอಥานอล (BME) ปริมาณอะคริลามีด์ ร้อยละ 12.5.....	87
4.2 ผลการแยกขนาดโปรตีนด้วยวิธี SDS-PAGE ของสารละลายโปรตีน จากข้าวขาวคอกมะลิ105 ภายใต้สภาวะที่มีเบต้า-เมอแแคปトイเอಥานอล (BME) ปริมาณอะคริลามีด์ ร้อยละ 12.5	87
4.3 ผลการแยกขนาดโปรตีนด้วยวิธี SDS-PAGE ของสารละลายโปรตีน จากข้าวขาวคอกมะลิ105 ภายใต้สภาวะที่ไม่มีเบต้า-เมอแแคปトイเอಥานอล (BME) ปริมาณอะคริลามีด์ ร้อยละ 7.5.....	88
4.4 ผลการแยกขนาดโปรตีนด้วยวิธี SDS-PAGE ของสารละลายโปรตีน จากข้าวขาวคอกมะลิ105 ภายใต้สภาวะที่มีเบต้า-เมอแแคปトイเอಥานอล (BME) ปริมาณอะคริลามีด์ ร้อยละ 7.5	88
4.5 ผลการแยกขนาดโปรตีนด้วยวิธี SDS-PAGE ของสารละลายโปรตีน จากข้าวขาวคอกมะลิ105 ภายใต้สภาวะที่ไม่มีเบต้า-เมอแแคปトイเอಥานอล (BME) ปริมาณอะคริลามีด์ ร้อยละ 15.....	89

สารบัญภาพ (ต่อ)

ภาพที่	หน้า
4.6 ผลการแยกขนาดโปรตีนด้วยวิธี SDS-PAGE ของสารละลายโปรตีน จากข้าวขาวคอกมะลิ 105 ภายใต้สภาวะที่มีเบต้า-เมอแคปโตเอಥานอล (BME) ปริมาณอะคริลามีด์ ร้อยละ 15	89
4.7 ผลการแยกขนาดโปรตีนด้วยวิธี SDS-PAGE ของสารละลายโปรตีน จากข้าวขาวคอกมะลิ 105 สุกภายใต้สภาวะที่ไม่มีเบต้า-เมอแคปโตเอಥานอล (BME) ปริมาณอะคริลามีด์ ร้อยละ 12.5.....	96
4.8 ผลการแยกขนาดโปรตีนด้วยวิธี SDS-PAGE ของสารละลายโปรตีน จากข้าวขาวคอกมะลิ 105 สุก ภายใต้สภาวะที่มีเบต้า-เมอแคปโตเอಥานอล (BME) ปริมาณอะคริลามีด์ ร้อยละ 12.5	97
4.9 ผลการแยกขนาดโปรตีนด้วยวิธี SDS-PAGE ของสารละลายโปรตีน จากข้าวขาวคอกมะลิ 105 สุกภายใต้สภาวะที่ไม่มีเบต้า-เมอแคปโตเอಥานอล (BME) ปริมาณอะคริลามีด์ ร้อยละ 15.....	97
4.10 ผลการแยกขนาดโปรตีนด้วยวิธี SDS-PAGE ของสารละลายโปรตีน จากข้าวขาวคอกมะลิ 105 ภายใต้สภาวะที่มีเบต้า-เมอแคปโตเอಥานอล (BME) ปริมาณอะคริลามีด์ ร้อยละ 15.....	98
5.1 ค่าความแข็ง และ ค่าการเกาะตัวกัน ของข้าวสุกใหม่ (fresh) เก่า (aged) ที่หุงด้วยน้ำ และ ข้าวสุกเก่าที่หุงด้วย โซเดียมซัลไฟฟ์ (SS) และ สกอร์บิก (AA) และ ซิสทีอีน (CYS) ที่ความเข้มข้น 5 10 และ 15 มิลลิโมลาร์.....	118
5.2 ค่าความแข็ง และ ค่าการเกาะตัวกัน ของข้าวสุกใหม่ (fresh) เก่า (aged) ที่หุงด้วยสารละลายเฟสเฟตบัฟเฟอร์เข้มข้น 50 มิลลิโมลาร์ และ ข้าวสุกเก่าที่หุงด้วยโซเดียมซัลไฟฟ์ในฟอสเฟตบัฟเฟอร์ (SS) และ สกอร์บิกในฟอสเฟตบัฟเฟอร์ (AA) และ ซิสทริอีนในฟอสเฟตบัฟเฟอร์ (CYS) ที่ความเข้มข้น 5 10 และ 15 มิลลิโมลาร์.....	121
5.3 ค่าความแข็ง (a-c) และ ค่าการเกาะตัวกัน (d-e) ของข้าวสุกใหม่ (fresh) เก่า (aged) และ ข้าวสุกเก่าที่หุงด้วยน้ำกลั่นที่มีค่าพีไอเอชเลี่ยนแบบ พีเอชของสารละลายรีดิวชิงซ์.....	122

สารบัญภาพ (ต่อ)

ภาพที่	หน้า
5.4 ค่าความแข็ง และ ความเหนียว ของข้าวสุกใหม่ (fresh/DI) เก่า (aged/DI) ที่หุงด้วยน้ำกลั่น ข้าวสุกเก่าที่แช่ด้วยน้ำกลั่น 37 องศาเซลเซียส 6 ชั่วโมง (aged/37C6H/DI) และข้าวสุกเก่าที่แช่ด้วยสารเรซิวิชันซ์ 37 องศาเซลเซียส 6 ชั่วโมง (aged/37C6H/5SS).....	128
5.5 ผลการแยกขนาดโปรตีนด้วยวิธี SDS-PAGE ของสารละลายน้ำโปรตีนจาก ข้าวขาวดอกมะลิ 105 เก่า (aged) ที่แช่ด้วยโซเดียมซัลไฟฟ์ (SS) เข้มข้น 0, 5, 10 และ 15 มิลลิโนมาร์ และ ไดไทโอดรีทอล เข้มข้น 5 มิลลิโนมาร์ (DTT) สถาณ์ด้วยสารละลายน้ำ NaOH เข้มข้น 10 มิลลิโนมาร์ ใช้ปริมาณอะคริลามีด์ ร้อยละ 12.5.....	133
5.6 ผลการแยกขนาดโปรตีนด้วยวิธี SDS-PAGE ของสารละลายน้ำโปรตีนจาก ข้าวขาวดอกมะลิ 105 เก่า (aged) ที่แช่ด้วยโซเดียมซัลไฟฟ์ (SS) เข้มข้น 0, 5, 10 และ 15 มิลลิโนมาร์ และ ไดไทโอดรีทอล เข้มข้น 5 มิลลิโนมาร์ (DTT) สถาณ์ด้วยสารละลายน้ำ NaOH เข้มข้น 10 มิลลิโนมาร์ ประกอบด้วยสารละลายน้ำ SDS เข้มข้น ร้อยละ 1 ใช้ปริมาณอะคริลามีด์ ร้อยละ 12.5.....	133
5.7 ผลการแยกขนาดโปรตีนด้วยวิธี SDS-PAGE ของสารละลายน้ำโปรตีนจาก ข้าวขาวดอกมะลิ 105 เก่า (aged) ที่แช่ด้วยโซเดียมซัลไฟฟ์ (SS) เข้มข้น 0, 5, 10 และ 15 มิลลิโนมาร์ และ ไดไทโอดรีทอล เข้มข้น 5 มิลลิโนมาร์ (DTT) สถาณ์ด้วยสารละลายน้ำ NaOH เข้มข้น 10 มิลลิโนมาร์ ใช้ปริมาณอะคริลามีด์ ร้อยละ 15.....	134
5.8 ผลการแยกขนาดโปรตีนด้วยวิธี SDS-PAGE ของสารละลายน้ำโปรตีนจาก ข้าวขาวดอกมะลิ 105 เก่า (aged) ที่แช่ด้วยโซเดียมซัลไฟฟ์ (SS) เข้มข้น 0, 5, 10 และ 15 มิลลิโนมาร์ และ ไดไทโอดรีทอล เข้มข้น 5 มิลลิโนมาร์ (DTT) สถาณ์ด้วยสารละลายน้ำ NaOH เข้มข้น 10 มิลลิโนมาร์ ประกอบด้วยสารละลายน้ำ SDS เข้มข้น ร้อยละ 1 ใช้ปริมาณอะคริลามีด์ ร้อยละ 15.....	134

บทที่ 1

บทนำ

1.1 ความสำคัญและที่มาของปัญหาการวิจัย

ข้าว (rice) เป็นพืชใบเลี้ยงเดี่ยวตระกูลหงษ์ (Family : Grammineae หรือ Poaceae) อยู่ในสกุลօริชา (Genus: *Oryza*) ถือกำเนิดขึ้นครั้งแรกที่บริเวณแคนทีอกเข้าหิมาลัยทางด้านทิศตะวันตก (ศรีศักดิ์ วัลลิโภดม, 2548 อ้างถึงใน ยอดหทัย เทพธรา และ กัญญาวิมวี กีรติกร, 2548) มักเจริญเติบโตได้ดีในเขตต้อนและอบอุ่น (อรอนงค์ นัยวิกฤต, 2550) ข้าวที่นิยมปลูกทั่วโลกมีอยู่ 2 ชนิดคือ ข้าวปลูกເອເຊີຍ (*Oryza sativa Linn.*) และข้าวปลูกແອພຣິກາ (*Oryza glaberrima Steud.*) ในปัจจุบันพบว่าประชากรโลกมากกว่าครึ่งหนึ่งบริโภคข้าวเป็นอาหารหลัก โดยร้อยละ 90 อยู่ในกลุ่มประเทศແຄນເອເຊີຍ (อรอนงค์ นัยวิกฤต, 2550)

ประเทศไทยมีศักยภาพในการผลิตข้าวได้เพียงพอต่อการบริโภคในประเทศและส่วนที่มากเกินความต้องการ สามารถส่งขายเป็นสินค้าออกยังต่างประเทศ สร้างรายได้ให้ประเทศเทียบเท่ากับสินค้าเกษตรรายรุกิจอื่น ๆ เช่น ยางพารา ถุงแพะแข็ง หรือเนื้อไก่ ฯลฯ การผลิตข้าวยังก่อให้เกิดการจ้างงานมากถึงร้อยละ 60 ของแรงงานภายในประเทศ (มรภด ตันติเจริญ, 2548 อ้างถึงใน ยอดหทัย เทพธรา และ กัญญาวิมวี กีรติกร, 2548) ในช่วงปี 2549-2553 ไทยเป็นประเทศผู้ส่งออกข้าวอันดับหนึ่งในตลาดโลก เมื่อเทียบกับเวียดนาม อินเดีย ปากีสถาน สาธารณรัฐอเมริกา และจีน โดยในปี 2553 ไทยมียอดส่งออกสูงประมาณ 8.5 ล้านตันข้าวสาร (นิรนาม, ออนไลน์, 2553) นอกจากจำนวนผลผลิตเฉลี่ยต่อไร่ที่สูงแล้ว คุณภาพที่ดีของเมล็ดเป็นสิ่งที่ต้องคำนึงถึงควบคู่กัน เพราะถูกใช้เป็นตัวกำหนดราคาข้าว ซึ่งมีความสำคัญอย่างยิ่งต่อความสามารถแข่งขันทางการค้าในตลาดโลก (งามชื่น และคณะ 2545) ปัจจุบันประเทศไทยมีข้าวคุณภาพส่งออกหลายชนิด โดยเฉพาะข้าวหอมมะลิ (jasmine rice) ซึ่งมีชื่อเสียงเป็นที่รู้จักทั่วโลกในเรื่องคุณภาพความนุ่ม และกลิ่นหอมเฉพาะตัวของข้าวสุก คุณภาพของข้าวที่ดีนี้ นอกจากขึ้นอยู่กับสายพันธุ์ข้าว และสภาพในการปลูกแล้ว เทคโนโลยีหลังการเก็บเกี่ยวที่ดี ย้อมช่วยรักษาคุณภาพของข้าวให้อยู่ในสภาพที่ดีจนถึงมือผู้บริโภคได้ ปัญหาที่ทำให้ข้าวมีคุณภาพด้อยลงเกิดได้จากหลายสาเหตุ เช่น ปัญหาข้าวที่มีความชื้นสูง การปลอมปนจากข้าวที่ด้อยคุณภาพ ปัญหาสิ่งเจือปนจำพวกเศษวัสดุต่าง ๆ รวมทั้งตัว และไข่ของแมลง เช่น นодข้าวสาร หรือตัวงวง (*Sitophilus oryzae*) นодแมง (Tribolium castaneum Herbst) และ ปัญหาความไม่สม่ำเสมอของคุณภาพข้าวสุกจากการผสมหรือปลอมปนด้วยข้าวหลายสายพันธุ์ (blend) การเสียกลิ่นหอม

เฉพาะตัวจากผลของความร้อน และความชื้น ปัญหาการขาดการสื่อสารข้อมูลที่ถูกต้องเกี่ยวกับวิธีการหุงต้มที่เหมาะสมให้แก่ผู้บริโภคชาวต่างชาติ ปัญหาที่บกพร่อง หรือบรรจุภัณฑ์ที่ไม่เหมาะสม การขาดการพัฒนา รวมทั้งปริมาณผลผลิตข้าวคุณภาพสูง ยังไม่เพียงพอต่อความต้องการของตลาด ปัญหาที่ได้ก่อขึ้นมาทั้งหมดมีวิธีการที่สามารถป้องกัน และแก้ไขได้แล้วในทางอุตสาหกรรม ยกตัวอย่างเช่น การลดความชื้นในข้าวด้วยเครื่องมือ การนำระบบ HACCP และ ISO 9002 มาใช้ควบคุมคุณภาพ ในโรงงาน โภคัง หรือโรงงานอุตสาหกรรม การนำข้อกำหนดมาตรฐานลินค้าข้าวมาใช้เป็นตัวคัดกรอง และควบคุมคุณภาพข้าว การพัฒนารูปแบบบรรจุภัณฑ์ และระบบการบรรจุข้าว และการพัฒนาพันธุ์ข้าวเจ้าหอมคล่องหลวง 1 ข้าวเจ้าหอมสุพร摊บุรี และปทุมธานี 1 ที่มีคุณภาพข้าวสวยใกล้เคียงกับข้าวพันธุ์หอมมะลิ ขึ้นมาเพื่อลดปัญหาข้าวคุณภาพขาดตลาด เป็นต้น (งานชื่นคงเสรี, ออนไลน์, 2551) แม้จะผ่านกระบวนการผลิตที่ดีเพื่อควบคุมคุณภาพข้าวให้ได้มาตรฐานและยอมรับได้แล้วก็ตาม การเก็บข้าวเปลือก หรือข้าวสารในโภคังหรือโรงงาน เป็นระยะเวลานาน ๆ ก็ทำให้คุณภาพข้าวด้อยลงได้ โดยข้าวใหม่ที่มีเนื้อสัมผัสนุ่มนวลนี่อาจจะมีการเปลี่ยนแปลงคุณลักษณะทางเคมี และกายภาพเกิดขึ้นเรื่อย ๆ จนกลายสภาพเป็นข้าวเก่าที่มีความแข็งร่วนภายหลังการเก็บรักษา ที่เรียกว่ากระบวนการเก่า (aging) โดยหากเป็นข้าวที่เก่าเมื่อนำมาหุงจะได้รับความนิยมน้อยจากกลุ่มผู้บริโภค ต่างจากแป้งข้าว ที่นำมาเป็นวัตถุในเริ่มต้นในการผลิตผลิตภัณฑ์อาหาร เช่น ขนมเส้นกวยเตี๋ยวชนิดต่าง ๆ อาหารหมักดอง หากเตรียมจากแป้งข้าวที่ยังใหม่อยู่ หรือผสมห้องข้าวเก่า และใหม่ที่รับซื้อจากเกษตรกร จะไม่ได้ผลิตภัณฑ์ที่มีคุณภาพตามต้องการ (Teo, Karim, Cheah, Norziah and Seow, 2000) โดยพบว่าอุณหภูมิในการเก็บรักษาที่สูงทำให้ข้าวเก่าเร็วขึ้น (Chrastil, 1994; Zhou, Robards, Helliwell and Blanchard, 2003) เช่นเดียวกันกับข้าวที่ผ่านกระบวนการเร่งอายุการเก็บที่อุณหภูมิสูง จะเกิดการเปลี่ยนแปลงขึ้นเร็วกว่าข้าวที่เก็บที่อุณหภูมิปกติด้วย (Gujral and Kumar, 2003) วิธีการหลักสำหรับชะลอความเก่าหรือเลื่อนคุณภาพข้าวจากการเก็บรักษาทำได้โดยใช้วิธีเก็บในห้องเย็น ประมาณ 15 องศาเซลเซียส (Tananuwong and Malila, 2011) รวมทั้งการเก็บรักษาข้าวสารในบรรจุภัณฑ์ ที่ป้องกันการผ่านเข้าออกของอากาศ และการปิดผนึกด้วยระบบสูญญากาศ (vacuum) การบรรจุข้าวในสภาวะปริมาณแต่งบรรยายกาศซึ่งก็สามารถชะลอการเสื่อมคุณภาพได้ในระยะเวลาหนึ่งเท่านั้น การหาทางเลือกหรือวิธีการใหม่ ๆ ที่ช่วยในการชะลอหรือปรับ ปรุงข้าวที่เสื่อมคุณภาพข้าวให้ดีขึ้นได้ ก็น่าจะเป็นสิ่งที่มีประโยชน์ และน่าสนใจ เพื่อเพิ่มทางเลือกที่หลากหลายให้ผู้ประกอบการนำไปใช้ประกอบการพิจารณา เพื่อเลือกวิธีที่เหมาะสมในการแก้ปัญหาข้าวเสื่อมคุณภาพจากการเก็บรักษาเป็นระยะเวลาต่อไป มีหลายงานวิจัยที่พบว่าคุณลักษณะทางเคมีกายภาพของข้าว นอกจากเกี่ยวกับส่วนของสถาาร์ช ยังเป็นผลมาจากการโปรตีนที่อยู่ในเมล็ดข้าวอยู่ด้วย ถึงแม้จะมีปริมาณน้อยแต่มีอิทธิพลมากกับคุณสมบัติของข้าว โดยเมื่อเปรียบเทียบในกลุ่มข้าวที่มีปริมาณอะไรมาก โภคังกลีกีลีเคียงกัน แต่ต่างกันที่ปริมาณโปรตีน มีผลให้เนื้อสัมผัสข้าวสุก

มีลักษณะต่างกัน (Juliano et al, 1985; Onate, Mundo and Juliano, 1964) ในด้านค่าการเกาะติดกันของเม็ดข้าวสุก (Chrastil, 1994) และความแข็ง (Okadome et al, 1999) โดยข้าวที่มีปริมาณโปรตีนสูงจะมีความแน่นเนื่องมากกว่าข้าวที่มีโปรตีนต่ำ (Tamaki, Ebata, Tashiro and Ishikawa, 1993) จะเห็นได้ชัดเจนจากคุณสมบัติการพองตัว คุณสมบัติทางความร้อน (Teo, Karim, Cheah, Norziah and Seow, 2000) รวมทั้งคุณสมบัติการเกิดเพลสต์ของฟลาเวอร์ข้าวสายพันธุ์เดียวที่มีปริมาณโปรตีนแตกต่างกัน จะมีการเปลี่ยนแปลงความหนืดต่างกัน แต่ความหนืดจะมีค่าใกล้เคียงกันภายหลังกำจัดโปรตีนออกໄไป (Fitzgerald and Reinke, 2006) กลุ่มลิน กือโปรตีนในข้าวที่มีชื่อเรียกว่า(ออริซินิน) มีมากกว่าร้อยละ 80-90 และมีหมู่ชัลไอดริลภายในโครงสร้าง อย่างไรก็ตามปริมาณโปรตีนจะไม่เปลี่ยนแปลงเมื่อเปรียบเทียบระหว่างก่อนและหลังการเก็บรักษา เมื่อนำมาเชื่อมโยงกับผลการวิจัยของ Saleh and Meullenet (2007) ที่พบว่า การทำลายปฏิกิริยาสัมพันธ์ระหว่างโปรตีนกับโปรตีน หรือโปรตีนกับสตาร์ช (protein's intermolecular interaction) บางส่วนด้วยการแช่ข้าวก่อนหุงในoen ไซม์ โปรตีอส ทำให้สตาร์ชสามารถดูดซับน้ำได้เพิ่มขึ้น และข้าวสุกมีเนื้อสัมผัสสนุมและเหนียวขึ้นด้วย บ่งชี้ได้ว่าการเก่าของข้าวในระหว่างการเก็บ นำจะเกี่ยวของกับการเปลี่ยนแปลงรูปร่างหรือคุณสมบัติทางเคมีที่เกิดขึ้นในโปรตีนภายหลังการเก็บ โดยค่าการละลายได้ของโปรตีนลดลง โปรตีนเกาะกลุ่มกันมากขึ้น จึงทำให้ขนาดโมเลกุลของโปรตีนใหญ่ขึ้น สอดคล้องกับปริมาณหมู่ไดซัลไฟด์ที่เพิ่มขึ้น (Chrastil, 1990; Chrastil and Zarins, 1992; Chrastil, 1994; Ohno and Ohisa, 2005) และมีการเชื่อมกันระหว่างโมเลกุลของโปรตีนเกิดเป็นโครงสร้างตาข่าย (protein-protein network) ข้อควรระวัง การดูดซับน้ำของเม็ดสตาร์ช และมีผลต่อการลดลงของค่าการเกาะกันของเม็ดข้าวสุกที่เกิดขึ้นได้ ภายหลังการเก็บ(Saleh, and Meullenet,2007) โดยที่อุณหภูมิสูงแสดงการจับตัวกันของโปรตีนเพิ่มขึ้นผ่านพันธะไดซัลไฟด์เกิดเป็นโครงสร้างตาข่าย โปรตีนเพิ่มขึ้น (Prudencio Ferreiar and Areas, 1993) การเปลี่ยนแปลงคุณสมบัติทางเคมี และสภาพของโปรตีนในเม็ดข้าว ซึ่งเกิดขึ้นภายหลังการเก็บรักษาในสภาพอากาศก่อนและหลังให้ความร้อน เป็นเรื่องที่ควรให้ความสนใจและศึกษาควบคู่กันไป โดยน่าจะเป็นประ予以ชนิดต่อการเพิ่มพูนความรู้นำไปสู่ความเข้าใจในในเรื่องกลไกการเปลี่ยนแปลงคุณภาพของข้าวที่เป็นผลมาจากการเปลี่ยนแปลงทางเคมี และการลดลงของค่าการเกาะติดกันของโปรตีน และสามารถนำไปประยุกต์ใช้แก้ไขปัญหาการเปลี่ยนแปลงคุณภาพของข้าวสุกภายหลังการเก็บรักษาได้ มีรายงานผลการวิจัยจำนวนหนึ่งพบว่าสารรีดิวซิงซ์บางชนิด จำพวก thiol-reducing agents เช่น ไดไทโอลิทอล (DTT) และ เบต้า-เมอร์แคปโตಥานอล (BME) ซึ่งเป็นสารกลุ่มที่มีประสิทธิภาพสูงในการทำลายพันธะไดซัลไฟด์ของโปรตีน และใช้ศึกษาขนาดโมเลกุลและหน่วยย่อของโปรตีนนั้น มีผลทำให้ค่าเนื้อสัมผัสของข้าวสุก และความหนืดเปลี่ยนแปลงไป (Hamaker and Griffin, 1990; 1991; 1993; Fitzgerald and Reinke, 2006; Xie, Chen, Duan, Zhu and Liao, 2008;) ในปี 2005 Benjakul, Thongkaew และ Vissessanguan ได้นำเสนอผลงานวิจัยเรื่องการเติมสารรีดิวซิงซ์ 3 ชนิดซึ่งสามารถใช้ในอาหารได้

คือ ไซเดียมไบซัลไฟฟ์ กรดแอก索кор์บิก และ ชิสทีอิน เพื่อเพิ่มการทำงานของเอนไซม์ทรานกูลต้า มีเนส (Transglutaminase) และ Ca^{2+} ATPase โดยทำลายพันธะไดซัลไฟฟ์ (ซึ่งมีปริมาณสูงในเนื้อปลา แซ่บแจ้ง ทำให้เกิดเจลคุณภาพดี) ที่บริเวณส่วนร่อง (active site) ทำให้ไม่เลกุลของไขมันออกซิน โปรตีนกลับมาทำงานได้ปกติ (renaturation) ทำให้คุณภาพเจลของผลิตภัณฑ์ซูริมิจากเนื้อปลาแซ่บแจ้งจากปลา 4 ชนิด มีคุณภาพดีขึ้นได้ ผลที่เกิดขึ้นจากสารเรดิวิชั่นซูริมิศึกษาอย่างกว้างขวางในกลุ่มปลาทะเล โดยให้ผลในการปรับปรุงคุณภาพของเจลอย่างมาก ในปี 2007 Ohno, Tomatsu, Toeda และ Ohisa ได้นำสารเรดิวิชั่นในกลุ่มที่ใช้ได้กับอาหาร มาใช้ในการศึกษาผลที่เกิดขึ้นกับโปรตีน และเนื้อสัมผัสของข้าวญี่ปุ่นสายพันธุ์ akitakomachi ที่เก็บไว้เป็นเวลา 5 เดือน พบร่วมกับใช้สารสารละลาย ในกลุ่มไซเดียมไซล์ไฟฟ์ และชิสทีอิน เบื้องต้น 8 มิลลิโมลาร์ มีผลทำให้เนื้อสัมผัสของข้าวมีความนุ่มและเหนียวขึ้นได้ และอธิบายผลที่เกิดขึ้นว่าเกิดจากพันธะไดซัลไฟฟ์ในโปรตีนที่เกิดขึ้นระหว่างการเก็บข้าวถูกทำลายไป โดยการปรับปรุงคุณภาพของข้าวเก่าให้มีเนื้อสัมผัสที่ดีขึ้นได้

จากการวิจัยและผลการศึกษาที่กล่าวมาแล้วนี้แสดงให้เห็นว่าโปรตีนที่อยู่ภายในเมล็ดข้าวมีผลต่อลักษณะเนื้อสัมผัสของข้าว ซึ่งการเปลี่ยนแปลงของโปรตีนในเชิงคุณภาพและปริมาณนั้นเกิดขึ้นเมื่ออุณหภูมิและระยะเวลาการเก็บรักษาข้าวเพิ่มขึ้น ทำให้เกิดคุณลักษณะของข้าวไม่เป็นที่ต้องการของผู้บริโภคโดยเฉพาะคุณภาพการหุงต้ม การปรับปรุงคุณภาพการหุงต้มของข้าวเก่าที่เก็บไว้เป็นระยะเวลานานและไม่เป็นที่ต้องการของผู้บริโภค ให้มีลักษณะเนื้อสัมผัสเหมือนหรือใกล้เคียงกับข้าวที่ผู้บริโภคต้องการจึงถือแนวทางหนึ่งที่น่าสนใจ ซึ่งการนำสารในกลุ่มของเรดิวิชั่นมาใช้ในการปรับปรุงคุณภาพข้าวถือเป็นอีกหนึ่งทางเลือกสำหรับปรับปรุงคุณภาพข้าว ซึ่งปัจจุบันยังไม่มีการศึกษาอย่างจัดลึกในระดับชิ้นงาน แต่ตัวรวมไปถึงปริมาณที่เหมาะสมจะนำมาใช้ในการปรับปรุงคุณภาพข้าวเก่า และผลที่เกิดขึ้นในทางกายภาพและเคมีของเมล็ดข้าวจากการใช้สารเรดิวิชั่น เพื่อให้เกิดความรู้ความเข้าใจถึงการเปลี่ยนแปลงคุณสมบัติเคมีกายภาพ และลักษณะเนื้อสัมผัสของข้าวในระหว่างการเก็บรักษา รวมถึงผลของการใช้สารเรดิวิชั่นต่อคุณสมบัติต่าง ๆ ของข้าวในระหว่างการเก็บรักษา

1.2 วัตถุประสงค์ของงานวิจัย

1.2.1 เพื่อศึกษาคุณลักษณะทางเคมีกายภาพของข้าวที่เกิดขึ้นก่อนและหลังการเก็บรักษาที่อุณหภูมิการเก็บรักษาต่างกัน และผลที่เกิดขึ้นในข้าวเร่งความเก่า

1.2.2 เพื่อศึกษาการเปลี่ยนแปลงคุณสมบัติทางเคมีและกายภาพของโปรตีนที่เกิดขึ้นภายหลังการเก็บรักษา

1.2.3 เพื่อศึกษาหาสภาวะการใช้สารรีดิวชิงซึ่งจำนวน 2-3 ชนิดต่อการปรับปรุงเนื้อสัมผัส และคุณสมบัติการเกิดเพสท์ของข้าวเก่าพันธุ์หอมมะลิ 105

1.2.4 เพื่อศึกษาผลของชนิดต่อคุณสมบัติทางเคมีภarmacology ของโปรตีน

1.3 สมมุติฐานของงานวิจัย

การเก็บรักษาข้าวสภาวะการต่างกันมีผลต่อการเปลี่ยนแปลงคุณลักษณะทางกายภาพของ และเคมีของข้าวที่ต่างกันด้วย โปรตีนในข้าวจะมีการเปลี่ยนแปลงทางเคมีภarmacology เกิดขึ้นจากการเปลี่ยนแปลงนี้ส่งผลต่อค่าเนื้อสัมผัส และคุณสมบัติในการเกิดเพสท์ของข้าว, สารรีดิวชิงซึ่ง มีผลต่อการเปลี่ยนแปลงโครงสร้างและขนาดของโปรตีนที่มีในข้าว จึงอาจทำให้ข้าวเก่ามีลักษณะเนื้อสัมผัสเหมือนหรือคล้ายคลึงกับข้าวใหม่ โดยสารรีดิวชิงซึ่งแต่ละชนิดอาจให้ผลในการปรับปรุงเนื้อสัมผัสข้าวสูกแตกต่างกัน ขึ้นอยู่กับปริมาณ และระยะเวลาที่ใช้แช่ข้าว

1.4 ขอบเขตการวิจัย

งานวิจัยนี้มุ่งเน้นศึกษาถึงการเปลี่ยนแปลงคุณสมบัติทางกายภาพ และเคมี เนื้อสัมผัสของข้าวสูก และคุณสมบัติการเกิดเพสท์ ของข้าวภายหลังการเก็บรักษาในอุณหภูมิที่ต่างกัน เปรียบเทียบ กันระหว่างฟลาร์ว กับ สตาร์ช ในส่วนของ โปรตีน ทำการเปรียบเทียบการเปลี่ยนแปลง โปรตีน ก่อน และหลังการเก็บจากข้าว โดยศึกษาความสามารถในการละลาย ค่าพื้นผิวไอโอดีฟ ไฟฟิก ปริมาณหน้าไฟฟ์ และการลดโมเลกุลของ โปรตีน ทั้งในข้าวสารและข้าวสูก จากนั้นศึกษา ชนิด ปริมาณของสารรีดิวชิงซึ่งที่มีผลต่อเนื้อสัมผัสของข้าว และคุณสมบัติการเกิดเพสท์ รวมไปถึงผลต่อคุณสมบัติ ของ โปรตีน ดังที่กล่าวมาข้างต้น

1.5 ประโยชน์ที่คาดว่าจะได้รับ

1.5.1 ทราบถึงคุณสมบัติทางกายภาพและเคมีของข้าวที่เก็บในสภาวะต่างกัน โดยสามารถนำผลที่ได้มาประกอบการตัดสินใจ ในการเลือกสภาวะการเก็บที่จะให้คุณภาพของข้าว เพื่อต้องการปรับเปลี่ยนคุณภาพข้าวเก่าให้ได้ตามต้องการ

1.5.2 เพื่อสร้างองค์ความรู้พื้นฐานเกี่ยวกับการเปลี่ยนแปลงคุณสมบัติของ โปรตีน ภายหลัง การเก็บรักษา อันก่อให้เกิดความเข้าใจในเรื่องผลของ โปรตีน ที่มีต่อการเปลี่ยนแปลงคุณภาพของ ข้าวภายหลังการเก็บ และผลของสารรีดิวชิงซึ่งที่มีต่อ โปรตีน ข้าวเก่าซึ่งนำไปสู่การประยุกต์ใช้ สารรีดิวชิงซึ่งในข้าวเก่า

1.5.3 ทราบถึงปริมาณ และชนิดของสารรีดิวชิงซ์ ที่เหมาะสมและให้ประสิทธิภาพสูงสุดในการปรับปรุงลักษณะเนื้อสัมผัสของข้าวเก่าให้มีลักษณะเหมือนข้าวใหม่ เพื่อนำไปประยุกต์ใช้ในการปรับปรุงคุณลักษณะเนื้อสัมผัสของข้าวเก่าต่อไป

1.6 รายการอ้างอิง

งานชื่น คง stere และ กิติยา กิจควรดี (2545). คุณภาพข้าวและการตรวจสอบข้าวปันในข้าวหอมมะลิไทย. กรมวิชาการเกษตร กระทรวงเกษตรและสหกรณ์ ; สำนักงานศรษฐกิจอุตสาหกรรม กระทรวงอุตสาหกรรม. กรุงเทพฯ : จริวัฒน์เอกสารเพรส.

งานชื่น คงศรี. (2551). กลยุทธ์การเพิ่มศักยภาพการส่งออกสู่ตลาดคุณภาพ. ข้าว: ผลิตภัณฑ์จากข้าว [ออนไลน์]. ได้จาก: http://library.uru.ac.th/webdb/images/rice_potential_development.html.

มาลินี อัศวดิษฐ์เดช และ ศิริพร วัฒนาศรีรังกุล. (2550). ข้าวทนน้ำท่วม: ทางเลือกใหม่เพื่อชาวนาและคนไทย, ศูนย์พันธุ์วิศวกรรมและเทคโนโลยีชีวภาพแห่งชาติ. [ออนไลน์]. ได้จาก: http://www.nstda.or.th/th/index.php?option=com_content&task=blogsection&id=7&Itemid=61&limit=9&limitstart=9

มรกต ตันติเจริญ. (2548). ความหลากหลายทางพันธุกรรมในข้าวพื้นเมืองกับการพัฒนาในระบบปลูกข้าวไทย. ใน ยอดหทัย เทพธรา และ กัญญาวนิว กีรติกร (บรรณาธิการ). ข้าว มัน กุ้ง: ผลผลิตคุณภาพคนไทย (หน้า 187). กรุงเทพฯ: มูลนิธิบัณฑิตยศึกษาศาสตร์และเทคโนโลยีแห่งประเทศไทย.

อรอนงค์ นัยวิกุล. (2550). ข้าว : วิทยาศาสตร์และเทคโนโลยี. ภาควิชาวิทยาศาสตร์และเทคโนโลยีอาหาร. กรุงเทพฯ : มหาวิทยาลัยเกษตรศาสตร์. หน้า 30.

ศรีศักร วัลลิโภดม. (2548). ประวัติศาสตร์ข้าวในประเทศไทย. ใน ยอดหทัย เทพธรา และ กัญญาวนิว กีรติกร (บรรณาธิการ). ข้าว มัน กุ้ง: ผลผลิตคุณภาพคนไทย (หน้า 187). กรุงเทพฯ: มูลนิธิบัณฑิตยศึกษาศาสตร์และเทคโนโลยีแห่งประเทศไทย.

Benjakul, S., Thongkaew, S. end Vissessanguan, W. (2005). Effect of reducing agents on physicochemical properties and gel-formating ability of surimi produced from frozen fish. **European Food Research and Technology** 220: 316-321.

Chrastil, J. (1990). Protein-starch in rice grains: Influence of storage on oryzenin and starch. **Journal of Agricultural and Food Chemistry** 38: 1804-1809.

Charstil, J and Zarins, Z.M. (1992). Influence of Storage on Peptide Subunit Composition of Rice Oryzenin. **Journal of Agricultural and Food Chemistry** 40(6): 927-930.

- Fitzgerald, M.A. and Reinke, R.F. (2006). Effect of protein and nitrition on cooking quality. **Rice grain quality III.** NSW: RIRDC.
- Gujral, H.S. and Kumar, V. (2003). Effect of accelerated aging on the physicochemical and textural properties of brown and milled rice. **Journal of Food Engineering.** 59: 117-121
- Hamaker, B.R. and Griffin,V.K. (1990). Changing the viscoelastiv properties of cooked rice though protein disruption. **Cereal Chemistry** 67(3): 261-264.
- Juliano, O.B. (1985). **Rice chemistry and technology.** USA: The American Association of Cereal Chemists.
- Okadome, H., Kurihara, M., Kusuda, O., Toyoshima, H., Kim, J., Shimotsubo, K., Mastuda, T. and Ohtubo, K. (1999). Measurements of physical properties of cooked grains with different nitrogenous fertilizers. **Japanese Journal of Crop Science** 68(2): 211-216.
- Ohno, T. and Ohisa, N. (2005). Studies of Textural and Chemica; Changes in Aged Rice Grains. **Journal of Food Science & Technology.** 11(4): 385-389.
- Ohno, T. Tomatsu, M. Toeda, K. And Ohisa, N. (2007). Texture of cooked rice prepared from aged rice and its improvement by reducing agents. **Bioscience Biotechnology & Biochemistry** 71(12). 2912-2920.
- Onate, L.U., Del Mundo, A.M. and Juliano, B.O. (1978). Relationship between protein content and eating quality of milled rice. **Philippine agricultural scientist** 47: 441.
- Prudencio-Ferreira, S.H. and Areas, J.A.G. (1993). Protein-protein interactions in the extrusion of soya at various temperatures and moisture contents. **Journal of Food Science** 58: 378-384.
- Saleh, M.I. and J.-F. Meullenet. 2007. The effect of moisture content at harvest and degree of milling (based on surface lipid content) on the texture properties of cooked long-grain rice. **Cereal Chemistry.** 84(2):119-124.
- Tamaki, M., Ebata, M., Tashiro, T. And Ishikawa, M. (1993). Physico-ecological studies on quality formation of rice kernel. II. Changes in quality of rice kernel during grain. **Japanese Journal of Crop Science** 62(4): 540-546.
- Teo,C.H., Karim, A.A., Cheah, P.B., Norziah, M.H. and Seow, C.C. (2000). On the roles of protein and starch in the aging of non-waxy rice flour. **Food Chemistry.** 67: 229-236.
- Xie, L., Chen, N., Duan, B., Zhu, Z. and Liao, X. (2008). Impact of proteins on pasting and cooking properties of waxy and non-waxy rice. **Journal of Cereal Science** 47: 372-379.
- Zhou, Z., Robards, K., Helliwell, S., Blanchard, C. and Baxterb, G. (2003). Rice Aging.I.Effect of changes in protein on starch behaviour. **Starch/Starke.** 55(3-4): 162-169.

บทที่ 2

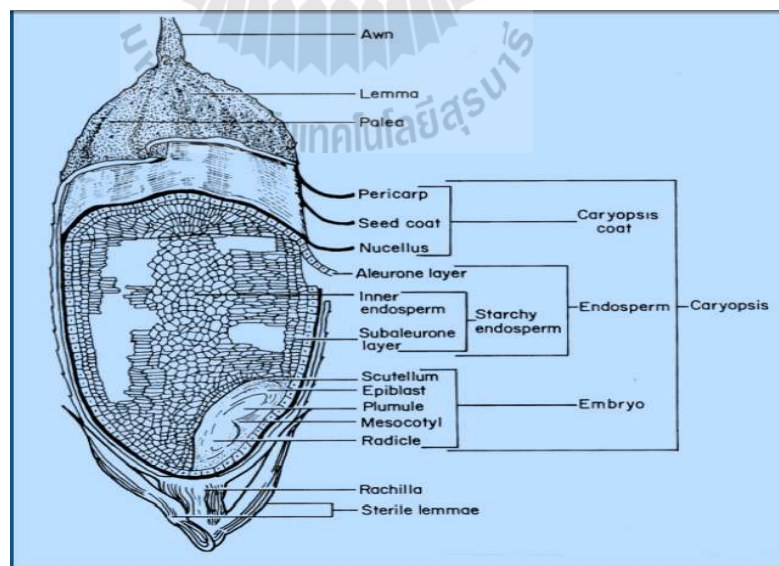
บริทัศน์วรรณกรรมและงานวิจัยที่เกี่ยวข้อง

2.1 โครงสร้างของเมล็ดข้าว

เมล็ดข้าว (rice grain, rice seed หรือ rice fruit) ประกอบด้วย 2 ส่วนหลัก ดังนี้

2.1.1 แกลบ (hull, husk)

แกลบ หรือ เปลือกหุ้มเมล็ด ทำหน้าที่ห่อหุ้มเมล็ดข้าว ป้องกันการเปลี่ยนแปลง หรือการสูญเสียความชื้นของเมล็ด และการกัดทำลายของแมลง โดยมีคิดเป็นสัดส่วนต่อหนึ่งกับข้าวเปลือกทั้งหมดเท่ากับร้อยละ 18-20 (Kestin, Moss, Clifton, and Nestel, 1990; Yoshida, 1981) มีคุณค่าทางอาหารต่ำ เพราะประกอบด้วย ซิลิกา , crude และ dietary ไฟเบอร์ ในปริมาณสูงเมื่อเทียบ กับ สารธารช โปรตีน ไขมัน และแร่ธาตุต่าง ๆ (Kestin et al, 1990; Marshall and Wadsworth, 1994) มีส่วนน้อยที่ใช้ รองพื้นโรงเรือนเดี่ยง ไก่ หรือใช้เป็นแหล่งอาหารหมายของสัตว์บางประเภท และในบางประเทคนำเป็นใช้เป็นแหล่งเชื้อเพลิง (Marshall and Wadsworth, 1994)



ภาพที่ 2.1 โครงสร้างเมล็ดข้าว

ที่มา: Agriwork, www, 2010

2.1.2 ผลแท้ (true fruit หรือ caryopsis grain)

ผลแท้ หรือ ข้าวกล้อง (caryopsis or brown rice) (Juliano, 1985) ประกอบด้วย 2 ส่วนหลัก ได้แก่ เอ็มบริโอ(embryo หรือ germ) และเอนโดสเปร์ม (endosperm) (Blakeney, 1996) ซึ่งจะถูกห่อหุ้มไว้ด้วยชั้นที่มีลักษณะแตกต่างกัน 4 ชั้น ได้แก่ pericarp, seed coat, nucellus และ aleurone ตามลำดับ (Marshall and Wadsworth, 1994)

เนื่องจากข้าวขาวนิยมนำมาใช้ และบริโภคมากกว่าข้าวกล้องจึงถูกนำไปผ่านกระบวนการขัดศี (Luh, Barber, S. and Berber, C. 1991) เพื่อกำจัดส่วนของเยื่อหุ้มทั้ง 4 ออกร โดยแยกออกได้อีก 2 ส่วน คือ รำ (bran) และข้าวขาว (milled rice หรือ starchy endosperm) โดยแต่ละส่วนของข้าวจะมีสารอาหารต่าง ๆ แสดงให้เห็นในตารางด้านไปนี้

ตารางที่ 2.1 ร้อยละส่วนประกอบโดยประมาณของส่วนต่าง ๆ ของในเมล็ดข้าวคิดเทียบเป็นน้ำหนักแห้ง

ส่วนประกอบ	ข้าวเปลือก	ข้าวกล้อง	ข้าวขาว	แกลน	รำ	เอ็มบริโอ
คาร์โบไฮเดรต	62.1	77.2	90.2	1.8	2.4	48.3-55.4
ไขมัน	2.1-2.7	2.1-3.3	0.4-0.6	0.4-0.7	19.3-23.8	11.7-14.4
โปรตีน (N x 5.95)	6.7-8.3	8.3-9.6	7.3-8.3	2.3-3.2	13.2-23.9	13.0-14.4
เส้นใย (crude fiber)	8.4-12.1	0.7-1.2	0.3-0.6	40.1-53.4	2.8-4.1	2.7-3.7
เกล้า	3.4-6.0	1.2-1.8	0.4-0.9	15.3-24.4	6.8-10.1	6.1-8.5
ใยอาหาร (dietary fiber)	19.1	4.5	2.7	77.3	-	-

ที่มา: Pomeranz และ Ory. (1982)

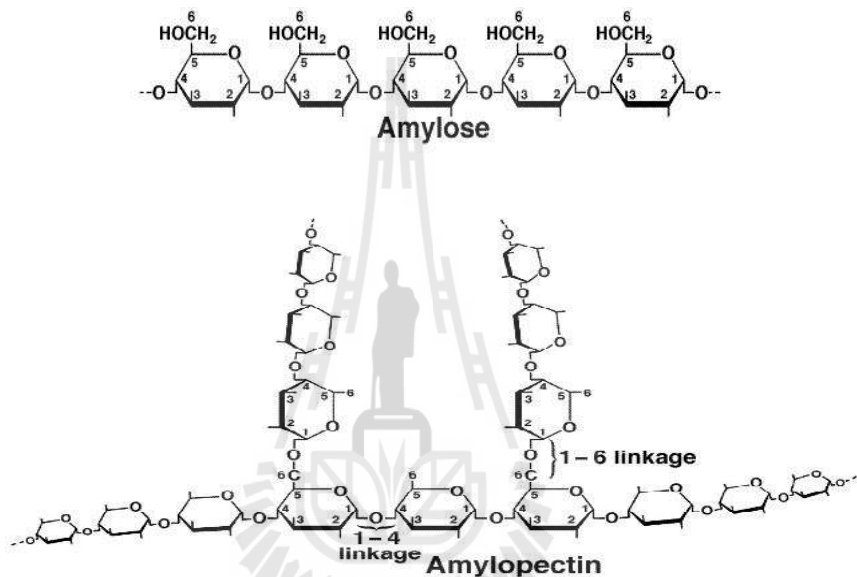
คุณภาพของข้าวนั้น ขึ้นอยู่กับองค์ประกอบทางเคมีในเมล็ดข้าว ซึ่งได้แก่ โปรตีนไขมัน คาร์โบไฮเดรต (Juliano, 1985) และน้ำ หรือ ความชื้น (อรอนงค์, 2550) โดยจะอธิบายโดยละเอียดได้ดังนี้

2.2 องค์ประกอบเคมี

2.2.1 คาร์โบไฮเดรต

พบมากที่สุดในเมล็ดข้าว โดยคิดเป็นร้อยละ 90 คาร์โบไฮเดรต หรือสตาร์ช กีอพอลิแซกคาโรด์ประเภทหนึ่ง ซึ่งไม่เกลูลของสตาร์ชจะรวมตัวกันเกิดเป็นกลุ่มก้อนที่เรียกว่า เม็ดสตาร์ช

(Starch Granules) มีขนาดเล็กเท่ากับ 3 - 5 μm ไมครอน มีลักษณะเป็นรูปร่างหลา的心情 โดยเม็ดสตาร์ช จะรวมตัวกันเป็นกลุ่มประมาณ 20-60 granules อยู่ในโครงสร้างที่เรียกว่า แอมิโลพาลส์ มีขนาดตั้งแต่ 7 ถึง 39 μm ไมครอน (Champagne, 1980; Hoshikawa, 1968; Hayakawa, Seo and Igave, 1980) โดยในเม็ดสตาร์ชประกอบด้วยพอลิเมอร์ของกลูโคส 2 ชนิด ที่มีลักษณะทางโครงสร้างแตกต่างกัน คือ อะไมโลส (amylose) เป็นพอลิเมอร์เชิงเส้นของกลูโคสที่มีหลากรูปแบบ ทั้งสายตรงพันเกลียว หรือสายเกลียวคู่ หรือแบบไม่จำเพาะเจาะจง ซึ่งเชื่อมต่อกันด้วยพันธะแอลfa-1,4 และ



ภาพที่ 2.2 โครงสร้างของอะไมโลสและอะไมโลเพคติน

ที่มา: Moore, Clark and Vodopich, www, 1998

อะไมโลเพคติน (amylopectin) ซึ่งเป็นพอลิเมอร์แบบมีกิ่งก้านในลักษณะใช้กิ่งเกลียวคู่ ที่เชื่อมกิ่งด้วยพันธะแอลfa-1,6 ที่เรียกว่า อะไมโลเพคติน ทึ้งนี้บางส่วนของสายอะไมโลสอาจมีกิ่งก้านอยู่เล็กน้อย โดยทั้งอะไมโลส และอะไมโลเพคตินมีการจัดเรียงตัวกันแน่นรอบจุดกึ่งกลางของเม็ดสตาร์ชตามแนวรัศมี โดยอะไมโลส และอะไมโลเพคตินสายตรงยังสามารถรวมตัวกับลิปิดได้ด้วย โดยในปี 1996 Juliano ได้แบ่งกลุ่ม ของข้าวหรือแป้งข้าวออกตามปริมาณอะไมโลสได้ 4 กลุ่ม คือ waxy (ร้อยละ 1-2), low (ร้อยละ 7-20), intermediate (ร้อยละ 20-25) และ High (มากกว่า 25) โดยคิดเทียบจากสตาร์ช ร้อยละ 100 โดยอาศัยการวัดสีน้ำเงินที่เกิดจากสารประกอบเชิงช้อนระหว่างไออก็อกนิกบันอะไมโลส โดยสัดส่วนของอะไมโลสที่ต่างกันมีผลต่อคุณภาพการหุงต้ม และคุณภาพการกินตลอดจนการนำแป้งไปใช้ประโยชน์

2.2.2 ลิปิด

พบปริมาณน้อยในกลุ่มของขัญพืชทั่วไปที่ยังไม่ผ่านการขัดสี รวมถึงข้าวโดยในเฉลี่ยอยู่ที่ร้อยละ 3 พ布ว่า ไขมันจะลดจำนวนลงเกือบครึ่งหลังผ่านการขัดสี (Fujino, Kuwata, Mano, Ohnishi, 1996) โดยข้าวขาวที่ผ่านการขัดสีแล้วจะมีไขมันเหลืออยู่เพียงร้อยละ 0.3-0.5 เท่านั้น (Hoseney, 1986) ไขมันจะกระจายตัวอยู่ทั่วไปในเมล็ดข้าว พบนากสุดในส่วนของ胚芽 และเจริญไขมันในข้าวแบ่งออกเป็น 2 ประเภท ได้แก่ nonstarch lipids ที่กระจายตัวอยู่ในส่วนของชั้น aleurone เจริญ และโปรตีน, และ starch lipids ซึ่งอยู่ทั่วภายในและภายนอกเม็ดสถาาร์ชทั้งที่อยู่ชิดกับเม็ดสถาาร์ชและที่บีบริเวณผิว (Choudhury and Juliano, 1980) มีทั้งที่เป็นไขมันสายตรง (straight-chain) และมีกิ่งก้าน (branch chain) (Fujino, 1989) โดยแยกย่อยออกเป็นชนิดไม่มีข้าว เช่น กรดไขมัน และไตรกลีเซอร์ไรด์ และชนิดมีข้าว เช่น ฟอสโฟลิปิด และไกโคลิปิด โดยไขมันในข้าวส่วนใหญ่เป็นไตรกลีเซอร์ไรด์ (Henry and Kettlewell, 1996) ไขมันสามารถรวมตัวกับโมเลกุลของสถาาร์ช โดยไขมันที่อยู่ด้านนอกจะจับกับปลายสายของอะไนโอลิโคเดคินที่ผิวน้ำของสถาาร์ช ขณะที่ไขมันภายในเม็ดสถาาร์ชรวมตัวย่างแหน่นหนา กับสายเกลียวของอะไนโอลิก็เป็นสารประกอบเชิง ซ้อนที่เรียกว่า amylose-lipid complex (Ito, Sato and Fujino, 1979)

2.2.3 โปรตีน

ข้าวเป็นขัญพืชที่มีโปรตีนในปริมาณค่อนข้างต่ำ ซึ่งข้าวแต่ละพันธุ์จะมีโปรตีนในปริมาณที่มากน้อยแตกต่างกันไป โดยในข้าวขาวจะมีปริมาณโปรตีนค่าเฉลี่ยอยู่ที่ร้อยละ 8 ซึ่งส่วนใหญ่พบที่อีนโคลาสเปิร์มคิดเป็นร้อยละ 95 และอยู่ในรูปของโปรตีนบอดี้ (protein bodies) มีขนาดตั้งแต่ 1-4 ไมครอน (Lasztity, 1996) Osborne (1924) ได้แบ่งประเภทของโปรตีนตามคุณสมบัติการละลายออกเป็น 4 ชนิด คือ 1. โปรตีนที่ละลายได้ในน้ำ เรียกว่า อัลบูมิน (albumin) 2. โปรตีนที่ละลายในสารละลายเกลือ เรียกว่า โกลบูลิน (globulin) 3. โปรตีนที่ละลายในสารละลายแอลกอฮอล์ เรียกว่า โพรมามิน (prolamin) 4. โปรตีนที่ละลายได้ในด่าง เรียกว่า กลูติลิน (glutelin) หรือเรียกอีกชื่อว่า ออไรซิน (oryzenin) ซึ่งกลูติลิน ถือเป็นโปรตีนหลักในข้าว (storage protein) เพราะมีปริมาณสูงสุดคิดเป็นร้อยละ 60-90 และยังเป็นโปรตีนที่มีคุณภาพสูง เนื่องจากภายในโครงสร้างมีกรดอะมิโนที่จำเป็นต่อร่างกายอยู่ในปริมาณสูง เมื่อเทียบกับโปรตีนจากขัญพืชแหล่งอื่น ๆ โดยจากการศึกษาของ Saito และคณะ (2010) พบว่า การกระจายตัวของโปรตีนในเมล็ดข้าวไม่สม่ำเสมอโดยที่บริเวณผิวด้านนอกจะมีโปรตีนอยู่หนาแน่น โดยเฉพาะที่ชั้นแอรูโรน (aleurone) ความหนาแน่นของโปรตีนจะลดลงเรื่อย ๆ เมื่อเข้าสู่ภายในใจกลางของอีนโคลาสเปิร์ม โปรตีนแต่ละชนิดก็จะมีการกระจายตัวภายในเมล็ดข้าวแตกต่างกัน โดยโปรตีนอัลบูมิน และโกลบูลิน นั้นพบมากที่บริเวณเจริญและชั้น aleurone ขณะที่โปรตีนกลูติลิน และโพรมามิน จะพบมากที่บริเวณเยื่ออ่อนโคลาสเปิร์ม โดยรูปร่าง

ของโปรตีนที่อยู่ภายในเมล็ดข้าว้นมีห้องแบบที่เป็นทรงกลม (spherical) และผลึก (crystalline) โดยจะพบมากเฉพาะทรงกลมที่มีขนาดเล็ก กระจายอยู่ทั่วไปภายในเมล็ดข้าวไม่เลกุล โปรตีนสามารถเข้ามายังหัวกันด้วยโปรตีนร่างแท้ที่มีลักษณะของคล้ายเส้นใย (protein fibrils) ไม่เลกุล โปรตีนจะแทรกตัวอยู่ระหว่างเม็ดสตาร์ช และมีบางส่วนที่สามารถเข้ามายังกับไม่เลกุลของสตาร์ช ด้วย (Marshall and Wadsworth, 1994) โดยกลุ่มโปรตีนแต่ละชนิดล้วนมีลักษณะโครงสร้าง และองค์ประกอบที่แตกต่างกันไป ดังนี้

อัลบูมิน (Albumin) เป็นกลุ่มโปรตีนทรงกลมที่มีขนาดเล็ก ซึ่งมีกรดอะมิโนซีสที่อ่อนอยู่ภายในโครงสร้าง (Shewry, Napier and Tatham. 1995) ประกอบด้วยโปรตีนขนาดต่าง ๆ กัน อยู่ในช่วง 10-200 กิโลดอลตัน จากการศึกษาขนาดไม่เลกุลด้วยเทคนิค เจลฟีวเตอร์ชั่น โตรามา โตรกราฟี (คอลัมน์ เชฟาเดกซ์ จี-100) ในการแยกพบว่าประกอบด้วยโปรตีนที่เป็นหน่วยอยู่ 3 ถึง 4 หน่วย ขณะที่การใช้เทคนิคพอลิอะคริลามิดเจลอะลีคิโตรโพลีอะคริลามิดเจล electro phoresis: SDS-PAGE) กลับพบโปรตีนหน่วยอยู่ถึง 9-11 หน่วย (Lasztity, 1996) โดยขนาดและปริมาณของหน่วยอยู่อาจแตกต่างกันไปขึ้นกับชนิดและพันธุ์ข้าว โปรตีนอัลบูมินประกอบด้วยกรดอะมิโนไลซีนในปริมาณสูงสุด ขณะที่กรดอะมิโนกลูตามิโนมีในปริมาณต่ำสุด ซึ่งโดยทั่วไปแล้วโปรตีนอัลบูมิน คือกลุ่มของอีนไซม์ แอคทีฟโปรตีน และอีสโทน โดยการสกัดอัลบูมินด้วยน้ำอาจมีโกลบูลินบางส่วนปะปนอยู่ด้วย (Juliano, 1985)

โกลบูลิน (globulin) โดยปกติแล้วจะพบมากในกลุ่มพืชใบเลี้ยงคู่ แต่ก็ยังสามารถพบได้ในกลุ่มพืช รวมทั้งข้าวซึ่งเป็นพืชใบเลี้ยงเดี่ยว (Shewry et al, 1995) ซึ่งถือเป็นโปรตีนที่มีปริมาณมากเป็นอันดับสองรองจากกลูติลิน (Juliano, 1985; Agboola, Ng and Mills, 2005) โดยคิดเป็นร้อยละ 10-12 ของโปรตีนทั้งหมดที่พบในเมล็ดข้าว (Ju, Hettiarachchy and Rath, 2001) ปริมาณเกือบร้อยละ 70-80 ของโกลบูลินจะกระจายตัวอยู่ภายในอีนโตรสเปรียม ซึ่งได้แก่โปรตีน 11S และ 12S ที่มีขนาดไม่เลกุลเท่ากับ 55 กิโลดอลตัน โดยสามารถแยกโปรตีนออกเป็น 2 หน่วยย่อยคือ หน่วยย่อยที่เป็นกรด และหน่วยย่อยที่เป็นเบส ที่มีขนาดไม่เลกุลตั้งแต่ 28-31 กิโลดอลตัน และ 20-22 กิโลดอลตัน ตามลำดับโดยที่หน่วยย่อยเหล่านี้เชื่อมกันด้วยพันธะ ไดซัลไฟด์ (Shotwell, 1999 quoted in Shewry and Halford, 2002 ; Takaiwa, Ogawa and Okita, 1999 quoted in Shewry and Halford, 2002) นอกจากนี้ยังพบโปรตีนกลุ่มอื่นที่เป็น 3 หน่วยย่อย คือ แอลฟ่า1 แอลฟ่า2 และ แอลฟ่า3 ซึ่งมีขนาดไม่เลกุลแตกต่างกันอยู่ที่ 16-130 กิโลดอลตัน โปรตีนในกลุ่มนี้ประกอบด้วยกรดอะมิโนกลูตามิโนและอาร์จินินในปริมาณที่สูง (Lasztity, 1996) โครงสร้างโดยรวมของโปรตีนโกลบูลินในข้าว้นมีคล้ายคลึงกับโปรตีนกลูติลินที่พบในในเมล็ดข้าวสาลี โดยประกอบด้วยสายพอลิเมอร์ของโปรตีน ซึ่งมีการเข้ามายังสายโปรตีนด้วยพันธะ ไดซัลไฟด์ (Huston and Mohammad, 1976; Cagampang , Perdon and Juliano, 1976) เมื่อทำการวิเคราะห์โครงสร้างของ

โปรตีนชนิดนี้ด้วย เทคนิค FT-IR พบร่วมกับโครงสร้างส่วนใหญ่คิดเป็น 50 เปอร์เซนต์ขึ้นไปเป็นลักษณะเป็นชีท (beta-sheet) ซึ่งเหมือนกับโปรตีนโกลบูลินที่พบในพืชใบเลี้ยงเดียวทั่วไปอีกร้อยละ 30 เป็นโครงสร้างแบบแอกฟ่า-ไฮลิกซ์ (alpha-helices) และร้อยละ 20 เป็นโครงสร้างแรนdom coil (random coils) ตามลำดับ โดยจุดไอโซэเล็กตริก (isoelectric) ของโปรตีนโกลบูลินจะอยู่ในช่วง pH 5-7 ซึ่งโดยค่า pH ของสารละลายโปรตีน ความเข้มข้นของสารละลายเกลือ รวมถึงความร้อน ถือเป็นปัจจัยหลักมีผลต่อการเปลี่ยนแปลงโครงสร้างของโกลบูลินทั้งสิ้น นอกจากนี้ยังพบว่า การเติมสารละลายโซเดียมไดเดซิลซัลเฟต (SDS) เข้มข้น 40 มิลลิโมลาร์ ทำให้โปรตีนเปิดตัว ขณะที่โครงสร้างเบต้า-ชีท จะถูกทำลายลงเมื่อมีการเติมสารละลายได้ไทโอดิทอล (DTT) เข้มข้น 30 มิลลิโมลาร์ (Ellepola, Choi, Young-Ma, 2005)

โพรามิน (prolamin) โพรามินเป็นกลุ่มโปรตีนที่พบในพืชตระกูลหญ้า และขัญพืชอีกหลายชนิดรวมถึงข้าว โคขุกติดแล้วจะมีปริมาณมากถึงกึ่งหนึ่งของโปรตีนทั้งหมดที่มีในขัญพืชทั่วไป ยกเว้น ข้าวโอ๊ตและข้าว ที่มีอยู่เพียงร้อยละ 5-10 โปรตีนกลุ่มนี้จะละลายในเอทานอลเข้มข้นร้อยละ 60-70 หรือละลายในโพรเพน-1-ออล (propan-1-ol) ร้อยละ 50 พอดีเมอร์ของโพรามินประกอบด้วยกรดอะมิโนกลูตามีน และโพลีนิปริมาณที่สูง ขณะที่พบไลซีน และทริปโตฟันในปริมาณที่ต่ำ สายพอดีเมอร์ของโพรามินนี้เชื่อมกันด้วยพันธะ ไคซัลไฟฟ์ (Shewry et al. 1995) ทั้งนี้โพรามินที่พบในข้าวจะมีปริมาณต่ำกว่าขัญพืชชนิดอื่นๆ ตาม (Lasztity, 1996) แม้ว่าในข้าวจะมีปริมาณมากเป็นอันดับสองรองจากโกลูติลิน (Evers, Blakeney and O'Brien, 1999; Takaiwa, 1998 quoted in Shimamoto, K.) โดยขนาดโมเลกุลอยู่ในช่วง 13 ถึง 16 กิโลดาตัน (Luthe, 1992 quoted in Linskens and Jackson, 1992) ภายในโครงสร้างโปรตีนประกอบด้วยแอกฟ่า-ไฮลิกซ์ และแรนdom coil เป็นส่วนใหญ่ (Y. Mawal, M. Mawal, Sainani and Ranjekar, 1990)

กลูติลิน (glutelin) จัดเป็นกลุ่มโปรตีน โมเลกุลใหญ่ (High molecular weight storage protein) และมีปริมาณมากที่สุด จึงถือว่าเป็นโปรตีนที่มีความสำคัญในเมล็ดข้าว โมเลกุลของกลูติลินที่แยกได้ด้วยเจลฟิวเตอร์ชั่น โครงมาตรากราฟิโดยใช้คอลัมน์เซฟารอส (gel filtration chromatography on Sepharose columns) นี้มีขนาดแตกต่างกันตั้งแต่ 10^5 และที่ใหญ่กว่า 10^7 ดาตัน โดยมีพันธะ ไคซัลไฟฟ์ เป็นพันธะหลักในการเชื่อมระหว่างโมเลกุล ของโปรตีน ซึ่งการใช้สารเรซิวชิงซ์ เช่น 2-เมอร์แคปโตอิโซพาโนล (2-mercaptoethanol) มีผลในการทำลายพันธะ ไคซัลไฟฟ์ ทำให้กลูติลินมีขนาดโมเลกุลเล็กลงเหลือกับ 60 กิโลดาตัน (Lasztity, 1996) โปรตีนที่ผ่านตัดทำลายพันธะ ไคซัลไฟฟ์แล้ว เมื่อนำมาแยกขนาดด้วยเทคนิค SDS-PAGE จะพบกลุ่มของกลูติลิน 5 กลุ่ม ซึ่งประกอบด้วยหน่วยย่อยขนาดเล็ก โมเลกุลเท่ากับ 22, 37, 38, 39 และ 57 กิโลดาตัน ตามลำดับ Tanaka, Sugimoto, Ogawa และ Kasai (1980) แสดงให้เห็นว่า โปรตีนกลูติลินที่พบได้ในข้าวนั้นประกอบขึ้นจากหน่วยย่อยขนาดเล็กของ โปรตีนหลาย ๆ หน่วยที่ต่างกัน

โดยแบ่งแยกหน่วยเล็กเหล่านี้ออกเป็น 2 กลุ่ม คือ acidic (α) subunits ที่มีขนาดโมเลกุล 40 ถึง 60 กิโลคาลตัน และ basic (β) subunits ที่มีขนาดโมเลกุลประมาณ 20 กิโลคาลตัน หน่วยย่อยกลูติลินเหล่านี้ จะเชื่อมกันด้วยพันธะไดซัลไฟฟ์เกิดเป็นโมเลกุลขนาดใหญ่ประมาณ 360 กิโลคาลตัน โดย Beveridge, Toma และ Nakai (1974) อธิบายว่าหนึ่งโมเลกุลของกลูติลินประกอบด้วย หมู่ชัลไฮด์ริวอิสระ (SH) จำนวน 1.4 หมู่ และมีพันธะไดซัลไฟฟ์ (SS) เท่ากับ 1.1 พันธะ แสดงว่า acidic (α) และ basic (β) subunits ต่างประกอบด้วยหมู่ชัลไฮด์ริวและไดซัลไฟฟ์ (Luthe, 1992 quoted in Linskens and Jackson, 1992) โดย acidic (α) และ basic (β) subunits มีค่า isoelectric point อยู่ที่ 6.5 ถึง 7.5 และ 9.4 ถึง 10.3 ตามลำดับ (Wen and Luthe, 1985) โมเลกุลของกลูติลินจะบรรจุอยู่ภายในส่วนของโปรตีนบอดีII (PBII) (Tanaka et al, 1980) โดยในโปรตีนประกอบด้วยกรดอะมิโนกลูตามีน แอลฟาราจีน ไกลเซ็น อาร์จีนีน ลิวเซ็น และอะลานีนในปริมาณที่สูง (Wen and Luthe, 1985) แต่พบโพโรลามีนในปริมาณที่ต่ำ (Lasztity, 1996) โครงสร้างโปรตีนประกอบด้วย แอลfa-เซลิกซ์ และแรนคอมโคယ์ด์เป็นส่วนใหญ่ (Mawal, et al. 1990) โดยจากการศึกษาของนักวิจัยก่อนหน้านี้พบว่าขนาดโมเลกุลและกรดอะมิโนของหน่วยย่อยแอลfa และเบต้ากลูติลินที่พบในข้าวมีความใกล้เคียงทั้งขนาดโมเลกุล และชนิดกรดอะมิโนหน่วยย่อยแอลfa และเบต้าโกลูบูลินที่พบในเมล็ดธัญพืชนิดอื่น (Luthe, 1983; Wright and Boulter, 1974) แสดงว่าโปรตีนกลูติลินที่พบในข้าวนี้มีความคล้ายคลึงกับโปรตีนโกลูบูลินที่เป็น storage protein ที่มีในเมล็ดธัญพืชนิดอื่นอย่างมากยกเว้นคุณสมบัติการละลายที่แตกต่างกัน ซึ่งเกิดจากลักษณะโครงสร้างโปรตีนเองที่จับอยู่กับคาร์บอไไฮเดรตในปฏิกิริยาไกโลไซด์เลชัน (Wen and Luthe, 1985) โปรตีนทั้ง 4 ชนิดถือเป็นโปรตีนที่อยู่ภายนอกเม็ดสตาร์ช แต่ยังมีโปรตีนอีกประเภทหนึ่งที่เกี่ยวข้อง และพบได้ภายในเมล็ดธัญพืชทั่วไปรวมทั้งข้าวด้วย ซึ่งก็คือ granular association protein

granular association protein คือ โปรตีนกลุ่มนี้ ที่เกาะหรือเชื่อมกับเม็ดสตาร์ชอย่างแน่นหนา โดยแบ่งออกเป็นสองกลุ่มหลัก ๆ คือ 1. storage proteins คือ กลุ่มของโปรตีนเหลืออยู่หลังการสกัด และจะถูกดูดซับที่ผิวของสตาร์ช และ 2. starch granule-associated proteins (SGAPs) เป็นโปรตีนที่เกิดติดอยู่ที่ผิวหรือรวมอยู่กับเม็ดสตาร์ช (Baldwin, 2001) โดยสตาร์ชของพืชหลายชนิดจะมีลักษณะและปริมาณของ SGSP แตกต่างกันไป โดยมีขนาดโมเลกุลอยู่ในช่วง 5-140 กิโลคาลตัน โดยกลุ่ม low molecular weight proteins ซึ่งมีโมเลกุลประมาณ 5-30 กิโลคาลตัน จัดเป็นโปรตีนในกลุ่ม surface granule associated proteins ขณะที่กลุ่ม high molecular weight proteins ที่มีโมเลกุลเฉลี่ยประมาณ 60-149 กิโลคาลตัน จัดเป็นโปรตีนในกลุ่ม internal granule associated proteins (Baldwin, 2001) การสกัดโปรตีนเหล่านี้ โดยกลุ่มของ surface โปรตีนสามารถสกัดด้วยสารละลายเกลือ (Lowry, Sargeant and Schofield, 1981; Rayas-Duarte, Robinson and Freeman, 1995) และกอ肖ลล์ (Morris, Greenblatt, Bettge and Malkawi, 1994) หรือ ดีเทอร์เจนต์

จำพวก SDS ที่มีการเติม 2-เมอร์แคปโตอทานอล (Skerritt, Frend, Robson and Greenwell, 1990; Seguchi and Yamada, 1980) และ ไดไทโธเรitol (Dithiothreitol, DTT) (Skerritt et al, 1990) เป็นต้น ขณะที่ internal โปรตีนซึ่งอยู่ภายในเม็ดสตาร์ชและมีขนาดใหญ่นั้น ต้องอาศัย การพองตัวหรือการเกิดเจล ของเม็ดสตาร์ชก่อน โดยใช้อุณหภูมิตั้งแต่ 50 องศาเซลเซียสขึ้นไป ร่วมกับการใช้ตัวทำละลายจำพวก สารเรดิวชิงซ์ เช่น SDS (Skerritt et al, 1990; Sulaiman, and Morrison, 1990) DTT รวมทั้งยูเรียร่วมด้วย (Hamaker, Griffin and Moldenhauer, 1991) ซึ่งยูเรียจะทำลายโครงสร้างของสตาร์ชทำให้เกิดการพองตัวที่อุณหภูมิต่ำได้ (Shure, Wessler and Fedoroff, 1983) โดยนอกจากอุณหภูมิที่สูงแล้วการเพิ่มความเข้มข้นของตัวทำละลาย มีผลให้สามารถสกัดโปรตีนได้เพิ่มขึ้น (Schofield and Greenwell, 1987) นอกจากนี้ยังพบว่า การใช้เอนไซม์ในกลุ่ม starch-degrading enzymes เช่น procine alpha-amylase ในการทำลายโครงสร้างของสตาร์ชก็มีผลในการปลดปล่อย SGAP ออกจากเม็ดสตาร์ช ได้ในระดับหนึ่ง เช่นกัน (Denyer, Hylton, Jenner and Smith, 1995; McDonald and Preiss, 1985) ถึงแม้จะไม่เทียบเท่ากับวิธีการสกัดด้วยตัวทำละลายอื่น ๆ ก็ตาม (Rahman et al, 1995) ส่วนของโปรตีนที่สกัดออกมากได้นั้น สามารถแยกออกด้วยการตกรตะกอนด้วย อะซิโตน อัตราส่วน 2 หรือ 4 เท่า ที่อุณหภูมิ 4 ถึง -20 องศาเซลเซียส เป็นเวลา 24 ชั่วโมง (Skerritt et al, 1990; Rahman et al, 1995) หรือ ตกตะกอนด้วย ไคเออททิล อีเทอร์/อทานอล ในอัตราส่วน 1 ต่อ 3 (Oda and Schofield, 1997; Dubreil, Compain and Marion, 1997) โดย granule associated proteins มีส่วนเกี่ยวข้องกับคุณสมบัติทางความหนืดของสตาร์ชที่สูงให้ความร้อน (Hongsprabhas, Israkarn and Rattanawat tanaprakit, 2006) เม็ดสตาร์ชที่ไม่มี SGAP ในโครงสร้างจะแตกง่าย และไม่สามารถคงรูปได้หลังผ่านการเจลต้านซึ่ง (Han and Hamaker, 2002) โดย Oates (1990) ได้ให้คำอธิบายไว้ว่าการพองตัวเม็ดสตาร์ชในกลุ่ม legume ที่เกิดขึ้นได้น้อยนั้นเป็นผลมาจากการ peptide bridges ของสายโปรตีน ช่วยยึดโครงสร้างของเม็ดสตาร์ช ทำให้เม็ดสตาร์ช คงรูปอยู่ได้ นอกจากนี้แล้ว การเติมสารบางอย่าง เพื่อวัตถุประสงค์ในการเชื่อมกันของโปรตีนที่อยู่ในเม็ดสตาร์ช ได้แก่ แคลเซียมแอลกอเตส นั้นสามารถช่วยรักษาโครงสร้างของสตาร์ชถาวรเขียวและมันลำบากหลังได้แก่ granule envelope และ starch ghost remnant (โครงสร้างของเม็ดสตาร์ชที่เหลืออยู่หลังจากพอร์ลิเมอร์เก็บทั้งหมดภายในเม็ดสตาร์ช ถูกปลดปล่อยออกมาก) ภายหลังให้ความร้อนเอ้าไว้ได้ (Israkarn, P. Hongsprabhas and P. Hongsprabhas, 2006) cysteine ถูกใช้เพื่อทำลายพันธะไดซัลไฟด์ ของ SGAP ทำให้โครงสร้างเกิดการยึดหยุ่นมากขึ้นเม็ดสตาร์ชพองตัวได้ขึ้น และแตกตัวได้ดีขึ้นด้วย เมื่อให้ความร้อนแสดงให้เห็นว่า SGAP มีหน้าที่ส่วนหนึ่งในการรักษาโครงสร้างของเม็ดสตาร์ชให้หลงเหลือโครงสร้างร่องรอยอยู่ได้หลังผ่านการเจลต้านซึ่ง (Harmaker and Griffin, 1993)

2.2.4 น้ำ หรือความชื้น

น้ำเป็นอีกหนึ่งปัจจัยที่มีผลต่อคุณภาพเมล็ดข้าว น้ำในข้าวมี 2 ประเภท คือ น้ำอิสระ (free water) คือ น้ำส่วนใหญ่ที่อยู่ในเมล็ด โดยน้ำส่วนนี้จะไม่เกิดพันธะ หรือรวมตัวกับองค์ประกอบอื่น ๆ ในเมล็ด น้ำส่วนนี้มักจะลดปริมาณลงไปเรื่อย ๆ จากการระเหยออกหรือการอบแห้งข้าวเพื่อได้ความชื้นในกรณีที่เมล็ดข้าวมีความชื้นสูงเกินกำหนด และอีกประเภท คือ น้ำเกาะติด (bond water) แม้ว่า水量น้ำส่วนนี้จะมีปริมาณน้อย แต่ก็สามารถเชื่อมโยงกับองค์ประกอบอื่น ๆ อย่างแน่น และถูกกำจัดออกจากโครงสร้างหลักได้ยาก (Henry and Kettlewell, 1996) ความชื้นปกติของข้าวที่เก็บรักษาได้จะอยู่ที่ประมาณร้อยละ 13 และจะระเหยออกไปเรื่อย ๆ ในระหว่างการเก็บรักษา อย่างไรก็ตาม ความชื้นที่เหมาะสมในการรักษาข้าวให้คงคุณภาพได้นานจะอยู่ที่ร้อยละ 12 นอกจากนี้ความชื้นที่เหมาะสมในข้าวนั้นยังง่ายต่อการขัดสี ทำให้ได้ข้าวที่เต้มเมล็ด ทั้งนี้ปริมาณความชื้นที่มีในข้าวเปลือก และข้าวสาร ยังถูกใช้เป็นเกณฑ์ในการพิจารณาคุณภาพข้าว ซึ่งสามารถบ่งชี้ถึงน้ำหนักแท้จริงของข้าวได้ จึงมีส่วนสำคัญในการกำหนดราคាដือขายข้าว (Juliano, 1985)

2.3 คุณภาพข้าว

ข้าว ถือว่าเป็นพืชที่แตกต่างจากข้าวพืชชนิดอื่น ๆ เพราะจะถูกบริโภคในรูปเมล็ดข้าวมากกว่าแบบอื่น ๆ การเลือกซื้อข้าวเพื่อนำมาบริโภคนั้น นอกจากราคา น้ำหนัก หรือพันธุ์ข้าวที่ดีซึ่งต้องคำนึงถึงเป็นอันดับแรกแล้ว คุณภาพของเมล็ดข้าวที่เป็นสิ่งสำคัญที่ต้องคำนึงถึง คุณภาพเมล็ดนั้นมีได้หลายความหมายขึ้นอยู่กับการตีความตามวัตถุประสงค์ หรือความต้องการของการนำไปใช้ว่าจะเกี่ยวข้องรวมถึงให้ความสำคัญกับคุณภาพแบบไหน ยกตัวอย่างเช่น ในเชิงการตลาดหรือการค้าข้าว ลักษณะปราภูมิต่าง ๆ ของเมล็ดข้าวเป็นสิ่งที่ใช้บ่งบอกถึงคุณภาพข้าว ในกลุ่มอุตสาหกรรมการแปรรูปผู้ผลิตหรือเจ้าของโรงโม่แป้ง จะให้ความสำคัญกับคุณภาพของการขัดสี ส่วนของกลุ่มผู้ผลิตในอุตสาหกรรมอาหารจะให้ความสำคัญกับคุณภาพการแปรรูป ขณะที่นักโภชนาการจะให้ความสนใจคุณภาพของข้าวในเรื่องคุณค่าสารอาหาร ในกลุ่มของผู้บริโภคเอง จะให้ความสำคัญกับคุณภาพการหุงต้ม และคุณภาพการกินเป็นหลัก ทั้งนี้คุณภาพข้าวที่ดี หรือด้อยนั้นจะมาจากความพอใจส่วนตัวของผู้บริโภคแต่ละคน ซึ่งโดยทั่วไปแล้วคุณภาพข้าวจะถูกแยกออกเป็นภาพกว้าง ๆ ได้ 4 ลักษณะ คือ 1. คุณภาพการขัดสี (milling quality) 2. คุณภาพการหุงต้ม คุณภาพการกิน คุณภาพการแปรรูป (cooking eating and processing quality) 3. คุณภาพด้านสารอาหาร (nutritive quality) 4. มาตรฐานความสะอาด ความสมบูรณ์ของเมล็ด และสิ่งบนเนื้อ (specific standards for cleanliness soundness and purity) (Web, 1991) โดยในหัวข้อนี้จะเน้นเฉพาะคุณภาพในข้อ 1 และ 2 เท่านั้น

ลักษณะปรากฏของเมล็ด (grain appearances) เช่น ขนาด รูปร่าง สีของเมล็ด ความใส ความเดื่อมน้ำ รวมถึงความสม่ำเสมอของเมล็ด เป็นสิ่งจำเป็นที่ผู้บริโภคให้การพิจารณาในการเลือกซื้อ ซึ่งสามารถวัดคุณภาพได้ทั้งจากสายตาของผู้บริโภคเอง หรือจากการวัดด้วยเครื่องมือ (Ikehashi and Khush, 1979) เช่นนี้แล้ว ข้าวเต็มเมล็ด จึงจะเป็นข้าวที่มีคุณภาพสูง และเป็นที่ต้องการของผู้ขายและผู้บริโภค ซึ่งมีความสม่ำพันธ์ และเกี่ยวข้องโดยตรงกับคุณภาพการขัดศี (quality of milled rice) ขึ้นอยู่กับ รูปร่างหรือลักษณะของเมล็ดข้าว ลักษณะข้าวที่เป็นท้องไช (chalky grain) การทำแห้ง ความชื้นของเมล็ด รวมไปถึงคุณภาพ และประสิทธิภาพของเครื่องมือที่ใช้กระบวนการ ขัดศีใช้ด้วย

คุณภาพในการหุงต้ม (cooking quality) ถือว่ามีความสำคัญอย่างมากต่อการยอมรับของผู้บริโภค โดยคุณภาพข้าวหลังหุงสุก และคุณภาพการแปรรูปนั้น ส่วนหนึ่งมีผลมาจากการพันธุ์ข้าวที่แตกต่างกัน ดังที่ได้กล่าวไปแล้วว่าผู้บริโภคที่ต่างกันย่อมต้องการข้าวในลักษณะต่างกันโดยขนาด หรือความขาวของเมล็ดที่ต่างกันนั้น ไม่สามารถเป็นเกณฑ์ที่ใช้บ่งบอกถึงคุณภาพของข้าวสุกที่ดีได้ คุณภาพการหุงต้มนั้นสัมพันธ์กับคุณสมบัติทางเคมี และกายภาพภายในเมล็ดข้าว เนื่องจากเกือบร้อยละ 90 ของเมล็ดข้าวคือสตาร์ช Juliano, Bautista, Lugay และ Reyes (1964) รายงานว่าปริมาณอะไมโลในข้าวมีความสัมพันธ์เชิงบวก กับอุณหภูมิในการเกิดเจลาตินซ์ของสตาร์ชเอง โดยกลุ่มข้าวที่มีอะไมโลสตาร์ชในปริมาณสูงนั้น จะเป็นข้าวที่มีค่าอุณหภูมิในการเจลาตินซ์ที่สูงด้วย โดยผลกระทบของการวิจัยที่ผ่านมาแสดงให้เห็นว่า ข้าวกลุ่มอะไมโลสูง จะให้ลักษณะข้าวสุกที่แห้ง แข็ง และร่วน ขณะที่ข้าวในกลุ่มอะไมโลสต่ำ จะให้ลักษณะข้าวสุกที่นุ่มนวลนิ่ยหา ซึ่งเกิดจากการเจลาตินซ์ของสตาร์ช โดยข้าวแต่ละชนิดมีอุณหภูมิการเกิดเจลาตินซ์แตกต่างกัน ขึ้นอยู่กับขนาดและองค์ประกอบภายในเม็ดสตาร์ช คืออะไมโลสตัวอย่าง

การทราบถึงปริมาณอะไมโลส และอุณหภูมิในการเจลาตินซ์ของสตาร์ช ไม่สามารถบ่งบอกถึงคุณภาพการหุงต้มของข้าวได้เสมอไป Halick และ Kelly (1959) แสดงให้เห็นว่า ในข้าวสองพันธุ์ คือ Century Patna 231 กับ Toro ซึ่งมีปริมาณอะไมโลสเฉลี่ยเท่ากัน แต่กลับแสดงการเกิดเจลาตินซ์ของข้าวที่ต่างกัน ซึ่งมีผลต่อคุณภาพการหุงต้มที่ต่างกันอย่างน่าประหลาด และแสดงให้เห็นว่า น้ำจะมีปัจจัยหรือองค์ประกอบอื่นในข้าว เช่น ผนังหุ้ม (cell wall), คาร์โนไไซเดรต, แร่ธาตุ, ไขมัน รวมถึงโปรตีน ที่มีผลต่อการลักษณะการเจลาตินซ์ของสตาร์ช และคุณภาพการหุงต้มของข้าว นอกจากเหนือจากสตาร์ช (Dawson, Batcher and Little, 1960)

2.4 โปรตีนกับคุณภาพข้าว

โปรตีนมีผลต่อคุณภาพของข้าวโดยตรง โปรตีนจากข้าวถูกจัดให้อยู่ในกลุ่มของแหล่งโปรตีนคุณภาพสำหรับมนุษย์ เมื่อเปรียบเทียบกับโปรตีนในรังษีพืชชนิดอื่น เพราะมีกรดอะมิโนไอลซีน

(lysine) ซึ่งมีคุณค่าทางโภชนาการในปริมาณสูงดังที่ได้กล่าวไว้แล้วในหัวข้อที่เกี่ยวกับโปรตีนก่อนหน้านี้ (IRRI, 1967) โปรตีนที่อยู่ภายในเมล็ดข้าวมีผลต่อลักษณะสีเหลืองของเมล็ดที่เกิดขึ้นหลังการเก็บ (Juliano, 1965) โปรตีนจะเพิ่มปริมาณขึ้นตามการเจริญของเมล็ดข้าว (Okabe, 1979) โดยการเพิ่มธาตุอาหารในโตรเจนให้กับต้นข้าวในระหว่างที่ต้นข้าวมีการเจริญ ส่งผลให้กลูติลินที่เป็นกลุ่มโปรตีนหลักในเมล็ดข้าวเพิ่มปริมาณขึ้น และยังส่งผลให้ปริมาณโปรตีนเฉลี่ยของเมล็ดเพิ่มขึ้นด้วยตามลำดับ (Tamaki, Ebata, Tashiro and Ishikawa, 1989) ปริมาณโปรตีนในเมล็ดข้าวสามารถสะท้อนถึงคุณภาพของข้าวซึ่งเกี่ยวข้องโดยตรงกับคุณภาพการกิน แสดงออกผ่านทางค่าเนื้อสัมผัสข้าวสุก โดยเมื่อเปรียบเทียบในข้าวพันธุ์เดียวกัน ที่มีปริมาณโปรตีนต่างกัน ข้าวที่มีโปรตีนร้อยละ 10 มีผลทำให้ค่าการเกาะติดกันของเมล็ดข้าว stickiness, chewiness และ adhesiveness ของข้าวสุกอยู่ในระดับที่ต่ำ (Yanase, Ohtsubo, Hashimoto, Sato and Taranishi, 1984) ขณะที่โปรตีนร้อยละ 6-8.5 ทำให้ค่าการเกาะติดกันของเมล็ดข้าว และ chewiness มีค่าสูงขึ้น (Tamaki et al, 1989) ซึ่งเป็นผลจากการกระจายตัวของโปรตีนเป็นชั้น รอบ ๆ เม็ดสตาร์ช โดยเฉพาะโปรตีนที่อยู่ผิวต้านนกของเมล็ดข้าว (Primo, Casas, S. Barber, and C.B. Barber, 1962) มีส่วนขัดขวางการดูดซับน้ำของเม็ดสตาร์ช (Yanase et al, 1984) ทำให้เม็ดสตาร์ชมีค่าการพองตัว (swelling) ต่ำ (Little and Dawson, 1960) เมื่อเปรียบเทียบข้าวชนิดเดียวกันที่มีอยู่ในโลสเท่กันแสดงถึงเนื้อสัมผัสข้าวสุกที่ต่างกัน (Juliano et al, 1965; Onate, Mundo and Juliano, 1964) ข้าวที่มีโปรตีนสูงจะให้ค่า cohesiveness (Juliano et al, 1965) และการเกาะติดกันของเมล็ดข้าวสุก (Primo et al, 1962) ลดน้อยลง นอกจากนี้ปริมาณโปรตีนที่ต่างกันมีผลให้ระดับความแข็งของเมล็ดข้าวต่างกันส่งผลต่อคุณภาพการขัดสีที่ต่างกันด้วย (Juliano et al, 1965) และได้มีการศึกษาถึงอันตรายที่เกิดขึ้นระหว่างสตาร์ช และ โปรตีน โดยใช้วิธีการจำลองระหว่างโปรตีนสกัด (กลูติลิน) กับสตาร์ช และ โปรตีนที่อยู่ในข้าวต่อการเกิดสตาร์ชเจลต์ไนซ์ (Chrastil, 1990; Hamaker, Griffin and Moldenhauer, 1991; Juliano, Bautista, Lugay and Reyes, 1964) โดย Chrastil (1990) พบว่าการลดลงของ protein starch-binding ratio นั้นมีผลให้เกิดการลดลงของค่า stickiness ของแป้ง แม้ในการศึกษาผลโดยตรงของโปรตีนต่อการเกิดเจลาต์ไนซ์ของสตาร์ชในขณะทุบต้มข้าวนั้นยังคงมีข้อจำกัดในเรื่องการขาดเครื่องมือที่เหมาะสมสำหรับวิเคราะห์หรือตรวจติดตามการเปลี่ยนแปลง จากการรายงานของ Hamaker และ Griffin ในปี 1990 ซึ่งทดลองทำลายโครงสร้างของโปรตีนด้วยวิธีการทางเคมี โดยการเติมสารรีดิวซิงซ์ ซึ่งมีคุณสมบัติในการตัดพันธะไಡซัลไฟฟ์ ซึ่งถือเป็นพันธะโควาเลนท์ที่แข็งแรงและมีหน้าที่ในการเข้มสายหรือโมเลกุลโปรตีนเข้าด้วยกัน และการเติมเอ็นไซม์โปรตีนase เพื่อย่อยโปรตีนในข้าวโดยใส่ในสารละลายน้ำที่ใช้หุงข้าว มีผลทำให้ค่าการเกาะติดกันของเมล็ดข้าวสุกเพิ่มขึ้นอย่างมีนัยสำคัญทางสถิติจากพันธุ์ข้าว 7 พันธุ์ในทั้งหมด 9 พันธุ์ โดยลักษณะเนื้อสัมผัสของข้าวสุก

น้ำขึ้นกับ การพองตัว (swelling) และ การกระหายตัวของเม็ดสตาร์ชหลังการเจลาตีไนซ์ (Tester and Morrison, 1990; Hamaker and Griffin, 1990; Despande and Bhattacharya, 1982) ซึ่งเกี่ยวข้องโดยตรงกับคุณสมบัติทางความหนืดของแป้งข้าว โดยผลของโปรตีนต่อคุณภาพของข้าวจึงถูกศึกษาและเปรียบเทียบความแตกต่างจากความหนืดที่ร่วมด้วย โดย Hamaker และ Griffin ยังพบว่า แป้งข้าวอะไมโลสตั่มที่เติมได้ไทดิโอซิทอล หรือเอ็นไซม์โปรดีนส์ แสดงการเคลื่อนตัวลงของเส้นกราฟความหนืดที่วัดด้วยเครื่องบาร์เบรนเดอร์ การลดลงของพีคความหนืดคนี้แสดงว่า หลังทำลายโครงสร้างของโปรตีนแล้วมีผลทำให้เม็ดสตาร์ชปะรำ และแตกง่ายขึ้น โนเลกูลอะไมโลสจึงหลุดออกจากเม็ดสตาร์ชได้ง่าย โดยที่ระดับการพองตัวของเม็ดแป้งไม่จำเป็นต้องสูงมาก โปรตีนจึงมีส่วนสำคัญในการชิดโครงสร้างของสตาร์ชให้คงรูปอยู่ได้ในขณะที่รับความร้อนและแรงเรืองนีออน อย่างไรก็ตามระดับการเกิดเจลตีไนซ์ของแป้งในกลุ่มนี้อะไมโลสสูง กลับมีค่าสูงขึ้น ใกล้เคียงกับความหนืดของแป้งข้าวอะไมโลสตั่ม แสดงให้เห็นว่าเม็ดแป้งสามารถพองตัวได้ดีขึ้นหลังจากใส่ เบต้า-เมอร์แคปโตอีโอดอล ซึ่งเป็นสารรีดิวซิงช์ลงไปในน้ำที่ผสมสำหรับวัดความหนืด ซึ่งเป็นผลมาจากการทำลายพันธะไฉไลของโปรตีน เช่นกัน โดยอาจมีความเกี่ยวข้องกับโปรตีนที่อยู่ในเม็ดสตาร์ช (Hamaker and Griffin, 1993) ที่ได้ แสดงให้เห็นว่าความแข็งแรงของเม็ดสตาร์ชนอกจากจะขึ้นกับองค์ประกอบและลักษณะเม็ดสตาร์ชแล้ว ผลส่วนหนึ่งขึ้นมาจากโปรตีนด้วย โปรตีนจึงมีผลต่อการเกิดเจลาตีไนซ์ของสตาร์ช และลักษณะเนื้อสัมผัสของเม็ดข้าวสูก และแน่นอนว่าต้องสะท้อนถึงคุณภาพในการหุงต้มรวมถึงคุณภาพในการกินด้วย

2.5 การเปลี่ยนแปลงคุณภาพข้าวระหว่างเก็บรักษา

หลังจากผ่านขั้นตอนการเก็บเกี่ยวจนได้ข้าวที่เป็นเมล็ดแล้ว ทั้งในรูปของข้าวสารและข้าวเปลือกที่มีปริมาณมากนี้จะถูกขายต่อให้กับโรงงาน หรือพ่อค้าคนกลางเพื่อนำไปจัดจำหน่ายต่อไป หรือขายให้กับโรงงานแป้ง แปรรูป หรือ และบางส่วนอาจเก็บรักษาไว้ใน ชั้งชา หรือโรงงานต่าง ๆ เพื่อบริโภคในครัวเรือน ซึ่งวิธีในการเก็บรักษาที่ดีซึ่งจะสามารถป้องกันหรือช่วยลดการเสื่อมคุณภาพของข้าวให้เกิดขึ้นช้าลงได้นั้น ควรคำนึงถึงความสะอาดของเมล็ดที่จะนำมาเก็บการรักษา อุณหภูมิ และ ความชื้นสัมพัทธ์ ให้อยู่ในระดับที่เหมาะสม ซึ่งต้องมีระบบระบายอากาศที่มีประสิทธิภาพดี เพื่อให้อุณหภูมิและความชื้นตัวอย่างมีความคงที่ตลอดเวลา (Rice Quality Workshop, online, 2003) โดยความชื้นของเมล็ดข้าวควรอยู่ในช่วงร้อยละ 12-14 และนอกเหนือนี้ยังต้องมีอุณหภูมิ ในช่วงที่ไม่ทำให้เกิดการเจริญของจุลินทรีย์ โดยการเก็บรักษาข้าวในภาชนะ หรือสถานที่ปิด จะต้องมีการเปิดพัดลม หรือเครื่องระบายอากาศอยู่ตลอดเวลา เพื่อให้

อุณหภูมิที่จุดต่าง ๆ ของตัวอย่างข้าวที่เก็บไว้มีค่าใกล้เคียง หรือเท่ากับอุณหภูมิของภาชนะหรือห้องเก็บ ไม่ใช่เกิดการระเหย และการควบแน่นของไอน้ำเป็นหยดน้ำอยู่ภายใน อย่างไรก็ตาม การเปลี่ยนแปลงคุณลักษณะทางเคมีกายภาพ และคุณภาพของเมล็ดนั้นเริ่มต้นขึ้นดังแต่ก่อนการเก็บเกี่ยว และยังคงเกิดขึ้นอย่างต่อเนื่องตลอดเวลาการเก็บ โดยขึ้นอยู่กับเวลา อุณหภูมิ ความชื้น รวมถึงอันตรายที่เกิดขึ้นขององค์ประกอบต่าง ๆ ที่มีอยู่ภายในเมล็ดข้าวนั้นเอง โดยเรียกกระบวนการนี้ว่า การเก่าของข้าว (aging process) (Zhou, Robards, Helliwell and Blanchard, 2002) การเปลี่ยนแปลงที่เกิดขึ้นอันดับแรกที่สังเกตเห็นได้ด้วยตา คือ เมล็ดข้าวสารที่ผ่านการเก็บจะมีสีเหลืองขึ้น (Chrastil, 1990) กลิ่นและรสชาติของข้าวเปลี่ยนแปลง โดยเกิดกลิ่นที่ผิดปกติ (off-flavor) นี่เกิดจากสารประกอบกลุ่มคิโนน แอลเดตีไฮด์ (Tani, Ohta and Kato, 1983) ซึ่งมาจากผลิตภัณฑ์ที่ได้จากการสลายตัวของไนมัน กรดอะมิโน หรือวิตามิน (Obata and Tanaka, 1965) โดย Tran, Suzuki, Okadome, Ikezaki, Homma และ Ohtsubo (2005) พบการเปลี่ยนแปลงที่เกิดขึ้นในข้าวสองทั้งสายพันธุ์ คือ กลุ่มของจาปันก้า เช่น Nipponbare Koshihikari และ Hoshiyukata และกลุ่มอินดิก้า เช่น Yumtoiro และ Hamasari ที่เก็บรักษา ที่อุณหภูมิห้องและ 5 องศาเซลเซียส เป็นเวลา 10 เดือน พบร่วมกับปริมาณกรดไนมันในข้าวมีค่าเพิ่มขึ้น โดยเฉพาะข้าวในกลุ่มอินดิก้า มีการเพิ่มขึ้นทั้ง 2 อุณหภูมิ สังเกตได้จากค่าพีอีของน้ำที่ได้มาจากการหุงข้าวมีค่าลดต่ำลงซึ่งสอดคล้องกับผลการทดลองของ Zhou, Robards, Helliwell และ Blanchard ในปี 2007 ที่พบการลดลงของค่าพีอีในน้ำที่ได้มาจากการหุงข้าวเก่าอายุ 1-6 เดือนที่อุณหภูมิ 3-7 องศาเซลเซียส นอกจากนี้ Tran และคณะ ชี้ว่าการเพิ่มขึ้นของปริมาณน้ำตาลริบิวซ์ด้วย ซึ่งได้อธิบายว่า เกิดจากการสลายตัว หรือถูกย่อยของสตาร์ช รวมถึงน้ำตาลซูโคโรส และราฟิโนสที่เกิดขึ้นระหว่างการเก็บ ทำให้ปริมาณคาร์โบไฮเดรต และน้ำตาลอิสระในข้าวลดลง และยังพบการลดลงของปริมาณกรดอะมิโนหลักในข้าว คือ กลูตามนิก และแอลฟาร์ติกด้วย ส่งผลให้เกิดกลิ่นเปรี้ยว และเหม็นหืนในข้าว และยังมีผลให้รสหวาน และความอร่อยที่มีในข้าวสุกลดลงหลังเก็บรักษา ส่งผลต่อการยอมรับของผู้บริโภคที่ลดลงไปด้วย ในสภาวะเก็บรักษาทั้งที่อุณหภูมิห้อง (Tran et al, 2005) และที่ 37 องศาเซลเซียส (Zhou et al, 2007) พบร่วมกับความสุกจะมีเนื้อสัมผัสที่แข็งขึ้น บงชีลักษณะของเม็ดสตาร์ชมีความแข็งเพิ่มขึ้นภายหลังการเก็บ สอดคล้องกับค่าการปลดปล่อย อะไมโลสอิสระ ปริมาณของแข็ง รวมทั้งปริมาณโปรตีนที่ละลายได้ที่มีค่าลดลง และยังสัมพันธ์กับความต้องการนำสำหรับใช้ในการหุงข้าว (Charstil, 1990, Charstil, 1992, Shibuya, Iwasaki, Yanase and Chikubu, 1974) และเวลาที่ใช้ในการหุงข้าวที่เพิ่มขึ้นด้วย (Ramarathnam and Kulkarni,

1984; Zhou et al, 2007) ซึ่งเมล็ดข้าวสุกจะยังคงรูปได้ดีในลักษณะที่ไม่แตกหรือปริ มีการพองตัวของเมล็ดข้าวเพิ่มขึ้น (Charstil, 1990; Charstil, 1992) การขยายตัวของข้าวสุก (Tran et al, 2005) และปริมาตรของข้าวสุกจะเพิ่มขึ้น เมล็ดข้าวสุกมีลักษณะฟูมากขึ้น (Charstil, 1990; Normand, Hogan and Deobald, 1964; Bhattacharya, Desikachar and Subrahmanyam, 1964) หรือที่เรียกว่าหุงขึ้นหม้อ เมื่อพิจารณาเนื้อสัมผัสของข้าวสุกพบว่า ความการเกาะกันของข้าวสุก (stickiness) มีค่าลดลง (Juliano, 1985; Tran, et al 2005). โดยหากเปรียบเทียบที่ระยะเวลาการเก็บรักษาเท่ากัน การเปลี่ยนแปลงคุณลักษณะต่าง ๆ จะเพิ่มสูงขึ้นในตัวอย่างที่เก็บอุณหภูมิสูง ขณะที่การเก็บที่อุณหภูมิต่ำในช่วง 4-5 องศาเซลเซียสจะมีการเปลี่ยนแปลงในด้านต่าง ๆ รวมถึงเนื้อสัมผัสเพียงเล็กน้อยเท่านั้น (Tran et al, 2005; Zhou et al, 2007) ในปี 2003 Noosuk, Hill, Pradipasena และ Mitchell ทดลองเก็บข้าวไทย 3 พันธุ์ที่มีazole ไมโลสต่างกัน (สูง กกลาง และต่ำ) ได้แก่ ข้าวกล6 ข้าวขาวคอกมะลิ 105 และ ข้าวสุพรรณบุรี1 ที่อุณหภูมิ 30-35 องศาเซลเซียสเป็นเวลา 5 เดือน แล้วตรวจสอบคุณสมบัติทางความหนืดของสตาร์ช ด้วยเครื่อง RVA พบว่า ค่าความหนืดสูงสุด (peak viscosity) และเบรคดาวน์ (breakdown) ของตัวอย่างมีค่าลดลง ขณะที่ ค่าเซทแบค (setback) และ อุณหภูมิการเกิดเพสท์ (pasting temperature) ไม่เปลี่ยนแปลง ซึ่งสอดคล้องกับงานวิจัยของ Sowbhagya และ Bhattacharyat (2001) ที่ศึกษาการเกิดเพสท์ของแป้งข้าว 15 พันธุ์ เก็บไว้ที่อุณหภูมิห้องเป็นเวลา 51 สัปดาห์ แสดงการลดลงของค่าเบรคดาวน์ ขณะที่ค่าเซทแบค มีค่าเพิ่มขึ้น ซึ่ง Sowbhagya และ Bhattacharyat ได้อธิบายว่า因為เกิดจากการจัดเรียงตัวใหม่ ขององค์ประกอบภายในข้าว ทำให้เมล็ดข้าวหتانทานต่อการพองตัว และการแตกสลายเมื่อได้รับความร้อน โดยพบว่าการเปลี่ยนแปลงนี้จะเกิดขึ้นเร็วในระยะเริ่มต้น และค่อย ๆ ช้าลง โดยไม่มีจุดสิ้นสุด โดยนอกจากระยะเวลาที่มีผลต่อการเปลี่ยนแปลงค่าความหนืดแล้ว อุณหภูมิ ที่ใช้ในการเก็บรักษาที่มีผลต่อการเปลี่ยนแปลงค่าความหนืดของแป้ง เช่นเดียวกับที่เกิดขึ้นในเนื้อสัมผัสเช่นกัน โดยในปี 2003 Zhou, Robards, Helliwell และ Blanchard ได้ศึกษาการเปลี่ยนแปลงความหนืดของข้าว 3 สายพันธุ์ คือ Koshihikari, Kyeema และ Doongara ที่เก็บรักษาเป็นเวลา 16 สัปดาห์ ที่อุณหภูมิ 4 และ 37 องศาเซลเซียส พบว่า การเก็บที่อุณหภูมิต่ำมีการเปลี่ยนแปลงความหนืดเล็กน้อยซึ่งไม่มีความแตกต่างกันทางสถิติ ขณะที่ข้าวเก็บอุณหภูมิสูง แสดงการลดลงของค่าความหนืดสูงสุด และ เบรคดาวน์ โดย Zhou และคณะ ได้ให้คำอธิบายว่า คุณสมบัติทางความหนืด และการเจลาตินซ์ของแป้งที่เปลี่ยนไปหลังการเก็บรักษาน่าจะเป็นผลของการเปลี่ยนแปลงที่บีบร้าวน์พิวเม็ดสตาร์ช โดยเกี่ยวข้องกับลักษณะประจุที่พิวเม็ดสตาร์ชเอง ที่เปลี่ยนไป มีผลต่อการขัดขวางการแพร่ผ่านของน้ำเข้าสู่เม็ดสตาร์ช ซึ่งอาจเกี่ยวข้องกับไขมัน และ โปรตีนที่อยู่บริเวณพื้นผิวของเม็ดสตาร์ชด้วย และในปี 2000 Teo, Karim, Cheah,

Narziah และ Seow ได้แสดงให้เห็นผลของโปรตีนต่อคุณสมบัติความหนืดของแป้งข้าวเก่าพันธุ์ Makmur 77 ซึ่งอยู่ในกลุ่ม non-waxy เก็บที่อุณหภูมิ 25, 35 และ 45 องศาเซลเซียสเป็นเวลา 14 สัปดาห์ แสดงค่าความหนืดที่เพิ่มขึ้นในทุกตัวอย่าง โดยจะเพิ่มสูงในตัวอย่างที่เก็บอุณหภูมิสูง ขณะที่ตัวอย่างสตาร์ชที่เก็บไว้ไม่มีการเปลี่ยนแปลงค่าความหนืดเลย และสตาร์ชบางให้ค่าพิคความหนืดที่สูงกว่าแป้งข้าวด้วย ซึ่งบ่งบอกได้ว่าสตาร์ชมีการเปลี่ยนแปลงน้อยในระหว่างการเก็บรักษา เช่นนี้การเปลี่ยนแปลงที่มีบทบาทต่อกระบวนการเก่าของข้าวน่าจะมีผลมาจาก โปรตีน โดยจาก การศึกษาของ Zhou และ คณะ ในปี 2003 พบว่าการเติมเอนไซม์เซลลูเรส ในสารละลายแป้งข้าวเก่า ที่เก็บที่ 37 องศาเซลเซียสเป็นเวลา 16 สัปดาห์ แล้วด้วยความหนืด มีผลทำให้เส้นกราฟความหนืดของตัวอย่างแป้งข้าวทั้ง 3 พันธุ์ ขับเข้าใกล้เส้นกราฟความหนืดของแป้งข้าวใหม่ แสดงถึงน้ำสามารถแพร่ผ่านเข้าไปในโครงสร้างของสตาร์ชได้ดีขึ้น เมื่อโครงสร้างของผนังเซลล์ถูกย่อโดยด้วย เอ็นไซม์ แป้งที่ผ่านการเตรียมโดยบ่มในสารละลายโปรตีอสแสดงการเพิ่มขึ้นของค่าพิคความหนืดสูงสุด และเบรคดาวน์ และการลดลงของความหนืดสุดท้าย (final viscosity) อายุรังษีเจน โดยเส้นกราฟความหนืดของแป้งข้าวเก่าพันธุ์ Doongara เก็บที่อุณหภูมิ 37 องศาเซลเซียสจะมีลักษณะคล้ายคลึงกับแป้งข้าวใหม่ ขณะที่ตัวอย่างข้าวเก็บที่ 4 องศาเซลเซียสเป็นเวลา 16 เดือนนี้ แม้จะไม่พนการเปลี่ยนแปลงของลักษณะเส้นกราฟความหนืดแต่การใช้ออนไซม์โปรตีอสก็ยังมีส่วนเพิ่มค่าพิคความหนืดสูงสุดให้กับตัวอย่างแป้งข้าวได้ด้วย นอกจากนี้ยังพบว่าสารละลายเบต้า-เมอร์แคป-โตอีทานอล ซึ่งเป็นสารปริวิติซิงค์ เพื่อทำลายพันธุ์ไครซัลไฟฟ์ของโปรตีนที่พบว่ามีการเพิ่มจำนวนขึ้นในระหว่างการเก็บข้าว (Chrastil and Zarins, 1992) โดยผสมกับแป้งข้าวพันธุ์ Doongara นั้นมีผลอย่างมากในการเพิ่มค่าพิคความหนืดสูงสุด และค่าความหนืดสุดท้าย โดยสังเกตเห็นได้ชัดเจน ในตัวอย่างที่เก็บไว้ที่ 37 องศาเซลเซียส บ่งชี้ว่าเม็ดสตาร์ชสามารถดูดซับน้ำ พองตัว และเกิดเจลอาทีโนซ์ได้ดีขึ้น แสดงว่าการเปลี่ยนแปลงของโปรตีนระหว่างการเก็บรักนานนี้มีผลต่อการเปลี่ยนแปลงลักษณะของข้าว

นักวิจัยกลุ่มนี้ได้ศึกษาการเปลี่ยนแปลงของโปรตีนที่เกิดขึ้น ในข้าวระหว่างการเก็บรักนานว่ามีไม่เปลี่ยนแปลงในเชิงปริมาณ (Chrastil, 1990; Barber, 1972; Villarel, Ressurreccction, Suzuki and Juliano, 1976) แต่กลับพบการเปลี่ยนแปลงคุณสมบัติเคมี และเคมีกายภาพอื่น ๆ โดยในปี 1990 Chrastil ได้ศึกษาปริมาณหน่วยไครซัลไฮดริว และพันธุ์ไครซัลไฟฟ์ในข้าว 2 สายพันธุ์ กีอ Lemont และ Mercury ซึ่งเป็นข้าวพันธุ์เมล็ดขาว และข้าวพันธุ์เมล็ดสันตามลำดับ โดยนำมาเก็บรักนานาไว้ที่อุณหภูมิ 40 องศาเซลเซียสเป็นเวลาระยะเวลา 1 ปี พบว่าการละลายของโปรตีนในกลุ่มกลุ่ติลินมีค่าลดลง และยังพบปริมาณหน่วยไครซัลไฮดริวที่ลดลง ขณะที่พันธุ์ไครซัลไฟฟ์เพิ่มขึ้นใน

ระหว่างการเก็บ ซึ่งเชื่อมโยงกับการทดลองในปี 1992 โดย Chrastil ได้ทำการศึกษาขนาดโมเลกุลของโปรตีนกลูติลิน ในข้าว 3 พันธุ์ คือ Lemont, Mars และ S-201 ที่เป็นข้าวพันธุ์เมล็ดขาว ข้าวพันธุ์เมล็ดกลาง และข้าวพันธุ์เมล็ดสัน ตามลำดับ โดยนำไปเก็บรักษา ในช่วง 4, 25, 39, 35 และ 40 องศาเซลเซียส เป็นระยะเวลา 1 ปีพบว่าขนาดโมเลกุลเฉลี่ยของโปรตีนกลูติลินมีค่าเพิ่มขึ้นตามอุณหภูมิ การเก็บที่เพิ่มขึ้น นอกจากนี้ยังพบการเพิ่มขึ้นของพันธะ ไดซัลไฟฟ์ในระหว่างการเก็บรักษาข้าวด้วยต่อมาในปี 2005 Ohno และ Ohisa ได้ศึกษาน้ำตาลโมเลกุลโปรตีนที่สักด้วยจากข้าวพันธุ์ Akitakomachi ที่ผ่านการเก็บรักษาที่ 30 องศาเซลเซียส เป็นเวลา 8 สัปดาห์ โดยเทคนิค SDS-PAGE พบว่าขนาดโมเลกุลโปรตีนมีการเปลี่ยนแปลงไป โดยพบว่ากลุ่มโมเลกุลขนาดเล็กมีปริมาณน้อยลง ขณะที่โปรตีนขนาดใหญ่มีปริมาณเพิ่มมากขึ้นภายหลังการเก็บรักษา นักวิจัยทั้งสองจึงทำการทดลอง เพื่อหาคำอธิบายถึงการเปลี่ยนแปลงที่เกิดขึ้นของโปรตีนภายหลังการเก็บรักษาข้าง โดยทำการทดลองเปรียบเทียบโปรตีนสักด้วยที่เตรียมจากแป้งข้าวใหม่ ที่ผ่านการแช่สารละลาย 3 ชนิด ได้แก่ น้ำกลั่น โซเดียมไฮดรอกไซด์ และสารละลายโซเดียมซัลไฟฟ์ ที่เข้มข้น 5 มิลลิโมลาร์ ซึ่งมีคุณสมบัติเป็นสารออกซิไดซ์ และสารละลายโซเดียมซัลไฟฟ์ที่เข้มข้น 8 มิลลิโมลาร์ ซึ่งมีคุณสมบัติเป็นสารเรดิวซิงซ์ เป็นเวลา 30 นาที แล้วนำตะกอนแป้งที่จะสารละลายออกแล้ว สักด้วย SDS-PAGE พบว่า สารออกซิไดซ์ มีผลทำให้โมเลกุลโปรตีนขนาดเล็กเชื่อมกันเป็นโมเลกุลขนาดใหญ่ขึ้น ในทางกลับกันสารเรดิวซิงซ์ ที่มีคุณสมบัติในการทำลายพันธะ ไดซัลไฟฟ์ ของโปรตีนทำให้โมเลกุลใหญ่ให้แตกออกเป็นหน่วยย่อยขนาดเล็กได้ และเมื่อนำผลที่ได้มาพิจารณา จะพบว่า ความเชื่อมโยงเกี่ยวกับการเพิ่มจำนวนของโปรตีนขนาดใหญ่ที่เกิดขึ้นในข้าวเก่า นั้นเกิดจากการออกซิไดซ์หนู่ซัลไฮดรอล ของโปรตีนที่เกิดขึ้นเองระหว่างการเก็บรักษา เกิดเป็นพันธะไดซัลไฟฟ์ที่เพิ่มมากขึ้นตามไปด้วยนั่นเอง

2.6 พันธะเคมีและแรงยึดเกาะที่สำคัญในโปรตีน

โปรตีนในสภาพธรรมชาตินี้ จะมีการพับตัว (folding) เพื่อให้เกิดความเสียร่องของโครงสร้างโปรตีนเอง ซึ่งต้องอาศัยแรงและพันธะเคมีมาเกี่ยวข้อง หรือแม้แต่การเกิดเจล ของโปรตีนก็เกี่ยวข้องกับแรง และพันธะเคมี เช่นเดียวกัน โดยทั่วไปในโปรตีนนั้นมีแรง หรือพันธะเคมีที่เป็นพื้นฐานสำคัญ อよู่ 4 ชนิด ซึ่งอธิบายความหมายและความสำคัญโดยย่อได้ดังนี้

แรงแวนเดอร์วัลล์ (van der waals forces) คือแรงดึงดูดระหว่างอะตอมหรือโมเลกุลของโปรตีนที่ไม่มีข้าวซึ่งอยู่ใกล้ชิดกัน เกิดจากค่า dipoles ที่เปลี่ยนแปลงขึ้นลงตลอดเวลา เกิดจากการเคลื่อนที่ของอะตอมหรือโมเลกุล นิวเคลียสของอะตอมภายในโมเลกุลโปรตีน อย่างไรก็ตามแรงดึงดูด

ที่เกิดขึ้นจะเปลี่ยนเป็นแรงผลักที่เรียกว่า born repulsion ได้ เมื่อโมเลกุลเคลื่อนที่เข้ามาในระยะที่ใกล้กันมากเกินไป ซึ่งโดยปกติแล้วแรงดึงดูด และแรงผลักจะเกิดขึ้นได้ใกล้เคียงกัน (Visser and Koning, 1992) แรงแวนเดอร์วัลล์ส ถือว่ามีส่วนต่อการเสถียร โครงสร้างโปรตีน เนื่องจากมีการจัดเรียงตัวของโซ่ข้างโปรตีนอยู่ในตำแหน่ง และระยะที่เหมาะสมที่ทำให้เกิดแรงแวนเดอร์วัลล์ได้มาก

แรงประจุไฟฟ้า (electrostatic forces) เป็นแรงที่เกิดจากประจุลบ และประจุบวกของสายโซ่โปรตีน โดยค่าพลังงานพันธะ จำนวนประจุ ระยะทางระหว่างประจุบวกกับลบ และค่าพีอช ของตัวกลางหรือสารละลาย มีผลต่อแรงชนิดนี้

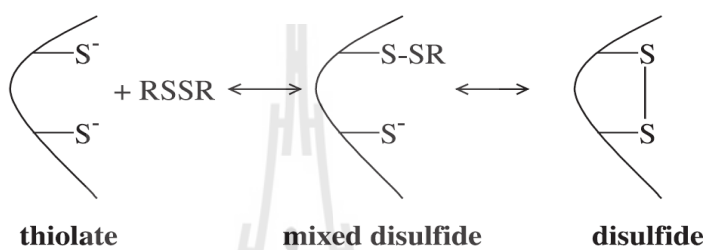
พันธะไฮโดรเจน (hydrogen bond) เกิดขึ้นได้เมื่อมีกรดอะมิโนที่เป็นตัวให้ไฮโดรเจน และกรดอะมิโนที่เป็นตัวรับไฮโดรเจน ซึ่งได้แก่ เชอร์น, ทริโอนีน, อิสทิกีน, กลูตามีน และ แอสพาราจีน โปรตีนที่มีกรดอะมิโนเหล่านี้มาก ก็จะสามารถเกิดพันธะไฮโดรเจนได้มากตามไปด้วย เนื่องจาก พันธะไฮโดรเจนเป็นพันธะนอนโค瓦เลนท์ มีค่าพลังงานพันธะต่ำ จึงทำให้ถูกทำลายได้ง่ายด้วยความร้อน

อันตรกิริยาไฮโดรโฟบิก (hydrophobic interactions) เกิดจากการจัดเรียงตัวหรือรวมกลุ่มกันระหว่างโซ่ข้างโปรตีนที่มีกรดอะมิโนที่ไม่มีขั้วหรือที่เป็นไฮโดรโฟบิกอยู่สูง เป็นปรากฏการณ์ทางเทอร์โมไคนา มิกที่เกิดขึ้นเองเพื่อให้เกิดความเสถียรของโปรตีน โดยพิจารณากรณีที่เกิดขึ้นในสารละลายมีข้าว เช่น น้ำ ซึ่งมีความเป็นไฮโดรฟิลิกสูงจะไม่จับกับโปรตีนกลุ่มไม่มีข้าว ทำให้เกิดแรงผลักกันระหว่างโมเลกุลของน้ำ ซึ่งมีข้าวกับโปรตีนกลุ่มไม่มีข้าว โปรตีนกลุ่มนี้จึงเลือกที่จะดัดตัวเข้าใกล้กัน หรือดัดตัวอยู่ภายในการกว่าจะออกมานั่น แต่เพื่อให้เกิดความเสถียรของโครงสร้าง ดังนั้นแรงไฮโดรโฟบิกจึงมีบทบาทสำคัญต่อโปรตีนที่มีความเป็นไฮโดรโฟบิกสูง ๆ และนอกจากนี้ความเป็นไฮโดรโฟบิกที่เพิ่มขึ้น ยังบ่งบอกว่าโปรตีนมีการเปิดตัว หรือสูญเสียสภาวะธรรมชาติมากขึ้น จากการที่กรดอะมิโนไม่มีข้าวซึ่งเดิมจะขาดตัว หรือจับกลุ่มกันอยู่ภายใต้เกิดเคลื่อนที่ออกมานั่น ซึ่งมีงานวิจัยที่ศึกษาเรื่องของพื้นผิวไฮโดรโฟบิกของโปรตีนในตัวอย่างข้าว และใช้เป็นตัวบ่งชี้ถึงการเสียสภาวะธรรมชาติของโปรตีนได้ โดยในปี 2001, Jun, hettiarachchy และ Rath ได้คิดตามการเปลี่ยนแปลงค่าพื้นผิวไฮโดรโฟบิกของโปรตีนโกลบูลิน และกลูติลินสกัดจากแป้งข้าวในระหว่างการให้ความร้อนที่อุณหภูมิ 45-95 องศาเซลเซียส พบร่วมค่าพื้นผิวไฮโดรโฟบิกของโปรตีนเพิ่มขึ้นอย่างรวดเร็วเมื่อเพิ่มอุณหภูมิถึงระดับ 79 และ 82 องศาเซลเซียส ซึ่งเป็นจุดอุณหภูมิที่โปรตีนทั้งสองเสียสภาพ (denaturation temperature) ดังนั้นการเปลี่ยนแปลงค่าพื้นผิวไฮโดรโฟบิก จึงถูกนำมาใช้ในการอธิบายการเสียสภาพของโปรตีนได้ โดยในปี 2006, Paraman, Hettiarachchy, Schaefer และ Beck ศึกษาค่าพื้นผิวไฮโดรโฟบิกของโปรตีนที่สกัดจากแป้งข้าวโดยใช้สารละลายที่ต่างกัน 2 ชนิด คือ โซเดียมไฮดรอกไซด์เพิ่มขึ้น 1 มิลลิ (พีอช 11.0) โซเดียมคลอไรด์เพิ่มขึ้น 0.08 มิลลิ (พีอช 11.0) และเอนไซม์ 2 ชนิด คือ เทอร์มามิล (Termamyl)

และ อะมายลีаз (amylase) พบว่าการใช้สารละลายด่าง และเกลือสกัดโปรตีน จะให้ค่าพื้นผิวความเป็นไฮดรอฟอบิกเท่ากับ 579 และ 575 ตามลำดับ ซึ่งมีค่าต่ำกว่าการใช้อ่อนไชม์ที่อุณหภูมิ 90 องศาเซลเซียสในการสกัดซึ่งมีค่าเท่ากับ 984 และ 832 ตามลำดับ ซึ่งค่าที่สูงบ่งบอกถึงการเปิดตัวหรือเสียสภาพของโปรตีนที่มากกว่า ซึ่งมีผลจากการใช้ความร้อนร่วมด้วย ต่อมาในปี 2007 Paraman และคณะ ได้ทำการศึกษาการย่อยโปรตีนที่สกัดจากแป้งข้าวต้มเย็นไชม์ เปปซิน (pepsin), อัลคาเรส (alcalase) และ ลิกวิพานอล (liquipanol) โดยพบว่าที่ระดับการย่อยเริ่มต้นที่ร้อยละ 2-5 ความสามารถในการละลายของโปรตีนจึงมีแนวโน้มเพิ่มขึ้น แต่เมื่อระดับการย่อยของเย็นไชม์ทั้ง 3 เพิ่มขึ้นมากกว่าร้อยละ 13.5 ความสามารถในการละลายของโปรตีนจึงมีค่าลดลง เช่นเดียวกับค่าพื้นผิวไฮดรอฟอบิกที่มีค่าลดลงด้วย ที่เป็นเช่นนี้เป็นเพราะในโปรตีนประกอบด้วยกรดอะมิโนไฮดรอฟอบิกจำนวนมาก แม้จะถูกย่อยเป็น เปปไทด์สายสั้น ๆ แล้วก็สามารถที่จะกลับรวมตัวกันได้ใหม่ได้ นอกจากนี้ยังเป็นผลมาจากการที่โปรตีนในข้าวเอง มีพันธะไดซัลไฟฟ์อยู่ในจำนวนมากทำให้โปรตีนส่วนนี้ไม่ถูกย่อย และยังเกะตัวกันอยู่ ค่าการละลายของโปรตีนจึงไม่เพิ่มขึ้น และยังมีแนวโน้มลดลงแม้ระดับการย่อยจะเพิ่มขึ้นก็ตาม แสดงให้เห็นว่าค่าความเป็นไฮดรอฟอบิก นอกจากจะใช้บ่งบอกได้ถึงการเปิดตัว หรือการสลายตัวของโปรตีน หรือเปปไทด์ แล้วยังสามารถบ่งบอกการรวมตัวกันของสายเปปไทด์ หรือโมเลกุลโปรตีนได้อีกด้วย ทั้งนี้ค่าพื้นผิวไฮดรอฟอบิกที่เปลี่ยนแปลงไป ยังสามารถนำไปใช้ในการเลือกวิธีการที่เหมาะสมในการเตรียมโปรตีนสกัดจากข้าว ที่ทำให้โปรตีนเสียสภาพน้อยที่สุดได้ด้วย โดยวิธีการที่เลือกใช้จะต้องเป็นวิธีที่ไม่ทำให้เกิดการเปลี่ยนแปลงเพิ่มลดค่าพื้นผิวไฮดรอฟอบิกมากเกินไป (Paraman, Hettiarachchy and Schaefer, 2008) และยังสามารถบ่งบอกได้ถึงการเปลี่ยนแปลงรูปร่างของโปรตีนจาก ค่าที่เพิ่มขึ้นแสดงการเปิดตัวของโปรตีนด้านในออกสู่ด้านนอก ขณะที่การลดลงของค่าพื้นผิวไฮดรอฟอบิกแสดงการเกาะกลุ่มกันของโปรตีน (Yongsawatdigul and Park, 2003)

พันธะไดซัลไฟฟ์ (Disulfide bonds) คือ พันธะโควาเลนที่เกิดจากการเชื่อมกันของกรดอะมิโนซีสทีอินที่มีในโครงสร้างโปรตีน โดย 1 พันธะเกิดจาก ซีสทีอิน 2 ตัว เนื่องจากมีค่าพลังงานพันธะสูงกว่า 50 กิโลแคลอรี่ต่้อมล (Visser and Koning, 1992) จึงเป็นพันธะที่มีความแข็งแรงมากโดยโปรตีนที่มีจำนวนของพันธะไดซัลไฟฟ์สูงก็จะมีความทนทาน ยากแก่การทำลาย แม้จะอยู่ในสภาพแวดล้อมที่รุนแรง จึงสามารถทนอุณหภูมิที่สูง สภาวะกรด-ด่างสูง และสภาวะในตัวทำละลายอินทรีย์ที่มีความเข้มข้นสูง ๆ ได้ดี จึงมีบทบาทสำคัญอย่างยิ่งต่อเสริมรากของโปรตีน โดยพันธะไดซัลไฟฟ์ สามารถเกิดขึ้นทั้งเกิดได้ทั้งภายในและภายนอกโครงสร้างโปรตีน โดยกลไกในการเกิดพันธะไดซัลไฟฟ์มี 2 ขั้นตอนในการเกิด ขั้นที่ 1 เริ่มจากออกซิเดชันของ หมู่ไฮโอลे�ทกลุ่มแรก (กำจัดออกซิเจน) ด้วยสารในกลุ่ม low molecular weight disulfide ได้แก่

cysteine, cystamine, เอนไซม์ในกลุ่ม protein disulfide isomerase, dithiobis(2-nitrobenzoic acid) หรือสารที่ทำหน้าที่เป็นตัวรับอิเล็กตรอน เช่น ไอโอดีน ไดเมททิล ซัลฟอกไซด์ รวมทั้งออกซิเจน ในอากาศ ก็เป็นสารตัวกลางที่เรียกว่า mixed disulfide species ขั้นที่ 2 กลุ่ม low molecular weigh disulfide ใน mixed disulfide species ถูกกำจัดออก และแทนที่ด้วยหมู่ไทโอลอิกไมเลกุล ก็เป็นพันธะไดซัลไฟฟ์ ซึ่งเกิดขึ้นได้ทั้งภายในโนมโลกุล และเกิดขึ้นได้ระหว่างโนมเลกุล (Bulaj, 2005) ดังภาพที่ 2.3



ภาพที่ 2.3 ปฏิกิริยาการเกิดพันธะไดซัลไฟฟ์

ที่มา: Bulaj, 2005

เจลที่เกิดจากโปรตีนนี้ ส่วนหนึ่งมาจากการเขื่อนกันระหว่างสายโปรตีนด้วยพันธะไดซัลไฟฟ์ เกิดเป็นโครงสร้างสามมิติขึ้นมา และมีผลโดยตรงต่อเนื้อสัมผัสของอาหารหลายชนิดที่มีโปรตีนซึ่งประกอบด้วยกรดอะมิโนซีสทิอินในโครงสร้าง (Gerrard, 2002) โดย Benjakul, Thongkaew and Visessanguan (2005) ระบุว่าในเนื้อปลาด้วยพันธะนี้จะไม่ถูกทำลายด้วยแรงในกระบวนการบดหรือสับ ซึ่งเพิ่มขึ้นในระหว่างการแซ่บแข็ง โดยพันธะนี้จะไม่ถูกทำลายด้วยแรงในกระบวนการบดหรือสับ ซึ่งเมื่อนำไปทำผลิตภัณฑ์ชูริมิจฉา ได้ลักษณะของเจลและเนื้อสัมผัสที่ไม่เป็นที่ต้องการ เนื่องจากความสามารถในการเกิดเจลของเนื้อปลาลดลง จากปัญหาที่เกิดขึ้นดังกล่าว Banjakul และ คณะ (2005) ได้ทดลองเติมสารรีดิวชิง 3 ชนิด ได้แก่ กรดแอกโซร์บิก ซีสทิอิน และโซเดียม ไบซัลไฟฟ์ โดยใช้ที่ระดับความเข้มข้น 3 ระดับ คือ ร้อยละ 0.05, 0.1 และ 0.2 ผสมลงไปในขั้นตอนการทำชูริมิจากปลาแซ่บแข็ง จากปลาทะเล 4 ชนิด croaker, lizardfish, threadfin bream และ bigeye snapper พบว่า การใช้สารรีดิวชิง ที่ระดับความเข้มข้นต่ำคือร้อยละ 0.05-0.1 มีผลต่อการปรับปรุงคุณลักษณะเจลของชูริมิหลังให้ความร้อนให้มีลักษณะเหมือนชูริมิที่ได้จากปลาเนื้อปลาสด โดยพากษาพบว่าซีสทิอิน ร้อยละ 0.05 มีประสิทธิภาพสูงสุดในการปรับปรุงคุณภาพของเจลที่ได้จาก

เนื้อปลา薛ร์เริ่ง ซึ่งสัมพันธ์กับปริมาณหมู่ชัลไอดริลที่เพิ่มสูงขึ้น ในขณะที่พันธะไดชัลไฟฟ์มีค่าลดลง และยังมีส่วนในการเพิ่มกิจกรรมของเอนไซม์ทรานส์กูลูตามีนีส (Transglutaminase) และ เอทีพีโอส (ATPase) ซึ่งแสดงถึงโมเลกุลของไนโตรซินที่ถูกทำลายไปสามารถกลับคืนสู่สภาพปกติได้ พวกรเข้าใจดีของสรุปว่า สารรีดิวชิงโดยเฉพาะซีสทิอิน มีผลต่อการคืนสภาพของโปรตีนกล้ามเนื้อที่ถูกทำลายไประหว่างการเก็บและการแช่แข็งได้ และยังมีผลทำให้เอนไซม์ทรานส์กูลูตามีนีสในเนื้อปลาทำงานได้ดี ปรับปรุงความสามารถในการเกิดเจลของชูริมิจากเนื้อปลา薛ร์เริ่งให้มีคุณภาพดีขึ้นได้

2.7 สารรีดิวชิง (Reducing agent)

สารรีดิวชิง ในทางเคมี หมายถึง ชาตุหรือสารประกอบที่เกี่ยวข้องในปฏิกิริยาออกซิเดชันและรีดักชัน (reduction-oxidation: redox) สารในกลุ่มนี้จะมีค่าอิเล็กโตรเนกติวิตี้ (electronegativity) และค่าพลังงานไออ้อนไนซ์ (ionization energies) ที่ต่ำ เกิดจากการที่ตัวมันเองจะมีแรงดึงดูดระหว่างนิวเคลียสกับอิเล็กตรอนรอบนอกน้อย จึงทำให้สูญเสียอิเล็กตรอนได้ง่าย สารในกลุ่มนี้จึงทำหน้าที่เป็นตัวให้อิเล็กตรอน และมีความสามารถให้ไฮโดรเจนอะตอมกับชาตุตัวอื่น

สารรีดิวชิงแบบออกเป็นหลายกลุ่ม ยกตัวอย่างเช่น กลุ่มชาตุในหมู่โลหะ เช่น โพแทสเซียม แคลเซียม แบրเรียม โซเดียม แมกนีเซียม รวมถึง สารประกอบในกลุ่มที่มี H^- ไอออน และสารประกอบที่แสดงคุณสมบัติเป็นสารรีดิวชิง ยกตัวอย่างเช่น ลิเทียม, อะลูมิเนียม ไฮดรายด์ ($LiAlH_4$) โซเดียม บอร์ไฮดรายด์ ($NaBH_4$), สารประกอบที่มีไอออนดีบุก (Sn^{2+}) กลุ่มของสารประกอบชัลไฟท์ กรดอีอกซ์าลิก (oxalic acid) กรดฟอร์มิก (formic acid) กรดแอสคอร์บิก (ascorbic acid) สารประกอบของ Fe^{2+} และ ไดไฮดรอซิทธอล (dithiothreitol) เป็นต้น สารรีดิวชิงบางชนิด เช่น หมู่ไฮดรอยด์ กรดแอสคอร์บิก และสารประกอบในกลุ่มโพลีฟินอล ทำหน้าที่เป็นสารต้านอนุมูลอิสระ (antioxidant) ได้ด้วย(Wikimedia Foundation, www, 2011, 2012)

สารรีดิวชิงบางชนิดถูกนำมาใช้เป็นสารเติมแต่งอาหาร (food additive) เพื่อสนับสนุนรักษาย ปรับปรุงคุณภาพอาหารให้ได้ลักษณะที่ต้องการของผู้บริโภค ยกตัวอย่างเช่น

โซเดียมอิริธโรเบท (sodium erythorbate) หรือ โซเดียมแอสคอร์เบส ในผลิตภัณฑ์จากเนื้อสัตว์จำพวกเหنم คุนเชียง และไส้กรอกอิมัลชั่นชนิดไม่ร่มควัน โดยทำหน้าที่เร่งการเปลี่ยนในเตอร์ท และในไตรท์ ไปเป็นในตริกออาไซด์ และเกิดการจับตัวเม็ดสี (myoglobin)ในเนื้อทำให้ผลิตภัณฑ์มีสีสันน่ารับประทาน (Ray, Online, 2012) กรดแอสคอร์บิก หรือวิตามินซี ใช้เป็นสาร

ป้องกันการเกิดสีน้ำตาลในผลิตภัณฑ์ผักและผลไม้ อนุพันธ์ของวิตามินซีใช้เป็นสารต้านออกซิเดชัน ในน้ำมัน น้ำมันดับปาลา และรักษาสภาพสีของเนื้อสัตว์ (นิตยา รัตนานปนนท์, 2545)

โซเดียมซัลไฟฟ์อยู่ในกลุ่มของซัลไฟฟ์ ช่วยยับยั้งการเจริญเติบโตของเชื้อริสต์ รา และแบคทีเรีย ในไวน์ หรือเมีย เป็นสารป้องกันการออกซิเดชัน ยับยั้งการเกิดปฏิกิริยาการเกิดสีน้ำตาลจากเย็น ไขม์ และไม่เกี่ยวข้องกับเย็น ไขม์ในผักผลไม้สด ผลไม้แห้ง หรือผลิตภัณฑ์ผลไม้คอง ผลไม้แข็ง ผลไม้กวน แยม หรือแม้แต่น้ำตาลชนิดต่าง ๆ รวมทั้ง ผลิตภัณฑ์ที่ทำจากแป้ง เช่น วุ้นเส้น เส้นหมี่ และก๋วยเตี๋ยว อาหารแข็ง เช่น หรืออาหารประเภท ถ้า หน่อไม้ เห็ด กระเทียม หรือมันฝรั่งบรรจุกระป๋อง (Food network solution, www, 2010)

เป็นที่น่าสนใจว่าสารรีดิวชิงชั้นนี้มีความสำคัญ และถูกใช้อย่างมากในอุตสาหกรรมที่เกี่ยว ข้องกับผลิตภัณฑ์ขนมอบ โดยใช้ในการปรับปรุงคุณสมบัติค้านการให้หลองแป้งโดย (Burrington, 2006) โดยเติมสารรีดิวชิงชั้งไปในระหว่างขั้นตอนของการผสมแป้งขนมปัง ทำให้โปรตีนคลายตัว โดยทำลายโครงสร้างตัวข่ายของโปรตีนที่เกิดจากการเชื่อมกันระหว่างหมู่ชัลไอดริล ของกรดอะมิโนซีสทีอีน 2 โมเลกุลในโปรตีนกลูเตน ทึ้งนี้พันธะไคลซัลไฟฟ์ที่เกิดขึ้นในระหว่างขั้นตอนการนวดแป้งให้เป็นโดย เมื่อพันธะไคลซัลไฟฟ์ถูกทำลายลงจะลดการจับตัวกันระหว่างโมเลกุลโดยตีน ทำให้ความเหนียวแน่นดีของแป้งโดยลดลงขณะทำการนวดผสม เป็นการลดระยะเวลาและพลังงานที่ใช้ในขั้นตอนการนวดผสม โปรตีนสามารถจับกันน้ำได้มากขึ้น มีความอ่อนตัว ง่ายในการปืนและขึ้นรูปผลิตภัณฑ์ (Tsen, 1969; Pecivova, Pavlinek and Hrabe, 2011; Haegens, 2012) ลดการพองตัวของก้อนขนมปัง ลดการหดตัวของแป้งโดยที่ผ่านการแข็งแข็ง (frozen bread dough) แก้ปัญหาการเพิ่มน้ำของผลิตภัณฑ์ขณะที่ฟอร์มตัว (Burrington, 2006; Lallemand, www, 2012) โดยสารรีดิวชิงชั้นนี้นิยมใช้ได้แก่

1. ชีสทีอีน คือ กรดอะมิโนที่มี หมู่ชัลไอดริลอยู่ในโมเลกุล ซึ่งใช้มากในขนมปัง เนื่องจากทำปฏิกิริยากับโปรตีนได้รวดเร็ว ทำให้ลดเวลาในการนวดผสม (Burrington, 2006) เกิดปฏิกิริยาได้ที่ระดับความเข้มข้นต่ำ ๆ (Pecivova et al, 2011) ในส่วนผสมแป้งขนมปัง และบีสกิส ใช้ได้ในอัตราส่วน 75 มิลลิกรัมต่อกิโลกรัม และ 300 มิลลิกรัม ต่อกิโลกรัม ตามลำดับ (Edwards, 2007)

2. กลูต้าไธโอน คือ กลุ่มไตรเปปไทด์ที่มีกรดอะมิโนชีสทีอีน 2 โมเลกุลเป็นส่วนประกอบทำหน้าที่เหมือนกับชีสทีอีนแต่มีประสิทธิภาพสูงกว่า เกิดปฏิกิริยาได้มากกว่าแต่ใช้วลามานานกว่าชีสทีอีน ดังนั้นที่ระยะเวลาท่ากัน กลูต้าไธโอนจึงมีประสิทธิภาพดีกว่าชีสทีอีน แต่จะให้กลิ่นรสที่ดีกับผลิตภัณฑ์ (Tilley, Benjamin, Bagorogoza, Okot-Kotber, Prakash and Kwen, 2010) โดยแหล่งกลูต้าไธโอนจากธรรมชาติที่มี คือ บีส ในกลุ่ม non-leavening yeasts

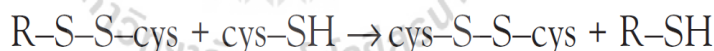
3. สารกลุ่มซัลไฟฟ์ เช่น ไบซัลไฟฟ์ไออกอน ซึ่งได้จากซัลเฟอร์ไคลออกไซด์ หรือจากเกลือซัลไฟฟ์ เช่น โซเดียมไบซัลไฟฟ์ นิยมใช้เป็นส่วนผสมในแป้งที่ทำผลิตภัณฑ์คุกคิว และแครกเกอร์

แต่เนื่องจากซัลไฟฟ์มีของเสีย คือ ทำลายไทดามีน และทำให้เกิดอาการแพ้ในบางคน หากเหลือตกค้างในผลิตภัณฑ์เกินกว่า 10 ppm จะต้องระบุไว้ในฉลากหรือบรรจุภัณฑ์ด้วย

4. แอกโซอร์บิกแอสิด หรือวิตามินซี ใช้มากในผลิตภัณฑ์นมปั่ง (Joye, Lagrain and Delcour, 2009) มีฤทธิ์สารรีดิวชิงซึ่งได้ในสภาวะที่ขาดออกซิเจน และเป็นสารออกซิไดซ์ซิงในสภาวะที่มีออกซิเจน วิตามินจัดอยู่ในสารแอนติออกซิเดนซ์ด้วย โดยถือเป็นสารเติมแต่งที่มีความปลอดภัยสูง

5. กรดบานชนิด ที่มีการนำมาใช้เป็นสารรีดิวชิงซ์บ้าง เช่น กรดซอร์บิก (sorbic acid) และกรดฟูมาრิก (fumaric acid) โดยมีส่วนของพันธะคู่ที่มีคุณสมบัติในการรีดิวซ์ (activated double-bond compounds) ซึ่งกรดในกลุ่มนี้โดยส่วนใหญ่ใช้กูโคไซด์เป็นสารอนุมอาหาร เนื่องจากคุณสมบัติความเป็นกรดสามารถยับยั้งการเจริญของเชื้อได้ แต่ยังมีรายงานว่าสารรีดิวชิงซ์สังเคราะห์ประเภทอื่น ๆ

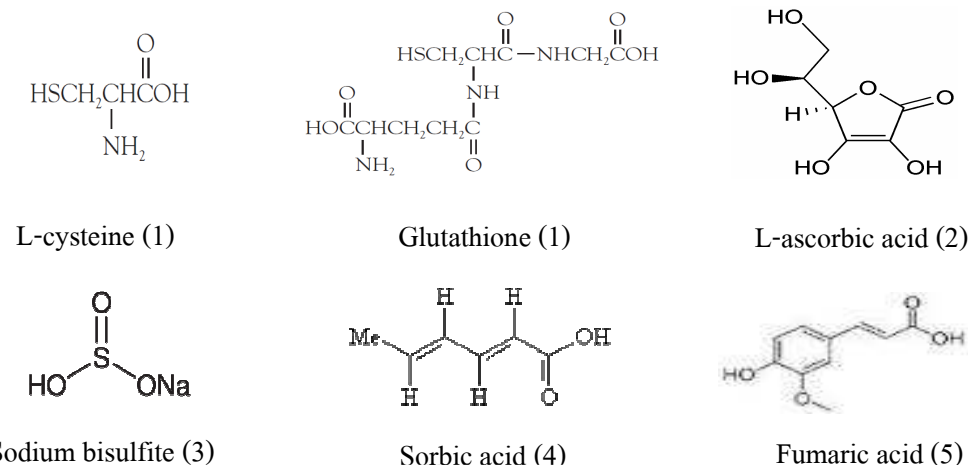
6. โปรตีอे�ส (proteases) ไม่ใช่สารในกลุ่มรีดิวชิงซ์ แต่มีคุณสมบัติในการเพิ่มความยืดหยุ่น และลดเวลาในการ凸ผสมเป็นโด เช่นเดียวกับสารในกลุ่มรีดิวชิงซ์ เนื่องจากเอนไซมน์โปรตีน เอสสามารถย่อหัวทำลายโครงสร้างตาข่ายของโปรตีนกลูเตนได้อย่างถาวร โดยประสิทธิภาพขึ้นอยู่ กับปริมาณ เวลา และอุณหภูมิที่ใช้ ซึ่งต้องระวังในการใช้โดยเน้นพาราบิโนโลยีสายโปรตีนที่มาก เกินไป จะทำให้เกิดผลเสียกับผลิตภัณฑ์ได้ (overconversion) (Lallemand, www, 2012) การใช้รีดิวชิงซ์ในกลุ่มอื่นจึงง่ายและเหมาะสมกว่า (Haegens, 2012)



ภาพที่ 2.4 ปฏิกิริยาเดี่ยวกันของโปรตีนด้วยสารรีดิวชิงซ์

ที่มา: Lallemand, www, 2012

จากผลของสารรีดิวชิงซ์ที่เติมเข้าไปทำให้ทราบว่าการเกิดขึ้นหรือการสลายของพันธะไดซัลไฟฟ์ของโปรตีน มีผลต่อคุณลักษณะของแป้งโดยและคุณลักษณะตัวผลิตภัณฑ์นมมองที่ใช้แป้งสาลีเป็นส่วนประกอบ หลักอย่างมาก ซึ่งการทำให้เกิดการเปลี่ยนแปลงของโปรตีน โดยตัดพันธะไดซัลไฟฟ์ส่งผลให้โปรตีนที่เคยเกาะกลุ่มกันขนาดใหญ่ และแยกต่อการย่อยสลายด้วยเอนไซมน์นี้ แยกออกจากกันเป็นโปรตีนที่มีขนาดเล็กลง จนง่ายต่อการเข้าไปย่อยโดยโครงสร้างของโปรตีน ทำให้ปริมาณโปรตีนที่สกัดได้มีค่าเพิ่มขึ้น (Tsen, 1969) นอกจากผลที่เกิดขึ้นในแป้งสาลีแล้ว การใช้สารรีดิวชิงซ์ในกลุ่มโซเดียมไบซัลไฟฟ์, ซีสทีอีน และไดโซเซริทอล เพื่อทำลายพันธะไดซัลไฟฟ์



ภาพที่ 2.5 สูตรโครงสร้างของสารรีดิวซิงซ์

ที่มูล: Lallemand, www, 2012 (1); www.ask.com, 2007 (2);

www.sigmaaldrich.com, 2012 (3); www.chm.bris.ac, 2012) (4);

www.selleckchem.com, 2012 (5)

ของโปรตีนที่อยู่ในแป้งข้าวฟ่าง (sorghum) ยังทำให้โปรตีนที่อยู่ในแป้งถูกย่อยสลายได้ง่ายขึ้นด้วยเอนไซม์เปปซิน เช่นเดียวกับ เบต้า-เมอร์แคปโตอเทานอล โปรตีนในแป้งจากขั้นชาติหลายชนิดได้แก่ ข้าวสาลี ข้าวโพด ข้าวบาร์เลย์ และข้าว สามารถย่อยสายได้เพิ่มขึ้น ทั้งก่อนและหลังให้ความร้อน (Hamaker, Kirleis, Butler, Axtell and Mertz, 1986) โดย ไดไโนโซธิโอล และ เบต้า-เมอร์แคปโตอเทานอล เป็นกลุ่มของสารรีดิวชิงซ์ที่มีความแรง กลุ่มที่ไม่สามารถใช้กับอาหารได้ แต่นำมาใช้ในการศึกษาขนาดโมเลกุล และหน่วยย่อยของโปรตีน ด้วยเทคนิค SDS-PAGE แทน โดยพบว่าระดับความเข้มข้นของสารรีดิวชิงซ์ที่ต่างกันมีผลต่อ การเพิ่มขึ้นของปริมาณโปรตีนที่ถูกย่อย ที่ต่างกันด้วย โดย El Tinay และ Arbab (1997). รายงานว่า การใช้แอก索อร์บิก และ โซเดียมไบซัลไฟด์ ที่ความเข้มข้น 0.1 โมลาร์ มีผลทำให้ปริมาณโปรตีนที่ถูกย่อยในตัวอย่างข้าวฟ่างมีค่าเพิ่มขึ้น เมื่อเทียบกับที่ระดับต่ำกว่าคือ 0.05 หรือที่ระดับสูงกว่า คือ 0.25 และ 0.5 โมลาร์ โดยการเติมซีสทิอิน (60 ppm ต่อแป้ง 100 กรัม) ในส่วนผสมนมปั่น ทำให้ลดปริมาณการใช้แป้งสาลีได้ และใช้ใช้แป้งข้าวฟ่างทดแทนได้ถึงร้อยละ 30 โดยยังให้ลักษณะของนมปั่นที่มีคุณภาพดีเช่นเดิม (El Tinay and Elkhalifa, 2002)

ในกรณีของแบงค์ข้าวหนันก็ให้ผลเช่นเดียวกับแบงค์สาลีและแบงค์ข้าวฟ่าง โดยพบว่าการใช้สารเรดิวซิงชูบังชนิด ได้แก่ ไดไฮโอดิทอล และเบต้า-เมอร์แคปโตಥานอล เพื่อทำลายพันธุ์ไดซัลไฟด์ที่มีในปรตีนกลูตีลินซึ่งเป็นปรตีนหลักที่พบในข้าว มีผลทำให้ค่าความหนืดของแบงค์ข้าวลดลง

และเนื้อสัมผัสของข้าวสุกนุ่มนิ่มขึ้นได้ (Harmaker and Griffin, 1993; Teo et al, 2000; Xie, Chen, Duan, Zhu and Liao, 2008) จากคุณสมบัติดังกล่าวของสารรีดิวชิงซิงจึงได้มีนำมาใช้ศึกษาผลที่มีต่อคุณสมบัติของข้าว และเป็นข้อพิจารณาหลักในการเก็บ ซึ่งจะมีการเกาะกลุ่มกันของโปรตีนด้วยพันธุ์ไดซัลไฟฟ์เดกเกิดขึ้นในตัวอย่าง โดย Ohno และ Ohisa (2005) รายงานผลการใช้สารละลายโซเดียมซัลไฟฟ์ที่ความเข้มข้น 8 มิลลิโมลาร์ หุงแทนน้ำปกติ ทำให้ข้าวสุกปูนพันธุ์ Akitachomachi เก็บไว้ 2 เดือนที่อุณหภูมิ 30 องศาเซลเซียส มีอัตราส่วนระหว่างค่าการเกาะกันของเมล็ดข้าวสุกต่อกวatemperatur เพิ่มขึ้นได้ โดยในปี 2007 Ohno, Tomatsu, Toeda และ Ohisa พบร่วมนื้อสัมผัสของข้าวพันธุ์ Akitakomachi เก็บไว้ 5 เดือนที่อุณหภูมิ 30 องศาเซลเซียส เป็นมีลดลงของค่าความแข็ง และการเพิ่มขึ้นของค่าการเกาะกันของเมล็ดข้าวสุก นอกจากนี้ยังพบการเพิ่มขึ้นของปริมาณของเยื่อที่ละลายได้ด้วย ทั้งนี้สารรีดิวชิงซิงจ์ แต่ละชนิดจะมีประสิทธิภาพในการเปลี่ยนแปลงความหนืด และเนื้อสัมผัสของข้าวเก่าได้แตกต่างกัน ซึ่งการใช้โซเดียมซัลไฟฟ์ที่ระดับความเข้มข้น 10 มิลลิโมลาร์ จะให้ประสิทธิภาพสูงสุด เมื่อเปรียบเทียบกับสารรีดิวชิงซิงจ์ชนิดอื่น

2.8 รายการอ้างอิง

ธีรยุทธ ตู้จินดา, อภิชาต วรรณวิจิตร และ สมวงศ์ ตระกูลรุ่ง. (2548). ความก้าวหน้าของการวิจัยข้าว ใน ยอดหทัย เทพธราณท์ และ กัญญาวิมว์ กิรติกร(บรรณาธการ). ข้าว-มัน-กุ้ง ผลผลิตคู่ชีวิตคนไทย. ปทุมธานี: สำนักงานพัฒนาวิทยาศาสตร์และเทคโนโลยีแห่งชาติ. นิรนาม. (2553). World rice trade [ออนไลน์]. ได้จาก: <http://www.thairiceexporters.com/> มกราคม ต้นติเจริญ (2548). สถานภาพและศักยภาพของการผลิตข้าว มันสำปะหลัง และกุ้งของประเทศไทย. ใน ยอดหทัย เทพธราณท์ และ กัญญาวิมว์ กิรติกร(บรรณาธการ). ข้าว-มัน-กุ้ง ผลผลิตคู่ชีวิตคนไทย. ปทุมธานี: สำนักงานพัฒนาวิทยาศาสตร์และเทคโนโลยีแห่งชาติ. ศรีศักร วัลลิโภ敦 (2548). ประวัติศาสตร์ข้าวในประเทศไทย ใน ยอดหทัย เทพธราณท์ และกัญญาวิมว์ กิรติกร(บรรณาธการ). ข้าว-มัน-กุ้ง ผลผลิตคู่ชีวิตคนไทย. ปทุมธานี: สำนักงานพัฒนาวิทยาศาสตร์และเทคโนโลยีแห่งชาติ.

อรอนงค์ วินัยกุล. (2550). ข้าว: วิทยาศาสตร์และเทคโนโลยี. พิมพ์ครั้งที่ 2. กรุงเทพฯ: สำนักพิมพ์มหาวิทยาลัยเกษตรศาสตร์.

Agboola, S., Ng, D. and Mills, D. (2005). Characterisation and functional properties of Australian rice protein isolates. *Journal of Cereal Science* 41: 283-290.

- Ascorbic acid structure.(2007). File:Ascorbic acid structure.png. [On-line]. Available: http://www.ask.com/wiki/File:Ascorbic_acid_structure.png?qsrc=3044
- Baldwin, P.M. (2001). Starch Granule-Associated Proteins and Polypeptides: A Review. **Starch/Starke** 53: 475-503.
- Barber, S. (1972). Milled rice and changes during aging. In D.F. Houston (ed.) **Rice: Chemistry and Technology**. (pp. 215). American Association of Cereal Chemists. St. Paul, MN.
- Barber, S., Benedito de Barber, C. and Guardiola, J.L. (1968). Distribution of sugars in rice grains. **Revista de Agroquimica Y Technologia de Alimentos** 8: 89.
- Barber, S., Benedito de Barber, C., Guardiola, J.L. and Alberola, J. (1967). Chemical composition of rice. IV. Distribution of sugars in grains. **Revista de Agroquimica Y Technologia de Alimentos** 7: 346.
- Benjakul, S., Thongkaew, C. and Visessanguan, W. (2005). Effect of reducing agents on physicochemical properties and gel-forming ability of surimi produced from frozen fish. **European Food Research and Technology** 220: 316-321.
- Beveridge, T., Toma, S.J. and Nakai, S. (1974). Determination of SH- and SS-groups in some food proteins using Ellman's reagent. **Journal of food science** 39: 49-51.
- Bhattacharya, K.R., Desikachar, H.S.R. and Subrahmanyam, V. (1964). Curing of freshly harvested rice by heat treatment. **Indian Journal of Technology** 2: 387.
- Bkakeney, A.B. (1996). **Rice, Cereal Grain Quality**. Great Britain, The University press, Cambridge: Chapmen & Hall: 55
- Bulaj, G. (2005). Formation of disulfide bonds in proteins and peptides. **Biotechnology Advances** 23: 87-92.
- Burrington, K.J. (2006). **Adjusting dough rheology**. [On-line]. Available: <http://www.foodproductdesign.com/articles/2006/05/adjusting-dough-rheology.aspx>
- Cagampang, G.B. Perez, G.M. and Juliano, B.O. (1973). A gel consistency test for eating quality of rice. **Journal of the Scinece of Food and Agriculture** 24: 1589-1594.
- Chrastil, J. (1990). Protein-starch interaction in rice grains. Influence of storage on oryzzenin and Starch. **Journal of Agricultural and Food Chemistry** 38: 1804.
- Chrastil, J. (1990b). Protein-Starch Interactions in Rice Grains. Influence. **Journal of Agricultural and Food Chemistry** 38: 1804-1809.

- Chrastil, J. (1990c). Influence of Storage on Enzymes in Rice Grains. **Journal of Agricultural and Food Chemistry** 38: 1198-1202.
- Chrastil, J. (1990a). Chemical and Physicochemical Changes of Rice During Storage at Different Temperatures. **Journal of Cereal Science** 237: 71-85.
- Chrastil, J. (1992). Protein-Starch interaction in rice grains. Influence of storage on oryzenin and starch. **Journal of Agricultural and Food Chemistry** 38: 1804.
- Chrastil, J. and Zarins, Z.M. (1992). Influence of storage on peptide subunit composition of rice Oryzenin. **J. Agric. Food. Chem.** 40: 927-930
- Choudhury, H. and Juliano, B.O. (1980). Effect of amylose content on the lipids of mature rice grain. **Phytochemistry** 17: 1385-1389.
- Denyer, K., Hylton, C.M., Jenner, C.F. and Smith, A.M. (1995). Identification of multiple forms of soluble and granule-bound starch synthase in developing wheat endosperm. **Planta** 196: 256-265.
- Despande, S.S. and Bhattacharya, K.R. (1982). The texture of cooked rice. **Journal of Texture Studies** 13: 31.
- Dordrecht: Kluwer Academic quoted in Shewry, P.R. and Halford, N.G. (2002). Cereal seed storage proteins: structures, properties and role in grain utilization. **Journal of Experimental Botany** 53(370): 948.
- Dubreil, L., Compain, J.-P. and Marion, D. (1997). Interaction of puroindolines with wheat flour polar lipids determines their foaming properties. **Journal of Agricultural and Food Chemistry** 45: 108-116
- Edwards, W.P.(2007). Reducing agents. Flour Treatments. Chapter3 Raw materials. **The Science of Bakery Products.** (pp. 78) [On-line]. The Royal Society of Chemistry: UK.
- Ellepola, S.W., Choi, S.M. and Ma, C.Y. (2005). Conformational study of globulin from rice (*Oryza sativa*) seed by Fourier-transform infrared spectroscopy. **International Journal of Biological Macromolecules** 37: 12-20
- El Tinay, A.H. and Arbab, M.E. (1997). Effect of cooking and treatment with sodium bisulphite or ascorbic acid on the in vitro protein digestibility of two sorghum cultivars. **Food Chemistry** 59(3): 339-343.
- El Tinay, A.H. and Elkhaliqa, A.E.O. (2002). Effect of cystiene on bakery products from wheat sorghum blends, **Food chemistry** 77: 133-137.

- Evers, A.D., Blakeney, A.B. and O'Brien, L. (1999). Cereal structure and composition. **Australian Journal of Agricultural Research** 50: 629-650.
- Food network solution. (2010). **Cystiene** [On-line]. Available: <http://www.foodnetworksolution.com/vocab/wordcap/cystiene>
- Food network solution. (2010). **Sulfite** [On-line]. Available: <http://www.foodnetworksolution.com/vocab/wordcap/sulfite>
- Fujino, Y. (1989). Comprehensive review of glycolipids in nature. In **Reports of Japanese Conference on Biochemistry of Lipids** 31: 1-3.
- Fujino, Y., Kuwata, J., Mano, Y. And Ohnishi, M. (1996). Other grain components, R.J. Henry and P.S. Kettellwell (eds.). **Cereal grain quality** (pp. 289). Cambridge, Great Britain: Chapman & Hall, The University press
- Fumaric acid structure. (2012). [On-line]. Available: www.selleckchem.com/pic/digi/Fumalic%20acid.gif
- Dawson, E.H., Batcher, O.M. and Little, R.R. (1960). Cooking Quality of Rice. **Rice Journal** 63(5): 16-22.
- Gerrard, J. A. (2002). Protein-protein crosslinking in food: methods, consequences, applications. **Trends in food science and technology** 13: 391-399.
- Haegens, N. (2012). Reducing agents. Bread and the technology of bread production. [On-line]. Available: <http://www.classofoods.com/ukindex.html>
- Halick, J.V. and Kelly, V. J. (1959). Gelatinization and Pasting Characteristics of Rice Varieties as Related to Cooking Behaviour. **Cereal Chemistry** 36: 315-319.
- Hamaker, B.R., Griffin, V.K. and Molenhauer, K.A.K. (1990). Potential influence of a starch granule-associated protein on cooked rice stickiness. **Journal of Food Science** 56(5): 1327-1346.
- Hamaker, B.R. and Griffin, V.K. (1990). Changing the viscoelastic properties of cooked rice through protein disruption. **Cereal Chemistry** 67: 261.
- Hamaker, B.R., Griffin, V.K. and Moldenhauer, K.A.K. (1990). Potential influence of a starch granule-associated protein on cooked rice stickiness. **Journal of Food Science** 56: 1327.
- Hamaker, B.R. and Griffin, V.K. (1993). Effect of disulfide bond containing protein on rice starch gelatinization and pasting. **Cereal Chemistry** 70(4): 377-380.

- Hayakawa, T., Seo, S.W. and Igave, I. (1980). Electron microscopic observation of rice grain. I. Morphology of rice starch. **Journal of the Japanese Society of Starch Science** 27: 173-179.
- Hamaker, B.R., Kirleis, A.W., Butler, L.G., Axtell, J.D. and Mertz, E.T. (1986). Improving the in vitro protein digestibility of sorghum with reducing agents. **Proceedings of the Indian National Science Academy** 84; 626-628.
- Hamaker, B.R. and Griffin, V.K. (1993). Effect of Disulfide bond containing protein on rice starch gelatinization and pasting. **Cereal Chemistry** 70(4): 377-380.
- Han, X-Z. and Hamaker, B.R. (2002). Association of Starch Granule Proteins with starch ghosts and remnants revealed by confocal Laser Scanning Microscopy. **Cereal Chemistry** 79(6): 892-896.
- Henry, R.J. and Keltelwell, P.S. (1996). **Cereal Grain Quality**. London: Chapman & Hall,
- Choudhury, N.H. and Juliano, B.O. (1980). Lipids in developing and mature rice grain. **Phytochemistry**. 19: 1063-1069
- Hishikawa, K. (1968). Studies on the development of endosperm in rice. II Development of starch granules in endosperm tissue. **Nippon Sakumotou Gakkai Kiji** 37: 207-216.
- Hongsprabhas, P., Israkarn, K. and Rattanawattanapratit, C. (2006). Architectural changes of heated mungbean, rice and cassava starch granules: Effects of hydrocolloids and protein containing envelope. **Carbohydrate Polymers** (doi: 10.1016/j.carbpol.2006.07.012).
- Hoseney, R.C. (1986). **Principles of cereal science and technology**. St. Paul, Minnesota: The American Association of Chemists
- Hoshikawa, K. (1968). Studies on the development of endosperm in rice. II. Development of starch granules in endosperm tissue. **Proceedings of the Crop Science Society of Japan** 37: 207-216.
- Ikehashi, H. and Khush, G.S. (1979). Methodology of assessing appearance of the rice grain, including chalkiness and whiteness, : In **Proceedings of the Workshop on Chemical Aspects of Rice Grain Quality, International Rice Research Institute**(pp. 223-229) Los Banos.
- IRRI. (1967). **The International Rice Research Institute Annual Report**. Cereal Chemistry Section, International Rice Research Institute, Los Bonas.
- Israkarn, K., Hongsprabhas, Pranithi., and Hongsprabhas, Parichat. (2006). Influences of granule-associated proteins on physicochemical properties of mung bean and cassava starches. **Carbohydrate Polymers** 68 : 314-322

- Ito, S., Sato, S. and Fujino, Y. (1979). Internal lipid in rice starch. ***Starch/Stärke*** 31: 217-221.
- Joye, I.J., Shang, J., Brijs, K. and Delcour, J.A. (2009). Use of chemical redox agents and exogenous enzymes to modify the protein network during breadmaking. ***Journal of Cereal Science*** 50: 11-21.
- Ju, Z.Y., Hettiarachchy, N.S. and Rath, N. (2001). Extraction, Denaturation and Hydrophobic properties of Rice Flour Proteins. ***Journal of Food Science*** 66: 229-232.
- Juliano, B.O., Bautista, G. Lugay, J.S. and Reyes, A.C. (1964). Rice Quality. Studies on the Physicochemical of Rice. ***Journal of Agricultural and Food Chemistry*** 12: 131-138.
- Juliano, B.O. (1979). The chemical basis of rice grain quality. In ***Proc. Workshop on chemical Aspects of rice grain quality.***(pp. 69-90).Int. Rice Res. Inst, Los Bonos, Laguna, Philippines.
- Juliano, B.O., Bautista, G.M., Lugay, J.C. and Reyes, A.C. (1964). Studies on the physicochemical properties of rice. ***Journal of Agricultural and Food Chemistry*** 12: 131.
- Juliano, B.O., Onate, L. and Del Mondo, A (1965). The relation of Starch Composition, Protein Content and Gelatinization Temperature to Cooking and Eating Qualities of Rice. ***Food Technology*** 19: 116-121.
- Juliano, B.O. (1985). ***Rice: Chemistry and Technology.*** 2nd ed. St Paul, Minnesota: The American Association Cereal Chemists.
- Kestin, M., Moss, R., Clifton, P.M., and Nestel, P.J. (1990). Comparative effects of three cereal barns on plasma lipids, blood pressure, and glucose metabolism in mildly hypercholesterolemic men. ***American Journal of Clinical Nutrition*** 52: 661
- Lasztity, R. (1996). Rice protein. ***The Chemistry of Cereal Proteins*** (2nd ed). Florida :CRC Press, Inc.
- Little, R.R. and Dawson, E.H. (1960). Histology and histochemistry of raw and cooked rice kernels. ***Food Research and Development.*** 25: 611.
- Lowry, G.D.A., Sargeant, J.G. and Schofield, J.D. (1981). Wheat starch granule protein: The isolation and characterization of a salt-extractable protein from starch granules. ***Journal of the Science of Food and Agriculture.*** 32: 371-377.
- Luh, B.S., Barber, S. Barber, C. B. D. (1991). Rice Barn: Chemistry and Technology, ***Rice Utilization vol.2.*** New York: Chapman and Hall: 312

- Luthe, D.S. (1983). Storage protein accumulation in developing rice (*oryza sativa*. L) seeds. **Plant Science Letters** 32: 147-158.
- Luthe, D.S. and Wen, T.N. (1985). Biochemical Characterization of rice glutelin. **Journal of Plant Physiology** 78: 172-177.
- Luthe, D.S. (1992). **Analysis of storage of proteins in rice seeds**. In H.-F. Linskens and J.F. Jackson. (eds.). **Seed Analysis** (pp 162-163). Berlin Heidelberg, Germany: Springer-Verlage.
- MacDonald, F.D. and Preiss, J. (1985). Partial purification and characterization of granule-bound starch synthases from normal and waxy maize. **Plant physiology** 78: 849-852.
- Marshall, E.W. and Wadsworth, J.I. (1994). Introduction, **Rice Science and Technology**. Medison Avenue, New York: Marcel Dekker.
- Mawal, Y.R., Mawal, M.R., Sainani, M.N., Ranjakar, P.K. (1990). Rice seed storage protein: A structural insight. **Plant Science** 70: 73-80.
- Moore R., Clark, D. and Vodopich, D. (1998). **Botany Visual Resource Library**, The McGraw-Hill. [On-line]. Available: <http://www.mhhe.com/biosci/pae/botany/ uno/graphics/ uno01pob/ vrl/images/0026.gif>
- Morris, C.F., Greenblatt, G.A., Bettge, A.D. and Malkawi, H.I. (1994). Isolation and characterization of multiple forms of friabilin. **Journal of Cereal Science** 21: 167-174.
- Normand, F.L., Hogan, J.T. and Deobald, H.J. (1964). Improvement of culinary quality of freshly harvested rice by heat treatment. **Rice Journal** 67: 7.
- Noosuk, P., Hill, S.E., Pradipasena, P. and Mitchell, J.R. (2003). Structure-viscosity relationships for Thai Rice Starches. **Starch/Starke** 55: 337-344.
- Oates, C.G. (1990). Evidence of protein crosslinking in mung-bean starch. In G.O. Philips, D.J. Wedlock and P.A. Williams (eds.). **Gums and stabilizers for the food industry** (pp. 203-206). Oxford. IRL Press.
- Obata, Y., and Tanaka, H. (1965). Studies on the photolysis of L-cystiene and L-cystine. Formation of the flavor of cooked rice from L-cysteine and L-cystine. **Agricultural & Biological Chemistry** 29: 191.

- Oda, S. and Schofield, J.D. (1997). Characterisation of friabilin polypeptides. **Journal of Cereal Science** 26: 29-36.
- Ohno, T and Ohisa, N. (2005). Studies on textural and chemical changes in aged rice grains. **Food Science and Technology Research** 11(4): 385-389.
- Ohno, T. Tomatsu, M. Toeda, K. And Ohisa, N. (2007). Texture of cooked rice prepared from aged rice and its improvement by reducing agents **Bioscience Biotechnology & Biochemistry** 71(12): 2912-2920.
- Okabe, M. (1979). Texture measurement of cooked rice and its relationship to the eating quality. **Journal of Texture Studies** 10: 131.
- Onate, L.U., del Mundo, A.M. and Juliano, B.O. (1964). Relationship between protein content and eating quality of milled rice. **Philippine Agricultural Scientist** 47: 441.
- Osborne, T.B. (1924). **The Vegetable Proteins**. London, Green: Longmans.
- Paraman, I., Hettiarachchy, N.S., Schaefer, C. and Beck, M.I. (2006). Physicochemical properties of rice endosperm proteins extracted by chemical and enzymatic methods. **Cereal Chemistry** 83(6): 663-667.
- Paraman, I. Hettiarachchy, N.S., Schaefer, C. and Beck, M.I. (2007). Hydrophobicity, solubility, and emulsifying properties of enzyme-modified rice endosperm protein. **Cereal Chemistry** 84(4): 343-349.
- Paraman, I., Hettiarachchy, N.S. and Schaefer, C. (2008). Preparation of rice endosperm protein isolate by alkali extraction. **Cereal Chemistry** 85(1): 76-81.
- Pecivova, P., Pavlinek, V. and Hrabe, J. (2011). Changes of properties of wheat flour dough by combination L-ascorbic acid with reducing or oxidizing agents. **Acta Chemica Scandinavica Serise A-Physical and Inorganic Chemistry** 4(2): 108-117.
- Pomeranz, Y. and Ory, R.L. (1982). Rice processing and utilization. I.A. Wolff (ed), **CRC Handbook of processing and utilization in agriculture(2)** West Palm Beach, Florida. 2CRC press.
- Primo, E., Casas, A. Barber, S. And Barber, C.B. (1962). Factores decalidas del arroz. VI Influencia de las proteinas sobre la calidas de coccion Preteinas en la capa externa. **Rev. Agroquim. Tecnol. Alimentos** 2: 135.

- Pushpamma, E.C., Barber, S. and Benedito de Barber, C. (1979). Physicochemical change in rice and jowar stored in different agro-climatic regions of Andhra Pradesh. *Bull. Grain Technology* 7: 97.
- Rahman, S. Kosar-Hashemi, B., Sameul, M.S., Hill, A., Abbott, D.C., Skerritt, J.H., Preiss, J., Apples, R. and Morrell, M.K. (1995). The major proteins of wheat endosperm starch granules. *Plant physiology* 22: 793-803.
- Ramarathnam, N. and Kulkarni, P.R. (1984). Changes during storage of rice. *Z. Ernährungswis.* 23: 143.
- Rallemand. (2012). Breaking update, Reducing agents. [On-line]. Available: www.lallemand.com/BakerYeastNA/.../1_7REDUC.PDF
- Ray, F.K. (2012). Meat curing. Oklahoma Cooperative Extension Fact Sheets. [On-line]. Available: <http://osufacts.okstate.edu>
- Rayas-Duarte, P. Robinson, S.F. and Freeman, T.P. (1995). In situ location of starch granule protein in Durum wheat endosperm by immunocytochemistry. *Cereal Chemistry* 72(3):269-274.
- Rice Quality Workshop, (2003). **Rice Storage** [on-line]. Available: http://www.plantsciences.ucdavis.edu/uccerice/rice_quality/pdf/C-1QualityConcepts2003.pdf
- Salaiman, B.D. and Morrison, W.R. (1990). Proteins associated with the surface of wheat starch granules purified by centrifuging through caesium chlorice. *Journal of Cereal Science* 12: 53-61.
- Saito, Y., Shigemitsu, T., Tanaka, K., Morita, S., Satoh, S. and Masumura, T. (2010). Ultrastructure of mature protein body in the starchy endosperm of dry cereal grain. *Bioscience Biotechnology & Biochemistry* 74(7): 1485-1487.
- Seguychi, M. and Yamada, Y. (1989). Study of proteins extracted from the surface of wheat starch granules with sodium dodecyl sulfate. *Cereal Chemistry* 66: 193-196
- Schofield, J.D. and Greenwell, P. (1987). Wheat starch granule protein and their technological significance. In I.D. Morton (ed) **Cereal in a European Context**. (pp. 407-420). Ellis Herwood. Chichester.
- Shewry, P.R., Napier, J.A. and Tatham, A.S. (1995). Seed Storage Proteins: Structure and Biosynthesis. *The Plant Cell* 7: 945-956.

- Shibuya, N. Iwasaki, T., Yanase, H., and Chikubo, S. (1974). Studies on deterioration of rice during storage. I. Changes of brown rice and milled rice during storage. **Journal of the Japanese Society for Food Science and Technology** 21: 59.
- Shoji, I. and Kurasawa, H. (1981). On viscosity characteristics of rice and rice starch against Brabender amylography. II. Effects of protein and fat on viscosity of glutenous and non-glutinous rice starches. **Kaseigaku Zasshi** 32: 167.
- Shotwell, M.A. (1999). Oat globulins, In P.R Shewry, and R, Casey (eds.) **Seed proteins** (389-400).
- Shure, M., Wessler, S. and Fedoroff, N. (1983). Molecular identification and isolation of the waxy locus in maize. **Cell** 35: 225-233
- Skerritt, J.H., Frend, A.J., Robson and Greenwell, P. (1990). Immunological homologies between wheat gluten and starch granule proteins. **Journal of Cereal Science** 12: 123-126.
- Sodium bisulfite sturcure. (2012). [On-line]. Available: www.sigmaldrich.com
- Sowbhagya, C.M. and Bhattacharyat, K.R. (2001). Changes in pasting behaviour of rice during Ageing. **Cereal Science** 34: 115-124.
- Structure of sorbic acid. (2012). [On-line]. Available: www.chm.bris.ac.uk/.../ghumra/sturcture.htm
- Swamy, I.Y.M., Sowbhagya, C.M. and Bhattacharya, K.R. (1987). Changes in the physicochemical properties of rice during storage. **Starch/ Starke**. 29: 627.
- Takaiwa, F., Ogawa, M. and Okita, T.W. (1999). Rich glutelins In P.R Shewry, and R, Casey (eds.) **Seed proteins** (401-425). Dordrecht: Kluwer Academic quoted in Shewry, P.R. and Halford, N.G. (2002). **Cereal seed storage proteins: structures, properties and role in grain utilization**. Journal of Experimental Botany, 53(370): 948.
- Takaiwa, F. (1998). Structure and expression of rice seed storage genes. K, Shimamoto (ed.), **Molecular Biology of rice** (pp 179-199). Springer-Verlag, Tokyo, Japan.
- Tamaki, M., Ebata, M., Tashiro, T. And Ishikawa, M. (1989). Physicochemical studies on quality formation of rice kernel. I. Effects of nitrogen top dressed at full heading time and air temperature during ripening period on quality of rice kernel. **Japanese Journal of Crop Science** 58: 653.

- Tani, C.Y., Ohta, T. and Kato, H. (1983). Cooking flavor and texture of rice stored under different conditions. **Agric. Biol. Chem.** 47: 543.
- Tanaka, K., Sugimoto, T., Ogawa, M and Kasai, Z. (1980). Isolation and characterization of two type of protein bodies in rice endosperm. **Agricultural & Biological Chemistry** 57: 343.
- Teo, C.H., Karim, A.A., Cheah, P.B., Norziah, M.H. and Seow, C.C. (2000). On the roles of protein and starch in the aging of non-waxy rice flour. **Food Chemistry** 69: 229-236.
- Tester, R.F. and Morrison, W.R. (1990). Swelling and gelatinization of cereal starches. II. Waxy rice starches. **Cereal Chemistry** 67: 558.
- Tilley, K.A., Benjamin, R.E., Bagorogoza, K.E., Okot-Kotber, B.M., Prakash, O. and Kwen, H. (2001). Tyrosine cross-links: Molecular basis of gluten structure and function. **Journal of Agricultural and Food Chemistry** 49: 2627-2632.
- Tran, T.U., Suzuki, K., Okadome, H., Ikezaki, H., Homma, S and Ohtsubo, K. (2005). Detection of changes in taste of japonica and indica brown and milled rice (*Oryza sativa L.*) during storage using physicochemical analyses and taste sensing system. **Journal of Agricultural and Food Chemistry** 53: 1108-1118.
- Tsen, C.C. (1969). **Effect of oxidizing and reducing agents on changes of flour proteins during dough mixing.** (pp. 435-442) American Institute of baking: Chicago, Illinois.
- Visser, H. and Koning, M.M.G. (1992). Protein Interactions, An overview. In H. Visser (ed). **Protein Interactions** (pp. 2-22). Germany: VHC, Weinheim.
- Webb, B.D. (1991). Rice Quality and Grades. In B.S. Luh (ed.). **Rice Utilization vol. 2** (pp 89-90). New York: Chapman and Hall.
- Wikipedia. (2011). Reducing agent [On-line]. Available: http://en.wikipedia.org/wiki/Reducing_agent
- Wikipedia. (2011). Reducing agent [On-line]. Available: <http://en.wikipedia.org/wiki/Antioxidant>
- Wikipedia. (2012). Flour treatment agent [On-line]. Available: http://en.wikipedia.org/wiki/Flour_treatment_agent
- Wright, D.J. and Boulter, D. (1974). Purification and subunit structure of legumin of *Vicia faba L.*(broad bean). **Biochemistry** 141: 413-418.
- Xie, L., Chen, N., Duan, B., Zhu, Z., and Liao., X. (2008). Impact of proteins on pasting and cooking properties of waxy and non-waxy rice. **Journal of Cereal Science** 47: 372-379.

- Yanase, H., Ohtsubo, K., Hashimoto, K., Sato, H., and Teranishi, T. (1984). Correlation between protein contents of brown rice and textural parameters of cooked rice and cooking quality of rice. **Rep. Natl. Food Res. Inst.** 45: 118.
- Yongsawatdigul, J. and Park, J.W. (2003). Thermal denaturation and aggregation of threadfin bream actomyosin. **Food Chemistry** 83: 409-416.
- Yoshida, S. (1981). Fundamentals of Rice Crop Science. Los Banos, Philippines: IRRI.
- Zhou, Z., Robards, K. Helliwell, S. and Blanchard, C. (2003). Effect of rice storage on pasting properties of rice flour. **Food Research International** 36: 625-334.
- Zhou, Z., Robard, K., Helliwell, S. and Blanchard, C. (2007). Effect of storage temperature on cooking behaviour of rice. **Food Chemistry** 105: 491-497.
- Zhou, Z., Robards, K., Helliwell, S. and Blanchard, C. (2002). Aging of stored rice: Change in chemical and physical attributes. **Cereal Science** 35: 65-78.

บทที่ 3

การเปลี่ยนแปลงคุณสมบัติของข้าวภายหลังการเก็บรักษา

3.1 บทคัดย่อ

การศึกษาข้าวพันธุ์ข้าวคอกมะลิ 105 ใน 4 สภาพทดลอง คือ ข้าวใหม่ ข้าวเก่า 1 ปี เก็บที่ อุณหภูมิห้อง ข้าวเก็บแช่แข็งอายุ 1 ปี และข้าวเร่งเก่าที่อุณหภูมิ 100 องศาเซลเซียส 1 ชั่วโมง พนวจ ตัวอย่างทั้ง 3 มีความชื้นต่ำกว่าข้าวใหม่ ขณะที่ปริมาณโปรตีนและอะไโรโลสไม่ต่างกัน ไขมันที่ สกัดได้จากข้าวเร่งมีค่าน้อย เนื้อสัมผัสของข้าวสุกвиเคราะห์ด้วยเครื่องวัดเนื้อสัมผัส พนวจ ข้าวใหม่ มีเนื้อสัมผasn นุ่มนิ่ม เม็ดข้าวเกะตัวกันมาก ต่างจากที่วัดได้จาก ตัวอย่างอื่น ๆ ซึ่งมีความแข็ง และมีการ เกะตัวกันของเม็ดข้าวน้อยกว่าเก็บทุกตัวอย่าง การตรวจสอบลักษณะด้านการพองตัวของฟลาร์ว พนวจ ข้าวแช่แข็ง และข้าวเร่งมีกำลังการพองตัวต่ำ กว่าข้าวเก่าและข้าวใหม่ ตรงข้ามกับส่วน ของแข็งที่ละลายได้ที่มีมากกว่าทั้ง 2 ตัวอย่าง ภายหลังจากกำจัดโปรตีน พนวจ ข้าวทั้ง 4 มีกำลังการ พองตัวที่สูงขึ้น จากคุณสมบัติการเกิดเพสท์ที่ตรวจสอบด้วยเครื่องวัดความหนืดแบบรวดเร็ว (Rapid Visco Analyzer) พนวจ ข้าวใหม่มีความหนืดสูงสุด (peak viscosity, PV) และ เบรกดาวน์ (breakdown, BD) สูง แต่อุณหภูมิการเกิดเพสท์ (pasting temperature, PT) และ ค่าเซทแบค (setback, SB) ต่ำ ต่างจาก ตัวอย่างทั้ง 3 ที่มีค่า PV และ BD ต่ำ แต่มีค่า PT และ SB ที่สูงเกือบทั้งหมด และมีการพองตัว และ แตกตัวน้อยในตัวอย่างทั้ง 3 ภายหลังกำจัดโปรตีนพนวจ ค่า PT และ ค่า SB ของตัวอย่างทั้ง 4 มีค่า ต่ำลง ขณะที่ ค่า final viscosity (FV) และ BD เพิ่มขึ้นเกือบทุกตัวอย่าง อุณหภูมิในการเจลาติโนซ์ (gelatinization temperature) ของ ตัวอย่างทั้ง 4 ที่ตรวจด้วยเครื่องดิฟเฟอร์เรนเชียล แสกนนิ่ง แคโลริมิเตอร์มีค่าใกล้เคียงกัน จากผลดังกล่าวมานี้แสดงว่า โปรตีนมีผลโดยตรงต่อการเปลี่ยนแปลง คุณสมบัติของข้าวภายหลังการเก็บ

3.2 บทนำ

การผลิตข้าวในประเทศไทยในปัจจุบัน มีวัตถุประสงค์หลักเป็นไปเพื่อใช้บริโภค เอง ภายในประเทศ และส่วนหนึ่งก็จะส่งออก หรือจำหน่ายไปยังต่างประเทศ ซึ่งประเทศไทยเข้า หรือผู้บริโภคข้าวส่วนใหญ่นั้นก็เน้นไปในส่วนของการบริโภคในรูปข้าวเต้มเมล็ดมากกว่าการแปรรูป เป็นผลิตภัณฑ์อื่น ๆ (Kohlwey, Kendall and Mohindra, 1995) โดยข้าวเปลือก และข้าวสารที่ผลิตได้ ทั้งในที่อยู่ในชั้นกลางของชาราด หรือในโรงสีขนาดใหญ่ จะต้องผ่านขั้นตอนของการเก็บรักษาไว้

ก่อนเพื่อรอการบริโภคและการจัดจำหน่ายต่อไป ในระหว่างการเก็บรักษาข้าว เมล็ดข้าวจะเข้าสู่กระบวนการเปลี่ยนแปลง ที่เกิดขึ้นได้ทางด้านธรรมชาติที่ เรียกว่า กระบวนการเก่าของข้าว (aging process) โดยภายในเมล็ดข้าวมี สตาร์ช ไขมัน รวมถึง โปรตีนเป็นส่วนประกอบที่อยู่ภายในลักษณะนี้ บทบาทสำคัญต่อกุณสมบัติในการหุงต้มและการบริโภค (cooking and eating quality) ของข้าว

Aging process เป็นกระบวนการที่ซับซ้อนที่ซึ่งมีทั้งการเปลี่ยนแปลงคุณสมบัติทางเคมี กายภาพ (physicochemical properties) และคุณสมบัติทางชีวเคมี (biochemical properties) (Tran, Suzuki, Okadome, Ikezaki, Homma and Ohtsubo, 2005) โดยเฉพาะกลิ่นและเนื้อสัมผัสของข้าว (Perdon, Marks, Siebenmorgen and Reid, 1997) ซึ่งจะปรากฏได้ทั้งในข้าวกล้อง ข้าวสาร รวมถึง ข้าวที่หุงสุก (Zhou, Robards, Helliwell and Blanchard, 2002; Zhou et al, 2003) ข้าวเก่าที่ผ่านการเก็บรักษาเป็นระยะเวลานาน ๆ จะให้ลักษณะเนื้อสัมผัสของข้าวที่มีความแข็งเพิ่มมากขึ้น ในขณะที่ ลักษณะการเกาะติดกันของเมล็ดข้าวเก่าจะมีค่าลดลง ทำให้การยอมรับทางประสาทสัมผัสของผู้บริโภคไม่ค่าลดลงไปด้วย (Meullenet, Gross, Mark and Danniels, 1998)

ข้าวเก่าที่เกิดจากการเก็บในสภาพปกติที่มีการเปลี่ยนแปลงคุณลักษณะต่าง ๆ ไปตาม ระยะการเก็บนี้ ถือเป็นข้าวเก่าตามธรรมชาติ (naturally aged rice) ส่วนข้าวเก่าอีกประเภทหนึ่งจะ ใช้อุณหภูมิสูงในการเร่งให้เกิดกระบวนการเก่าของข้าวขึ้นภายในระยะเวลาอันสั้น ซึ่งเรียก กระบวนการนี้ว่า กระบวนการเร่งด้วยความร้อน (acecelerated heat treatment) และเรียกข้าวที่ ผ่านกระบวนการนี้ว่า ข้าวเร่ง (accelerated rice) (Desikachar and Subrahmanyam, 1957) แสดงว่า นอกจากระยะเวลาในการเก็บรักษาแล้ว อุณหภูมิระหว่างการเก็บรักษามีผลต่อการเปลี่ยนแปลง คุณสมบัติของข้าวด้วย โดยการเก็บตัวอย่างข้าวที่อุณหภูมิสูงจะเริ่มมีการเปลี่ยนแปลงค่าความหนืด เกิดขึ้น ภายในสามเดือนแรกของการเก็บ (Juliano, 1985) โดยในปี 1976 Villareal, Resurreccion, Suzuki และ Juliano อธิบายว่าข้าวที่ผ่านการเก็บรักษาที่อุณหภูมิต่างกัน 2 อุณหภูมิ คือ 29 และ 2 องศาเซลเซียส ที่เวลา 6 เดือน จะให้ลักษณะของการเกิดเพสท์ที่เปลี่ยนแปลงไป เมื่อเปรียบเทียบกับ ตัวอย่างข้าวใหม่ โดยที่อุณหภูมิ 29 องศาเซลเซียส จะแสดง peak viscosity สูงกว่าข้าวใหม่ และให้ เจรดแป้งที่แข็งกว่าตัวอย่างข้าวที่เก็บไว้ที่ 2 องศาเซลเซียส คุณสมบัติในการเจลติดในเชื้อนของข้าวที่ เปลี่ยนแปลงไปนี้ เกี่ยวข้องกับลักษณะเนื้อสัมผัสของข้าวสุกที่มีความแข็งเพิ่มขึ้น (Juliano, 1985) และเมื่อใช้อุณหภูมิการเก็บที่สูงกว่าอุณหภูมิปกติ ที่ระยะเวลาการเก็บรักษาเท่ากัน ก็มีผลต่อการ เพิ่มปริมาณน้ำที่ดูดซึมในตัวอย่าง (water uptake) การลดลงของปริมาณของแป้งที่ละลายได้ (solid content) การลดลงของการปลดปล่อยอะไมโลสอิสระ (amylose leaching) (Zhou et al, 2007) รวมถึงการจัดเรียงตัวใหม่ของสายพอร์ลิโนเริ่มในโครงสร้างของสตาร์ชเอง ทำให้เกิด การเปลี่ยนแปลงคุณสมบัติทางความร้อน (Chung, Lee and Lim, 2002) ซึ่งล้วนแสดงให้เห็น ได้ในข้าวเก่า

ข้าวหอมมะลิ คือ ข้าวไทยที่ได้รับความนิยมในการบริโภคทั่วไปและต่างประเทศ เนื่องจาก มีกลิ่นหอมเฉพาะตัวคือ กลิ่นหอม และเนื้อสัมผัสข้าวสุกที่นุ่มและเหนียว เป็นที่ต้องการของผู้บริโภค การเปลี่ยนแปลงทั้งทางกายภาพและเคมี อันเป็นผลมาจากการเก็บรักษาที่แตกต่างกันของ ข้าวหอมมะลิ รวมถึงการเปลี่ยนแปลงด้านกายภาพและเคมีของข้าวอันเป็นผลมาจากการ ร่างความเก่าของข้าว ซึ่งเป็นสิ่งที่ควรศึกษาและทำความเข้าใจ และเพื่อหาแนวทางที่เหมาะสมในการ ป้องกันหรือลดความเสียหายของข้าวอันเป็นผลมาจากการเก็บรักษาได้

3.3 วัสดุอุปกรณ์และวิธีดำเนินการวิจัย

3.3.1. วัสดุทดลอง

ข้าวเปลือกพันธุ์ข้าวคอกมะลิ 105 ซึ่งมาจากศูนย์วิจัยข้าวอุบลราชธานี ตั้งอยู่ที่ บ้านหนอง ขอน ต.เขื่องใน อ.เมือง จ.อุบลราชธานี โดยเป็นตัวอย่างข้าวใหม่ที่เก็บเกี่ยวใหม่ปี 2551 ตัวอย่าง ข้าวเปลือกเก่าปี 2550 ที่เก็บไว้ที่อุณหภูมิห้องเป็นเวลา 1 ปี ตัวอย่างข้าวเปลือกปี 2550 ที่ผ่านการ แช่แข็งที่อุณหภูมิ -20 องศาเซลเซียสเป็นเวลา 1 ปี และข้าวใหม่ปี 2551 ที่นำมาผ่านกระบวนการ ร่างความเสียหายอุณหภูมิสูง

3.3.2. การเตรียมตัวอย่างข้าวสาร

นำข้าวเปลือกพันธุ์ข้าวคอกมะลิ 105 ทั้ง 3 ตัวอย่าง ได้แก่ ข้าวที่เก็บเกี่ยวใหม่ (fresh rice) ข้าวเก่าเก็บ 1 ปีที่อุณหภูมิห้อง (aged rice) และ ข้าวแช่แข็ง 1 ปี เก็บที่อุณหภูมิ -20 องศาเซลเซียส 1 ปี (frozen rice) มากระเทาะเปลือก และขัดสีให้อยู่ในรูปข้าวสาร ที่โรงสีขนาดเล็กแห่งหนึ่งที่ บ้าน สะพานหิน ต.สุรนารี อ.เมือง จ.นครราชสีมา ส่วนตัวอย่างข้าวเก่าร่างด้วยอุณหภูมิสูง (aged-accelerated rice) เตรียมได้โดยนำข้าวใหม่ที่ขัดสีเป็นข้าวสารมาบรรจุใส่โ��ลแก้วที่มีฝาปิดมิดชิด โดยใส่ตัวอย่างข้าวสารไปปริมาณครึ่งหนึ่งของความสูงของขวดโ午后 ใส่ขวดโ午后ในอ่างน้ำควบคุม อุณหภูมิให้ความร้อนที่ 100 องศาเซลเซียสเป็นเวลา 1 ชั่วโมง ปล่อยให้ตัวอย่างเย็นจะ ได้ตัวอย่าง ข้าวเก่า สำหรับใช้ในการวิเคราะห์ต่อไป นำตัวอย่างข้าวสารทั้งหมดมาบรรจุใส่ถุงเย็น (PE ขนาด 12×24 นิ้ว) ปิดปากถุงให้สนิทด้วยเครื่องปิดผนึกด้วยลวดคาดความร้อน เก็บที่ -20 องศาเซลเซียส เพื่อรอการวิเคราะห์ต่อไป

3.3.3. การเตรียมตัวอย่างเป็นข้าว

นำตัวอย่างข้าวข้าวคอกมะลิที่ขัดสีแล้วมาดัดให้ด้วย เครื่องบดตัวอย่าง (M20 Universal mill, IKA, Germany) ควบคุมอุณหภูมิของตัวอย่างขณะบด โดยติดตั้งสายยางเชื่อมต่อระหว่าง

เครื่องบดกับอ่างน้ำเย็นอุณหภูมิ 15 องศาเซลเซียส ใส่ตัวอย่างข้าวสาร ให้ได้ปริมาตรหนึ่งในสามของโภบดตัวอย่าง บดตัวอย่างครั้งละไม่เกิน 60 วินาที เป็นเวลา 8 นาที จากนั้นนำตัวอย่างไปปั่นข้าวที่บดได้มาทำการแยกด้วยเครื่องแยกขนาดอนุภาค (Vibratory Sieve Shaker Analysette 3, Fritsch, Germany) โดยเลือกเฉพาะตัวอย่างที่ตกอยู่ระหว่างตะแกรงร่อนขนาด 120 ถึง 150 เมช (125-106 ไมโครเมตร) เก็บตัวอย่างใส่ถุงพลาสติกแบบซิปล็อก เก็บที่อุณหภูมิ -20 องศาเซลเซียส รอการวิเคราะห์ต่อไป

3.3.4. การเตรียมสารร่องข้าว

ตัดแปลงจากวิธีการของ Ju et al. (2001) โดยนำตัวอย่างไปปั่นข้าวที่เครื่องแยกอนุภาคแล้วจากข้อ 3 (หัวข้อ 3.3) มากำจัดไขมันออก (defatted) ก่อนโดยใช้วิธี socklet extraction ด้วยปิโตรเลียมอีเทอร์ เป็นตัวสักดัด ตั้งทิ้งไว้ให้แห้งในตู้ดูดควันเป็นเวลา 24 ชั่วโมง สักดัดตัวอย่างไปปั่นด้วยตัวทำละลาย 4 ชนิด ตามลำดับขั้นตอนดังนี้ ชั่งตัวอย่างไปปั่น 50 กรัมใส่ในบีกเกอร์ขนาด 500 มิลลิลิตร เติมน้ำกลั่นปริมาตร 200 มิลลิลิตร ปิดปากบีกเกอร์ด้วยแผ่นฟิล์มพลาสติกใส ภาชนะละลายตลอดเวลาเป็นเวลา 4 ชั่วโมง ถ่ายน้ำไปปั่นหัวดปั่นให้เข้ากัน 500 มิลลิลิตร นำไปปั่นเรื่อยๆที่อุณหภูมิ 25 องศาเซลเซียส ด้วยความเร็วรอบ 3,000xg เวลา 30 นาที เทสาระละลายส่วนใส่ทิ้ง เก็บตะกอนไปปั่นมาพสมสารละลายโซเดียมคลอไรด์ (NaCl) เข้มข้น 5 ร้อยละ ปริมาตร 200 มิลลิลิตร ภาชนะละลายไปปั่นต่อไปเป็นเวลา 4 ชั่วโมง ถ่ายสารละลายหัวดปั่นให้เข้ากัน 500 มิลลิลิตร นำไปปั่นเรื่อยๆที่อุณหภูมิ 25 องศาเซลเซียส ความเร็วรอบ 3,000xg เวลา 30 นาที เทสาระละลายส่วนใส่ทิ้ง เก็บตะกอนไปปั่นมาพสมสารละลายโซเดียมไฮดรอกไซด์ (NaOH) เข้มข้น 0.02 โนมาร์ต ปริมาตร 200 มิลลิลิตร ปรับค่าพีเอชของสารละลายไปปั่นให้ได้เท่ากับ 11.0 ภาชนะละลายตลอดเวลาเป็นเวลา 4 ชั่วโมง ปั่นเรื่อยๆอีกครั้งที่อุณหภูมิ 25 องศาเซลเซียส ความเร็วรอบ 3,000xg เวลา 30 นาที เทสาระละลายส่วนใส่ทิ้ง เก็บตะกอนไปปั่นมาพสมกับ เอทานอล เข้มข้นร้อยละ 70 ปริมาตร 150 มิลลิลิตร ภาชนะละลายตลอดเวลาจนครบ 4 ชั่วโมง ถ่ายสารละลายไปปั่นหัวดปั่นให้เข้ากัน 500 มิลลิลิตร ปั่นเรื่ยงอุณหภูมิ 25 องศาเซลเซียส ความเร็วรอบ 3,000xg เวลา 30 นาที เทสาระละลายส่วนใส่ทิ้ง นำตะกอนน้ำกลั่น 200 มิลลิลิตร ปรับพีเอชของสารละลายน้ำไปปั่นด้วยสารละลายกรดไฮโดรคลอริก (hydrochloric acid) เข้มข้น 1 นอร์มอล ให้ได้ค่าพีเอชเท่ากับ 7 กำจัดเกลือที่เกิดขึ้นออกโดยล้างด้วยน้ำปราศจากไอออน (deionized water) แล้ว ปั่นเรื่ยงที่ความเร็วรอบ 5000xg เป็นเวลา 10 นาที ทำการล้างไปปั่นจนกว่าจะไม่พบตะกอนขาวขุ่นในน้ำล้างที่หยดด้วยสารละลายซิลเวอร์ไนเตรต (AgNO_3) นำตัวอย่างตะกอนไปปั่นที่กำจัดเกลือแล้วล้างด้วย เอทานอล เข้มข้น ร้อยละ 70 ทำการกรองตะกอนผ่านเครื่องกรองสูญญากาศ ด้วยกระดาษกรองเบอร์ 1 เทอะซิโตน (acetone) ใส่ในตัวอย่างเพื่อกำจัดน้ำที่ยังคงค้างอยู่ในตัวอย่างออกไป และกรองด้วยเครื่องกรอง

สูญญากาศ นำตะกอนแปঁงที่กำจัดไปรตินออกแล้ว หรือที่เรียกว่าสตาร์ช มาผึ่งในตู้ดูดควันเป็นเวลา 24 ชั่วโมง บดตัวอย่างและร่อนผ่านตะแกรงร่อนขนาด 120 เมช (125 ไมโครเมตร) แล้วนำไปวิเคราะห์คุณสมบัติต่าง ๆ ต่อไป

3.3.5. การวิเคราะห์องค์ประกอบทางเคมี

3.3.5.1 การวัดความชื้น

หาความชื้นของตัวอย่างแปঁงตามวิธีการของ AOAC 1995 โดยอบกระป่องอะลูมิเนียม ที่ 105 องศาเซลเซียส อาย่างน้อย 4 ชั่วโมง เมื่อครบเวลา นำไปเก็บในตู้ดูดความชื้น เมื่ออุณหภูมิกระป่องลดลงถึงอุณหภูมิห้อง ทำการซั่งน้ำหนักที่แน่นอนของกระป่อง จากนั้นซั่งตัวอย่างแปঁงประมาณ 1 กรัม ใส่ในกระป่องที่ทราบน้ำหนักหลังอบแล้ว พร้อมบันทึกน้ำหนักที่แน่นอนอบໄล่ความชื้นด้วยตู้อบลมร้อนที่อุณหภูมิ 105 องศาเซลเซียส 6 ชั่วโมง หรือ จนกว่าน้ำหนักตัวอย่างคงที่ ไม่เปลี่ยนแปลง แล้วนำเอาตัวอย่างออกใส่ในตู้ดูดความชื้น ซั่งน้ำหนักตัวอย่างหลังอบ คำนวณหาความชื้นของตัวอย่างจากสูตรดังต่อไปนี้

$$\text{ความชื้น (ร้อยละ)} = \frac{\text{น้ำหนักตัวอย่างก่อนเข้าอบ} - \text{น้ำหนักตัวอย่างหลังอบหารด้วย} \times 100}{\text{น้ำหนักตัวอย่างก่อนเข้าอบ}}$$

3.3.5.2 การวิเคราะห์ไขมัน

ซั่งตัวอย่างแปঁงให้ได้น้ำหนักแห้งประมาณ 1 กรัม ใส่ลงในกระดาษกรอง Watchman เบอร์ 1 ที่ทราบน้ำหนักแล้ว ใส่ตัวอย่างแปঁงที่ห่อด้วยกระดาษกรอง จากนั้นใส่ตัวอย่างที่ห่อแล้วในทรมิเบิล (thimble) ปิดทับด้วยสำลีอีกครั้ง แล้วต่อเข้ากับอุปกรณ์สำหรับวิเคราะห์ไขมันแบบรวดเร็ว (Auto extraction Unit, 2050 Soxtec, Foss, Sweden) เทปิโตรเลียมอีเชอร์ (petroleum ether) ปริมาตร 250 มิลลิลิตร ใส่ในกระบอกอะลูมิเนียมทรงสูง (aluminum cup) ซึ่งใช้กับชุดอุปกรณ์วิเคราะห์ไขมัน ที่ทำการอบໄล่ความชื้น และซั่งน้ำหนักแล้ว สถาดตัวอย่างโดยตั้งโปรแกรมการสถาดตามวิธีของเครื่องที่ระบุไว้ เมื่อครบเวลานำกระป่องอะลูมิเนียมออกจากอบที่อุณหภูมิ 70 องศาเซลเซียส ซั่งน้ำหนักกระป่องหลังอบเพื่อคำนวนหาปริมาณไขมันที่สถาดได้ในตัวอย่าง

3.3.5.3 การวิเคราะห์ปริมาณโปรตีน

โดยใช้วิธี Kjedhal Nitrogen Method (AOAC Official Method 973.48, 2000) โดยซั่งตัวอย่างแปঁง 1 กรัมน้ำหนักแห้ง ใส่กระดาษกรอง ห่อให้มิดชิดใส่ในหลอดย่อยโปรตีน จากนั้นเติมสารผสมระหว่างแคลเซียมซัลเฟต(CaSO_4) และ โซเดียมซัลเฟต (K_2SO_4) ในอัตราส่วน 1:10 ปริมาณ 5 กรัม เป็นตัวเร่งปฏิกิริยา เดิมกรดซัลฟูริก (H_2SO_4) เข้มข้น ปริมาตร 25 มิลลิลิตร ย่อย

ตัวอย่างบันเตา อุณหภูมิ 350 องศาเซลเซียส จนกระทั่งสารละลายเปลี่ยนจากสีดำเป็นสีเขียวใส ตึ้งทึ่งไว้ให้เย็นในตู้ดูดควัน กลั่นแยกในโตรเจนด้วยเครื่องกลั่นไอน้ำ (Vapodest30, Gerhardt, Germany) ติดตั้งหลอดตัวอย่างที่ย่อยแล้วที่เครื่องกลั่น โดยจุ่มปลายสายยางที่ต่อจากอุปกรณ์ควบแน่นของเครื่องกลั่นเข้ากับขวดรูปไข่ขนาด 250 มิลลิลิตร ที่บรรจุสารละลายที่ต่อจากอุปกรณ์ (H_3BO_3) เข้มข้นร้อยละ 4 ปริมาตร 50 มิลลิลิตร และเติมอินดิเคเตอร์ที่ผสมระหว่างเมทิลред (methyl red) เมทิลีนบลู (methylene blue) และบอร์โรมิวเรซอลกรีน (bromocresol green) ลงไป 5-7 หยด ทำการต่อสายอุปกรณ์เครื่องกลั่นไอน้ำสำหรับดูดน้ำกลั่นและสารละลายโดยเดี่ยมไฮดรอกไซด์เข้มข้นร้อยละ 32 กลั่นตัวอย่างตามโปรแกรมที่ตั้งไว้โดยเวลากลั่นอยู่ประมาณ 13 นาที ต่อหนึ่งหลอด จากนั้นได้เตรทสารละลายที่กลั่นได้กับไฮdroคลอริก (hydrochloric) เข้มข้น 0.1 นอร์มอลโดยสังเกตสีของสารละลายจะเปลี่ยนจากสีเขียวเป็นสีม่วงอ่อน ทำการวิเคราะห์ blank โดยทำการต่อหนึ่งชั้นตอนเหมือนการวิเคราะห์ตัวอย่างแต่ไม่มีตัวอย่างในหลอดย่อย คำนวนปริมาณโปรตีนจากสูตรนี้

$$\text{ปริมาณโปรตีน (ร้อยละ)} = \frac{(A-B) \times 1.4 \times N \times F}{W}$$

กำหนดให้

A คือ ปริมาตรของกรดที่ใช้ไดเตรทกับตัวอย่าง (มิลลิลิตร)

B คือ ปริมาตรกรดที่ใช้ในการไดเตรท blank (มิลลิลิตร)

N คือ ความเข้มข้นของกรดไฮdroคลอริก

F คือ แฟกเตอร์ (ตัวอย่างข้าวใช้ค่า 5.95)

W คือ น้ำหนักตัวอย่างเริ่มต้น (กรัม)

3.3.5.4. การวิเคราะห์ปริมาณอะไไมโลส

ตามวิธีการของ Juliano (1971) ซึ่งสร้างกราฟมาตราฐานอะไไมโลส โดยใช้ pure amylose potato (type II, Cast No. 9005-82-7, Sigma-Aldrich Co, Saint Louis, Amarica) เป็นสารมาตรฐาน ซึ่ง standard amylose 0.04 กรัมใส่ในขวดวัดปริมาตรขนาด 100 มิลลิลิตรให้ได้น้ำหนักที่แน่นอน เติมเอทานอลเข้มข้นร้อยละ 95 ปริมาตร 1 มิลลิลิตร แล้วตามโดยเดี่ยมไฮดรอกไซด์ ($NaOH$) 2 โมลาร์ ปริมาตร 9 มิลลิลิตร ตามลำดับ จากนั้นนำตัวอย่างไปให้ความร้อนที่ 100 องศาเซลเซียส พร้อมกับกวนสารละลายตลอดเวลาเป็นเวลา 10 นาที นำตัวอย่างออกปรับปรุงปริมาตรด้วยน้ำกลั่น ตั้งขวดใส่ตัวอย่างสารละลายนามาตราฐานทึ่งไว้เป็นเวลา 1 คืน จากนั้นปีเปตสารละลายมาตรฐานอะไไมโลสปริมาตร 1, 2, 3, 4 และ 5 มิลลิลิตรใส่ในขวดวัดปริมาตรขนาด 100 มิลลิลิตร ตามลำดับ จากนั้นเติมน้ำกลั่นปริมาตร 70 มิลลิลิตร และเติมกรดอะซิติก (acetic acid) 1.0 โมลาร์

ปริมาตร 0.2, 0.4, 0.6, 0.8 และ 1 มิลลิลิตร ตามลำดับ จากนั้นจึงทำการเติมสารละลายไอโอดีน ปริมาตร 2 มิลลิลิตร ลงในขวดใส่สารละลายมาตราฐานทั้งหมด ปรับปริมาตรเป็น 100 มิลลิลิตร ด้วยน้ำกลั่น จะได้สารละลายอะมิโนสที่ความเข้มข้นเท่ากับ 8, 16, 24, 32 และ 40 ร้อยละตามลำดับ วัดค่าการคุณค่าลีนแสงที่ความยาวคลื่น 620 นาโนเมตร สร้างกราฟมาตราฐานความสัมพันธ์ระหว่าง ปริมาณอะมิโนส(ร้อยละ) กับค่าการคุณค่าลีนแสงของสารมาตราฐาน หากปริมาณอะมิโนสในตัวอย่าง โดยชั่งตัวอย่างเบ่งให้ได้น้ำหนักแน่นอน เท่ากับ 0.1 กรัม ใส่ในขวดวัดปริมาตรขนาด 100 มิลลิลิตร เติมเอทานอล เข้มข้นร้อยละ 95 ปริมาตร 1 มิลลิลิตร แล้วตามโซเดียมไฮดรอกไซด์ (NaOH) 2 มิลลิลิตร ปริมาตร 9 มิลลิลิตร ตามลำดับ นำไปให้ความร้อนที่ 100 องศาเซลเซียส และเบ่ง เป็นระยะ ๆ นำขวดสารละลายตัวอย่างมาตั้งทิ้งไว้ให้เย็น ปรับปริมาตรให้ครบ 100 มิลลิลิตรด้วยน้ำ กลั่น ตั้งทิ้งไว้ 1 คืน จากนั้นเติมน้ำกลั่น 70 มิลลิลิตร ในขวดวัดปริมาตร 100 มิลลิลิตรใบใหม่ เติม กรดอะซิติก (acetic acid) 1.0 มิลลิลิตร 2 มิลลิลิตร ตามลำดับ เติมสารละลายไอโอดีน 2 มิลลิลิตร ปี เปตสารละลายตัวอย่าง 5 มิลลิลิตร แล้วเติมน้ำกลั่นให้ครบ 100 มิลลิลิตร ตั้งทิ้งไว้ 10 นาที วัดค่า การคุณค่าลีนแสงที่ 620 นาโนเมตร คำนวนปริมาณ อะมิโนสโดยเปรียบเทียบค่าการคุณค่าลีนแสง ของตัวอย่างที่วัดได้ กับกราฟมาตราฐานอะมิโนส เตรียมสารละลาย blank โดยเติมสารละลาย ไอโอดีน 2 มิลลิลิตร และ กรดอะซิติก (acetic acid) 1.0 มิลลิลิตร 2 มิลลิลิตร ของ แล้วปรับปริมาตร สารละลายด้วยน้ำกลั่นให้ครบ 100 มิลลิลิตร

3.3.6 การปลดปล่อยอะมิโนสอิสระ (amylose leaching) ตามวิธีการของ Juliano (1971)

ชั่งน้ำหนักเบ่ง 0.5 กรัม ใส่หลอดปั่นเหวี่ยง ขนาด 50 มิลลิลิตร เส้นผ่าศูนย์กลาง 2.5 เซนติเมตร เติมน้ำกลั่นปริมาตร 18 มิลลิลิตร แล้วนำไปแช่ในอ่างน้ำควบคุมอุณหภูมิแบบเบ่ง (shaking water bath) โดยตั้งทิ้งไว้ที่อุณหภูมิ 80 องศาเซลเซียส เบ่งตัวอย่างเบา ๆ ตลอดเวลา เพื่อให้ แบ่งผสมกับน้ำเป็นเวลา 30 นาที หลังจากนั้นทำการปั่นเหวี่ยงตัวอย่างเพื่อแยกตะกอนแบ่งจาก สารละลายด้วยเครื่องปั่นเหวี่ยง ที่ความเร็วรอบเท่า 2,200 รอบต่อนาที เป็นเวลา 15 นาที คุณ สารละลายส่วนไสปริมาตร 5 มิลลิลิตร ในขวดวัดปริมาตรขนาด 100 มิลลิลิตรปรับปริมาตรให้ครบ ด้วยน้ำกลั่น ตั้งทิ้งไว้ 1 คืน เติมน้ำกลั่น 70 มิลลิลิตร ใส่ขวดวัดปริมาตร 100 มิลลิลิตรใบใหม่ จากนั้นเติม ของ กรดอะซิติก (acetic acid) 1.0 มิลลิลิตร 2 มิลลิลิตร ตามลำดับเติมสารละลายไอโอดีน 2 มิลลิลิตร ปี เปตสารละลายตัวอย่าง 5 มิลลิลิตร เติมน้ำกลั่นให้ครบ 100 มิลลิลิตร ตั้งทิ้งไว้ 10 นาที วัดค่าการคุณค่าลีนแสงที่ 620 นาโนเมตรคำนวนหาการปลดปล่อยอะมิโนสอิสระได้โดยการ เปรียบเทียบค่าการคุณค่าลีนแสงของตัวอย่างที่วัดได้กับกราฟมาตราฐานอะมิโนส

3.3.7 การวิเคราะห์กำลังการพองตัว (swelling power) และปริมาณของเนื้อที่ละลายได้ (soluble solid)

ตามวิธีการของ กล้ามรงค์ ศรีรอด และ เกื้อกูล ปิยะจอมขวัญ (2546) ซึ่งดัดแปลงจาก Schoch (1946) โดยชั่งตัวอย่างแบ่ง 0.5 กรัมใส่หลอดปั่นเหวี่ยง ขนาดเส้นผ่าศูนย์กลาง 2.5 เซนติเมตร ปริมาตร 50 มิลลิลิตร เติมน้ำกลั่นปริมาตร 15 มิลลิลิตรลงในหลอด จากนั้นแช่หลอดตัวอย่างลงในอ่างน้ำควบคุมอุณหภูมิแบบเบเย่ (shaking water bath) 85 องศาเซลเซียส พร้อม ๆ กับการเบย์ตัวอย่างตลอดเวลาด้วยความเร็วรอบต่ำ เพื่อป้องกันไม่ให้มีคแป้งแตกจากการเบย์ที่รุนแรงเกินไป โดยใช้เวลา 30 นาที นำตัวอย่างมาปั่นเหวี่ยงเพื่อแยกส่วนไส้ออก ด้วยเครื่องปั่นเหวี่ยง ที่ความเร็ว 2,200 รอบต่อนาที เป็นเวลา 15 นาที จากนั้นคุณสารละลายส่วนไส้ใส่กระป๋องอะลูมิเนียมที่อบໄล์ความชื้นและทราบน้ำหนักที่แน่นอนแล้ว และนำไปอบในตู้อบลมร้อน ที่อุณหภูมิ 105 องศาเซลเซียส เป็นเวลา 12 ชั่วโมงจากนั้น นำตัวอย่างที่ผ่านการอบมาซั่งน้ำหนัก เพื่อคำนวณค่าร้อยละการละลาย และนำแป้งส่วนที่เหลือในหลอดมาซั่งน้ำหนัก เพื่อคำนวณเป็นร้อยละกำลังการพองตัวจากสูตรข้างล่างนี้

$$\text{ร้อยละการละลาย} = \frac{\text{น้ำหนักแป้งส่วนที่ละลายน้ำ}}{\text{น้ำหนักตัวอย่างแห้ง}} \times 100$$

$$\text{กำลังการพองตัว} = \frac{\text{น้ำหนักแป้งที่พองตัวแล้ว}}{\text{น้ำหนักตัวอย่างแห้ง} \times (100 - \text{ร้อยละการละลาย})} \times 100$$

3.3.8 คุณสมบัติการเกิดเพสท์ (pasting properties)

ใช้เครื่องวิเคราะห์ความหนืดแบบรัวดเร็ว (RVA model 4, New port scientific, Australia) เมื่อทราบความชื้นของตัวอย่างแล้ว ทำการซั่งแป้ง และนำใส่ในกระบอกใส่ตัวอย่าง (RVA canister) ใช้ใบพัด (paddle) วนจนแป้งและน้ำผสมเข้ากันดี นำไปวัดความหนืด โดยปริมาณน้ำและแป้งที่ใช้ในการวิเคราะห์คำนวณเทียบกับสูตรคำนวณมาตรฐาน คือ แป้ง 3 กรัม ต่อน้ำ 25 กรัม ที่ความชื้นของแป้งเท่ากับ 14 ร้อยละ โดยคำนวณได้จากสูตรข้างล่างนี้

$$W = (25 + A - S)$$

$$S = \frac{(86 \times A)}{(25 + A - M)}$$

เมื่อ	S คือ น้ำหนักที่ปรับแล้ว (กรัม)
	A คือ น้ำหนักเปลี่ยนที่ความชื้นร้อยละ 14 ในที่นี่คือ 3 กรัม
	M คือ ความชื้นของเปลี่ยนที่จะวัด (ร้อยละ)
	W คือ น้ำหนักของน้ำที่ปรับแล้ว (กรัม)

ใช้โปรแกรมการวัดแบบ standard1 คือ สารละลายเปลี่ยนจะถูกgonfalon ผสมอย่างรวดเร็วที่ 10 วินาทีแรก ด้วยความเร็ว 960 รอบต่อนาที จากนั้นลดความเร็วมาที่ 160 รอบต่อนาทีคงที่ตลอดการวัด โดยสารละลายจะถูกให้ความร้อนที่อุณหภูมิ 50 องศาเซลเซียส คงไว้เป็นเวลา 1 นาที จากนั้นเพิ่มระดับอุณหภูมิ จาก 50 เป็น 95 องศาเซลเซียส ด้วยอัตราเร็ว 12.2 องศาเซลเซียสต่อนาที ในเวลา 3 นาที 42 วินาที (นาทีที่ 4.42) คงอุณหภูมิไว้ที่ระดับ 95 องศาเซลเซียสเป็นเวลา 3 นาที 30 วินาที (นาทีที่ 7.12) ก่อนที่จะลดอุณหภูมิลงไปที่ 50 องศาเซลเซียสซึ่งใช้เวลา 3 นาที 48 วินาที (นาทีที่ 11) คงอุณหภูมิไว้ที่ 50 องศาเซลเซียสเป็นเวลา 1 นาที ใช้เวลาในการวัดตัวอย่างเท่ากับ 13 นาที ผลความหนืดแสดงในหน่วย อาร์วียู (RVU) รายงานเป็นค่า peak viscosity, final viscosity และ pasting temperature ค่า setback และ breakdown คำนวนโดย setback = peak viscosity – final viscosity และ breakdown = peak viscosity – though

3.3.9 การศึกษาสภาวะการเตรียมตัวอย่างข้าวสุก

3.3.9.1 เวลาในการหุงข้าว (minimum cooking time)

ตัดแปลงจากวิธีการของ Singh, Raina, Bawa and Dharmesh (2005) ชั่งตัวอย่างข้าวสาร 10 กรัม ใส่ในบีกเกอร์ขนาด 250 มิลลิลิตร เติมน้ำหนักต้นปริมาตร 100 มิลลิลิตร จับเวลา 10 นาที นำตัวอย่างไปตั้งในอ่างน้ำควบคุมอุณหภูมิที่มีฝาปิด ตั้งอุณหภูมิที่ 99 ± 1 องศาเซลเซียส โดยนำในอ่างควบคุมอุณหภูมิจะต้องมีอย่างน้อยครึ่งหนึ่งของความสูงของอ่างเมื่อหุงจากก้นอ่าง ใส่ตัวอย่างพร้อมกับเริ่มจับเวลา และทุก ๆ 1 นาที ทำการชักตัวอย่างเมล็ดข้าวออกมากทดสอบความสุก โดยวางตัวอย่างเมล็ดข้าวลงบนแผ่นกระดาษแล้วกดเมล็ดข้าวให้แนบตัวอย่างแล้วนับเวลา ณ ตำแหน่งนี้จึงเป็นเวลาที่ใช้สำหรับหุงข้าว อย่างไรก็ตามวิธีการนี้เป็นการทดลองหาค่าเวลาเบื้องต้นก่อน เพื่อให้ทราบค่าเวลาประมาณในการหุงเพื่อนำไปสู่การหาปริมาณน้ำที่เหมาะสมที่ใช้ในการหุงต่อไป

3.3.9.2 การหาปริมาณน้ำที่ใช้ในการหุงข้าว (water uptake ratio)

ตัดแปลงจากวิธีการของ singh et al. (2005) ชั่งตัวอย่างข้าวสารน้ำหนัก 5 กรัม ใส่ลงใน

กระป่องอะลูมิเนียมขนาดเส้นผ่าศูนย์กลางเท่ากับ 6 เซนติเมตร เดินนำกลับปริมาตร 50 มิลลิลิตร ตั้งในอ่างน้ำเดือด 100 ± 1 องศาเซลเซียส (ใช้เวลาตาม minimum cooking time) เมื่อครบเวลา นำตัวอย่างออก แซ่กานะตัวอย่างในอ่างน้ำเย็นเพื่อลดอุณหภูมิ เมื่ออุณหภูมิของตัวอย่างลดลง จนถึงอุณหภูมิห้อง เทน้ำที่ส่วนที่ไม่ได้ถูกตัวอย่างดูดซึบออกไป น้ำส่วนเกินที่บริเวณผิวข้าวสุกจะซับด้วยกระดาษทิชชูในลักษณะประบกคุ่นล่าง เป็นเวลา 1 ชั่วโมงเพื่อให้แน่ใจว่าไม่มีน้ำส่วนเกิน เกาะที่เมล็ดข้าวแล้ว ซึ่งนำหนักตัวอย่างหลังหุงสุก ค่า water uptake ratio คำนวณได้จากนำหนักตัวอย่างหลังหุงสุกลบนำหนักตัวอย่างเริ่มต้น หารด้วยนำหนักก่อนหุงก็จะได้อัตราส่วนของปริมาณน้ำที่ใช้ในการหุงข้าวต่อน้ำหนักข้าว 1 กรัม ซึ่งเป็นค่าการประมาณเบื้องต้นเท่านั้น ดังนั้นก่อนการหุงข้าวเพื่อวัดเนื้อสัมผัสริงนั้นจะต้องหุงในภาชนะอะลูมิเนียมทรงกระบอกที่เตรียมสำหรับวัดตัวอย่าง ซึ่งจะมีการทดลองปรับค่าเวลาและปริมาณนำอีกเล็กน้อยเพื่อให้ได้ที่เหมาะสมสมสำหรับตัวอย่างทดลองห้องหมด โดยได้ตัวอย่างข้าวที่สุกพอดี ไม่แห้งที่กันกระป่องหรือแข็งเกินไป

3.3.9.3 การหุงข้าว

หุงข้าวในอ่างน้ำควบคุมอุณหภูมิแบบมีฝาปิด โดยเดินนำให้ได้ระดับอย่างน้อยครึ่งหนึ่งของความสูงอ่าง ตั้งอุณหภูมิที่ 100 ± 1 องศาเซลเซียส จากนั้นซึ่งนำหนักกระป่องอะลูมิเนียมพร้อมฝาปิดและบันทึกนำหนักที่แน่นอนไว้ ซึ่งตัวอย่างข้าวสารประมาณ 20 กรัมนำหนักแห้งใส่ในกระป่องอะลูมิเนียมที่เตรียมไว้ บันทึกนำหนักตัวอย่างที่แน่นอน จากนั้นเดินนำปริมาณที่เหมาะสมตามผลที่ได้จากการท��าที่ 3.1 ลงในกระป่องอะลูมิเนียมที่ใส่ตัวอย่างข้าวและนำไว้แล้วเบ่ากระป่องเล็กน้อยเพื่อให้พิวน้ำของตัวอย่างข้าวเรียบเสมอกัน วางแผ่นพลาสติกกลมใส่ที่ตัดเตรียมให้ขนาดพอดีกับขอบผนังด้านในของกระป่องปิดทับด้านบนตัวอย่าง ปิดฝากระป่องให้สนิท โดยใช้เทปการปิดทับรอยต่อระหว่างฝา กับตัวกระป่องให้สนิท เพื่อป้องกันน้ำระเหยเข้าออกจากภาชนะให้ความร้อนตัวอย่าง โดยหลังจากเดินนำให้ทำการจับเวลา 10 นาที เมื่อครบเวลานำกระป่องอะลูมิเนียมที่ใส่ตัวอย่างและปิดสนิทแล้วตั้งในอ่างน้ำควบคุมอุณหภูมิที่เตรียมไว้ ใช้เวลาเท่ากับเวลาในการหุง (ตารางที่ 3.1) เมื่อครบเวลานำตัวอย่างข้าวออกจากอ่างน้ำควบคุมอุณหภูมิ ทำการพลิกให้กันกระป่องกลับมาอยู่ด้านบนเพื่อเป็นการกระจายความชื้นของตัวอย่างให้สม่ำเสมอ ไม่ให้เกิดการสะสมความชื้นและข้าวจะแห้งที่กันกระป่อง ตั้งทิ้งไว้ให้เย็นเป็นเวลา 2 ชั่วโมง จากนั้นนำตัวอย่างที่ได้ไปให้ความร้อนซ้ำในอ่างน้ำเดือดอีกรอบ เป็นเวลา 7 นาที เนื่องจากในการหุงข้าวที่เพื่อวัดเนื้อสัมผัสมีการใส่ตัวอย่างเป็นจำนวนมาก ปริมาณความร้อนที่ตัวอย่างได้รับจะมีค่าน้อยกว่าในขั้นตอนการหุงเวลาในการหุงข้าวที่หายใจในตอนแรกจึงต้องเพิ่มเวลาในการให้ความร้อนเพื่อให้ตัวอย่างสุกพอดี และเมื่อครบเวลา นำตัวอย่างข้าวออกจากอ่างน้ำควบคุมอุณหภูมิ พลิกให้กันกระป่องกลับมาอยู่ด้านบนอีกรอบแล้วตั้งทิ้งไว้เป็นเวลา 4 ชั่วโมง ซึ่งนำหนักตัวอย่างที่เย็นแล้ว

เพื่อตรวจสอบการระเหยของน้ำออกจากภาชนะ โดยกำหนดให้ปริมาณน้ำในตัวอย่างระเหยออกไปไม่เกินร้อยละ 5

ตารางที่ 3.1 ปริมาณตัวอย่าง น้ำ และเวลาที่ใช้ในการหุงข้าว

Treatment sample	Sample weight (g)	Water (ml)	Soaking time (min)	Cooking time (min)
Fresh	20	30	10	21
Aged	20	36	10	22
Frozen	20	30	10	21
Aged-accelerated	20	30	10	20

3.3.9.4 การอัดตัวอย่าง

อัดตัวอย่างข้าวในกระป่องด้วยแรงคงที่ขนาด 500 กรัม ให้ได้ระดับความสูงของทุกๆ ตัวอย่าง เท่ากับระดับความสูงของข้าวใหม่ที่หุงสุกแล้ว โดยทำการวัดระดับความสูงจากด้านก้นกระป่องขึ้นสู่ด้านบนกระป่องมีค่าประมาณ 2 เซนติเมตร เมื่ออัดตัวอย่างเสร็จทุกครั้ง ทำการซั่งน้ำหนักตัวอย่างอีกครั้งซึ่งต้องมีค่าใกล้เคียงน้ำหนักเดิมหลังหุงสุกเพื่อให้แน่ใจว่าน้ำจากตัวอย่างระเหยออกจากในปริมาณน้อย

3.3.10 การวัดเนื้อสัมผัสข้าวสุก

วัดเนื้อสัมผัสด้วยเครื่องวัดเนื้อสัมผัส (Texture analyzer, TA-XTplus, Stable Micro Systems Ltd., UK) ที่มี load cell เท่ากับ 50 กิโลกรัม เริ่มจากนำตัวอย่างข้าวสุกที่เตรียมไว้ตามวิธีการในข้อ 10 มาวัดเนื้อสัมผัสแบบคอมเพลสชัน (compression) โดยใช้หัววัดทรงกระบอก (cylinder probe) ขนาด 35 มิลลิเมตร ตั้งระดับความสูงเริ่มต้นของหัววัดกับฐาน เท่ากับ 50 มิลลิเมตร และตั้งค่า pretest speed และ posttest speed เท่ากับ 1 มิลลิเมตร / วินาที กำหนดระยะเวลาที่หัววัดกดลงไปที่ผิwtตัวอย่างที่ระดับความลึก 1.2 เซนติเมตร ค่าที่วัดได้จะอยู่ในรูปของค่าแรง (force) ที่เกิดขึ้นระหว่างหัววัดกับตัวอย่างในหน่วย กรัม และรายงานผลเป็นค่าความแข็ง (hardness) และความเหนียวติดกันของเม็ดข้าวสุก (stickiness)

3.3.11 การตรวจสอบคุณสมบัติทางความร้อนของตัวอย่างแป้งและสารรักษา

ตรวจสอบคุณสมบัติทางความร้อน ได้ด้วยเครื่อง Differential Scanning Calorimeter DSC1

(DSC1, Mettler Toledo, thermal Switzerland) ที่ใช้ระบบอินดิเกเตอร์ตรวจสอบความถูกต้องของ อุณหภูมิคัวบ อินเดียม (indium) ชั่งตัวอย่างประมาณ 7 มิลลิกรัม ลงใน stainless steel DSC pan ที่มี ปริมาณความชื้น 60 ไมโครลิตร เติมน้ำดื่มไอโอดีไนซ์ (deionized) 28 มิลลิกรัม คิดเป็นอัตราส่วน แปঁง ต่อน้ำเท่ากับ 1 : 3 โดยบันทึกน้ำหนักแปঁง และน้ำหนัก aluminum pan หลังปิดผนึกแล้ว ตั้งบ่มไว้ ที่อุณหภูมิห้อง 1 คืน ใช้ aluminum pan เป็นตัวอย่างอ้างอิง เริ่มให้ความร้อนจาก 25 ไปถึง 200 องศาเซลเซียส เพิ่มขึ้นที่อัตราเร็ว 10 องศาเซลเซียสต่อนาที โดยใช้ระบบ Intracooler (Intracooler 1P, Perkin Elmer, Connecticut, USA) เส้นกราฟการเปลี่ยนแปลงทางความร้อน จะถูกคำนวณและ แสดงเป็นค่าอุณหภูมิเริ่มต้นของการเปลี่ยนเฟส T_o (onset temperature peak) อุณหภูมิสูงสุดของการเปลี่ยนเฟส T_p (peak of gelatinization temperature) และอุณหภูมิสุดท้ายของการเปลี่ยนเฟส T_c (conclusion temperature) และค่าพลังงานของการเปลี่ยนเฟส ΔH (melting transition enthalpy) คำนวณได้จากพื้นที่ใต้กราฟ

3.3.12 การวัดสีของตัวอย่าง

วัดสีของเมล็ดข้าว ฟลาร์ว และสตาร์ช ด้วยเครื่องวัดสี (Chromameter) (CR-300 Meter, Minolta Co, Ltd. Japan) โดยวัดในระบบ $L^*a^*b^*$ โดย calibrate เครื่องด้วยแผ่นกระเบื้องมาตรฐาน สีขาว ซึ่งมีค่ามาตรฐาน คือ $Y = 93.50$, $x = 0.3114$ และ $y = 0.3190$

3.3.13 การวางแผนการทดลองและการวิเคราะห์ทางสถิติ

วางแผนการทดลองแบบสุ่มสมบูรณ์ (Completely randomized design: CRD) วิเคราะห์ ความแปรปรวนของข้อมูลด้วยการวิเคราะห์วิariance (Analysis of Variance: ANOVA) เปรียบเทียบ ค่าเฉลี่ยของข้อมูลด้วยวิธี Duncan's New Multiple Range Test (DMRT) โดยใช้โปรแกรม SPSS เวอร์ชัน 14.0

3.4 ผลการทดลองและวิจารณ์

3.4.1 องค์ประกอบทางเคมีของข้าวสาร

องค์ประกอบทางเคมีของข้าวหอมมะลิ 105 จาก 4 กลุ่มตัวอย่างทดลอง ได้แก่ ข้าวที่เก็บเกี่ยวใหม่ (fresh rice) ข้าวเก่าเก็บ 1 ปีที่อุณหภูมิห้อง (aged rice) และ ข้าวแช่แข็ง 1 ปี เก็บที่อุณหภูมิ -20 องศาเซลเซียส (frozen rice) และข้าวเก่าเร่งด้วยอุณหภูมิสูง (accelerated rice) และแสดงในตารางที่ 3.2 ความชื้นของตัวอย่างอยู่ในช่วง ร้อยละ 5.41 ถึง 10.67 ปริมาณไขมันอยู่ในช่วง ร้อยละ 0.12 ถึง 0.4 ปริมาณโปรตีนในช่วง ร้อยละ 7.31 ถึง 7.94 และปริมาณอะไมโลส ร้อยละ 18.88 ถึง 21.14 ตามลำดับ

ตารางที่ 3.2 องค์ประกอบทางเคมีของตัวอย่างข้าวสารพันธุ์ขาวดอกมะลิ 105 ในสภาวะการทดลองที่ต่างกัน

Treatment samples	Chemical composition (%)			
	Moisture	fat	protein	amylose
Fresh	10.67±0.12d	0.40±0.028a	7.94±0.15	18.88±0.10
Aged	9.44±0.43c	0.40±0.038a	7.68±0.04	19.84±0.23
Frozen	6.84±0.01b	0.44±0.070a	7.94±0.44	18.14±0.92
Aged-accelerated	5.41±0.08a	0.12±0.024b	7.31±0.24	21.14±2.13

ตัวอักษรที่แตกต่างกันในแนวตั้งหมายถึง มีความแตกต่างมีนัยสำคัญทางสถิติ ($p<0.05$)

เมื่อเปรียบเทียบปริมาณความชื้น และไขมันภายใน 4 กลุ่มตัวอย่างทดลอง พบร่วมหาในตัวอย่างข้าวใหม่มีความชื้นสูงสุด ($p<0.05$) รองลงมาคือ ข้าวแซ่บแข็ง ข้าวเก่า 1 ปี และข้าวเร่งตามลำดับ สอดคล้องกับผลการศึกษาของ Sea-Eaw, Chompreeda, Suwonsichon, Prinyawiwatkul and Haruthaithasan, (2007) ที่พบการลดลงของความชื้นในตัวอย่างแป้งข้าวหอมมะลิหลังจากเก็บรักษาในถุงพลาสติกเป็นระยะเวลา 6 เดือน โดยการลดลงของความชื้นในตัวอย่างเกิดจากการระเหยของน้ำอิสระที่มีในเมล็ด ออกสู่บรรยากาศภายนอกที่มีความชื้นน้อยกว่า หรือระเหยออกไปสู่อากาศเหนืออุณหภูมิที่มีความดันไoit ต่ำกว่าตัวอย่าง โดยเฉพาะพื้นที่บริเวณผิวเมล็ด (outer surface area) เพื่อทำให้เกิดสมดุลของความชื้นระหว่างตัวอย่างกับสภาวะแวดล้อม นอกจากนี้ยังมีรายงานว่า ข้าวพันธุ์ Basmati-370 และ Sharbati ที่เก็บไว้เป็นเวลาหนึ่งและสองปีนั้น ไม่มีความแตกต่างของปริมาณความชื้นในตัวอย่าง ทั้งนี้อาจเนื่องมาจากการน้ำอิสระส่วนบริเวณผิวน้ำของเมล็ดระเหยออกไปเกือบหมดแล้วในระหว่าง 1 ปีของการเก็บ ส่งผลให้ในปีที่สองจึงไม่มีการสูญเสียความชื้นไป เพราะหลังเหลือน้ำที่ระเหยได้ในปริมาณน้อย (Sodhi, Singh, Arora and Singh, 2003)

ส่วนความชื้นของตัวอย่างข้าวเร่ง ที่มีปริมาณต่ำสุดเมื่อเทียบตัวอย่างทดลองทั้ง 3 นั้น อาจเป็นผลของการให้ความร้อนกับเมล็ดข้าว ที่อุณหภูมิสูงถึง 100 องศาเซลเซียสเป็นเวลา 1 ชั่วโมง ซึ่งความร้อนที่ระดับนี้ เป็นความร้อนในการเปลี่ยนสถานะของน้ำ ดังนั้นน้ำอิสระที่อยู่บริเวณผิวน้ำของเมล็ดจึงเปลี่ยนแปลงสถานะเป็นก๊าซ และระเหยออกไปได้ในปริมาณมาก ในเวลาอันรวดเร็ว

ขณะที่ปริมาณความชื้นในตัวอย่างข้าวแซ่บแข็ง (อุณหภูมิ -20 องศาเซลเซียสเป็นเวลา 1 ปี) ที่มีค่าน้อยนั้น อาจเป็นผลของการเปลี่ยนแปลงที่เกิดจากสภาวะการเก็บรักษา ซึ่งการเก็บตัวอย่างหรือผลิตภัณฑ์อาหารที่อุณหภูมิและความชื้นต่ำ คือ -22 องศาเซลเซียส และ ความชื้นสัมพัทธ์ต่ำกว่าร้อยละ 95 ทำให้ความชื้นที่บริเวณผิวน้ำของผลิตภัณฑ์ระเหยออกไปได้ (มหาวิทยาลัยมหาสารคาม. ออนไลน์).

2554) นอกจากนี้ยังอาจมีการสูญเสียความชื้นจากการระเหยของน้ำ อันเป็นผลจากการเปลี่ยนสถานะของน้ำที่มีอยู่ภายในเม็ดจากของแข็งที่อุณหภูมิ -20 องศาเซลเซียลสกัดเป็นของเหลวที่อุณหภูมิห้องทำให้น้ำอิสระบางส่วนระเหยไประหว่างรอให้อุณหภูมิเพิ่มขึ้นจนถึงอุณหภูมิห้อง และรวมถึงการระเหยของน้ำบางส่วนที่พิเศษของเม็ดจากความร้อนที่เกิดขึ้นระหว่างขั้นตอนการขัดสี และบดตัวอย่างซึ่งจะเกิดได้ในทุกด้าวย่าง รวมทั้งตัวอย่างข้าวแซ่บด้วยเช่นกัน

เมื่อเปรียบเทียบปริมาณไขมันที่สกัดได้จากห้อง 4 กลุ่มตัวอย่างทดลองนั้นพบว่า ปริมาณไขมันที่สกัดได้จากตัวอย่างข้าวเก่า และข้าวแซ่บแข็งไม่มีแตกต่างจากข้าวใหม่ ขณะที่เมื่อนำข้าวผ่านการรีงเป็นผลให้ปริมาณไขมันที่สกัดมาได้มีค่าลดลงเมื่อเปรียบเทียบกับตัวอย่างข้าวใหม่ ($p<0.05$) เกิดจากการเปลี่ยนแปลงโครงสร้างขององค์ประกอบที่อยู่ภายในเม็ดข้าว โดยในส่วนของกรดไขมันสามารถเกิดเป็นสารประกอบเชิงช้อนกับสายอะไรมอลสทีบิริเวลผิวของเม็ดสถาาร์ช (amylose-lipid complex) ซึ่งยากต่อการสกัด (Zhou et al, 2003, Zhou, Robards, Helliwell and Blanchard, 2007) เมื่อปริมาณไขมันอิสระในตัวอย่างน้อยลง จึงส่งผลให้ปริมาณไขมันที่สกัดได้จากตัวอย่างข้าวเริ่มน้ำค่าลดลงตามไปด้วย ทั้งนี้ Zhou และคณะ (2003) ได้ให้เหตุผลว่า การใช้ปิโตรเลียมอีเทอร์เป็นตัวสกัดนั้นจะสามารถสกัดได้เฉพาะไขมันอิสระ (free lipid) ซึ่งมีปริมาณเท่ากับ 3.0-4.5 มิลลิกรัมต่อกรัมตัวอย่าง หรือคิดเป็นร้อยละ 0.3-0.45 ของตัวอย่างฟลาร์วเท่านั้น แต่หากใช้แอลกอฮอล์เป็นตัวสกัดจะทำให้สามารถสกัดไขมันติดแน่น (bound lipids) ออกมากด้วยซึ่งทำให้ปริมาณไขมันที่สกัดได้ในตัวอย่างจะไม่เปลี่ยนแปลงหลังการเก็บ ($p>0.05$) ดังนั้นจากผลทั้งหมดแสดงให้เห็นว่าการเก็บตัวอย่างไว้ที่อุณหภูมิต่ำ ไม่สามารถรักษาและดับความชื้นของตัวอย่างให้คงที่เหมือนก่อนการเก็บรักษาได้ ทั้งนี้การใช้อุณหภูมิสูงเร่งความเก่าของข้าวนั้นยังมีผลต่อการลดลงของความชื้น และปริมาณกรดไขมันอิสระที่สกัดได้ในตัวอย่างด้วย

เมื่อเปรียบเทียบปริมาณอะไรมอลสและโปรตีนระหว่างตัวอย่างทดลองทั้ง 4 พบร่วมกัน ($p>0.05$) ซึ่งให้ผลเช่นเดียวกับข้าวพันธุ์ Koshihikari, Kyeema และ Doongara ที่เก็บในอุณหภูมิ 4 และ 37 องศาเซลเซียส เป็นเวลา 16 เดือน (Zhou et al, 2007) และข้าวขาวดอกมะลิ 105 ที่เก็บไว้เป็นเวลา 7 เดือน ที่อุณหภูมิ 25 และ 37 องศาเซลเซียส ที่ไม่พนการเปลี่ยนแปลงของปริมาณอะไรมอลส (จิรศักดิ์, เพลงพิณ และ ทรงศิลป์, 2547)

3.4.2 สักษณะทางเคมีภysisของฟลาร์ว และสถาาร์ชข้าวที่สภาวะการทดลองต่างกัน

จากตารางที่ 3.3 จะเห็นได้ว่า ฟลาร์วที่เตรียมจากตัวอย่างข้าวใหม่ ข้าวเก่า และข้าวแซ่บแข็ง มีการพองตัวของตัวอย่างไม่ต่างกัน ($p>0.05$) การพองตัวของสถาาร์ช (swelling power) นั้นแสดงถึงความสามารถของสถาาร์ชในการดูดซับน้ำหนาให้ความร้อนที่อุณหภูมิ และเวลาใดหนึ่ง ๆ (Singh, Kaur, Sandhu, Kaur and Nishianri, 2006) ซึ่งอัตราการดูดซับน้ำของเม็ดสถาาร์ชข้าวเก่ามากกว่าข้าว

ใหม่ (Hogan, 1963) ดังนั้นที่เวลาเดียวกันเม็ดสตาร์ชข้าวเก่ายังคุณภาพไม่เต็มที่ จึงทำให้การพองตัวของแป้งข้าวมีค่าไกล์เดียงกับข้าวใหม่ได้ ซึ่งการที่จะให้การพองตัวเกิดขึ้นได้สมบูรณ์จึงอาจจำต้องใช้เวลานานกว่าในส่วนสำหรับตัวอย่างข้าวเก่าจะทำให้เห็นความแตกต่างได้ชัดเจนขึ้น ซึ่งหากพิจารณาค่ากำลังการพองตัวของตัวอย่างข้าวเก่า และข้าวแข็งแข็งเปรียบเทียบกับข้าวใหม่ พบว่ามีแนวโน้มลดลงแต่ไม่มีผลแตกต่างสติติ ที่เป็นเช่นนี้อาจเกิดจากการเก็บรักษาตัวอย่างในรูปข้าวเปลือก จึงทำให้ลดการเปลี่ยนแปลงที่จะเกิดขึ้นกับเมล็ดข้าวได้ จนทำให้เห็นการเปลี่ยนแปลงไม่ชัดเจน ทั้งนี้ Sirisoontaralak และ Noomhorm (2007) ได้อธิบายไว้ว่าการที่พฤติกรรมการพองตัวและการดูดซับน้ำของสตาร์ชของข้าวแต่ละสายพันธุ์ในระหว่างการเก็บรักษานั้นแตกต่างกัน โดยในกลุ่มอะไมโลสสูงจะมีการพองตัวที่ดี และคุณภาพได้สูงภายหลังการเก็บรักษา แต่ตัวอย่างที่ใช้ในการทดลองเป็นข้าวในกลุ่มอะไมโลสปานกลาง การเปลี่ยนแปลงการพองตัวของเมล็ดอาจเกิดขึ้นไม่ชัดเจนเท่ากับข้าวในกลุ่มอะไมโลสสูง นอกจากนี้ยังพบว่าฟลาร์วจากตัวอย่างข้าวเร่ง มีการพองตัวที่ระดับต่ำสุด เป็นผลของ

ตารางที่ 3.3 คุณลักษณะเคมีกายภาพของฟลาร์และสตาร์ชจาก 4 กลุ่มตัวอย่างทดลอง

Physico-chemical properties	Fresh	Aged	Frozen	Aged-accelerated
Swelling power (%)				
Flour	10.54±0.19B,a	10.28±0.17B,a	10.31±0.17B,a	9.76±0.08A,a
Starch	12.60±0.15BC,b	12.05±0.24AB,b	11.39±0.48A,b	13.17±0.50C,b
Soluble solid(%)				
Flour	6.04±0.24A,b	6.79±0.36B,b	8.38±0.03C,b	10.11±0.10D,b
Starch	5.16±0.30B,a	5.78±0.19C,a	4.85±0.25B,a	3.63±0.32A,a
Amylose leaching(%)				
Flour	4.71±0.53a	4.66±0.17a	4.63±0.59b	5.07±0.28b
Starch	7.92±0.13C,b	6.70±0.47B,b	2.08±0.33A,a	2.59±0.20A,a

ตัวอักษรพิมพ์ใหญ่ที่แตกต่างกันตามแนวโน้ม และอักษรพิมพ์เล็กที่แตกต่างกันตามแนวตั้งหมายถึงมีความแตกต่างอย่างมีนัยสำคัญทางสถิติ ($p<0.05$)

การใช้ความร้อนเร่งให้ข้าวเก่า ทำให้มีรอยแยกที่ผิวเมล็ดเกิดขึ้นตรงจุดที่แข็งแรงน้อยที่สุด คือบริเวณรอยต่อระหว่างผนังเซลล์ที่ห่อหุ้มกลุ่มเม็ดสตาร์ชไว้ ซึ่งกลุ่มของสตาร์ชในเมล็ดข้าวนั้นถูกยึด

เห็นี๋วักน์ไไว้ด้วยโปรตีน (the protein matrix) จึงเกิดปฏิสัมพันธ์ขึ้นระหว่างสตาร์ชกับสตาร์ช และสตาร์ชกับโปรตีน ทำให้มีดสตาร์ชเกาะกันเป็นกลุ่มก้อนขนาดใหญ่ (McDonagh, Floyd, Waniska and Rooney, 2004) ทำให้เม็ดสตาร์ชข้าวมีลักษณะแน่นและแข็ง (Gujral และ Kumar, 2003; McDonagh, Floyd, Waniska and Rooney, 2004) โดยผลที่เกิดขึ้นเป็นลักษณะเดียวกับปรากฏการณ์การเกิด case hardening ในอาหาร จากผลของความร้อนที่ใช้ทำให้อัตราการคุณน้ำของตัวอย่างข้าวเร่งมีค่าน้อย ส่งผลให้กำลังการพองตัวมีค่าต่ำกว่าด้วยเมื่อเทียบกับตัวอย่างอื่น ๆ

เมื่อพิจารณาเปรียบเทียบกำลังการพองตัวของฟลาร์วักกับสตาร์ชจากตัวอย่างทดลองเดียวกัน พบว่าค่ากำลังการพองตัวที่วิเคราะห์ได้ในฟลาร์วทั้ง 4 มีค่าต่ำกว่าสตาร์ชที่มาจากการกลุ่มทดลองเดียวกันอย่างมีนัยสำคัญทางสถิติ บ่งชี้ว่าใบมันและโปรตีนที่มีเริ่มต้นในข้าวนั้นมีผลต่อการพองตัวของเม็ดสตาร์ช โดยการขัดขวางการคุณน้ำและการพองตัวของเม็ดสตาร์ช และส่วนหนึ่งอาจเป็นผลมาจากการขั้นตอนการเตรียมสตาร์ชเอง ซึ่งตัวอย่างจะถูกแซ่บสารละลายต่าง ๆ เป็นเวลานานจึงอาจมีผลทำให้โครงสร้างของเม็ดสตาร์ชยึดหยุ่นและพองตัวได้ดีขึ้น เนื่องจากการเตรียมสตาร์ชจะมีการกำจัดโปรตีนออกไป โดยใช้สารละลายโซเดียมไฮดรอกไซด์ ซึ่งมีคุณสมบัติในการเพิ่มการพองตัว และการละลายของเม็ดสตาร์ช โดยการพองตัวจะเพิ่มขึ้นเมื่อค่าพีเอชของสารละลายค่าต่ำเพิ่มขึ้น (Olayinka, Adebawale และ Oul-Owolabi, 2008) ขณะที่ค่าการพองตัวของสตาร์ชที่เตรียมจากตัวอย่างทั้ง 4 มีความแตกต่างกัน ($p<0.05$) แสดงว่าระยะเวลาการเก็บรักษาที่นาน อุณหภูมิการเก็บรักษาที่ต่ำ รวมไปถึงความร้อนที่ใช้ในการเร่งความเก่าของข้าวนั้นล้วนมีผล ทำให้โครงสร้างของเม็ดสตาร์ชเปลี่ยนแปลงไปได้ ส่งผลต่อการพองตัวของเม็ดสตาร์ชทั้งหมดค่าต่างกัน ($p<0.05$)

โดยสตาร์ชจากตัวอย่างข้าวใหม่มีค่าการพองตัวไม่แตกต่างจากข้าวเก่า ($p<0.05$) แต่สูงกว่าสตาร์ชจากข้าวแซ่บแข็ง แสดงว่าการเก็บรักษาในสภาพแวดล้อมอาจทำให้มีดสตาร์ชแข็งแรงขึ้น ส่งผลให้มีการพองตัวได้น้อยกว่าสตาร์ชจากข้าวใหม่ ทั้งนี้พบว่าหลังจากกำจัดโปรตีนแล้วพบว่าสตาร์ชจากข้าวเร่งมีค่ากำลังการพองตัวสูงสุด นอกจากจะเป็นผลจากการแซ่บตัวอย่างในสารละลายต่าง ๆ ที่ใช้สักดิสตาร์ช มีส่วนทำให้มีดสตาร์ชยึดหยุ่นและพองตัวได้ดีขึ้นเหมือนตัวอย่างสตาร์ชทั้ง 3 แล้ว รอยแยกบริเวณรอยต่อของผนังเซลล์หุ้มกลุ่มเม็ดสตาร์ช ที่เกิดขึ้นจากการให้ความร้อนร่างข้าวเก่า�ั้น ทั้งนี้การกำจัดโปรตีนออกไปทำให้ปฏิสัมพันธ์ที่เกิดขึ้นระหว่างสตาร์ชและโปรตีนระหว่างกระบวนการเร่งถูกทำลายลง จึงมีผลทำให้น้ำและความร้อนผ่านไปที่ผิวสตาร์ชได้ ทำให้อัตราการพองตัวมีค่าสูงกว่าตัวอย่างทดลองอื่น ๆ ได้

ปริมาณของแข็งที่ละลายได้ของฟลาร์วมีค่าสูงกว่าสตาร์ช ($p\leq0.05$) ในทั้ง 4 กลุ่มตัวอย่าง (ตารางที่ 3.3) อาจเนื่องมาจากในขั้นตอนการเตรียมสตาร์ช มีการใช้สารละลายค่าต่ำ เพื่อกำจัดโปรตีนออกจากตัวอย่าง โปรตีนที่ขัดขวางการคุณน้ำ และพองตัวของสตาร์ชจะละลายออกมาก

สารละลายด่างยังคงละลายบางส่วนของสายอะไมโลส หรืออะไมโลเพคตินที่มีขนาดเล็กที่บริเวณผิวน้ำของเม็ดสตาร์ชให้หลุดออกมานอก และถูกกำจัดออกพร้อมโปรตีน จึงทำให้ปริมาณของแข็งที่จะละลายออกมากจากตัวอย่างสตาร์ชมีค่าน้อยลงเมื่อเทียบกับฟลาร์ว หากพิจารณาปริมาณของแข็งที่จะละลายได้ในสตาร์ชจากห้อง 4 กลุ่มตัวอย่าง พบร่วมสตาร์ชข้าวเร่งมีปริมาณของแข็งที่จะละลายได้น้อยกว่าสตาร์ชจากกลุ่มตัวอย่างอื่นๆ (ตรงข้ามกับปริมาณของแข็งที่จะละลายได้ในฟลาร์วข้าวเร่งซึ่งมีค่ามากสุดเมื่อเทียบกับอีก 3 กลุ่มตัวอย่างทดลอง) ซึ่งอาจเกิดจากลักษณะของตัวอย่างเองที่ร่างให้เก่าด้วยความร้อน จนผิวน้ำของเม็ดข้าวแตกร้าว (Gujral และ Kumar, 2003) และเกิดการเจลติไนซ์ของสตาร์ชได้บางส่วน ทำให้อะไมโลส และอะไมโลเพคตินสามารถละลายออกพร้อมกับโปรตีนในขั้นตอนการสกัดสตาร์ชได้มากกว่าตัวอย่างอื่นๆ จึงคงเหลือเศษพะส่วนของสตาร์ชที่แข็งแกร่งและพองตัวได้ยาก

เมื่อพิจารณาปริมาณของแข็งที่จะละลายได้ในส่วนของฟลาร์วพบว่า ฟลาร์วข้าวใหม่มีปริมาณของแข็งที่จะละลายได้น้อยฟลาร์วข้าวเก่า อาจเนื่องจากตัวอยู่ในข้าวใหม่ซึ่งช่วยยึดเกาะกลุ่มเม็ดสตาร์ชไว้ด้วยกันนั่นเอง ความแข็งแรงน้อยเมื่อเทียบกับโปรตีนในข้าวเก่าอายุ 1 ปี ทำให้มีเม็ดสตาร์ชในข้าวใหม่เจลติไนซ์ได้ง่ายและรวดเร็วเมื่อได้รับความร้อน (85 องศาเซลเซียส) เกิดเจลเศษพะกกลุ่มของเม็ดสตาร์ชที่อยู่ผิวนอกห่อหุ้มกลุ่มเม็ดสตาร์ชที่อยู่ด้านในเอาไว้ ทำให้ความร้อนและน้ำซึมผ่านชั้นเจลด้านนอกเข้าไปได้ยาก ส่งผลให้ค่าปริมาณของแข็งที่จะละลายได้จากฟลาร์วข้าวใหม่มีค่าต่ำกว่าฟลาร์วข้าวเก่า

ปริมาณของแข็งที่จะละลายได้ในฟลาร์วข้าวเร่งมีค่าสูงสุด ($p<0.05$) ตรงกับข้าวใหม่ ทำการพองตัวที่มีค่าต่ำ เนื่องจากข้าวเร่งมีรอยแยกระหว่างกลุ่มเม็ดสตาร์ช โอกาสที่ความร้อนและน้ำจะแพร่เข้าสู่โครงสร้างภายในเม็ดสตาร์ชจึงเป็นไปได้ง่าย ทำให้ส่วนของสตาร์ชหลุดออกตามรอยแตกได้มากกว่าฟลาร์วอื่นๆ

เมื่อศึกษาถึงการปลดปล่อยอะไมโลสอิสระในตัวอย่างฟลาร์ว พบร่วมตัวอย่างฟลาร์วห้อง 4 มีการปลดปล่อยอะไมโลสอิสระในปริมาณไม่แตกต่างกัน ($p<0.05$) หลังจากจัดโปรตีนออกไประดับ พบร่วมปริมาณอะไมโลสถูกปลดปล่อยออกจากสตาร์ชข้าวใหม่และข้าวเก่าเพิ่มมากขึ้นเมื่อเปรียบเทียบกับฟลาร์ว เป็นผลจากส่วนโปรตีนที่ขัดขวางการดูดซึมน้ำของสตาร์ชถูกกำจัดออกไประดับ สตาร์ชพองตัวได้ง่ายขึ้นส่วนของอะไมโลสจึงหลุดออกมาได้มากขึ้น ขณะที่ตัวอย่างสตาร์ชจากข้าวแข็ง และข้าวเร่งมีการปลดปล่อยอะไมโลสอิสระน้อยลง เกิดจากอะไมโลสนำงส่วนหลุดออกมาจากรอยแยกซึ่งเกิดจากการให้ความร้อนในข้าวเร่งเก่า โดยถูกกำจัดออกไประดับ กับโปรตีน ทำให้เหลือส่วนของอะไมโลสที่จะหลุดออกมานอกโครงสร้างได้น้อยลง

จากค่าการพองตัวของแข็ง ปริมาณของแข็งที่จะละลายได้ และการปลดปล่อยอะไมโลส

อิสระที่แตกต่างกันของตัวอย่างก่อนและหลังกำจัดโปรตีน แสดงว่าโปรตีนเกี่ยวข้องกับคุณสมบัติทางเคมีภายในของสารชีวะโดยเมื่อนำมาพิจารณาร่วมกับปริมาณโปรตีน และอะไรมอลส์ที่ไม่แตกต่างกันทั้ง 4 ตัวอย่าง (ตารางที่ 3.2) ภายหลังการเก็บ บ่งชี้ว่าการเปลี่ยนแปลงทางเคมีภาพของข้าวภายหลังการเก็บรักษาฯจะเกี่ยวข้องกับการเปลี่ยนแปลงทางเคมี เช่น พันธะหรือปฏิกิริยาพันธ์ของโปรตีนกับโปรตีน ซึ่งเกี่ยวข้องกับการเปิดตัว หรือการแยกกลุ่มกันของโมเลกุลโปรตีนที่อยู่บริเวณใกล้กับสารชีวะเพิ่มขึ้น ทำให้ขัดขวางการแทรกผ่านของน้ำและความร้อน เข้าสู่เม็ดสารชีวะ

สี (color) คือ คุณลักษณะหนึ่งของวัตถุคินและผลิตภัณฑ์อาหารที่มีความสำคัญอย่างมาก เพราะมีผลต่อการยอมรับของผู้บริโภคโดยตรงผ่านประสาทสัมผัสทางตา หรือการมองเห็น โดยสีของวัตถุคิน หรือผลิตภัณฑ์ที่แตกต่างไปจากเดิม อาจบ่งชี้ถึงคุณภาพที่เปลี่ยนแปลง หรือเสื่อมเสียได้

ตารางที่ 3.4 ค่าสีของเมล็ด ฟลาრ์ และสารชีวะจาก 4 กลุ่มตัวอย่างทดลอง

Colour	Treatment samples				
	Fresh	Aged	Frozen	Aged-accelerated	
L*	Grains	69±1.14A,a	69±2.25A,a	69±2.62A,a	74±2.36B
	Flour	74±0.17A,b	74±0.5A,b	75±0.57B,b	75±0.40B
	Starch	76±0.54C,c	76±0.23BC,b	75±0.29B,b	74±0.46A
a*	Grains	-4.04±0.07A,a	-4.76±0.12B,c	-4.52±0.24B,b	-4.77±0.21B,c
	Flour	-3.72±0.27b	-4.05±0.06a	-3.78±0.07a	-3.65±0.33a
	Starch	-4.77±0.17b	-4.58±0.03b	-4.28±0.06b	-4.26±1.45b
b*	Grain	11.98±0.16AB,c	14.14±0.61C,c	11.77±0.55A,b	12.95±0.61B,c
	Flour	4.51±0.07C,b	5.27±0.14D,b	3.67±0.04B,a	3.35±0.04A,a
	Starch	3.21±0.06A,a	3.30±0.07A,a	3.57±0.11B,a	4.15±0.07C,b

ตัวอักษรพิมพ์ใหญ่ที่แตกต่างกันตามแนวโน้ม และตัวอักษรพิมพ์เล็กที่แตกต่างกันตามแนวตั้งหมายถึงมีความแตกต่างอย่างมีนัยสำคัญทางสถิติ ($p<0.05$)

จากเหตุผลที่กล่าวมานี้ แสดงว่าสีเมล็ดข้าวจึงเป็นสิ่งที่ต้องให้ความสนใจ (Unnevehr, Duff, and Juliano, 1992; Juliano 1998; Siebenmorgan, 1998) ดังนั้นสีของข้าวสาร ฟลาร์ และสารชีวะที่เปลี่ยนแปลงไป ย่อมบ่งชี้ถึงคุณภาพของข้าวที่เปลี่ยนแปลงไป ซึ่งอาจเป็นผลจาก

การเปลี่ยนแปลงทางเคมีขององค์ประกอบหลัก เช่น ส塔าร์ช โปรตีน ไขมัน ได้จากตารางที่ 3.3 พบว่า เมล็ดข้าวผ่านการแช่แข็งที่อุณหภูมิ -20 องศาเซลเซียสมีสีขาวครีม ใกล้เคียงกับสีที่วัดได้จาก เมล็ดข้าวใหม่โดยพิจารณาจากค่า L* (lightness) ที่อยู่ในระดับสูง และ b* (yellowness) อยู่ในระดับต่ำ แสดงว่าการเก็บรักษาข้าวที่อุณหภูมิต่ำสามารถรักษาคุณภาพด้านสีของตัวอย่างข้าวได้ซึ่งต่าง กับสีของตัวอย่างเมล็ดข้าวเก่าอายุการเก็บ 1 ปีที่อุณหภูมิห้องจะมีสีขาวเหลือง โดยพิจารณาจากค่า b* ที่สูงกว่าตัวอย่างเมล็ดข้าวใหม่ ซึ่งสอดคล้องการรายงานของ Sirisontaralak and Noomhorm (2006) ที่พบว่าข้าวขาวดอกมะลิ 105 อายุ 1 ปี และข้าวขาวดอกมะลิ 105 ที่ผ่านการอบรังสีแกรม มา (ที่ 0.1-1 กิโลกรัม) อายุ 1 ปี จะเกิดสีเหลืองที่เมล็ดเพิ่มขึ้น

ลักษณะสีเหลืองที่เกิดขึ้นในข้าวเก่าที่เก็บรักษาที่อุณหภูมิห้องนี้เกิดจากปฏิกิริยาสีน้ำตาล (Maillard reaction) ระหว่างหมู่คาร์บอนิลจากน้ำตาลรีดิวชิงซ์ กับหมู่เอมีนของกรดอะมิโน โปรตีน โดยปฏิกิริยาการเกิดสีน้ำตาลจะเพิ่มมากขึ้นเมื่อมีของปริมาณคาร์บอนิล และเอมีนในปริมาณมาก โดยสีเหลืองจากปฏิกิริยาสีน้ำตาลดังกล่าวสามารถเกิดขึ้นได้ในข้าวที่อยู่ระหว่างเก็บรักษาที่อุณหภูมิห้อง (Chrastil, 1990) ทั้งนี้การเก็บข้าวไว้ที่อุณหภูมิสูงกว่า 25 องศาเซลเซียส จะทำให้เกิดการออกซิเดชันของไขมันในเมล็ดข้าวทำให้ปริมาณกรดไขมันอิสระ ไฮโดรperอออกไซด์ รวมทั้งหมู่คาร์บอนิล (โพลพานาล, อะซิตัลไธด์, เอกซานาล, เพนทานาล และ 2-บิวทานอน) มีปริมาณเพิ่มขึ้นซึ่งสารในกลุ่มนี้จะให้ลักษณะของกลิ่นเหม็นหืน (stale flavor) ในข้าวหลังหุงสุก (Juliano, 1985) และสารประกอบการรับอนิลที่เกิดขึ้นยังมีส่วนทำให้เกิดสีที่ผิดปกติของข้าวได้ด้วย โดยสารประกอบการรับอนิล และไฮโดรperอออกไซด์ที่เกิดขึ้นจะถูกใช้เป็นสารตั้งต้นการเกิดปฏิกิริยาสีน้ำตาลเหมือนกับหมู่คาร์บอนิลที่มีในน้ำตาลรีดิวชิงซ์ สอดคล้องกับการอธิบายของนิชิยา (2545) ที่ว่าสารประกอบการรับอนิลที่เกิดจากปฏิกิริยาออกซิเดชันของลิพิด จะทำปฏิกิริยากับหมู่อะมิโนเกิดเป็นสารสีน้ำตาลได้ การออกซิเดชันของกรดไขมัน (lipid oxidation) จึงถือว่ามีผลต่อคุณภาพของข้าว (Kim and Cho, 1993) ทั้งด้านกลิ่นที่เหม็นหืนและสีน้ำตาลที่เกิดขึ้น

ค่า L* ในตัวอย่างเมล็ดข้าวเร่งที่มีค่าสูง ($p < 0.05$) เมื่อเทียบกับเมล็ดข้าวจากตัวอย่างอื่น อาจเกิดจากการเจลาตีนซึ่งองเม็ด斯塔าร์ชบางส่วนที่บริเวณผิวน้ำข่องเมล็ดข้าว เนื่องจากการให้ความร้อนที่อุณหภูมิสูงเพื่อเร่งให้ข้าวเก่า ทำให้พันธะไฮโดรเจนที่ยึดระหว่างสายพอลิเมอร์ของ斯塔าร์ชถูกทำลายลง เป็นผลให้สายอะไมโลสและอะไมโลเพกตินสายยาวเคลื่อนที่ได้อิสระเพิ่มขึ้น เมื่ออุณหภูมิลดต่ำลงจึงเคลื่อนที่มาชิดกันและจัดเรียงตัวกันใหม่ (reassociate) ทำให้แสงสะท้อนเมล็ดข้าวได้น้อยลง ส่งผลต่อค่า L* ที่เพิ่มขึ้นเมื่อเปรียบเทียบกับเมล็ดข้าวใหม่

เมื่อพิจารณาค่า L* และ b* ที่วัดได้จากฟลาร์ และ斯塔าร์ช 3 กลุ่ม ได้แก่ ข้าวเก่า ข้าวใหม่ และข้าวเร่ง มีค่า L* สูง และ b* ที่ต่ำกว่า เมื่อเปรียบเทียบกับค่าที่วัดได้จากตัวอย่างเมล็ดข้าว

แสดงว่าฟลาร์ว และสตาร์ชข้าวทั้ง 3 กลุ่มมีสีขาวกว่าตัวอย่างทดลองที่เป็นเมล็ดข้าว ซึ่งเป็นผลจาก การบดตัวอย่างให้เป็นแป้งที่มีขนาดอนุภาคเล็ก และละอิคทำให้แสงกระจายในตัวอย่างได้ดีกว่า นอกจากนี้ยังพบว่าช่วงของความแตกต่างของค่าสีเหลือง (b^*) ในฟลาร์วทั้ง 4 แบบลงกว่าวัดได้ใน ตัวอย่างเมล็ดเมล็ดข้าว การแยกความแตกต่างด้วยสีเหลืองในตัวอย่างที่บดแล้วไม่ชัดเจนเท่ากับใน เมล็ด โดยค่า b^* ที่วัดได้ในฟลาร์วมีค่าน้อยกว่าที่วัดได้ในเมล็ดข้าว ($p<0.05$) ทั้งนี้เนื่องจากการวัดสี ของเมล็ดข้าวจะวัดที่ตำแหน่งผิวของเมล็ดโดยตรง ซึ่งเป็นบริเวณที่มีส่วนของโปรตีน และไขมัน หนาแน่นมากกว่าบริเวณอื่น จึงมีสารตั้งต้นในการเกิดปฏิกิริยาสีน้ำตาลได้มาก จึงวัดค่าสีเหลืองได้ มาก และเมื่อบดเป็นแป้งแล้วในกรณีของฟลาร์วทำให้ส่วนที่เป็นสีเหลืองบริเวณผิวหน้าเมล็ดข้าว ผสมกับส่วนที่เป็นแป้งสีขาวสีเหลืองจึงมีค่าทางลง

โปรตีนในเมล็ดข้าวมีผลต่อการเปลี่ยนแปลงค่าสีของตัวอย่างข้าวใหม่และข้าวเก่าอย่าง ชัดเจนพิจารณาจาก ค่า L^* เพิ่มขึ้น และ b^* ลดลง โดยสตาร์ชมีสีขาวขึ้นและมีสีเหลืองลดลง หลังจากกำจัดโปรตีน ขณะที่ตัวอย่างฟลาร์วและสตาร์ชแข็งแข็งไม่มีการเปลี่ยนแปลงค่า L^* และ b^* แสดงว่าการเก็บรักษาข้าวที่อุณหภูมิต่ำสามารถลดการเกิดปฏิกิริยาสีน้ำตาลในข้าวได้ และจาก ผลที่เกิดขึ้นสรุปได้ว่า การวัดค่าสีมีความเหมาะสมที่จะนำมาใช้แยกความแตกต่างของฟลาร์ว และ เมล็ดข้าวระหว่าง 2 กลุ่มตัวอย่างทดลองคือ ข้าวใหม่และข้าวเก่า 1 ปีเก็บที่อุณหภูมิห้องได้ เนื่องจากค่าสีที่วัดได้ในตัวอย่างมีความแตกต่างกันอย่างชัดเจน โดยใช้ค่า b^* เป็นค่าหลักที่ใช้ พิจารณาความแตกต่าง

3.4.3 คุณสมบัติการเกิดเพสท์ (pasting properties)

จากการศึกษาคุณสมบัติในการเกิดเพสท์ของฟลาร์ว ฟลาร์วที่กำจัดไขมันออกแล้ว และสตาร์ชจากตัวอย่างทดลองทั้ง 4 ด้วยเครื่องวัดความหนืดแบบบรรดเริว ฟลาร์วที่เตรียมจากข้าว แสดงคุณสมบัติการเกิดเจลาตินซ์ที่แตกต่างกัน ($p<0.05$) ทั้ง 4 กลุ่มตัวอย่างทดลอง ดังแสดงใน ตารางที่ 3.5 และ ภาพที่ 3.1 โดยเม็ดสตาร์ชจากฟลาร์ข้าวใหม่จะมีการพองตัวที่สูงและการแตก สลายของเม็ดสตาร์ชสูง เมื่อเปรียบเทียบกับฟลาร์วจากตัวอย่างอื่น ๆ โดยพิจารณาจากค่าความ หนืดสูงสุด (peak viscosity, PV) และ เบรคดาวน์ (breakdown, BD) ที่สูงสุด ขณะที่ค่าความหนืด สุดท้าย (final viscosity, FV) มีค่าต่ำ ดังเส้นพิกัดความหนืดที่แสดงใน ภาพที่ 3.1 นอกจากนี้ยัง พบว่าการกลับรวมตัวกันใหม่ของสายอะไนโอลิกกับองค์ประกอบอื่น ๆ เกิดเป็นเจลที่ค่อนข้าง อ่อนนุ่ม โดยพิจารณาจากค่าเซทแบค (setback, SB) และ FV ที่ค่อนข้างต่ำ นอกจากนี้ยังพบว่าค่า อุณหภูมิในการเกิดเพสท์ (pasting temperature, PT) ฟลาร์ข้าวใหม่มีค่าต่ำสุด แตกต่างจากข้าวเก่า ที่มีค่า PV และ BD ที่ต่ำ ซึ่งบ่งชี้ว่าเม็ดสตาร์ชมีการพองตัว และแตกตัวในระดับที่ต่ำ สอดคล้องกับ เส้นกราฟความหนืดในช่วงนี้ที่มีค่าต่ำกว่าฟลาร์ข้าวใหม่ ขณะที่ค่า SB และ FV ของฟลาร์ข้าวเก่า

มีค่าสูงสุด แสดงถึงการกลับมาร่วมตัวกันใหม่ของสายอะไนโลสและองค์ประกอบเกิดเป็นเจลที่มีความแข็งมากกว่าเจลที่ได้จากข้าวใหม่ โดย Sowbhagya และ Bhattacharya (2001) กล่าวว่า ค่า PV และ BD ที่ต่ำในข้าวเก่าเกิดจากการจัดเรียงโครงสร้างใหม่ขององค์ประกอบภายในเม็ดข้าว มีผลทำให้เกิดการด้านท่านการพองตัวและการแตกสลายของเม็ดสารซึ่ง โดยได้ทดลองเก็บรักษาข้าวเปลือกทั้งหมด 15 สายพันธุ์ คือ กลุ่มที่มีปริมาณอะไนโลสต่ำและอะไนโลสปานกลาง นำมาเก็บรักษา 26 องศาเซลเซียส เป็นเวลา 4 ปี พบรการเปลี่ยนแปลงลักษณะของการเกิดเพสท์ของตัวอย่างตลอดเวลาการเก็บ โดยการเปลี่ยนแปลงความหนืดจะเกิดขึ้นอย่างรวดเร็วในช่วงเริ่มต้นของการเก็บรักษา และจะเปลี่ยนแปลงเริ่มช้าลงเมื่ออายุการเก็บรักษาเพิ่มขึ้น และจากผลการติดตามเป็นระยะเวลา 4 ปี ถึงพบรการเปลี่ยนแปลงความหนืดของข้าวเกิดขึ้นตลอดเวลา จึงคาดว่าการเปลี่ยนแปลงนี้ยังดำเนินต่อไป ซึ่งการเปลี่ยนแปลงคุณสมบัติการเกิดเพสท์ของข้าวภายหลังการเก็บสามารถพิจารณาได้จากการลดลงของค่า BD (Sowbhagya and Bhattacharya, 2001; Zhou et al, 2003) และ เพิ่มขึ้นของค่า SB (Shin, Min, and Kim, 1991; Sowbhagya and Bhattacharya, 2006) ในฟลาร์วข้าว

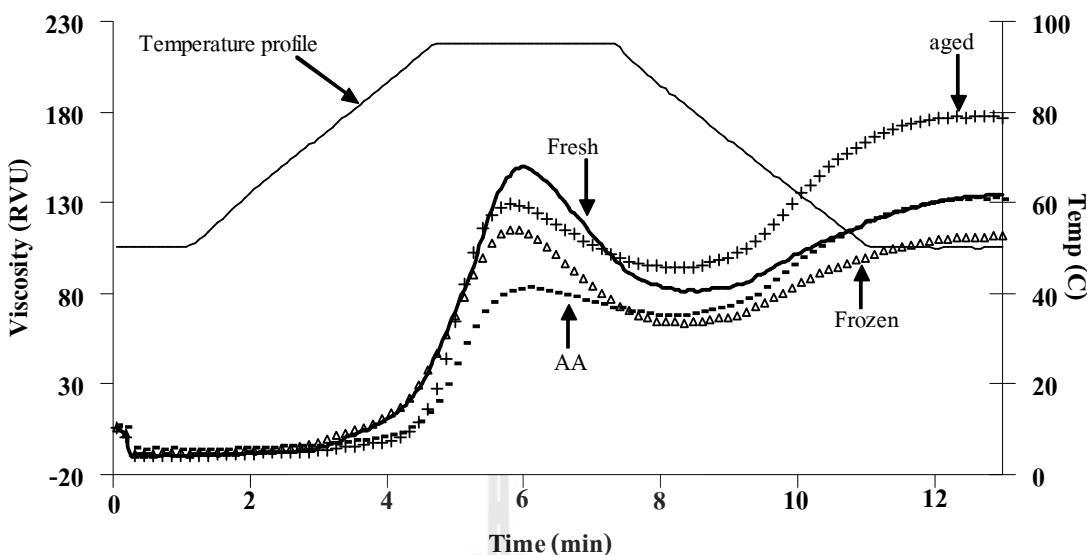
สำหรับตัวอย่างฟลาร์วที่เตรียมจากข้าวแห้งแข็ง 1 ปีที่อุณหภูมิ -20 องศาเซลเซียส มีลักษณะการเกิดเพสท์แตกต่างจากฟลาร์วข้าวใหม่ จึงชี้ให้เห็นว่าการเก็บรักษาข้าวที่อุณหภูมิต่ำไม่สามารถคงลักษณะของเจลไว้เหมือนก่อนเก็บรักษาได้ โดยเม็ดสารซึ่งพองตัวได้ดีเพียงช่วงแรก เมื่อ时间ของข้าวใหม่ (ภาพที่ 3.1) แต่มีค่า PV ที่ต่ำกว่าของฟลาร์วข้าวใหม่และข้าวเก่า ($p<0.05$) ส่วนค่า BD ที่แสดงถึงความทนทานต่อการแตกสลายของเม็ดสารซึ่งของฟลาร์วจากข้าวแห้งแข็งมีค่าต่ำกว่าข้าวใหม่ แต่สูงกว่าข้าวเก่า นอกจากนี้พบว่าฟลาร์วจากตัวอย่างข้าวแห้งแข็งจะเกิดเจลที่อุณหภูมิสูงกว่าฟลาร์วจากข้าวใหม่ด้วยดังแสดงจากค่า PT ที่สูงกว่า ลักษณะเส้นกราฟความหนืดของฟลาร์วจากตัวอย่างแข็งแข็งนั้นคล้ายคลึงกับเส้นกราฟที่ได้จากฟลาร์วข้าวใหม่ เพียงแต่กราฟเส้นกราฟความหนืดในช่วงให้ความร้อนจะอยู่ระดับต่ำกว่าอันเป็นผลจากการพองและการแตกตัวของเม็ดสารซึ่งที่ต่ำกว่า

การใช้อุณหภูมิสูงในการเร่งความเก่าของข้าว มีผลอย่างมากต่อคุณสมบัติการเกิดเพสท์ และลักษณะของเจล โดยฟลาร์วที่เตรียมได้จากข้าวเร่งน้ำ มีการพองตัวของเม็ดสารซึ่งอยู่ในระดับต่ำสุด และมีการแตกสลายของเม็ดสารซึ่งน้อย (ตารางที่ 3.5) เมื่อเปรียบเทียบกับฟลาร์วจากตัวอย่างอื่น โดยลักษณะเส้นกราฟความหนืดมีการเพิ่มขึ้นของความหนืดเริ่มต้นใกล้เคียงกับฟลาร์วข้าวเก่า แต่ช้ากว่าฟลาร์วข้าวใหม่และข้าวแห้งแข็งและมีพีคอยู่ในระดับต่ำ (ภาพที่ 3.1) สองคลื่นกับคำอธิบายของ Zhou และ คณะ (2003) ที่ว่าการใช้อุณหภูมิสูงในขณะเก็บรักษาข้าวเป็นเวลานาน เม็ดสารซึ่งจะดูดซับน้ำได้น้อย และยังยากต่อการถูกทำลายด้วยกระบวนการให้ความร้อน (hydrothermal disruption)

ตารางที่ 3.5 คุณสมบัติการเกิดเพสท์ของตัวอย่างฟลาร์ว ฟลาร์วที่สกัดไนมันออก และสตาร์ช จากข้าวที่สภาวะการทดลองต่างกัน

Treatment samples		Pasting Temp (°C)	Peak (RVU)	Breakdown (RVU)	Final viscosity (RVU)	Setback (RVU)
Fresh	Flour	75.63A,n	148.39D,n	69.42D	133.28B,n	54.31B,n
	Defatted flour	76.37a,n	158.31d,o	68.58d	132.89c,n	43.17a,m
	Starch	72.9N,m	144.19O,m	71.36O	106.19M,m	33.36M,m
Aged	Flour	89.4C,n	126.08C	31.67C,m	176.56C,o	82.14D,o
	Defatted flour	88.88c,n	125.53c	31.86b,m	166.22d,n	72.56c,n
	Starch	71.32M,m	132.25N	54.5N,n	116.52N,m	40.78N,m
Frozen	Flour	84.23 B, n	115.42B,n	48.03B,o	115.89A,n	48.5A,n
	Defatted flour	85.6b,n	113.78b,n	52.58c,n	105.44a,m	44.25a,m
	Starch	72.68MN,m	101.94M,m	35.5M,m	113MN,n	46.56O,n
Aged-accelerated	Flour	89.93C,n	82.78A,n	15.69A,m	131.81B,n	64.72C,o
	Defatted flour	89.93c,n	78.19a,m	18.83a,m	117.64b,m	58.28b,n
	Starch	74.53O,m	127.86N,o	51.11N,n	111.75MN,m	35M,m

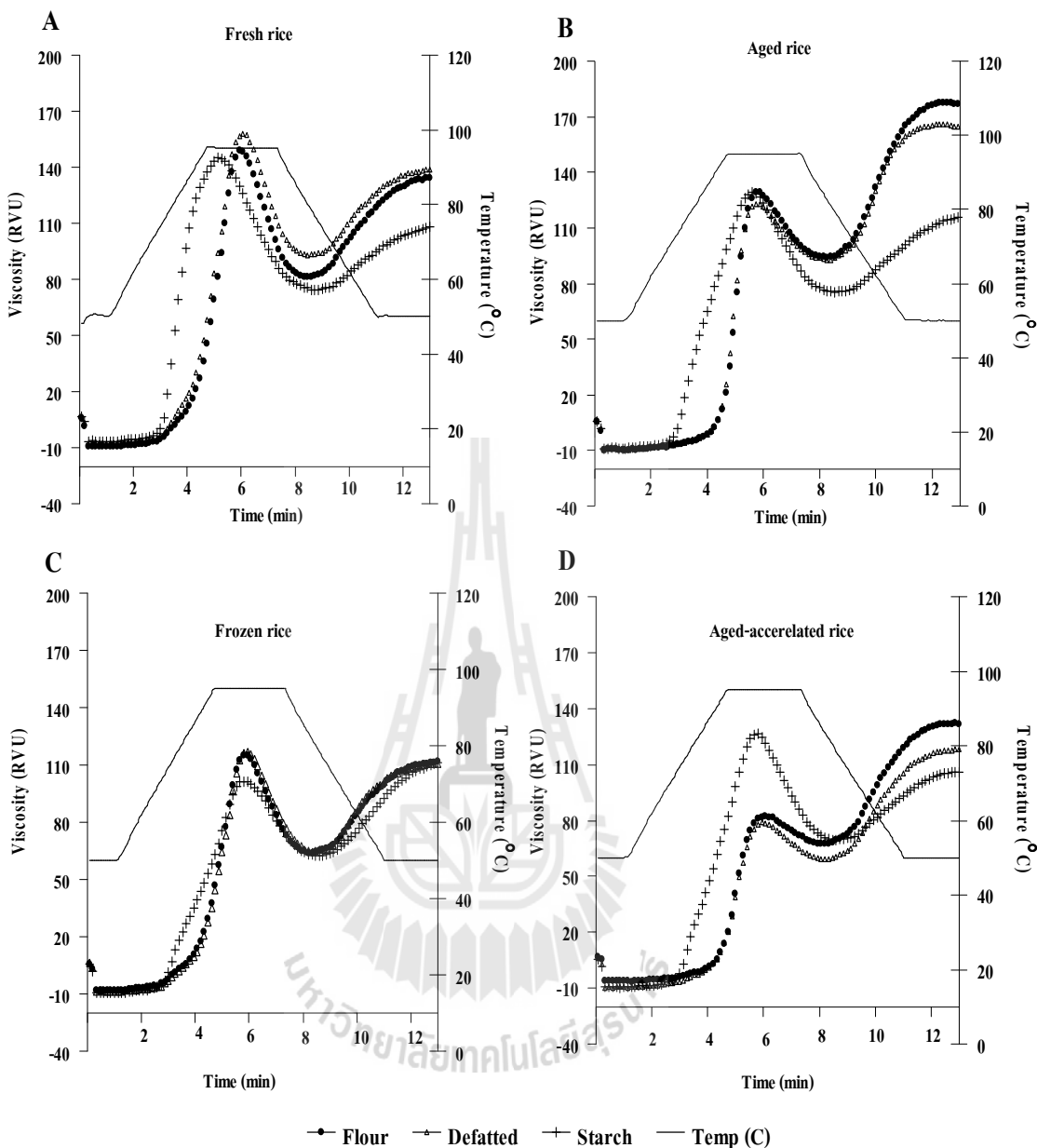
ตัวอักษรพิมพ์ใหญ่และอักษรพิมพ์เล็กที่แตกต่างกันตามแนวตั้ง หมายถึงมีความแตกต่างอย่างมีนัยสำคัญทางสถิติ ($p<0.05$) A-D ใช้เปรียบเทียบความแตกต่างของฟลาร์ว a-d ใช้เปรียบเทียบความแตกต่างของฟลาร์วที่กำจัดไนมัน M-P ใช้เปรียบเทียบความแตกต่างของสตาร์ช m-p ใช้เปรียบเทียบความแตกต่างของ ฟลาร์วที่กำจัดไนมันแล้ว และสตาร์ช



ภาพที่ 3.1 เส้นกราฟความหนืดของตัวอย่างฟลาร์วข้าวที่สภาวะการเก็บต่าง ๆ

ขณะที่ค่า FV และ SB ของฟลาร์วข้าวเร่งมีค่า ต่ำกว่าฟลาร์วข้าวเก่า แสดงถึงลักษณะเจลที่อ่อนนุ่ม กว่าภายหลังเจลาตีนайซ์ ทั้งนี้อาจเนื่องจากมีส่วนของไมโลสที่หลุดออกมากเพียงเล็กน้อย ประกอบ กับเม็ดสตาร์ชที่พองตัวได้น้อย เมื่อออจะไมโลส ซึ่งกลับมาจัดเรียงตัวกันใหม่จะถูกขัดขวางจากกลุ่ม เม็ดสตาร์ชที่พองตัวได้น้อยอยู่ภายนอกสารละลายเป็นหลังให้ความร้อน

การเปรียบเทียบคุณสมบัติการเกิดเพสท์ของตัวอย่างก่อน และหลังกำจัดไขมันดังในตารางที่ 3.5 พบว่าไขมันมีผลต่อคุณสมบัติการเกิดเพสท์ของตัวอย่าง โดยหลังจากสกัดไขมันอิสระ ออกไปจากฟลาร์วแล้ว พบว่าค่า SB ของตัวอย่างที่กำจัดไขมันออกไปนี้จะมีค่าต่ำกว่า ฟลาร์ว 4 ตัวอย่าง และค่า FV มีค่าลดลงในตัวอย่างฟลาร์วข้าวเก่า ข้าวแช่แข็ง และข้าวเร่งเก่า(ภาพที่ 3.2 A, B และ D) ในขั้นตอนสุดท้ายที่มีการปรับลดอุณหภูมิของฟลาร์วที่ผ่านเจลาตีนайซ์ จะสังเกตพบว่า เส้นกราฟความหนืดของฟลาร์วทั้ง 3 ก่อนกำจัดไขมันจะอยู่ในระดับที่ต่ำกว่าฟลาร์ว แสดงว่าไขมัน มีส่วนในการเพิ่มค่า FV ของฟลาร์ว สอดคล้องกับผลการทดลองของ Zhang และ Hamaker (2003) ที่ พบว่าตัวอย่างสตาร์ชข้าวฟางจะมีพิเศษความหนืดช่วงสุดท้ายต่ำกว่าตัวอย่างสตาร์ช ที่มีการเติมกรด ไขมันอิสระ 3 ชนิด กรดปาล์มิติก กรดโอลีเยอิก และกรดลิโนเลอิก ลงไป อよ่ง ไรกี ตาม เมื่อพิจารณา ค่า PT ของทั้ง 4 กลุ่มทดลองเปรียบเทียบก่อน และหลังกำจัดไขมันในตารางที่ 3.4 พบว่ามีค่าไม่ แตกต่างกัน ($p > 0.05$) ทั้งนี้จะพบว่าอิทธิพลของไขมันในเม็ดข้าวที่มีการเกิดเพสท์ของตัวอย่างนั้น ยังมีอิทธิพลของไขมันต่อตัวอย่างไม่ต่างกัน ($p > 0.05$) ทั้งนี้จะพบว่าอิทธิพลของไขมันในเม็ดข้าวที่มีการเกิดเพสท์ของตัวอย่างทั้ง 4 ที่เปลี่ยนแปลง



ภาพที่ 3.2 ความหนืดของตัวอย่างฟลาร์วและฟลาร์วที่กำจัดไขมัน และสตาร์ชข้าวที่สภาวะการเก็บต่าง ๆ กัน A; ข้าวใหม่ B; ข้าวเก่า C; ข้าวแข็งแข็ง และ D; ข้าวเร่ง

ไปอย่างมาก ภายหลังการโปรตีนกำจัดโดยพิจารณาผลจากตารางที่ 3.5 และภาพที่ 3.2 A-D โดยจากตารางที่ 3.3 พบว่าอุณหภูมิในการเกิดเพสท์สตาร์ชจาก 4 กลุ่มตัวอย่างมีค่าลดลงเมื่อเปรียบเทียบกับที่มีโปรตีน อธิบายได้ว่าโปรตีนในข้าวมีส่วนขัดขวางการเจล化ในช่องสตาร์ช เนื่องจากโปรตีนสามารถจับกับน้ำได้ดีกว่าสตาร์ช จึงมีโนเลกูลของน้ำที่สามารถจับกับสตาร์ชได้น้อยลง ทำให้การพองตัวรวมทั้งการปลดปล่อยอะไรมีผลสออกจากโครงสร้างสตาร์ชทำได้น้อยกว่า เมื่อเทียบกับสตาร์ช

(Martin and Fitzgerald, 2002) โดยในปี 2000 Teo, Karim, Cheah, Norziah และ Seow รายงานว่า การเดินโปรดีนลงในสตาร์ชมีผลต่อเพิ่มค่า PV และ BD ในสตาร์ชข้าวพันธุ์ Makmur 77 ดังนั้นการที่โปรตีนถูกกำจัดออกไป จึงส่งผลให้มีสตาร์ชสามารถคงตัวและเจลติดในช่องสตาร์ชที่อุณหภูมิต่ำลงประมาณ 71-74 องศาเซลเซียส (ตารางที่ 3.5) โดยโปรดีนสามารถขัดขวางการเจลติดในช่องสตาร์ชได้ โดยทำให้สตาร์ชคงตัวได้ช้าลง ซึ่งจะสังเกตจากเส้นกราฟของสตาร์ชทั้ง 4 แสดงการเพิ่มขึ้นของความหนืดเริ่วกว่าฟลาร์วทั้งก่อนและหลังกำจัดไบมัน ดังแสดงในภาพที่ 3.2A-D ลักษณะเส้นกราฟของสตาร์ชจะแยกออกจากฟลาร์วอย่างชัดเจน โดยเมื่อพิจารณาเส้นกราฟสตาร์ชทั้ง 4 เปรียบเทียบกับฟลาร์วก่อนและหลังกำจัดไบมันในช่วงการลดอุณหภูมิพบว่าเส้นกราฟของสตาร์ชอยู่ในระดับที่ต่ำกว่าฟลาร์วทั้ง 2 แสดงถึงลักษณะของเจลที่อ่อนนุ่มกว่าฟลาร์ว

แสดงว่าโปรดีนในข้าวน่าจะเกิดปฏิกิริยาพันธ์กับสายอะไมโลสที่หลุดออกจากเม็ดสตาร์ชหลังเจลติดในช่องสตาร์ชซึ่งเป็นโครงสร้างสามมิติของเจลที่แข็งแรงมากกว่า เจลที่เกิดขึ้นจากการรวมตัวเนพะอะไมโลสเพียงอย่างเดียว

3.4.4 คุณสมบัติทางความร้อน (Thermal properties)

การเกิดเจลติดในช่องสตาร์ชนั้น เป็นกระบวนการที่สตาร์ชจะเปลี่ยนแปลงไปเป็นลักษณะเจลขึ้นหนึ่ด ในสภาวะที่เม็ดแป้งหรือสตาร์ชอิ่มตัวด้วยน้ำตั้งแต่ร้อยละ 70 ขึ้นไป โดยอาศัยความร้อนที่ให้แก่ระบบ ทำให้พันธะเคมี เช่น ไฮโดรเจนถูกทำลาย เม็ดแป้งจึงเกิดการดูดน้ำและพองตัว เป็นผลให้ความหนืดเพิ่มสูงขึ้น และเมื่อมีเม็ดแป้งแตกกลง สายอะไมโลสและอะเพกตินจะเกิดการขัดเรียงตัวกันเกิดเป็นโครงสร้างสามมิติกักเก็บน้ำภายในเกิดเป็นลักษณะเจล ซึ่งช่วงอุณหภูมิ และพลังงานที่ใช้ในการเกิดเจลติดในช่องสตาร์ชได้ด้วยเครื่อง Differential Scanning Calorimeter (DSC) โดยมีการแสดงอุณหภูมิของเจลติดในช่องสตาร์ชอย่างต่อตัว (onset temperature; T_0) อุณหภูมิสูงสุดในการเกิดเจลติดในช่องสตาร์ช (peak temperature; T_p) และ อุณหภูมิสุดท้ายของการเกิดเจลติดในช่องสตาร์ช (conclusion temperature; T_c) รวมถึงค่าพลังงานที่เปลี่ยนแปลงไประหว่างเกิดเจลติดในช่องสตาร์ช (enthalpy; ΔH (J/g)) จากผลการศึกษาค่าคุณสมบัติเชิงความร้อนของฟลาร์วทั้ง 4 กลุ่มทดลองแสดงดังตารางที่ 3.6

เมื่อพิจารณาคุณสมบัติทางความร้อนของตัวอย่างฟลาร์วจากตารางที่ 3.6 พบว่าสภาวะในการเก็บรักษาเม็ดทำให้คุณสมบัติทางความร้อนของตัวอย่างฟลาร์วข้าวเก่า ข้าวแห่แข็ง และข้าวเร่งแตกต่างจากฟลาร์วข้าวใหม่ โดยช่วงอุณหภูมิในการเจลติดในช่องสตาร์ช และค่าพลังงานในการเกิดเจลติดในช่องสตาร์ชของฟลาร์วข้าวเก่า และข้าวเร่งสูงมีค่าสูงกว่าฟลาร์วข้าวใหม่ การเปลี่ยนแปลงนี้ยังเกิดขึ้นในฟลาร์วจากข้าวพันธุ์ Makmur 77 ซึ่งเก็บไว้ที่อุณหภูมิ 25, 35 และ 45 องศาเซลเซียส 14 สัปดาห์ (Teo, Karim, Cheah, Norziah and Seow, 2000)

ตารางที่ 3.6 คุณสมบัติทางความร้อนของฟลาร์วและสตาร์ชจากทั้ง 4 กลุ่มตัวอย่างทดลอง

Treatment samples	Transition temperature (°C)			ΔH (J/g dry sample)
	T_0	T_p	T_c	
Flour				
Fresh	65.21±0.02B,b	71.28±0.22B,b	77.63±0.23B,b	5.96±0.12AB,a
Aged	66.51±0.11D,b	73.48±0.30D,b	79.39±0.38C	7.02±0.03C,a
Frozen	63.88±0.02A,b	69.86±0.11A,b	74.35±2.07A	4.88±0.12A,a
Aged-accelerated	66.03±0.33C,b	72.51±0.41C,b	80.22±0.23D,b	7.94±0.98C,b
Starch				
Fresh	61.71±0.09N,a	68.48±0.08M,a	76.40±0.33N,a	8.87±0.30O,b
Aged	62.39±0.16O,a	70.48±0.01O,a	78.15±0.02O	8.01±0.27N,b
Frozen	61.32±0.33N,a	68.60±0.13M,a	74.84±0.08M	6.64±0.21M,b
Aged-accelerated	58.52±0.16M,a	69.85±0.02N,a	76.51±0.14N,a	6.38±0.24M a

ตัวอักษรพิมพ์ใหญ่และพิมพ์เล็กที่แตกต่างกันตามแนวตั้งหมายถึงมีความแตกต่างของมีนัยสำคัญทางสถิติ ($p<0.05$) A-D ใช้เปรียบเทียบความแตกต่างของฟลาร์ว, M-O ใช้เปรียบเทียบความแตกต่างของสตาร์ช, a-b ใช้เปรียบเทียบความแตกต่างระหว่างฟลาร์วกับสตาร์ช

ทำให้โครงสร้างของสตาร์ชมีความแข็งแรงขึ้น ทั้งนี้ค่าช่วงอุณหภูมิเริ่มการเปลี่ยนแปลงที่เพิ่มขึ้น สอดคล้องกับค่าการพองตัวของเม็ดสตาร์ชที่ลดลง (ตารางที่ 3.3) แสดงถึงสตาร์ชพองตัวได้ยากขึ้นเมื่อเทียบกับตัวอย่างฟลาร์วข้าวใหม่ (Jaisut, Prachayawarakorn, Varanyanond, Tungtrakul and Soponronnarit, 2008) ซึ่งในส่วนของข้าวเก่าจะเกี่ยวข้องกับการเปลี่ยนแปลงของโปรตีนที่เกิดตัว กันมากขึ้นภายหลังการเก็บ ส่วนที่อยู่ใกล้กับผิวเม็ดสตาร์ชจะขัดขวางการดูดซับน้ำของไนโอลสและผ่านของความร้อนสู่ชั้นโครงสร้างผลึกในเม็ดสตาร์ช ขณะที่ข้าวเร่งงานเป็นผลจากการสูญเสียความชื้น ในเมล็ดจากการระเหยน้ำด้วยความร้อน ทำให้มีเม็ดสตาร์ชแข็งขึ้น และสารประกอบเชิงชั้นของไนโอลสกับไนมัน (amylose-lipid complex) ที่อาจเกิดขึ้นได้ในกระบวนการเร่งความเก่าของข้าว ซึ่งในระหว่างการให้ความร้อนทำให้อะไนโอลสที่พูนในชั้นพื้นที่โอกาสรวมตัวกับกรด-ไนมันอิสระได้ (Lim, Chang and Chung, 2001) ช่วยอุณหภูมิในการเจลติไนซ์ และค่าพลังงานในการเกิดเจลติไนเซชัน ของฟลาร์ว จากข้าวแข็งกับมีค่าต่ำกว่าฟลาร์วข้าวใหม่ แสดงให้เห็นว่าเก็บรักษาตัวอย่างข้าวที่อุณหภูมิต่ำกว่าซึ่งมีการเปลี่ยนแปลงเกิดขึ้นได้ และต้องมีความเกี่ยวของกับสตาร์ชและโปรตีน โดยใน

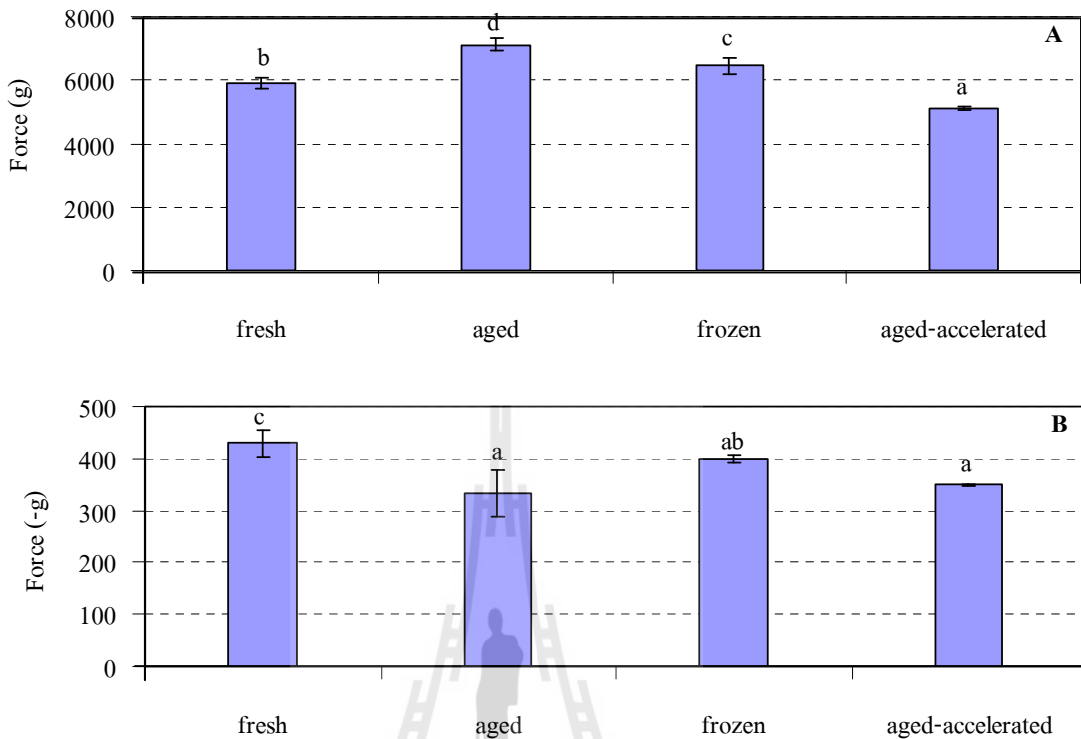
ส่วนของโปรดีนอาจมีการเปิดตัวเพิ่มมากขึ้น หรือผลึกน้ำแข็งที่เกิดขึ้นเนื่องจากน้ำอิสระในเมล็ดอาจทำลายโครงสร้างสตาร์ชหรือโปรดีนในช่วงระหว่างแช่แข็ง และการละลายของน้ำแข็งเมื่อนำตัวอย่างออกมานจะดูดซับเพื่อทำการวิเคราะห์ ทำให้ใช้พลังงานต่ำลงในการทำลายโครงสร้างของผลึก

ขณะที่ช่วงอุณหภูมิเริ่มการเปลี่ยนแปลง และอุณหภูมิสูงสุดในการเกิดเจลาติเซชันของฟลาร์วสูงกว่าสตาร์ชในทุกตัวอย่าง ($p<0.05$) โดยเกิดจากในฟลาร์วมีองค์ประกอบอื่น ๆ เช่น น้ำตาลรวมทั้งโปรดีน ซึ่งมีคุณสมบัติในการดูดซับโมเลกุลของน้ำได้ดีกว่าสตาร์ช จึงมีผลช่วยลดการเจลาติในช่องเม็ดสตาร์ชได้ (Chungcharoen and Lund, 1987; Eliason, 1992) แสดงให้เห็นชัดเจนว่าองค์ประกอบอื่น ๆ ในฟลาร์ว โดยเฉพาะโปรดีนมีผลอย่างมากต่อการเปลี่ยนแปลงพฤติกรรมทางความหนืด (rheological properties) ของข้าว (Teo et al, 2000) โดยผลที่เกิดขึ้นในตัวอย่างนี้ยังพบได้ในกลุ่มของฟลาร์ว และสตาร์ชที่เตรียมได้จากข้าวพันธุ์ Makmur 77 (Teo et al, 2000) และพันธุ์อาร์เจนตินาได้แก่ El Paso 144, San Miguel, H-144-7, Palmar, Rico, W4109 และ W4111 (Iturriaga, Lopez and Añon, 2004)

เมื่อพิจารณาค่าพลังงานในการเกิดเจลาติในเซชัน ซึ่งแสดงถึงค่าพลังงานที่ใช้ในการหลอมละลายของสายเกลียวคู่ (double helix) ของสตาร์ชขณะเกิดการเจลาติในเซชัน จากตารางที่ 3.6 พบว่าค่าพลังงานในการเกิดเจลาติในช่องฟลาร์วต่ำกว่าสตาร์ช อาจเนื่องมาจากในฟลาร์วมีส่วนของสตาร์ชน้อยกว่า เพราะมีสารประกอบอย่างอื่นรวมอยู่ด้วย เมื่อเทียบสัดส่วนต่อน้ำหนักตัวอย่างในฟลาร์ว จะมีส่วนของสตาร์ชน้อยกว่า ($p<0.05$) ขณะที่สตาร์ชจะกำจัดสารประกอบอื่น ๆ ออกไปแล้วจึงมีเฉพาะสตาร์ชเท่านั้น ดังนั้นสัดส่วนของค่าพลังงานในการเกิดเจลาติในเซชันที่ต้องใช้ในสตาร์ช จึงมีค่าสูงกว่าในฟลาร์ว

3.4.5 เนื้อสัมผัสข้าวสุก

เนื้อสัมผัสของข้าวเปลี่ยนแปลงภายหลังการเก็บรักษา ($p<0.05$) จากภาพที่ 3.3A และ B แสดงลักษณะเนื้อสัมผัสของตัวอย่างข้าวสุกในด้านความแข็ง และการเกาะติดกันของเมล็ดข้าวสุกจากทั้ง 4 กลุ่มตัวอย่าง โดยข้าวสุกใหม่จะมีเนื้อสัมผัสที่นุ่มนิ่วเมื่อเทียบกับข้าวสุกจากที่ 4 กลุ่มตัวอย่าง โดยข้าวสุกใหม่จะมีเนื้อสัมผัสที่นุ่มนิ่วเมื่อเทียบกับข้าวสุกที่สูง เมื่อเปรียบเทียบกับตัวอย่างอื่น ($p<0.05$) ขณะที่ข้าวสุกเก่าจะมีเนื้อสัมผัสที่แข็ง และร่วนเมล็ดข้าวสุกเกาะติดกันได้ไม่ดี จากค่าความแข็งของเมล็ดข้าวสุกที่สูง และผลค่าการเกาะติดกันของเมล็ดข้าวสุกที่ดี ($p<0.05$) เมื่อเปรียบเทียบกับข้าวใหม่ ลักษณะเนื้อสัมผัสที่แตกต่างกันของข้าวเช่นนี้ เกี่ยวข้องกับการเปลี่ยนแปลงของสตาร์ช และองค์ประกอบอื่น เช่น ไขมัน โปรดีน นอกจากนี้ยังพบว่าการเก็บรักษาตัวอย่างที่อุณหภูมิต่ำเป็นระยะเวลานาน ไม่สามารถรักษาลักษณะเนื้อสัมผัสของข้าวสุกที่เตรียมจากข้าวแช่แข็งให้เหมือนกับข้าวใหม่ได้โดยมีค่าความแข็งที่สูงกว่า และค่าความเหนียวเกาะติดกันของเมล็ดข้าวสุกมีค่าต่ำกว่าข้าวสุกใหม่ โดยข้าวสุกที่เตรียมจากข้าวแช่แข็งจะมีค่าความนุ่มนิ่ว



ภาพที่ 3.3 คุณลักษณะเนื้อสัมผัสด้านความแข็ง (A) และความเหนียวขวัดของเม็ดข้าวสุก (B) ของข้าวสุกจาก 4 กลุ่มตัวอย่างทดลอง

และความเหนียวภาวะกันของเม็ดข้าวลดลง สอดคล้องกับผลการทดลองของ Chan-Eun, Yun-Sook, Kee-Jai และ Kim Bum-Keun (2012)ที่พบว่าข้าวญี่ปุ่นที่เก็บอุณหภูมิต่ำ คือ 4 และ 20 องศาเซลเซียส และอุณหภูมิสูง คือ 30 และ 40 เป็นเวลา 6 เดือน จะมีเนื้อสัมผัสที่แข็งขึ้นในทุกตัวอย่าง ออย่างไรก็ตามการเก็บข้าวที่อุณหภูมิต่ำจะมีการเปลี่ยนแปลงของค่าความแข็ง ในอัตราที่ต่ำกว่าการเก็บข้าวที่อุณหภูมิสูง โดยข้าวสุกจะมีความแข็งเพิ่มขึ้นเมื่อเก็บรักษาไว้เป็นเวลา 3 เดือน ในกรณีของข้าวเร่งเก่า มีค่าการเกะติดกันของเม็ดข้าวสุกที่ต่ำเมื่อนึ่งข้าวเก่า และมีค่าความแข็งต่ำ ($p<0.05$) เป็นลักษณะเนื้อสัมผัสข้าวสุกที่นุ่มแต่ไม่เหนียว เกิดจากการที่ผิวน้ำของเม็ดข้าวแตกหักจากผลของการร้อนสูงที่ใช้ในการเร่งความเก่าของข้าว แสดงว่าการให้ความร้อนสูงแก่ตัวอย่างข้าวใหม่เพื่อเร่งความเก่าในการทดลองนี้ ไม่สามารถทำให้ข้าวมีลักษณะเนื้อสัมผัสเหมือนกับข้าวเก่าได้ทั้งหมด โดยการลดลงของความแข็งที่เกิดขึ้นในข้าวเร่งนี้อาจเป็นผลจากความร้อนที่ให้กับตัวอย่างทำให้ผิวเม็ดข้าวเกิดรอยร้าวได้เป็นช่องทางให้ความร้อนและน้ำแพร่ผ่านเข้าไปในโครงสร้างของเม็ดข้าวได้มาก ทำให้เกิดลักษณะของเจลที่อ่อนนุ่ม

3.5 สรุปผลการทดลอง

ปริมาณความชื้นของข้าวเก่า ข้าวแซ่บเงี้ยง และข้าวเร่งเก่า มีค่าน้อยลง เนื่องจากการระเหยออกของน้ำในระหว่างการเก็บที่นานหรือเป็นผลจากการให้ความร้อนในข้าวเร่งเก่า ปริมาณไขมันที่สกัดได้จากข้าวเร่งมีน้อยเมื่อเทียบกับตัวอย่างอื่น ขณะที่ปริมาณโปรตีนและอะไนโอลสไมเปลี่ยนแปลงทั้ง 4 ตัวอย่าง นอกจากนี้สัมผัส คุณสมบัติการเกิดเพสท์ รวมทั้งคุณสมบัติทางความร้อน ของตัวอย่างข้าวทั้ง 3 กลุ่มแตกต่างกันจากข้าวใหม่อายุยังชัดเจน ข้าวสูกเก่าจะมีเนื้อสัมผัสที่แซ่บและร่วนมากกว่าตัวอย่างอื่น เม็ดสตาร์ชพองและแตกตัวน้อย ต้องใช้อุณหภูมิที่สูงในการเกิดเจลต์ในเชื้อ ค่าเนื้อสัมผัสในข้าวที่เก็บแซ่บเงี้ยง 1 ปี มีการเปลี่ยนแปลง คือมีความนุ่มและการเกาะติดกันของเม็ดข้าวมีค่าต่ำ การพองตัวของสตาร์ชลดลง ขณะที่อุณหภูมินการเกิดเจลต์ในเชื้อลดลง การใช้อุณหภูมิสูงเร่งความเก่าของข้าวทำให้การเกาะติดกันของเม็ดข้าวสูกมีค่าลดลงได้แต่ความแซ่บไม่เพิ่มขึ้น เม็ดสตาร์ชพองและแตกตัวได้น้อยมาก อุณหภูมินการเจลต์ในเชื้อนั้นสูง เช่นเดียวกับที่พบในข้าวเก่า ผลการตรวจสอบการเกิดเพสท์ของตัวอย่างหลังกำจัดโปรตีนพบว่าข้าวเก่า ข้าวแซ่บเงี้ยง และข้าวเร่ง มีค่า PT ที่สูงขึ้น ขณะที่ค่า PV และ BD ต่ำลง โดยภายนอกจากโปรตีนที่ขาดบางการพองตัวและเจลต์ในเชื้อนของสตาร์ชถูกกำจัดออกไป ทำให้ค่า PV และ BD เพิ่มขึ้น แต่ค่า SB ลดต่ำลงในบางตัวอย่าง ค่ากำลังการพองตัวของตัวอย่างทั้ง 4 เพิ่มขึ้น ขณะที่ปริมาณของแซ่บที่ละลายได้ในสตาร์ชทั้ง 4 มีค่าลดลง เช่นเดียวกับอุณหภูมินการเกิดเจลต์ในเชื้อนที่วัดด้วยเครื่อง DSC ของสตาร์ชทั้ง 4 ที่มีค่าลดลง เช่นกัน จากผลดังกล่าวมาแล้วนี้แสดงให้เห็นว่าการเปลี่ยนแปลง ทางเคมีภายใน การเกิดเพสท์ และคุณสมบัติทางความร้อน รวมทั้งเนื้อสัมผัสนี้เป็นผลสะท้อนมาจากโปรตีนที่มีในตัวอย่าง

3.6 รายการอ้างอิง

- จรศักดิ์ คงเกียรติขจร, เพลงพิณ ศิวพรรักษ์ และ ทรงศิลป์ พจน์ชนะชัย. (2547). การเปลี่ยนแปลงคุณสมบัติทางเคมีและเคมีภายในของข้าวขาวดอกมะลิสายพันธุ์ 105 ในระหว่างการเก็บรักษาที่อุณหภูมิต่างกัน. การสารวิจัยและพัฒนา มหาวิทยาลัยราชภัฏเชียงใหม่ 27 (กรกฎาคม-กันยายน): 285-297.
- นิตติญา รัตนานปนนท์, (2545). ปฏิวิธิยาการเกิดสีนำตาล ใน เคมีอาหาร. สำนักพิมพ์โอดีเยนส์โตร์, กรุงเทพฯ
- มหาวิทยาลัยมหาสารคาม (2554). การแซ่บเยื่อคั่วแซ่บเงี้ยงอาหาร[ออนไลน์]. ได้จาก: http://cyberclass.msu.ac.th/cyberclass-uploads/libs/document/chapter%208_fcfa.ppt
- Chrstil, J. (1990). Influence of storage on enzymes in rice grains. *Journal of Agricultural and Food Chemistry* 38: 1198-1202.

- Charstil, J. (1994). Effect of storage on the physicochemical properties and quality factors of rice. In, W.E. Marshall J.I. Wadsworth (eds.). **Rice science and technology** (pp. 49-81). New York: Marcel-Dekker.
- Chung, H.J., Lee, E.J. and Lim, S.T. (2002). **Carbohydrate Polymers** 48: 287-298.
- Chungcharoen, A. and Lund, D.B. (1987). Influence of solutes and water on rice starch gelatinization. **Cereal Chemistry**. 64 (4) : 240.
- Debet, M.R. and Gidley, M.J. (2006). Three classes of starch granule swelling: Influence of surface proteins and lipids. **Carbohydrate Polymers** 64: 452-465.
- Desikachar, H.S.R. and Subrahmanyam, V. (1959). Expansion of new and old rice during cooking. **Cereal Chemistry** 36: 385-391.
- Furukawa, S., Mizuma, T., Kiyokawa, Y., Masumara, T., Tanaka, K. and Wakai, Y. (2001). Distribution of storage proteins in low-glutelin rice seed determined using a fluorescent antibody, **Bioscience and Bioengineering** 96(5) : 476-473.
- Gujarl, H.G. and Kumar, V. (2003). Effect of accelerated aging on the physicochemical and textural properties of brown and milled rice. **Food Engineering**. 59: 117-121.
- Hogan, J.T. (1963). Rice research at southern laboratory. **Rice Journal** 66: 38-41.
- Iturriaga, L., Lopez, B. and Añon, M. (2004). Thermal and physicochemical characterization of seven argentine rice flour and starches. **Food Research International** 37: 439-447.
- Jaisut, D., Prachayawarakorn, S., Varanyanond, W., Tungtrakul, P. and Soponronnarit. (2008). Effects of drying temperature and tempering time on starch digestibility of brown fragrant rice. **Journal of Food Engineering** 86: 251-258.
- Juliano, B.O. (1985). Criteria and tests for rice grain qualities. **Rice Chemistry and Technology**, American Association of Cereal Chemists, St Paul, MN, U.S.A.: 443-524.
- Juliano, B.O. (1985). Polysaccd harides, proteins, and lipid of rice. **Rice Chemistry and technology**, St. Paul, MN: American Association of cereal Chemists: 59-174.
- Juliano, B.O. (1985). Criteria and tests for rice grain qualities. In B.O. Juliano, (ed.). **Rice Chemistry and Technology** (pp 492-497). St Paul, MN, USA: Ammerican Association of Cereal Chemists.
- Juliano, B.O. (1998). Varietal impact on rice quality. **Cereal Food World**. 43:207-222.
- Kim, S.K. and Cho, E.J. (1993). Effects of storage temperature on the physicochemical properties

- of rice milled rice. **Korean Agricultural Chemical Society** 36: 146-153.
- Kohlwey, J.H., Kendall, J.H. and Mohindra, R.B. (1995). Using the physical properties of rice as a guide to formulation. **Cereal Foods World** 40 (10) : 728-732.
- Lim, S.T., Chang, E.H. and Chung, H.J. (2001). Thermal transition characteristics of heat moisture treated corn and potato starches. **Carbohydrate Polymers** 46: 107-115.
- Martin, M., Fitzgerald, M.A. (2002). Proteins in rice grain influence cooking properties. **Cereal Science** 36: 285-294.
- Meullenet, J.F.C., Gross, J., Marks, B.P. and Daniels, M. (1998). Sensory descriptive texture analyses of cooked rice and its correlation to instrumental parameters using an extrusion cell. **Cereal chemistry** 75: 714-720.
- McDonough, C.M., Floyd, C.D., Waniska, R.D. and Rooney, L.W. (2004). Effect of accelerated aging on maize, sorghum and sorghum meal. **Cereal Science** 39: 351-361.
- Olayinka, O. O., Adebawale, K. O. and Olu-Owolabi, B. I. (2008). Effect of heat-moisture treatment on physicochemical properties of white sorghum starch. **Food Hydrocolloids** 22: 225-230.
- Park, C.E, Kim, Y.S., Park, K.J. and Kim, B.K. (2012). Changes in physicochemical characteristics of rice during storage at different temperatures. **Stored Products Research** 48: 25-29.
- Perdon, A.A., Marks, B.P., Siebenmorgen, T.J. and Reid, N.B. (1997). Effects of rough rice storage conditions on the amylograph and cooking properties of medium-grain rice cv. Bengal. **Cereal Chemistry** 74: 864-867.
- Perdon, A.A., Siebenmorgen, T.J., Buescher, R.W. and Gbur, E.E. (1999). Starch retrogradation and texture of cooked milled rice during storage. **Journal of Food Science**. 64: 828-832.
- Sander, J.P.M. (1996). Starch manufacturing in the world. **Advance Post Academic Course on Tapioca Starch Technology**, AIT Center, Bangkok, Thailand, 22-26 January and 19-23 February.
- Sea-Eaw, A., Chompreeda, P., Suwonsichon, T., Prinyawiwatkul, W. and Haruthaithanasan, V. (2007). Effect of storage time of jasmine rice on flour physicochemical properties and consumer acceptance of jasmine rice cakes. Proceeding of the 9 th Agro-Industrial Conference Food Innovation Asia 2007.14-15 June 2007. BITEC Bangkok Thailand

- Shin, M.G., Min, B.K., Kim, D.C. (1991). Changes in quality characteristics of brown rice during storage. **Journal of the Korean Society of Food and Nutrition** 20: 276-280.
- Siebenmorgen, T.J. (1998). Influence of postharvest processing on rice quality. **Cereal Food World**. 43:200-202.
- Singh, N., Kaur, L., Sandhu, K.S., Kaur, J. and Nishinari, K. (2006). Relationships between physicochemical, morphological, thermal, rheological properties of rice starches. **Food Hydrocolloids** 20: 532-542.
- Sirisoontaralak, P. and Noomhorm, A. (2006). Change in physicochemical and sensory-properties of irradiated rice during storage. **Journal of Stored Products Research** 43: 282-289.
- Sirisoontaralak, P. and Noomhorm, A. (2007). Changes in physicochemical and sensory-properties of irradiated rice during storage. **Journal of Stored Products Research** 43: 282-289.
- Sowbhagya, C.M., and Bhattacharya, K.R., (2001). Changes in pasting behavior of rice during ageing. **Cereal Science** 34: 115-124.
- Teo, C.H., Karim, A.A., Cheah, P.B., Norziah, M.H. and Seow, C.C. (2000). On the roles of protein and starch in the aging of non-waxy rice flour. **Food Chemistry** 69: 229-236.
- Tran, T.U., Suzuki, K., Okadome, H., Ikezake, H., Homma, S. and Ohtsubo, K. (2005). Detection of changes in taste of *japonica* and *indica* Storage using physicochemical analyses and a taste sensing system. **Journal of Agricultural and Food Chemistry** 53: 1108-1118.
- Unnevehr, L.J., Duff, B. and Juliano, B.O. (1992). **Consumer demand for rice grain quality.** International rice research institute, Manila, The Philippines, and International Development Research Center, Ottawa, Canada.
- Villareal, R.M., Resurreccion, A.P., Suzuki, L.B. and Juliano, B.O. (1976). Changes in physicochemical properties of rice during storage. **Starch/Starke** 28: 88-94.
- Wongpornchai, S., Dumri, K., Jongkaewwattana, S. and Siri, B. (2004). Effect of drying methods and storage time on the aroma and milling quality of rice (*Oryza sativa* L.) cv. Khao Dawk Mali105. **Food Chemistry** 87: 407-414.
- Zhang, G. and Hamaker, B.R. (2003). A three component interaction among starch, protein and free fatty acids revealed by pasting profiles. **Journal of Agricultural and Food Chemistry** 51: 2797-2800.

- Zhou, Robards, Helliwell and Blanchard (2002). Aging of stored rice: changes in chemical and physical attributes, **Journal of cereal science** 35: 65-78.
- Zhou, Z., Robards, K., Helliwell, S. and Blanchard, C. (2003). Effect of rice storage on pasting properties of rice flour. **Food Research International** 36: 625-634.
- Zhou, Z., Robards, K., Helliwell, S. and Blanchard, C. (2007). Effect of storage temperature on cooking behaviour of rice. **Food Chemistry** 105: 491-497.



บทที่ 4

คุณสมบัติทางเคมีของโปรตีนในข้าวภายหลังการเก็บรักษา

4.1 บทคัดย่อ

การศึกษาการเปลี่ยนแปลงคุณสมบัติทางเคมีของ โปรตีนจากข้าวพันธุ์ขาวดอกมะลิ 105 เก็บที่อุณหภูมิห้องเป็นเวลา 1 ปี เมื่อเทียบกับข้าวใหม่ พบร้าข้าวเก่ามีปริมาณโปรตีนที่สกัดได้ในสารละลายโซเดียมไฮดรอกไซด์เข้มข้น 10 มิลลิโมลาร์น้อย แต่จะเพิ่มขึ้นทั้ง 2 ตัวอย่างเมื่อใช้โซเดียมโอดีซิลซัลเฟต (SDS) ที่ร้อยละ 1 และ 5 ร่วมกับด่าง โดยความเข้มข้นของสารละลายด่างที่เหมาะสมในการสกัดโปรตีนอยู่ที่ 10 มิลลิโมลาร์ผสานกับ SDS ร้อยละ 1 จากผลการวิเคราะห์ด้วยเจลอะลีกโตริฟรีซีส (SDS-PAGE) พบร้าแอบนโปรตีนขนาดใหญ่ (HWM1 และ HMW2) และโปรตีนที่ลินของข้าวเก่าขึ้นกว่า และของแอบนโปรตีนแออลฟ้า และเบต้า-กลูติลินมากกว่าในตัวอย่างข้าวใหม่ เมื่อศึกษาในสภาวะที่มีเบต้าเมอร์แคปโตเอทานอล (BME) พบร้ารูปแบบและความเข้มของแอบนโปรตีนไม่แตกต่างกัน แต่ข้าวเก่ามีค่าปริมาณพื้นผิวไฮดร็อฟิบิก และปริมาณหน្សไคลซอลไฟลดิ่งมากกว่า ปริมาณโปรตีนที่ละลายได้มีค่าลดลงในข้าวทั้ง 2 ตัวอย่างภายหลังจากให้ความร้อน และการละลายได้ของโปรตีนจากข้าวเก่าสูญเสียค่าที่น้อยกว่าข้าวใหม่สูง การใช้โซเดียมไฮดรอกไซด์เข้มข้น 10 มิลลิโมลาร์ ร่วมกับ SDS ร้อยละ 1 เป็นสภาวะที่เหมาะสมสำหรับสกัดโปรตีนข้าวสูก และเมื่อเปรียบเทียบกับข้าวสารค่าปริมาณพื้นผิวไฮดร็อฟิบิกของข้าวสูญเสียสูงกว่า แสดงถึงการเปิดตัวของโปรตีนเพิ่มขึ้นหลังให้ความร้อน ผล SDS-PAGE ของโปรตีนข้าวสูกสกัดด้วยด่าง แสดงรูปแบบแอบนโปรตีนต่างจากก่อนให้ความร้อน โดยพบโปรตีนใหม่ขนาด 41 กิโลคาลตัน และโปรตีนข้าวสูกที่สกัดด้วยด่างเติม SDS ที่พบร้าแอบนโปรตีนที่เข้มกว่าแอบนอื่น และเมื่อศึกษาโปรตีนข้าวสูกในสภาวะที่มี BME และคงให้เห็นว่า โปรตีนที่ลินดังกล่าวเกิดจากหน่วยย่อยของแออลฟ้า และเบต้ากลูติลิน ที่เชื่อมด้วยพันธะไคลซอลไฟลด์ สอดคล้องกับการเพิ่มขึ้นของปริมาณหน្សไคลซอลไฟลด์ในโปรตีนข้าวสูก

4.2 บทนำ

โปรตีนที่มีอยู่ในขัญพืช ถือเป็นองค์ประกอบที่มีความสำคัญ เพราะเป็นแหล่งสารอาหารที่มีคุณภาพสูงสำหรับมนุษย์ และสัตว์กินพืช ดังนั้นทั้งชนิด การกระจายตัว คุณสมบัติเชิงหน้าที่ของโปรตีนลักษณะทางกายภาพ ลักษณะโครงสร้างของโปรตีนในเมล็ดขัญพืช จึงเป็นสิ่งที่ควรศึกษาให้เกิด

ความเข้าใจ เนื่องจากโปรตีนเหล่านี้มีผลต่อกุณสมบัติของเมล็ด รวมถึงคุณภาพสุดท้ายของผลิตภัณฑ์ ที่ประับจากเมล็ดธัญพืชด้วย โปรตีนในเมล็ดธัญพืชแบ่งออกเป็น 3 กลุ่ม ได้แก่ storage proteins, structural and metabolic proteins และ protection proteins ปกติแล้วปริมาณโปรตีนที่มีอยู่ในเมล็ด ธัญพืชนั้นมีค่าเท่ากับร้อยละ 10-15 ต่อน้ำหนักแห้ง โดยในกลุ่มของ storage protein อีกเป็นโปรตีน หลักเนื่องจากพบในปริมาณมาก และยังมีผลต่อกุณสมบัติสุดท้ายของเมล็ดธัญพืชเมื่อนำมาใช้ ประโยชน์ด้วย (Shewry and Halford, 2002a)

โปรตีนข้าว (rice proteins) จัดอยู่ในกลุ่มโปรตีนที่มีคุณภาพสูงเมื่อเปรียบเทียบกับธัญพืชอื่น ๆ เช่น ข้าวโพด ข้าวสาลี ด้วยเหตุนี้ผลิตภัณฑ์ที่ทำจากข้าว หรือมีส่วนผสมของข้าวจึงได้รับความนิยม เป็นอย่างมาก เพราะให้ประโยชน์แก่ร่างกายผู้บริโภค (health benefits) เนื่องจากอุดมไปด้วย สารอาหาร (nutritional) และกรดอะมิโนไอลเซิน ซึ่งเป็นกรดอะมิโนที่มีจำกัด (limiting amino acid) ที่มีมากถึง 3.8 กรัมต่อ 16 กรัม ในไตรเจน ซึ่งมากกว่าธัญพืชชนิดอื่น ๆ (Juliano, 1985) และยังไม่มี สารที่ทำให้เกิดอาการแพ้ (hypoallergenic) กับมนุษย์เหมือนกับโปรตีนที่ได้จากกลุ่มเมล็ดถั่ว (Eggum, Cabrera, and Juliano, 1992; Ficochi, Travaini, D'Auria, Banderali, Bernardo and Riva, 2003) โปรตีนในข้าวส่วนใหญ่จะกระจายตัวอยู่ในส่วนของเยื่อไนโตรสเปริเมร์ (endosperm) (Agboola, Ng and Milled, 2005; Ju, Hettiarachchy and Rath, 2001; Teo, Karim, Cheah, Norziah and Seow, 2000) โปรตีนในข้าวมีปริมาณร้อยละ 7.3 แม้จะมีปริมาณน้อยแต่เป็นโปรตีนส่วนที่ใช้ประโยชน์ได้ (net protein utilization) มากถึงร้อยละ 73.8 หากที่สุดเมื่อเปรียบเทียบกับโปรตีนในธัญพืชชนิดอื่น ๆ (โปรตีนส่วนที่ใช้ประโยชน์ได้ (net protein utilization) มีค่าร้อยละ 10.6 ในข้าวสาลี ร้อยละ 9.8 ในข้าวโพด ร้อยละ 11.0 ในข้าวบาร์เลย์ และ ร้อยละ 11.5 ในข้าวฟ่าง) (Bean and Nishita, 1985) ใน ปี 1924 Osborne ได้แบ่งชนิดของโปรตีนในเมล็ดพืชรวมถึงข้าว ออกเป็น 4 ชนิด ตามความสามารถ ในการสกัดและคุณสมบัติการละลาย คือ 1. โปรตีนที่ละลายในน้ำ (อัลบูมิน; albumin) 2. โปรตีน ที่ละลายในสารละลายเกลือเจือจาง (โกลบูลิน; globulin) 3. โปรตีนที่ละลายในสารละลายผสม ระหว่างน้ำกับแอลกอฮอล์ (โพโรลามิน; prolamin) และ 4. โปรตีนที่ละลายในกรดหรือด่างอ่อน (กลู ทีลิน; glutelin) ในเมล็ดธัญพืชส่วนใหญ่จะมีโพโรลามินเป็น storage protein ซึ่งแตกต่างจากเมล็ดข้าว ที่มีกลูทีลินเป็น storage protein (Shewry and Halford, 2002b) โดยมีอยู่ประมาณร้อยละ 80 ของ โปรตีนทั้งหมดในเมล็ด (Tecson, Esmama, Lontok and Juliano, 1971; Padhye and Salunkhe, 1979) โดยมีอัลบูมินที่ร้อยละ 1-5 โกลบูลินที่ร้อยละ 4-15 และ โพโรลามินที่ร้อยละ 2-8 ตามลำดับ เมื่อเทียบ ต่อบริมาณ โปรตีนทั้งหมดในเมล็ดข้าว (Cagampang, Cruz, Espiritu, Santiago and Juliano, 1966; Houston, Iwasaki, Mohammad and Chen, 1968) กลูทีลินเป็นโปรตีนขนาดใหญ่ที่ประกอบขึ้นจาก โปรตีนหน่วยย่อยขนาดเล็ก โดยส่วนหนึ่งของโพลิเมอร์โปรตีนยังประกอบด้วยกรดอะมิโนชนิด ไม่มีข้าว (hydrophobic) (Wen and Luthe, 1985) หน่วยย่อยขนาดเล็กเหล่านี้เชื่อมต่อกันได้โดยอาศัย

intra และ extra molecular disulfide bonds และแรงไฮโดรฟอฟบิก (hydrophobic interactions) (Utsumi, 1992) ทั้งนี้ Kqczkowski ได้รายงานไว้ในปี 2000 ว่าพันธะไดชัลไฟฟ์นี้จะเกิดขึ้นในช่วงที่ เมล็ดพืชมีการเจริญ โดยการออกซิเดชันของหมู่ชัลไฮดริล (sulphydryl groups) ที่บดตัวอยู่ภายใน หรือระหว่างสายโปรตีนเอง เกิดเป็นโปรตีนขนาดใหญ่ขึ้น (highmolecular weight complexes) โดย ในปี 2008 Oszvald, Tomoskozi, Larroqe, Keresztenyi, Tomas และ Bekes รายงานว่า ขนาดของสาย พอร์ลิเมอร์ และขนาดโมเลกุลของโปรตีนที่แตกต่างกัน มีผลทำให้คุณสมบัติเชิงหน้าที่ในฟลาร์วข้าว แต่ละพันธุ์แตกต่างกันได้ จากข้อมูลและผลวิจัยของกลุ่มนักวิจัยที่ผ่านมาพบว่า ปริมาณโปรตีนใน ข้าวรวมถึงพันธะไดชัลไฟฟ์ในโครงสร้างโปรตีนมีผลต่อความหนืด และเนื้อสัมผัสของข้าวอย่าง ชัดเจน โดยปริมาณโปรตีนที่ต่างกันมีผลต่อค่าเนื้อสัมผัสของข้าวสูง โดยข้าวที่มีโปรตีนอยู่น้อยจะ ให้เนื้อสัมผัสที่นุ่มกว่าข้าวที่มีโปรตีนปริมาณมาก (Lyon, Champagne, Windham, Barton, Webb, McClung, Moldenhauer, Linscombe, McKenzie and Kohlwey, 1999) ขณะที่การเติมเอนไซม์โปรตีอส เพื่อย่อยโปรตีน หรือการเติมไดไทโอดิตอล (DTT) ซึ่งเป็นสารในกลุ่มเรติคิวซิง เพื่อตัดพันธะไดชัลไฟฟ์ที่ใช้เชื่อมระหว่างโมเลกุลของโปรตีนนั้นมีผลต่อการลดลงของเส้นกราฟความหนืดของฟลาร์วข้าวอย่างชัดเจน (Martin and Fitzgerald, 2002) ทั้งนี้การเติม DTT ยังมีผลต่อการเพิ่มความนุ่ม และการเกาะติดกันของเม็ดข้าวสูกข้าวสูกได้ (Derycke , Veraverbeke, Vandeputte, De Man, Hoseny, and Delcour, 2005; Hamaker and Griffin, 1990) โดยโปรตีนที่นำจะมีส่วนสำคัญต่อ คุณสมบัติต่าง ๆ ในข้าวคือ กลูทิลิน หรือเรียกอีกชื่อว่า ออไรซิน (oryzenin) โดย Chrastil (1993) กล่าวว่า มีอนุภาคขนาดเล็ก (small particles) ที่ปกคลุมอยู่ที่ผิวน้ำของข้าวสูกนี้ มีผลต่อลักษณะ การเกาะกันข้าวสูก โดยอนุภาคขนาดเล็ก จะประกอบด้วย สองของค์ประกอบหลัก คือ สตาร์ช และกลูทิลิน

เมื่อโปรตีนมีผลต่อลักษณะของข้าวแล้ว การเปลี่ยนแปลงของโปรตีนในข้าวคือมีผลต่อ การเปลี่ยนแปลงคุณสมบัติต่าง ๆ ของข้าวด้วย เช่น กัน จากรายงานวิจัยของ Chrastil ในปี 1994 เกี่ยวกับ การเปลี่ยนแปลงของสตาร์ชและโปรตีน เปรียบเทียบกันระหว่างก่อนและหลังการเก็บรักษา พบร่วมกัน ขนาดโมเลกุลของสตาร์ช ปริมาณอะไรมอลส และค่าการเกาะติดกัน หรือความเหนียวแน่น (stickiness) ของเจลสตาร์ชข้าวพันธุ์ Lemont ไม่เปลี่ยนแปลงภายหลังการเก็บรักษา ต่างจากความ เหนียวของเจลกลูทิลิน และสารผสมระหว่างกลูทิลินกับสตาร์ชที่สกัดจากตัวอย่างข้าวเก่า ที่มีค่า ลดลง โดย Chrastil ได้ให้เหตุผลว่าการเปลี่ยนแปลงค่าการเกาะกันที่ลดลงสัมพันธ์กับขนาดโมเลกุล เนลี่ยของโปรตีน และพันธะไดชัลไฟฟ์ของโปรตีนกลูทิลินที่เพิ่มขึ้น ซึ่งสอดคล้องกับรายงานของ Ohno และ Ohisa ในปี 2005 ที่พบร่วมกันระหว่างการเก็บรักษาโปรตีนที่ผิวน้ำของเมล็ดข้าวซึ่ง ประกอบด้วยกรดอะมิโนที่มีหมู่ชัลไฮดริลจะเกิดการออกซิเดชันขึ้น ส่งผลต่อการเพิ่มขึ้นของพันธะไดชัลไฟฟ์ในโมเลกุลโปรตีน ทำให้โปรตีนขนาดเล็กสามารถเกาะกันได้ หรือเชื่อมกันจนมีขนาดใหญ่

เพิ่มขึ้น ทั้งนี้ในโโนเกลุด หรือสายพอร์ลิเมอร์ของโปรตีนที่อยู่ในเม็ดข้าวนั้นประกอบด้วยกรดอะมิโนหลายชนิด ซึ่งสามารถเกิดอันตรายร้าย หรือเร่งขึ้นของข้าวแล้ว การศึกษาเกี่ยวกับการเปลี่ยนแปลงของโปรตีนภายหลังการเก็บรักษาข้าวย้อมมีประโยชน์ เพื่อให้เกิดความรู้ความเข้าใจที่ถูกต้อง ถึงการเปลี่ยนแปลงของโปรตีนในด้านต่าง ๆ ที่ส่งผลต่อคุณภาพของข้าว โดยความรู้พื้นฐานที่ได้อ้างสามารถนำไปสู่วิธีการปรับปรุง หรือป้องกันการเสื่อมคุณภาพของข้าวภายหลังการเก็บได้ ทั้งนี้จาก การศึกษารายงานของกลุ่มนักวิจัยที่ผ่านมาล้วนแล้วแต่เน้นให้ความสนใจ และมุ่งศึกษาเบรียบเทียบ เนพาะความแตกต่างของตัวอย่างก่อน และหลังการเก็บรักษา ซึ่งเป็นตัวอย่างข้าวสารที่ซึ่งไม่ถูกให้ความร้อนหรือซึ่งไม่ผ่านขั้นตอนการหุงสุก โดยหากพิจารณาตามความเป็นจริงแล้ว คุณลักษณะต่าง ๆ ของข้าว เช่น เนื้อสัมผัสของข้าว คุณสมบัติของเจลที่ได้จากแป้งข้าวล้วนเป็นสิ่งที่เกิดขึ้นหลังให้ความร้อน ซึ่งเกี่ยวข้องโดยตรงกับสารตัวชี้ ซึ่งเป็นองค์ประกอบหลัก และโปรตีนด้วย ดังนั้น การศึกษาระดับนี้จึงมุ่งศึกษาถึงการเปลี่ยนแปลงลักษณะต่าง ๆ ของโปรตีนในข้าวที่เกิดขึ้นทั้งก่อน และหลังให้ความร้อน ทั้งนี้เพื่อให้สามารถเข้าใจ และสามารถอธิบายถึงการเปลี่ยนแปลงของโปรตีนที่มีต่อคุณลักษณะของข้าว และแป้งข้าวได้ชัดเจนขึ้น

4.3 วัสดุอุปกรณ์และวิธีดำเนินการวิจัย

4.3.1 วัสดุทดลอง

ข้าวเปลือกพันธุ์ข้าวocomal 105 ที่ซื้อจากศูนย์วิจัยข้าวอุบลราชธานี ตั้งอยู่ที่บ้านหนองขอน ต.เขื่องใน อ.เมือง จ.อุบลราชธานี โดยเป็นตัวอย่างข้าวที่เก็บเกี่ยวใหม่ปี 2551 และตัวอย่างข้าวเปลือกที่เก็บไว้ที่อุณหภูมิห้องเป็นเวลา 1 ปี

4.3.2 การสกัดโปรตีนในตัวอย่างแป้งข้าว

ดัดแปลงจากวิธีการของ Ohno และคณะ (2007) โดยชั่งตัวอย่างแป้งน้ำหนัก 250 มิลลิกรัม ใส่ในหลอดปั่นเหวี่ยงขนาด 50 มิลลิลิตร สารละลายโซเดียมไฮดรอกไซด์ เข้มข้น 10 มิลลิโมลาร์ ปริมาตร 5 มิลลิลิตร หรือสารละลายโซเดียมไฮดรอกไซด์เข้มข้น 10 มิลลิโมลาร์ ที่ประกอบด้วยโซเดียมโอดเดซิลซัลเฟต (SDS) เข้มข้นร้อยละ 1 หรือร้อยละ 5 ปริมาตร 5 มิลลิโมลาร์ ผสมให้เข้ากันด้วยเครื่องปั่นผสม (ยี่ห้อ IKA โมเดล MS1 ประเทศ สาธารณนาจักร) สกัดตัวอย่างโดยการเหย่าด้วยเครื่องเหย่าตัวอย่าง (ยี่ห้อ Heidolph โมเดล UNIMAX1010 ประเทศ เยอรมันนี) ทำการเหย่าที่อุณหภูมิห้อง ด้วยความเร็ว 240 รอบต่อนาที เป็นเวลา 4 ชั่วโมง เมื่อครบเวลานำไปปั่นเหวี่ยงด้วยเครื่องปั่นเหวี่ยง (ยี่ห้อ Thermo Scientific Heraeus Primo R โมเดล 75005441 ประเทศ สาธารณรัฐอเมริกา) ที่ความเร็วรอบ 10,000 xg เป็นเวลา 10 นาที ดูดสารละลายส่วนใสเก็บใส่หลอดไม้ไครเซ็นติฟิวส์

(microcentrifuge tube) ขนาด 1.5 มิลลิลิตร และเก็บตัวอย่างโปรตีนสกัดที่อุณหภูมิ 4 องศาเซลเซียส ส่วนตัวอย่างสารละลายโปรตีนที่สกัดด้วยสารละลายด่างที่มี SDS จะเก็บไว้ที่อุณหภูมิห้อง ก่อนนำไปวิเคราะห์โปรตีนต่อไป (ตัวอย่างที่นำไปวิเคราะห์เก็บไว้ไม่เกิน 24 ชั่วโมง)

4.3.3 การหาสภาวะเหมาะสมในการสกัดปรอตีนจากตัวอย่างข้าวสูตร

เมื่อผสมข้าวสุก กับตัวสกัดในข้อ 4.3.2 จะให้ลักษณะสารละลายที่ขึ้นหนึบ ยกในการสกัดโปรตีนออกมайдี จึงหาวิธีที่นำมาใช้ในการแก้ปัญหาความหนืดสูงของตัวอย่าง โดยการใช้เอนไซม์อะไมเลส (α -amylase procine pancreas, EC 3.2.1.1.) ย่อยสาขะไนโอลสและอะไนโอลเพคตินเพื่อให้ความหนืดลดลง (แสดงไว้ในภาคผนวก ก.) ก่อนจึงสกัดโปรตีนตามวิธีการปกติ โดยข้าวสุกที่ใช้สำหรับการทดลองนี้ เตรียมโดยวิธีเดียวกับการเตรียมตัวอย่างเพื่อวัดเนื้อสัมผัสข้าวสุกในบทที่ 3 ข้อ 3.3.9.3 จากนั้นนำข้าวที่หุงสุกที่เตรียมแล้วมาบดให้ละเอียดด้วยโกร่งบดตัวอย่าง จากนั้นซึ่งตัวอย่างข้าวสุกที่บดแล้ว 800 มิลลิกรัมใส่หลอดปั่นไฟวีงขนาด 50 มิลลิลิตร เติมน้ำกลั่น 3 มิลลิลิตรผสมให้เข้ากัน ตั้งหลอดใส่ตัวอย่างไว้ในอ่างน้ำควบคุมอุณหภูมิ (shaking water bath) ที่ 37 องศาเซลเซียสเป็นเวลา 15 นาที (เพื่อให้ตัวอย่างมีอุณหภูมิที่เหมาะสมสำหรับการทำงานของเอนไซม์) จากนั้นเติม เอนไซม์อะไมเลส เข้มข้นร้อยละ 0.05 ปริมาตร 1 มิลลิลิตร (เตรียมตามภาคผนวก ก. ข้อที่ 1) ลงไปและผสมกับตัวอย่างทันที เบย่าด้วยความเร็วรอบ 120 รอบต่อนาที ที่เวลาต่าง ๆ กันคือ 1, 2, 4, 6 และ 8 ชั่วโมง ตามลำดับ เมื่อครบเวลา นำหลอดปั่นไฟวีงแข็งในอ่างน้ำควบคุมอุณหภูมิที่อุณหภูมิ 99 ± 1 องศาเซลเซียส เป็นเวลา 5 นาที ปั่นไฟวีงตัวอย่างที่อุณหภูมิ 25 องศาเซลเซียส ความเร็วรอบ 10,000 xg เป็นเวลา 10 นาที เก็บสารละลายส่วนไขมาวิเคราะห์หาปริมาณน้ำตาลรีดิวชิง (ภาคผนวก ก. ข้อที่ 2) พิจารณาลือกเวลาหน้อยที่สุดที่ใช้ย่อยเจลเปลี่ยนได้ปริมาณน้ำตาลรีดิวชิงซึ่งคงที่ ใช้ในการสกัดตัวอย่างต่อไป

4.3.4 การสกัดโปรตีนจากตัวอย่างเจลข้าวสาลี

จากผลการหาเวลาที่เหมาะสมในการย่อยเจลตัวอย่างข้าวสุก ด้วยเอนไซม์อะไมเลส ตามข้อ 4.3.3 จะได้สภาวะที่เหมาะสมสำหรับใช้ในการย่อยตัวอย่างเจลแป้งข้าวสุก ด้วยเอนไซม์อะไมเลสเข้มข้นร้อยละ 0.04 บอยที่อุณหภูมิ 37 องศาเซลเซียสเป็นเวลา 1 ชั่วโมง จึงทำการสกัดโปรตีนข้าวสุก โดยใช้ปริมาณของตัวอย่าง และสารละลายน้ำตามตารางที่ 4.1 จากนั้นสกัดโปรตีนโดยเติมตัวสกัด ตามตารางที่ 4.2 จากนั้นนำหลอดตัวอย่างไปปั่นให้วายิ่งที่ความเร็ว 10,000 xg เป็นเวลา 10 นาที ดูดสารละลายน้ำใส่เก็บใส่หลอดไมโครเซ็นทริฟิวส์ขนาด 1.5 มิลลิลิตร เพื่อทำการวิเคราะห์ต่อไปโดยตัวอย่างที่มีการเติม SDS จะเก็บที่อุณหภูมิห้อง ส่วนตัวอย่างที่ไม่เติม SDS เก็บที่ 4 องศาเซลเซียส

ตารางที่ 4.1 การเติมเอนไซม์ในตัวอย่างข้าวสุก

Treatment samples	Cooked rice paste (mg)	Distilled water (ml)	Amylase (ml)	Digestion time (h)
Cooked rice paste + amylase + NaOH	800	3	1	1
Cooked rice paste + amylase + NaOH + 1%SDS	800	3	1	1
Cooked rice paste + amylase + NaOH + 5%SDS	800	2	1	1

ตารางที่ 4.2 การเติมสารละลายสำหรับสกัดโปรตีนในตัวอย่างสารละลายข้าวสุก

Treatment samples	1 M NaOH (μl)	20% SDS (ml)	H ₂ O (ml)	Extraction time (h)
Cooked rice + amylase + NaOH	50	-	0.950	4
Cooked rice + amylase + NaOH + 1%SDS	50	0.25	0.700	4
Cooked rice + amylase + NaOH + 5%SDS	50	1.25	0.700	4

4.3.5 การวิเคราะห์โปรตีนด้วยเทคนิค SDS-PAGE

ตามวิธีการของ Laemmli (1970) นำตัวอย่างสารสกัดโปรตีนที่ทราบความเข้มข้นแล้ว จากการวิเคราะห์ด้วยวิธีลาร์วี (lowry) (ภาคผนวก ก. ข้อที่ 3) นำมาพัฒนาตัวอย่าง ประกอบด้วยทรีส-ไฮโดรคลอริก (Tris-HCl) เข้มข้น 0.125 โมลาร์ (พีเอช 6.8) ที่มี SDS เข้มข้นร้อยละ 4 และกลีเซอรอล (glycerol) เข้มข้นร้อยละ 20 ในอัตราส่วนโปรตีนสกัดต่อบัฟเฟอร์ เท่ากับ 1 ต่อ 1 (กรณีของทรีตเมนต์บัฟเฟอร์ที่ผสมกับโปรตีนมีการเติมนีดี้-เมอร์แคปโตเทอทานอล (BME) เข้มข้นร้อยละ 10 จะต้องนำตัวอย่างไปให้ความร้อนที่ 100 องศาเซลเซียสเป็นเวลา 4 นาที เพื่อจะกันโปรตีนมาตรฐานก่อนนำไปโหลด) โดยปริมาณของสารสกัดโปรตีนใช้โหลดเท่ากับ 25 ไมโครกรัม โหลดโปรตีน

สักดิ์ที่ผสมกับทรีตเมนต์บัฟเฟอร์แล้วที่ค้านบนของแผ่นเจล ใช้ความเข้มข้นของอะคริลามีค์เจลรันนิ่ง (running gel) ที่ใช้มีค่าเท่ากับร้อยละ 12.5, 15, 10 หรือ 7.5 และเจลสแต็คกิ้ง (stacking gel) มีค่าเท่ากับร้อยละ 4 โดยให้กระแสไฟที่ความต่างศักย์เท่ากับ 120 โวลต์ ข้อมูลสีตัวอย่างด้วยสารละลายด้วยสีข้อม Comassie blue R-250 และถังสีข้อมด้วยสารละลายที่ประกอบด้วยอุทาโนอลเข้มข้นร้อยละ 10 และกรดอะซิติกเข้มข้นร้อยละ 10 และใช้ standard protein marker สำหรับเปรียบเทียบขนาดโมเลกุลโปรตีน (molecular weight)

4.3.6 การวิเคราะห์ปริมาณพื้นผิวไฮdroฟิลิกของโปรตีน (Surface hydrophobicity)

ตัดแปลงจากวิธีการของ Paraman, Hettiarachchy, Schaefer และ Beck (2007) และวิธีของ Kato and Nakai (1980) โดยสักดิ์โปรตีนฟลาร์วจากข้าวขาวคอกมะลิ 105 และโดยชั่งตัวอย่างฟลาร์ว 1000 มิลลิกรัมผสมกับสารที่ใช้สักดิ์โปรตีนซึ่งได้แก่สารละลายโซเดียมไฮดรอกไซด์ เข้มข้น 10 มิลลิโมลาร์ ปริมาตร 20 มิลลิลิตร ใส่ลงในหลอดปั่นเหวี่ยงขนาด 50 มิลลิลิตร นำไปเบี่ยงที่ 4 ชั่วโมง ที่ความเร็ว 240 รอบ ต่อนาที แล้วนำตัวอย่างที่ได้ไปปั่นเหวี่ยงด้วยความเร็วรอบ 10,000 xg ที่อุณหภูมิ 4 องศาเซลเซียส เป็นเวลา 10 นาที ถ่ายสารละลายส่วนใสใส่หลอดปั่นเหวี่ยงอันใหม่ ดูดสารละลายโปรตีนที่สักดิ์ได้ใส่หลอดทดลองขนาดเล็กให้ได้ปริมาตรเท่ากับ 0, 0.1, 0.15, 0.2, 0.25 และ 0.3 มิลลิลิตร ตามลำดับ จากนั้นเติมสารละลายคาร์บอนเนต ในการรับอนтенบัฟเฟอร์ ความเข้มข้น 50 มิลลิโมลาร์(พีเอช 10) ปริมาตร 2.0, 1.9, 1.85, 1.80, 1.75 และ 1.70 มิลลิลิตร ตามลำดับ ผสมให้เข้ากัน จากนั้นทำการเติมสารละลาย 1-anilino-8-naphlene sulfonate (ANS) เข้มข้น 8 มิลลิโมลาร์(พีเอช 7.0) ปริมาตร 10 ไมโครลิตร ในทุกหลอด ผสมให้เข้ากันภายในเวลา 5 วินาที ตั้งไว้ในที่มีเดือนเวลา 10 นาที นำไปวัดค่าการเรืองแสงของตัวอย่างด้วยเครื่องสเปกโทรฟลูออโรมิเตอร์ (RF-1501, Shimadzu Co., Kyoto, Japan) โดยกำหนดให้ค่า excitation เท่ากับ 390 นาโนเมตร และค่า emission เท่ากับ 470 นาโนเมตร เลือกวัดค่าตัวอย่างสารละลายในโหมดโลเซนซิทิวิตี้ (low sensitivity) โดยกำหนดความกว้างของสลิต (slit) อยู่ที่ 10 มิลลิเมตร การรายงานค่า surface hydrophobicity (S_0) ของตัวอย่าง ได้จากค่าความชัน (ϵ) ของกราฟความสัมพันธ์ระหว่างค่าความเข้มของการเรืองแสง (fluorescence intensity) (แกน y) ที่วัดได้ กับความเข้มข้นของโปรตีนในตัวอย่าง มิลลิกรัม/มิลลิลิตร (แกน x) (ที่ทราบได้โดยการวิเคราะห์ด้วยวิธี lowry) จากสมการ

$$A = \epsilon b c$$

เมื่อ A คือ ค่าความเข้มของการเรืองแสง (fluorescence intensity; FI)

b คือ path length มีค่าเท่ากับ 1

c คือ ความเข้มข้นของสารละลายโปรตีน
โดยในกรณีตัวอย่างที่เป็นฟลาร์ว

$$\text{Fluorescence Intensity (Net_FI)} = FI_{sample} - FI_{blank1}$$

ในกรณีตัวอย่างที่เป็นฟลาร์วข้าวสุก

$$\text{Fluorescence Intensity (Net_FI)} = FI_{sample} - FI_{blank1} - FI_{blank2}$$

เมื่อ FI_{sample} คือ ค่าการเรืองแสงที่วัดได้จากตัวอย่างที่เติม ANS
 FI_{blank1} คือค่าการเรืองแสงของสารละลายที่มีตัวอย่าง (blank 1)
 FI_{blank2} คือ ค่าการเรืองแสงของตัวอย่างที่ไม่เติม ANS (blank 2)

4.3.7 การวิเคราะห์ปริมาณหมู่ชัลไอกอริล (Total SH) และ พันธะไดชัลไฟด์ (SS)

4.3.7.1. การวิเคราะห์ปริมาณหมู่ชัลไอกอริลทั้งหมด (Total SH)

ปริมาณ Total SH วิเคราะห์ได้โดยอาศัยปฏิกิริยาระหว่าง Ellman's reagent (5,5'-dithiobis(2-nitrobenzoic acid) หรือ DTNB) กับกลุ่มไธโอล (thiol group; SH) ของโปรตีน ซึ่งคัดแปลงจากวิธีการของ Mine (1997) โดยนำตัวอย่าง โปรตีนสักด ปริมาตร 500 ไมโครลิตร ผสมกับสารละลายน้ำฟเฟอร์ที่ประกอบด้วยทริส-ไฮโดрокลอริก (Tris-HCl) เข้มข้น 0.5 มोลาร์ พีเอช 8.0 ที่มีเอดีทีคลีนิ่นไดอะมีโนเตตระอะซิติก (ethylenediaminetetraacetic acid; EDTA) เข้มข้น 10 มิลลิโมลาร์ และ ยูเรีย เข้มข้น 8 มोลาร์ (0.5 M Tris-HCl, 10 M EDTA, 8 M urea; pH 8) ปริมาตร 4.5 มิลลิลิตร ปีเปตสารละลายตัวอย่างที่ผสมน้ำฟเฟอร์แล้วปริมาตร 2 มิลลิลิตร ใส่หลอดทดลองขนาดเล็ก เติมสารละลายน DTNB เข้มข้นร้อยละ 0.1 ปริมาตร 0.2 มิลลิลิตร (DTNB เข้มข้นร้อยละ 0.1 ในโซเดียมไนเตรฟฟอฟ(NaH₂PO₄)เข้มข้น 50 มิลลิโมลาร์) นำไปปั่นในอ่างน้ำควบคุมอุณหภูมิที่ 40 องศาเซลเซียส เป็นเวลา 25 นาที เตรียมตัวอย่าง blank โดยใช้น้ำกลัน ปริมาตร 500 ไมโครลิตร ผสมกับสารละลายน้ำฟเฟอร์ 4.5 มิลลิลิตร แทนสารละลายโปรตีนสักด คุณสารละลายผสมของ blank ที่เตรียมได้ปริมาตร 2 มิลลิลิตร เติมสารละลายน DTNB เข้มข้นร้อยละ 0.1 ปริมาตร 0.2 มิลลิลิตร วัดค่าการคุณลักษณะแสงที่ 412 นาโนเมตร ด้วยเครื่องยูวี วิสซิเบล สเปกโทรไฟโตมิเตอร์ (UV-Visible Spectrophotometer) โดยทำการวิเคราะห์ 3 ชั้น ปริมาณ total SH คำนวณได้โดยอาศัยค่าสัมประสิทธิ์การคุณลักษณะแสง (extinction coefficient) เท่ากับ 13600M⁻¹cm⁻¹ คำนวณจากการสมการ

$$\mu\text{mol SH/g} = 73.53A_{412} (\text{D/C})$$

- เมื่อ A_{412} คือ ค่าการดูดกลืนแสงที่ 412 นาโนเมตร
 C คือ ความเข้มข้นของตัวอย่างในหน่วย มิลลิกรัมต่อมิลลิลิตร
 D คือ dilution factor ซึ่งเท่ากับ 10

4.3.7.2. การวิเคราะห์ปริมาณหมู่เซลล์ และหมู่ไดชัลไฟฟ์ (Total SH + SS)

การวัดปริมาณของ Total SH+SS ตามวิธีการของ Thannhauser และคณะ (1984) โดยอาศัยการทำปฏิกิริยาของ 2-ไนโตร-5-โซโลฟีเบ็นโซเอท (2-nitro-5-thiosulfobenzoate ; NTSB) กับสารละลายโปรตีน ในสภาวะที่มีหมู่เซลล์ไฟฟ์ (SO_3^-) โดยนำสารละลายโปรตีนที่สกัดได้ปริมาตร 500 ไมโครลิตร (ที่ทราบความเข้มข้นโดยวิธี lowry) ผสมกับสารละลายทริสโซไดรคลอริก บีฟเฟอร์ เข้มข้น 0.5 มิลลิตร ปริมาตร 4.5 มิลลิเมตร (พีเอช 9.5) ที่ประกอบด้วย ยูเรียเข้มข้น 8 มิลลาร์ EDTA เข้มข้น 10 มิลลิโมลาร์ และ โซเดียมเซลล์ไฟฟ์ (Na_2SO_3) เข้มข้น 100 มิลลิโมลาร์ (8 M Urea 10 mM EDTA 100 mM Na_2SO_3 pH 9.5) ดูดสารละลายผสมปริมาตร 2 มิลลิลิตร ใส่ในหลอดทดลองขนาดเล็ก เดิม NTSB ปริมาตร 0.02 มิลลิลิตร ผสมให้เข้ากันอย่างรวดเร็ว นำไปบ่มในอ่างน้ำควบคุมอุณหภูมิที่ 40 องศาเซลเซียสเป็นเวลา 25 นาที เตรียมตัวอย่าง blank โดยใช้น้ำก้นปริมาตร 500 ไมโครลิตรแทนโปรตีนสกัด วัดค่าการดูดกลืนแสงที่ 412 นาโนเมตร ทำการวิเคราะห์ 3 ชี้ คำนวณค่า Total SH + SS ด้วยวิธีการในข้อ 4.3.7 ข้อย่อยที่ 1 ส่วนพันธะไดชัลไฟฟ์ คำนวณโดยนำค่า Total SH ไปหักลบจากค่า Total SH + SS

4.3.8 การวิเคราะห์ทางสถิติ

วางแผนการทดลองแบบสุ่มสมบูรณ์ (Completely randomized design: CRD) วิเคราะห์ความแปรปรวนของข้อมูลด้วยการวิเคราะห์ว่าเรียนซ์ (Analysis of Variance: ANOVA) เปรียบเทียบความแตกต่างของค่าเฉลี่ยด้วยวิธี Duncan's New Multiple Range Test (DMRT) โดยใช้โปรแกรม SPSS เวอร์ชัน 14.0

4.4 ผลการทดลองและการวิจารณ์

4.4.1 ปริมาณโปรตีนที่ละลายได้จากฟลาร์ว

ปริมาณโปรตีนที่สกัดได้จากฟลาร์ว 2 ชนิด คือ ฟลาร์วข้าวใหม่ (FRP) และ ฟลาร์วข้าวเก่า (ARP) ในสารละลายค่างที่ความเข้มข้น 10 มิลลิโมลาร์ (ร้อยละ 0.04) ซึ่งเป็นระดับที่ต่ำและไม่ทำให้โครงสร้างของสตาร์ชมีการเปลี่ยนแปลงตามการรายงานของ Cardoso, Putaux, Samois และ

Silveira ในปี 2007 ที่ว่าการใช้สารละลายด่างที่เข้มข้นต่ำกว่า ร้อยละ 0.24 ในการสกัดโปรตีนไม่มีผลต่อการเปลี่ยนแปลงและการจัดเรียงโครงสร้างภายในโมเลกุลของสาร์จากตารางที่ 4.3 พบว่า โปรตีนในข้าวเก่าละลายออกมากในปริมาณที่ต่ำกว่าข้าวใหม่ ($p<0.05$) โดยปริมาณโปรตีนที่สกัดได้จากข้าวเก่าเท่ากับ 30 มิลลิกรัมต่อกรัมตัวอย่าง

ตารางที่ 4.3 ปริมาณโปรตีนที่สกัดได้จากฟลาร์วข้าวขาวดอกมะลิ 105 ใหม่ และเก่า

Extract solution	Alkaline extractable protein (mg/g sample)	
	FRP	ARP
10 mM NaOH	66±2.4Ab	30±2.6Aa
10 mM NaOH + 1% SDS	86±3.8Bb	69±6.1Ca
10 mM NaOH + 5% SDS	81±2.0Bb	54±6.1Ba

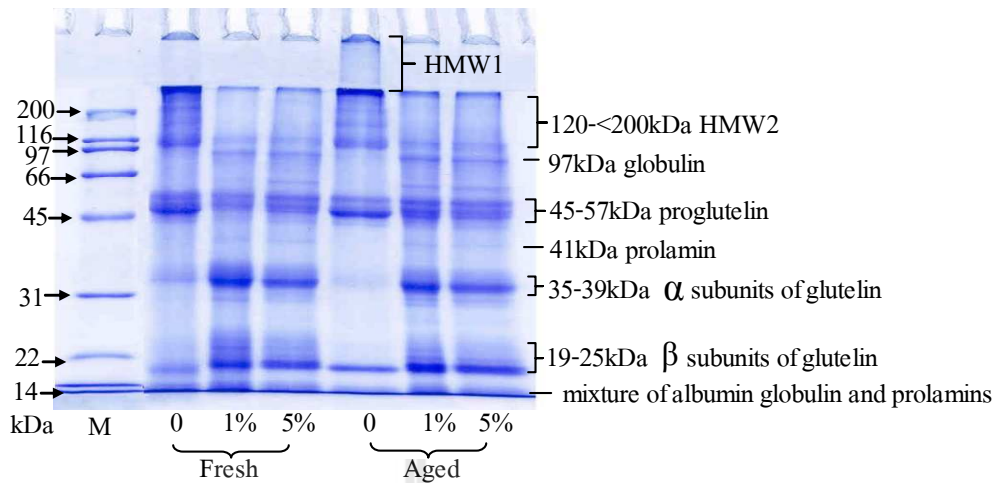
ตัวอักษรพิมพ์ใหญ่ที่ต่างกันตามแนวตั้ง หมายถึงมีความแตกต่างกันอย่างมีนัยสำคัญทางสถิติ ($p\leq 0.05$)
ตัวอักษรพิมพ์เล็กที่ต่างกันตามแนวโน้ม หมายถึงมีความแตกต่างกันอย่างมีนัยสำคัญทางสถิติ ($p\leq 0.05$)
โปรตีนสกัดจาก ฟลาร์วข้าวใหม่; FRP, โปรตีนสกัดจากฟลาร์วข้าวเก่า; ARP

ขณะที่ตัวอย่างข้าวใหม่สกัดโปรตีนได้เท่ากับ 66 มิลลิกรัมต่อกรัมตัวอย่าง สอดคล้องกับผลการทดลองของ Likitwattanasade และ Hongsprabhas ในปี 2010 ที่พบว่าปริมาณโปรตีนที่สกัดได้จากข้าวเก่าที่ผ่านการเร่งที่ 60 องศาเซลเซียส เป็นเวลา 5 วันมีค่าลดลง ซึ่งน่าจะเกิดจากอันตรกิริยาระหว่างโปรตีนกับโปรตีน หรือระหว่างโปรตีนและสาร์ชีนเมล็ดข้าว โปรตีนจะสูญเสียสภาพธรรมชาติและเปิดตัวเพิ่มขึ้นอันเป็นผลจากเปลี่ยนแปลงทางเหอร์โมโน่ในน้ำมิกของโปรตีนเอง ที่เกิดขึ้นภายหลังการเก็บโปรตีนดังกล่าวจะเกิดตัวกันเป็นพอลิเมอร์ขนาดใหญ่ (high molecular weight proteins) เพิ่มขึ้น จาก inter และ intra molecular disulfide bonds รวมทั้ง hydrophobic interaction ของกลูติลินเองที่เพิ่มขึ้น มีผลทำให้ความสามารถในการละลายของโปรตีนมีค่าลดลง (Tecson, Esmama, Lontok, และ Juliano, 1970) ส่วนการใช้ SDS เท็มขั้นร้อยละ 1 และ 5 มีผลทำให้โปรตีนละลายออกมากเพิ่มขึ้น ($p<0.05$) ทั้งในข้าวเก่าและใหม่ เพราะ SDS มีผลทำลายแรงไ索โดยไฟบิกของโปรตีน โดยเกิดการจับกันระหว่างส่วนหัวที่เป็นหมู่โดเดชีล ของ SDS กับกรดอะมิโนไฮโดรไฟบิกของโปรตีน แล้วหันกลุ่มชุดเฟตที่มีประจุลบออกมานด้านนอกเกิดลักษณะของไมเซลล์ที่จับกันน้ำได้ดีมีผลทำให้โปรตีนละลายออกมากเพิ่มขึ้นได้ในทุกตัวอย่าง ดังนั้น ปริมาณโปรตีนที่สกัดได้เพิ่มขึ้นจึงน่าจะเป็นผลรวมกันระหว่างสารสองชนิด คือ ค่าง และ SDS ซึ่งสอดคล้องกับผลการวิจัยของ Juliano และ Boulter ในปี 1976 ที่รายงานว่าการสกัดโปรตีน

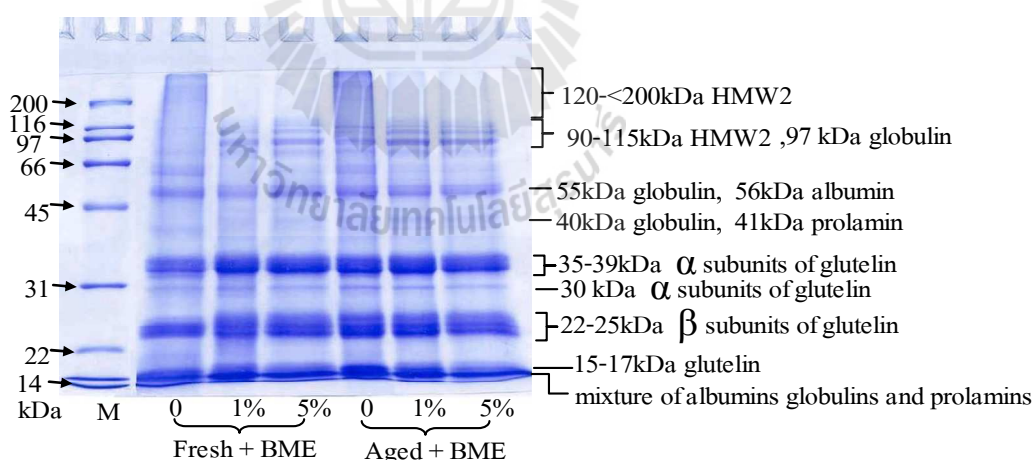
โดยใช้สารละลายโซเดียมไฮดรอกไซด์เข้มข้น 0.1 มิลลาร์ ที่ประกอบด้วย SDS ร้อยละ 0.5 และ BME เข้มข้นร้อยละ 0.6 ทำให้ปริมาณโปรตีนที่สกัดออกมามีค่าสูงถึงร้อยละ 94-98 นอกจากนี้ยังมีการรายงานถึงผลการใช้อ่อนไชม์โปรตีนส สำหรับใช้ในการสกัดโปรตีนทำให้ผลการสกัดโปรตีนในฟลาร์วข้าวนั้นมีปริมาณเพิ่มขึ้น ได้เช่นกัน เนื่องจากอ่อนไชม์มีความจำเพาะเจาะจงในการย่อยโปรตีน ทำให้โปรตีนที่อยู่ในส่วนของฟลาร์วละลายออกมากขึ้น โดยข้อดีของการใช้อ่อนไชม์คือระดับความเข้มข้นของอ่อนไชม์ไม่มีผลต่อการเปลี่ยนแปลงโครงสร้างของเม็ดสตาร์ชเลย (Lugay and Juliano, 1965) แม้การใช้ SDS ใน การสกัดจะเพิ่มปริมาณโปรตีนได้ก็ตาม แต่โปรตีนที่ละลายได้ในข้าวเก่าก็ยังคงมีน้อยกว่าโปรตีนข้าวใหม่อยู่ ทั้งนี้อาจเนื่องมาจากการสกัดของโปรตีนซึ่งมีอยู่ในโครงสร้างของเม็ดข้าวในส่วนของเย็น โอดสเปริม และภาวะเชื่อมอยู่กับผิวด้านนอกของเม็ดสตาร์ชอย่างหนาแน่น จึงยากที่จะสกัดต่อการสกัดออกมานา (Tanaka, Sugimoto, Ogawa and Kasai, 1980) ทั้งนี้การสกัดด้วยสารละลายโซเดียมไฮดรอกไซด์เข้มข้น 10 มิลลิมิลาร์ร่วมกับ SDS เข้มข้น ร้อยละ 1 สามารถเพิ่มการละลายของโปรตีนได้ทั้ง 2 ตัวอย่าง ($p < 0.05$) จึงเป็นความเข้มข้นที่เหมาะสมในการสกัดโปรตีนข้าวสาร เมื่อเปรียบเทียบกับที่ไม่มี SDS หรือใช้ SDS ร้อยละ 5

4.4.2 ขนาดโมเลกุลของโปรตีนด้วยอิเล็กโทรโฟเรซ (SDS-PAGE)

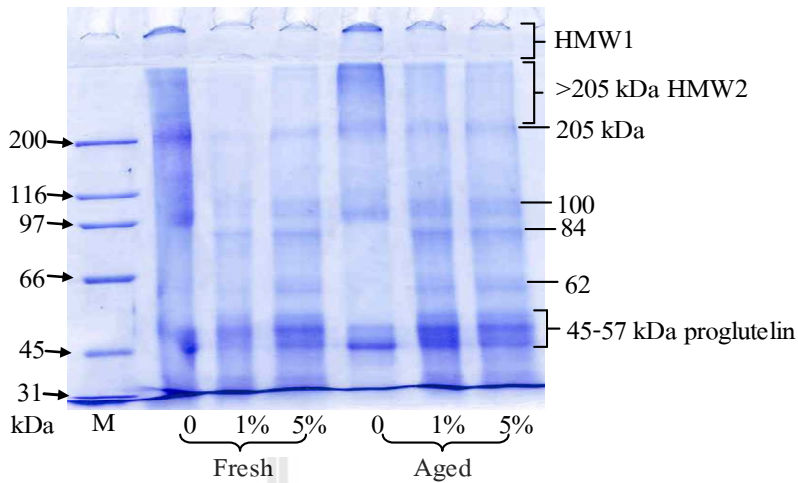
จากการศึกษาขนาดของโปรตีนที่สกัดได้จากข้าวพันธุ์ข้าวคอกมะลิ 105 เปรียบเทียบก่อนและหลังการเก็บรักษาในสภาวะที่ไม่มีการเติมเบต้า-เมอร์แคปโทเอทานอล ด้วย SDS-PAGE แสดงดังภาพที่ 4.1 พบว่าโปรตีนที่สกัดได้ในฟลาร์วข้าวหอมมะลิ 105 ประกอบด้วยโปรตีนขนาดโมเลกุลต่าง ๆ กัน ตั้งแต่เล็กไปใหญ่ คือ 19-25, 35-39, 41, 45-57, กลุ่มที่มีเล็กกว่า 14.4 กิโลดالتัน(ปรากฏอยู่ด้านล่างแผ่นเจล) และ กลุ่มโมเลกุลขนาดใหญ่ (HMW2) ที่บริเวณเจลรันนิ่งตั้งแต่ 120 ถึง <200 กิโลดالتัน และ โปรตีนขนาดใหญ่บริเวณเจลสแตกกิง (HMW1) จากผลการวิจัยก่อนหน้าของ Juliano และ Boulter (1976) และ Takeda, Namba และ Nunokawa (1970) พบ โปรตีนกลูติลินในข้าวมีขนาดโมเลกุลตั้งแต่ 100 ไปจนถึงมากกว่า 1,000 กิโลดالتัน Sugimoto, Kunisuke และ Kasai (1991) ซึ่งศึกษาพบว่า โปรตีนกลูติลินในข้าวพันธุ์ Koshihikari จะประกอบด้วย 3 กลุ่มหลัก ๆ มีขนาดโมเลกุลเท่ากับ 64, 130 กิโลดالتัน และมากกว่า 130 กิโลดالتันขึ้นไป ในปี 2006 Paraman, Hettiarachchy, Schaefer, และ Beck รายงานว่าพบແสนโปรตีน 6 แบบหลัก ที่มีขนาดโมเลกุลอยู่ในช่วง 70-97 กิโลดالتัน คือ 97, 45, 33, 21, 14 และ 7 ตามลำดับ โดยโปรตีนขนาด 33 กิโลดالتัน เป็นແสนโปรตีนที่มีความเข้ม (intensity) สูงสุด แสดงว่า ขนาดของโปรตีนในข้าวแต่ละพันธุ์จะมีความแตกต่างกันแล้ว (Yang, Shem, Huang, He and Wu, 2005; Kusama, Yangi and Iwamoto, 1984; Zhan and Lin, 1991) รูปแบบโปรตีนในข้าวหอมมะลิ 105 ที่วิเคราะห์ได้นี้ มีพื้นที่ขนาดใกล้เคียง และแตกต่างจากข้าวพันธุ์อื่น ๆ ด้วย โดยมีกลูติลินเป็นແสนหลัก 3 แบบ คือ เบต้า-กลูติลิน,



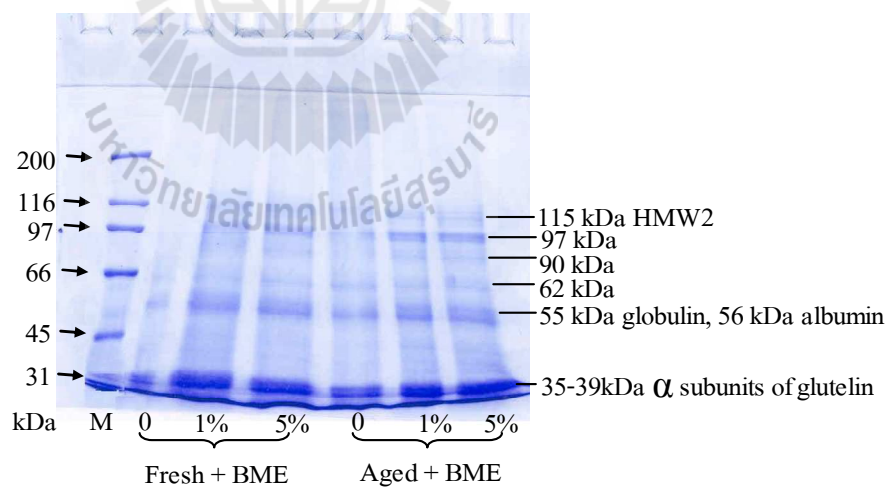
ภาพที่ 4.1 ผลการแยกขนาดโปรตีนด้วยวิธี SDS-PAGE ของสารละลายน้ำจากข้าวขาวดอกมะลิ 105 ใหม่ (Fresh) และเก่า (Aged) สกัดด้วยสารละลายน้ำ NaOH เข้มข้น 10 มิลลิโนมาร์ที่ ประกอบด้วยสารละลายน้ำ SDS เข้มข้นร้อยละ 0, 1 และ 5 ตามลำดับ ภายใต้สภาวะที่ไม่มีเบต้า-เมอร์เคปโตเออทานอล (BME) และปริมาณอะคริลามีดร้อยละ 12.5 โดยแถบ M (lane M) แสดงโปรตีนมาตรฐาน



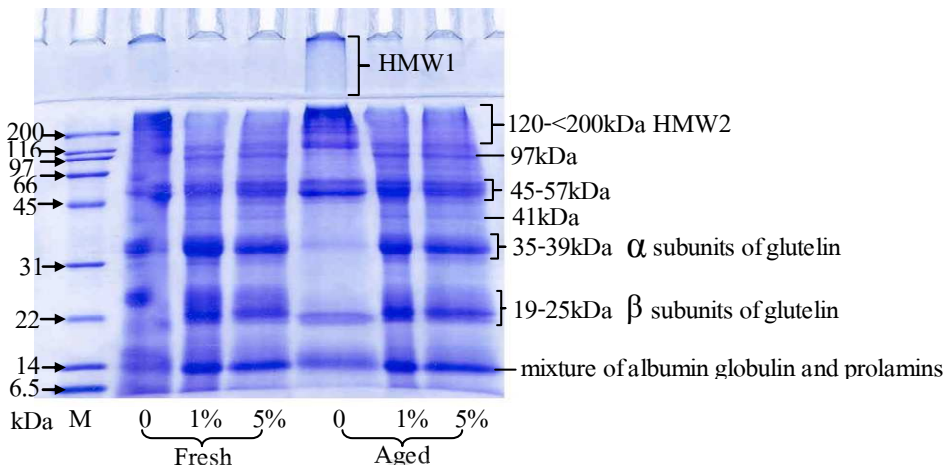
ภาพที่ 4.2 ผลการแยกขนาดโปรตีนด้วยวิธี SDS-PAGE ของสารละลายน้ำจากข้าวขาวดอกมะลิ 105 ใหม่ (Fresh) และเก่า (Aged) สกัดด้วยสารละลายน้ำ NaOH เข้มข้น 10 มิลลิโนมาร์ที่ ประกอบด้วยสารละลายน้ำ SDS เข้มข้นร้อยละ 0, 1 และ 5 ตามลำดับ ภายใต้สภาวะที่มีเบต้า-เมอร์เคปโตเออทานอล (BME) และปริมาณอะคริลามีดร้อยละ 12.5 โดยแถบ M (lane M) แสดงโปรตีนมาตรฐาน



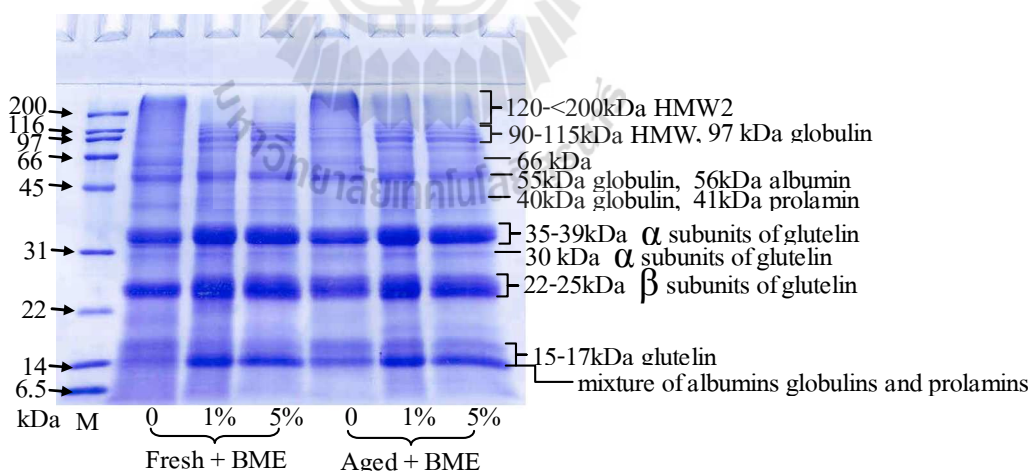
ภาพที่ 4.3 ผลการแยกขนาดโปรตีนด้วยวิธี SDS-PAGE ของสารละลายน้ำจากข้าวขาวคอกมະลิ 105 ใหม่ (Fresh) และเก่า (Aged) สกัดด้วยสารละลายน้ำโซเดียมไฮดรอกไซด์ (NaOH) เข้มข้น 10 มิลลิโมลาร์ที่ประกอบด้วยสารละลายน้ำซัลฟิด (SDS) เข้มข้น ร้อยละ 0, 1 และ 5 ตามลำดับ ภายใต้สภาวะไม่มีเบต้า-เมอร์เคปโตเอทธานอล (BME) และปริมาณอะคริลามีดีร้อยละ 7.5 โดยแถบ M (lane M) แสดงโปรตีนมาตรฐาน



ภาพที่ 4.4 ผลการแยกขนาดโปรตีนด้วยวิธี SDS-PAGE ของสารละลายน้ำจากข้าวขาวคอกมະลิ 105 ใหม่ (Fresh) และเก่า (Aged) สกัดด้วยสารละลายน้ำโซเดียมไฮดรอกไซด์ (NaOH) เข้มข้น 10 มิลลิโมลาร์ที่ประกอบด้วยสารละลายน้ำซัลฟิด (SDS) เข้มข้น ร้อยละ 0, 1 และ 5 ตามลำดับ ภายใต้สภาวะที่มีเบต้า-เมอร์เคปโตเอทธานอล (BME) และปริมาณอะคริลามีดีร้อยละ 7.5 โดยแถบ M (lane M) แสดงโปรตีนมาตรฐาน



ภาพที่ 4.5 ผลการแยกขนาดโปรตีนด้วยวิธี SDS-PAGE ของสารละลายน้ำมันจากข้าวขาวคอกมะลิ 105 ใหม่ (Fresh) และเก่า (Aged) สกัดด้วยสารละลายน้ำ NaOH เข้มข้น 10 มิลลิโมลาร์ ที่ประกอบด้วยสารละลายน้ำ SDS เข้มข้น ร้อยละ 0, 1 และ 5 ตามลำดับ ภายใต้สภาวะไม่มีเบต้า-เมอร์แคปโตเทอทานอล (BME) และปริมาณอะคริลิกาไมคร็อฟฟ์ร้อยละ 15 โดย แคน M (lane M) แสดงโปรตีนมาตรฐาน



ภาพที่ 4.6 ผลการแยกขนาดโปรตีนด้วยวิธี SDS-PAGE ของสารละลายน้ำมันจากข้าวขาวคอกมะลิ 105 ใหม่ (Fresh) และเก่า (Aged) สกัดด้วยสารละลายน้ำ NaOH เข้มข้น 10 มิลลิโมลาร์ ที่ประกอบด้วยสารละลายน้ำ SDS เข้มข้น ร้อยละ 0, 1 และ 5 ตามลำดับ ภายใต้สภาวะที่มีเบต้า-เมอร์แคปโตಥานอล (BME) และปริมาณอะคริลามีดร้อยละ 15 โดยแถบ M (lane M) แสดงโปรตีนมาตรฐาน

แอลฟ่า-กูลติลิน และ โปรกลูติลิน (proglutelin) ที่เกิดจากการรวมกลุ่มกันของหน่วยย่อยทั้งสอง มีขนาดเท่ากับ 57 กิโลดالتัน ขณะที่โปรตีนอีก 3 ชนิด ได้แก่ โกลบูลิน โพรามิน และอัลบูมิน ซึ่งมีอยู่ในข้าวจะพบได้ เช่นกันแต่มีปริมาณที่น้อย โดยหน่วยย่อยเบต้า-กูลติลิน แอลฟ่า-กูลติลิน และ โปรกลูติลินที่พบในการทดลองนี้ จะมีขนาดโมเลกุลเท่ากับ 19-25, 35-39 และ 45-57 กิโลดالتัน ตามลำดับ ใกล้เคียงกับการรายงานของ Yamagata และ Tanaka (1982) ที่ว่าในโปรตีนกลูติลินที่สักด้วยค่าบวก จะประกอบไปด้วย 2 กลุ่มหลัก คือ หน่วยย่อยที่เป็นกรด (acidic subunits) มีขนาดโมเลกุลเท่ากับ 37-39 กิโลดالتัน หน่วยย่อยเบส (basic subunits) มีขนาดโมเลกุลเท่ากับ 22-23 กิโลดالتัน

นอกจากนี้ขนาดโมเลกุลของโปรตีนยังมีการเปลี่ยนแปลงไป ภายหลังจากเก็บรักษาข้าว เป็นเวลา 1 ปี ดังแสดงในภาพที่ 4.1 ความเข้มของแคนบ์โปรตีนจากข้าวเก่า (aged0) ต่างจากโปรตีน ข้าวใหม่ (fresh0) ที่สักด้วยสารละลายด่างไม่เคมี SDS แคนบ์โปรตีนขนาดใหญ่ในข้าวเก่ามีความเข้มมากกว่า บ่งชี้ได้ว่าภายหลังการเก็บรักษาโปรตีนขนาดเล็ก มีการรวมกลุ่มกันเป็นโปรตีนใหญ่ เพิ่มขึ้น ผลที่เกิดขึ้นสอดคล้องกับงานวิจัยของ Chrastil และ Zarins (1992) รายงานว่า โปรตีนกลูติลิน ขนาดเล็ก (low molecular weight peptide subunit) ที่สักด้วยสารละลายด่างไม่เคมี SDS แคนบ์โปรตีนขนาดใหญ่ (high molecular weight) มีปริมาณเพิ่มขึ้น เช่นเดียวกับผลจากการวิจัยของ Ohno, Tomatsu, Toeda และ Ohisa (2007) ที่พนการลดลงของกลุ่มโปรตีนขนาดเล็ก (21 และ 32 กิโลดالتัน) และมีค่าเพิ่มขึ้นของโปรตีนขนาดใหญ่ (48, 99 และ 170 กิโลดالتัน) ในข้าวเก่าพันธุ์อาคิตะ โโคมาจิ (Akitakomachi) ซึ่งจากผลของ SDS-PAGE (ภาพที่ 4.1) สามารถอธิบายได้ว่ามีการเปลี่ยนแปลงของโปรตีนเกิดขึ้นในระหว่างการเก็บรักษาข้าว เช่นกัน โดยโปรตีนขนาดเล็กสามารถเกะกะกลุ่ม (aggregate) หรือเชื่อมต่อกันระหว่างโมเลกุลของโปรตีนมากขึ้น ซึ่งทำให้เกิดกลุ่มโปรตีนที่มีโมเลกุลขนาดใหญ่เพิ่มมากขึ้น และจากผลของปริมาณโปรตีนจากฟลาร์วข้าวเก่าที่สักด้วยสารละลายด่างเข้มข้น 10 มิลลิโนลาร์ที่มีค่าน้อย เมื่อเทียบกับปริมาณโปรตีนที่ได้จากฟลาร์วข้าวใหม่ (ตารางที่ 4.3) แสดงให้เห็นว่าในข้าวเก่ายังมีโปรตีนบางส่วนที่ยังติดค้างอยู่กับส่วนของเม็ดสารารչ ซึ่งอาจอยู่ได้ทั้งบริเวณผิวหรือภายในเม็ดสารารചโดยที่ยังรวมอยู่ในส่วนของตะกอนเป็นไม่หลุดออกมายังขั้นตอนการปั่นเหวี่ยงแยกโปรตีน ซึ่งอาจจะน่าจะเป็นโปรตีนที่มีการเชื่อมหรือเกาะเกี่ยวอย่างแน่นหนาอยู่ทั่วบริเวณพื้นผิวหรือสายโพลิเมอร์ของสารารച ซึ่งข้อสันนิษฐานนี้สอดคล้องกับการรายงานของ Cagampang, Cruz, and Espiritu (1996), Mitsuda, Yasumoto, Murakami, Kusano and Kishida (1967), Del Rosario, Briones, Vidal and Juliano (1968) และ Juliano and Boulter (1976) ที่ว่าโปรตีนอัลบูมิน และ โกลบูลิน ซึ่งกระจายตัวอยู่บริเวณขั้นแอรูโรน (aleurone layer) จะถูกกำจัดออกไปได้ในขั้นตอนการขัดสีข้าว ขณะที่โปรตีนกลูติลิน ซึ่งมีรูปร่างกลมขนาดต่าง ๆ ซึ่งกระจายอยู่ทั่วไปภายในส่วนของเนื้อโอดีสเปร์ม โดยจะอยู่ในรูปของ protein bodies ซึ่งมีส่วนหนึ่งเชื่อมกับเม็ดสารารชอย่างแข็งแรงและแน่นหนา (Beechtel and Pomeranz, 1978; Tanaka,

Resurreccion, Juliano and Bechtel, 1978) จึงไม่สามารถที่จะสกัดออกให้หมดด้วยสารละลายค้างจากผลการสกัดโปรตีนด้วยสารละลายค้างที่มี SDS อัตรา ร้อยละ 1 หรือ 5 พนว่าปริมาณของโปรตีนที่สกัดได้ในตัวอย่างทั้ง 2 มีค่าเพิ่มขึ้นได้ ดังตารางที่ 4.3 นอกจากคุณสมบัติของ SDS ที่เพิ่มการละลายของโปรตีน (Maningat and Juliano, 1979) และ การใช้ SDS ยังส่งผลให้ลักษณะของแคนโปรตีนเปลี่ยนแปลงไปจากสภาพที่ไม่ใช่ SDS (ภาพที่ 4.1) โดยจะไม่ปรากฏโปรตีนกลุ่ม HMW ที่บริเวณเจลสแต็คกิงจากหั้งข้าวເກົ່າແລະ ใหมໍ ขณะที่ความเข้มของแคนโปรตีนขนาดใหญ่ 120-<200 กิโลดาตัน และ โปรตีนขนาด 45-57 กิโลดาตัน จางลง และพนแคนโปรตีนจากหน่วยຍ່ອຍເບັດ້າ ແລະ ແອັກຟາ ກຸລູທີລິນທີເຂັ້ມຂຶ້ນ (19-25 ກິໂລດາຕັນ ແລະ 35-39 ກິໂລດາຕັນ) ตามลำดับ

โดยขนาดโมเลกຸล โปรตีนที่เล็กลง อาจเกิดจากปริมาณ SDS ในตัวอย่างซึ่งใช้สกัดตัวอย่างรวมกับที่ SDS ในทรีเม็นด์บັຟເဖົຣ໌ทີໃຊ້ສົມກັບ โปรตੀນກ່ອນຈະໂຫລດ โปรตੀນທີມີຄາມເຂັ້ມຂຶ້ນສົງຮ້ອຍລະ 10 ໂດຍ SDS ທີ່ເຂັ້ມຂຶ້ນນາຍຈະທຳໄຫ້ ໂປຣຕືນເສີຍສັກພ ໂດຍແຕກຕ້ວເປັນ ໂມເລກຸລຸທີມີຂາດເລື່ອກັງເນື່ອງຈາກພັນະໄອໂໂໂຣໄຟບົກກຸກທຳລາຍ ຊົ່ງສອດຄລ້ອງກັບກາරຮາຍງານຂອງ Gururaj และ Narasinga (1983) ທີ່ພນວ່າການເພີ່ມຮັບຄັນຄວາມເຂັ້ມຂຶ້ນຂອງ SDS ມາກກວ່າ 3.7 ມິລິໂລ ມາລັງ ຮໍາໄຫ້ຂາດໂມເລກຸລຸ ໂປຣຕືນຈາກທີ່ພບໃນເມື່ອມສຕາຣັດ (mustard) ແລະ ເມື່ອແກໂນລ່າ (canola or rape seed) ມີຂາດເລື່ອກັງ ໂດຍຍິ່ງເພີ່ມຄວາມເຂັ້ມຂຶ້ນຂອງ SDS ຂາດ ໂປຣຕືນກໍຈະເລື່ອກັງ

ผลของการสกัด ໂປຣຕືນດ້ວຍ SDS ຮໍາໄຫ້ສາມາດອອົບຍາຍໄດ້ວ່າ ໂປຣຕືນໃນກຸລຸມ HMW1 ແລະ HMW2 ສ່ວນໃໝ່ ແລະ ກຸລຸມ ປົກລູ້ທີ່ລິນນາງສ່ວນທີ່ພບໃນຂ້າທີ່ກ່ອນແລະ ລັດການເກີບຮັກຢານນີ້ ສ່ວນໜຶ່ງເກີດຈາກກາເກະກຸລຸມກັນຂອງ ໂປຣຕືນໃນກຸລຸມເບັດ້າ ແລະ ແອັກຟາ-ກຸລູທີ່ລິນ ດ້ວຍແຮງໄອໂໂຣໄຟບົກ ຈຶ່ງທຳໄຫ້ສາມາດອອົບຍາຍຍື່ອນກັບສົງປາກກຸກກາຜົນກັນພື່ນໜຶ່ງຂອງ HMW1 ຊົ່ງເປັນ ໂມເລກຸລຸ ຂາດໃໝ່ທີ່ພບຕິດຄ້າງອູ້ນຽວເຈັບກັບກຸລຸມກັນຂອງ ໂປຣຕືນກາຍຫັດກາເກີບຂ້າໄດ້ວ່າ ເປັນກາເກະກຸລຸມກັນຂອງ ໂປຣຕືນດ້ວຍຈາກແຮງໄອໂໂຣໄຟບົກ ທີ່ກົດຂຶ້ນຮະຫວ່າກຮດຂະມີໂນໄມໜີ້ຂ້າ ອື່ອ ໄກລືນ ອະລານີນ (Wen and Luthe, 1985) ໄອ ຫຼົວເຈັບກັບກຸລຸມກັນຂອງ ໂປຣຕືນດ້ວຍຈາກແຮງໄອໂໂຣໄຟບົກ (Juliano, 1994) ໃນ ໂປຣຕືນ ແຮງໄອໂໂຣໄຟບົກທີ່ເກີດຂຶ້ນທຳໄຫ້ເກີດກາເສື່ອມຕ່ອຮ່ວງສາຍ ຢີ້ອໂມເລກຸລຸ ຂອງ ໂປຣຕືນ ຮໍາໄຫ້ໂຄຮງສ້າງ ໂປຣຕືນມີຄວາມເສດີຍ

ເນື່ອພິຈາລະນາເປົ້າຍແຕນ ໂປຣຕືນຂອງແຕ່ລະ ຕັວອຸ່າງທີ່ໃຊ້ SDS ທີ່ຮະດັບຄວາມເຂັ້ມຂຶ້ນ ຕ່າງກັນພບວ່າທີ່ຮ້ອຍລະ 5 ຈະມີແຄນຂອງ ປົກລູ້ທີ່ລິນ ແລະ HMW2 ເຂັ້ມກວ່າ ສອດຄລ້ອງກັບແຄນແອັກຟາ ແລະ ເບັດ້າ-ກຸລູທີ່ລິນທີ່ຈຳກວ່າ ແສດຈຶ່ງກາເກະຕົວກັນໃໝ່ຂອງ ໂປຣຕືນດ້ວຍແຮງໄອໂໂຣໄຟບົກ ຊົ່ງເປັນພົດຈາກການທີ່ໂປຣຕືນເປີດຕົວອັນເນື່ອງມາຈາກກາໃຊ້ SDS ໃນ ປົມາລັງທີ່ສູງ

ແມ່ແນບ ໂປຣຕືນຈາກຂ້າວເກົ່າແລະ ใหมໍ ໃນສັກວະສົກທີ່ເຕີມ SDS ຈະມີຮູບແບບເຕີຍກັນ ແຕ່ຄວາມເຂັ້ມຂຶ້ນຂອງນາງແຄນ ໂປຣຕືນຈາກຂ້າວເກົ່າ ໄດ້ແກ່ ມີຄ່ານໍ້ອຍກວ່າ ຂົນທີ່ກຸລຸມ ປົກລູ້ທີ່ລິນ ແລະ HMW2 (120-<200 ກິໂລດາຕັນ) ຈະມີຄວາມເຂັ້ມຂຶ້ນແຄນ ໂປຣຕືນ

มากกว่าเมื่อเปรียบเทียบกับข้าวใหม่ โดยแถบโปรตีนขนาดใหญ่ และโปรกลูติลินที่เข้มมากในโปรตีนข้าวเก่าที่มีการใช้ SDS นี้ อาจเกิดจากพันธุ์โควาเลนต์หรือแรงยึดเหนี่ยวอื่น ๆ ที่แข็งแรงกว่าแรงไฮโดรฟอฟิก จึงทำให้โปรตีนหน่วยย่อยดังกล่าวสามารถเกาะกลุ่มกันได้โดยไม่แยกจากกันแม้อยู่ภายใต้สภาวะที่มี SDS

เมื่อนำโปรตีนสักดามาแยกด้วย SDS-PAGE ในสภาวะที่มีเบต้า-เมอร์แคปโตเทอานอล (ภาพที่ 4.2) จะสังเกตพบความเข้มของแถบโปรตีน HMW1, HMW2 และ โปรกลูติลินในตัวอย่างข้าวเก่ามีค่าลดลง ตรงข้ามกับหน่วยย่อยเบต้า และแอลฟ่า-กลูติลิน ที่แถบโปรตีนมีความเข้มเพิ่มขึ้น และยังพบโปรตีนกลูติลินขนาดเล็กเท่ากับ 15-17 กิโลดาตันทุกตัวอย่าง จากการเปลี่ยนแปลงที่เกิดขึ้นนี้ แสดงว่าโปรตีนขนาดใหญ่ที่แยกได้เกิดขึ้นได้จากการรวมตัวของหน่วยย่อยขนาดเล็กหลายโมเลกุล (Sugimoto et al, 1991) โดยที่มีบทบาทสำคัญในการเกาะกลุ่มกันของโปรตีนภายหลังการเก็บข้าวด้วยพันธุ์พันธุ์ไชซัลไฟฟ์ เนื่องจากโปรตีนกลูติลินประกอบด้วยกรดอะมิโนซิตีสที่อินทีมีหมุ่ไธโอด (-SH) อยู่ในโครงสร้าง (Juliano, 1985) ทำให้สามารถเกิดปฏิกิริยาออกซิเดชัน ในรูปแบบของพันธุ์ไชซัลไฟฟ์ได้ ทำให้เกิดการเชื่อมและการซ้อนพับกันของโปรตีนเกิดเป็นโครงสร้างสามมิติที่มีความเสถียร (Creighton, 1986; Doig and Williams, 1991) โดยพันธุ์ไชซัลไฟฟ์นี้สามารถถูกทำลายได้ด้วยการเติมสารเรดิวซิงซ์นิดต่าง ๆ (Creighton, 1986)

ดังนั้นการใส่ เบต้า-เมอร์แคปโตเทอานอล ซึ่งเป็นสารเรดิวซิงซ์ในสารละลายโปรตีนจึงทำให้พันธุ์ดังกล่าวถูกทำลายลง โปรตีนทั้งหมดที่เคยเกาะกลุ่มกันอยู่ด้วยพันธุ์ไชซัลไฟฟ์จึงแยกออกจากกัน (Zhou, Robards, Helliwell and Blanchard, 2003) จึงสังเกตเห็นที่รูปแบบและความเข้มของแถบโปรตีนที่ไม่แตกต่างกันระหว่างข้าวเก่าและใหม่ที่มี SDS ดังภาพที่ 4.2

การแยกขนาดโปรตีนด้วยเทคนิค SDS-PAGE ที่ความเข้มข้นของอะคริลามีด์ร้อยละ 12.5 สามารถแยกโปรตีนขนาด 200-14 กิโลดาตันได้ แต่ไม่เห็นการแยกที่ชัดเจนของแถบโปรตีนที่น้อยกว่า 14 กิโลดาตัน (ภาพที่ 4.1 และ 4.2) ในขณะเดียวกัน โปรตีนกลุ่ม HMW2 ก็อัดแน่นจนเกิดลักษณะแถบโปรตีนนำเงินเข้มอยู่บริเวณด้านบนของเจลรันนิ่ง ไม่สามารถเคลื่อนที่ผ่านลงมาหางด้านล่าง จึงไม่แยกเป็นแถบที่ชัดเจน (ภาพที่ 4.1)

จึงต้องปรับเพิ่มและลดความเข้มข้นของอะคริลามีด์ 2 ระดับ คือ ร้อยละ 7.5 และ ร้อยละ 15 จะได้ขนาดรูปรูนบนเจลใหญ่และเล็กกว่าเจลที่เข้มข้นร้อยละ 12.5 เพื่อให้สามารถแยกโปรตีนขนาดใหญ่และเล็กมากได้ตามลำดับแสดงดังภาพที่ 4.3-4.6 โดยที่ระดับความเข้มข้นอะคริลามีด์เท่ากับร้อยละ 7.5 สามารถแยกโปรตีนได้ดีทั้งแต่ 31 กิโลดาตันขึ้นไป ซึ่งโปรตีนที่อยู่ในช่วง 45-<200 กิโลดาตัน (ภาพที่ 4.3) และยังคงพบแถบโปรตีนขนาดไม่เลกุลใหญ่ HMW1 HMW2 และแถบโปรตีนขนาด 45-57 กิโลดาตันเหมือนเช่นที่พบในภาพที่ 4.1 โดยความเข้มของแถบโปรตีนทั้งหมดที่พบในข้าวเก่ามีมากกว่า เมื่อเปรียบเทียบกับข้าวใหม่ นอกจากนี้ยังสามารถแยกโปรตีน

ในช่วง 60-200 กิโลคาลตันเพิ่มขึ้นจากเดิมที่พบในภาพที่ 4.1 อีก 4 ແຕบโดยมีขนาดโภคุลเท่ากับ 62, 84, 100 และ 205 กิโลคาลตันตามลำดับ

โดย กีจังพบ โปรตีนในกลุ่ม HMW1 บริเวณเจลสแต็คกิงในตัวอย่าง โปรตีนข้าวเก่า และข้าวใหม่ที่ไม่ใช่ SDS แสดงให้เห็นว่า โปรตีนกลุ่มนี้อาจเป็น โปรตีนกลุ่มที่ลินขนาดใหญ่กว่ารูปrun จึงไม่สามารถเคลื่อนที่ผ่านรูปrun ของเจลลงมาได้หมด โดย โปรตีนกลุ่มที่ลินที่พบในข้าวนั้น มีขนาดเล็กใหญ่แต่แตกต่างกันไป โดยมีขนาดโภคุลตั้งแต่ตั้งแต่ประมาณ 100 ไปจนถึงมากกว่า 1,000 กิโลคาลตัน (Juliano and Boulter (1976) และ Takeda, Namba and Nunokawa 1970) เมื่อพิจารณาตัวอย่างที่มีเบต้า-เมอร์แคปโตเอทานอล ในแผ่นเจลที่ใช้ออกริลาไมด์ ร้อยละ 7.5 ในภาพ 4.4 ที่ແບบโปรตีนจากตัวอย่างข้าวเก่าและข้าวใหม่ที่ใช่ SDS ยังคงพบ โปรตีนขนาดใหญ่ 55, 56, 90, 97 และ 115 กิโลคาลตัน เช่น ในภาพที่ 4.2 โดยระบบห่างของແບบ โปรตีนแต่ละແບบมากกว่าที่ร้อยละ 12.5 นอกจากนี้ยังพบ โปรตีนใหม่ขนาด 62 กิโลคาลตันด้วย การลดขนาดรูปrun ในเจลด้วยการเพิ่มความเข้มข้นของอะคริลามีดไปที่ ร้อยละ 15 (ภาพที่ 4.5) ทำให้พบແບบ โปรตีนขนาดประมาณ 14 กิโลคาลตัน ที่บริเวณด้านล่างของแผ่นเจลเพิ่มขึ้น ในทุกตัวอย่าง โปรตีนสักด้วยเมื่อเปรียบเทียบกับภาพที่ 4.1 โดยความเข้มของແບบ โปรตีนในข้าวใหม่มากกว่า ส่วนตัวอย่างที่เติม เบต้า-เมอร์แคปโตเอทานอล (ภาพที่ 4.6) ยังคงพบແບบ โปรตีนเหมือนกับภาพที่ 4.2 โดยที่ความเข้มของແບบ โปรตีนหลัก คือ เบต้า-กลูติลิน แอลฟ้า-กลูติลิน และตำแหน่ง 15-17 กิโลคาลตัน ไม่ต่างกันในทุกตัวอย่าง แสดงให้เห็นว่า โปรตีนขนาด 15-17 กิโลคาลตันนี้จะรวมกลุ่มกับหน่วยย่ออยู่นั่น ๆ หรือหน่วยย่อขนาดเดียวกันด้วยพันธะ ไดซัลไฟด์ เป็น โปรตีนโภคุลขนาดใหญ่ซึ่งจะเกิดขึ้นภายหลังการเก็บรักษาข้าว

4.4.3 ปริมาณโปรตีนที่ละลายได้จากข้าวสุก

ข้าวเก่าและข้าวใหม่ที่ผ่านการหุงสุกแล้วนานคละอีกด้วย เมื่อนำมาสักด้วยสารละลายโซเดียมไฮดรอกไซด์ เพิ่มขึ้น 10 มิลลิโมลาร์ พนว่าปริมาณ โปรตีนจากข้าวสุกเก่าและใหม่ที่ละลายได้ในสารละลายค่า (CFP₀ และ CAP₀) มีค่าน้อยเมื่อเปรียบเทียบก่อนให้ความร้อน (ตารางที่ 4.3) ทั้งนี้เนื่องจากเกิดปฏิกิริยาสัมพันธ์ระหว่างองค์ประกอบของสารอาหารและโปรตีน (protein-starch interactions) (Likitwattanasade and Hongsprabhas, 2010) ในเม็ดข้าวรวมตัวกันขณะให้ความร้อนเกิดโครงสร้างสามมิติที่แข็งแรง โดยกักเก็บน้ำไว้อาไว้ภายใน จนเกิดลักษณะเจลที่มีความเหนียวและยืดหยุ่น ซึ่งเมื่อผสมกับสารละลายค่าจะมีความข้นหนืดมาก จึงยากที่จะสักด้วยโปรตีนออกมาน้ำ ภายหลังจากการย่อยเจลข้าวสุกด้วยเอนไซม์อะไเมเลสก่อนการนำไปสักด้วยโปรตีนนั้นไม่มีผลต่อการเปลี่ยนแปลงปริมาณ โปรตีนที่ละลายได้ของตัวอย่างข้าวใหม่ (CFP_{EA}) ($p>0.05$) แต่มีผลทำให้ปริมาณ โปรตีนที่ละลายได้ในข้าวเก่า (AP_{EA}) เพิ่มมากขึ้น ($p<0.05$) เมื่อเปรียบเทียบกับตัวอย่างก่อนย่อยด้วยเอนไซม์ (CFP₀ และ CAP₀) จะเห็นว่าปริมาณ โปรตีนในข้าวเก่า (CAP_{EA}) ที่เพิ่มขึ้นภายหลังย่อยด้วยเอนไซม์นี้

มีค่าไกล์เคียงเท่ากับข้าวใหม่(CFP_{EA}) ($p>0.05$) แสดงว่า หลังจากให้ความร้อนปฏิสัมพันธ์ที่เกิดขึ้น ระหว่างโปรตีน และสตาร์ชในข้าวที่ผ่านการเก็บรักษา มีค่ามากกว่าข้าวใหม่

ตารางที่ 4.4 ปริมาณโปรตีนที่สกัดได้จากข้าวสุกขาวอุณหภูมิ 105 ใหม่ และเก่า

Extract solution	Alkaline extractable protein (mg/g dry sample)			
	CFP_0	CFP_{EA}	CAP_0	CAP_{EA}
10 mM NaOH	$21 \pm 0.9Y$	$24 \pm 2.9a$	$18 \pm 0.1AX$	$24 \pm 4.0Ba$
10 mM NaOH + 1% SDS	nd	$44 \pm 1.2cd$	nd	$45 \pm 1.7d$
10 mM NaOH + 5% SDS	nd	$37 \pm 3.8b$	nd	$39 \pm 3.5bc$

ตัวอักษรพิมพ์เล็กที่ต่างกันตามแนวตั้ง หมายถึง มีความแตกต่างอย่างมีนัยสำคัญทางสถิติ ($p<0.05$)
 ตัวอักษรพิมพ์ใหญ่ที่ต่างกันตามแนวนอน หมายถึง มีความแตกต่างอย่างมีนัยสำคัญทางสถิติ ($p<0.05$)
 a-c ใช้เปรียบเทียบความแตกต่างของโปรตีนสกัดในข้าวเก่า; CFP_{EA} และข้าวใหม่; CAP_{EA} ที่ย่อยด้วยอะไมเลส; X และ Y ใช้เปรียบเทียบความแตกต่างของโปรตีนสกัดจากข้าวใหม่; CFP_0 และข้าวเก่า
 CAP_0 ; A และ B ใช้เปรียบเทียบความแตกต่างของโปรตีนสกัดจากข้าวใหม่และข้าวใหม่ที่ย่อยด้วยอะไมเลส; nd หมายถึง ไม่ได้ทำการวิเคราะห์

ทั้งนี้อาจเนื่องมาจากการเก็บรักษาข้าว ไม่เลกูลของโปรตีนมีขนาดใหญ่ขึ้นจาก การเกาะกันด้วยพันธะ ไซซัลไฟด์ โปรตีนขนาดใหญ่จะเกิดปฏิสัมพันธ์กับองค์ประกอบของ สตาร์ช ในลักษณะที่โครงสร้างสามมิติที่แข็งแรงมีความซับซ้อนจนเกิดมากกว่าโปรตีนในข้าวใหม่ นอกจากนี้ การใช้ SDS ทำให้ปริมาณโปรตีนที่ละลายได้มีค่าเพิ่มขึ้นในตัวอย่างข้าวสุกทั้ง 2 ที่ย่อย ด้วยเอ็นไซม์ (CFP_{EA} และ CAP_{EA}) ซึ่งให้ผลเช่นเดียวกับที่พบในฟลาร์ว (ตารางที่ 4.3) ซึ่งเกิดจาก โปรตีนข้าวสุกสามารถจับกับ SDS เป็นลักษณะไม่เซลและละลายออกมากได้มากขึ้น ปริมาณโปรตีน ที่ละลายได้ในตัวอย่างข้าวสุกใหม่ และเก่าที่ย่อยด้วยเอ็นไซม์ (CFP_{EA} และ CAP_{EA}) มีค่าลดลงเมื่อ เพิ่มความเข้มข้นของ SDS จาก ร้อยละ 1 เป็นร้อยละ 5 เช่นเดียวกับที่พบการละลายที่ลดลงในฟลาร์ว จึงกล่าวได้ว่าสภาพที่เหมาะสมในการละลายของโปรตีนคือ ต่างเข้มข้น 10 มิลลิโมลาร์ ที่มี SDS ร้อยละ 1 แม้ข้าวสุกจะถูกย่อยด้วยเอ็นไซม์และใช้ SDS ในการสกัดโปรตีนแล้ว ปริมาณ โปรตีนที่ละลายได้ในข้าวสุกที่ยังมีค่าน้อยกว่าฟลาร์ว แสดงว่ายังมีโปรตีนบางส่วนที่ไม่สามารถ ละลายออกมากได้ โดยอาจเป็นกลุ่มโปรตีนที่เกิดปฏิสัมพันธ์อย่างหนึ่งที่ยังคงตัวของตระกอน สตาร์ชที่ไม่ถูกย่อย จึงถูกปั่นให้ร่วงตกตะกอนลงที่ก้นหลอดพร้อมกับสตาร์ชส่วนที่ไม่ถูกย่อยได้

4.4.4 ขนาดโมเลกุลของโปรตีนในตัวอย่างข้าวสุกด้วยอิเล็กโทรโฟรีซีส (SDS-PAGE)

จากผลการศึกษานาค โนเมเลกุลของโปรตีนภายในตัวอย่างข้าวสุกด้วยอิเล็กโทรโฟรีซีส (SDS-PAGE) พบว่า รูปแบบของโปรตีนสักด้าจากข้าวสุกในภาพที่ 4.7 (cooked fresh0 และ cooked aged0) เปลี่ยนแปลงไปเมื่อเปรียบเทียบกับโปรตีนสักด้าจากตัวอย่างทั้ง 2 ก่อนให้ความร้อน (fresh0 และ aged0) ในภาพที่ 4.1 ภายหลังจากให้ความร้อนແบนจะไม่พบโปรตีนกลุ่ม HMW1 HMW2 และ โปรกูลทีลินขนาด 45-57 กิโลดาตัน (cooked fresh0 และ cooked aged0) นอกจากนี้ยังพบແบน โปรตีนกลุ่มทีลินหน่วยย่อยแออลฟ้า แต่ไม่ปรากฏແบนโปรตีนของกลุ่มทีลินที่เป็นหน่วยย่อยเบต้าเดย แต่พบโปรตีนขนาดประมาณ 41 กิโลดาตัน ในตัวอย่างทั้งสองอย่างชัดเจน ขณะที่ไม่พบโปรตีน กลุ่มนี้ในฟลาร์ว (ภาพที่ 4.1) ใช้สารละลายด่าง ที่มี SDS (cooked fresh และ cooked aged ที่ 1% และ 5% SDS) สักด้าโปรตีนจากข้าวสุกโปรตีนขนาดใหญ่ (ประมาณ 47-100 กิโลดาตัน) รวมถึง หน่วยย่อยเบต้าจะละลายออกมานะ ลดคลื่องกับปริมาณโปรตีนที่เพิ่มขึ้นในตารางที่ 4.4 (CFP_{EA} และ CAP_{EA})

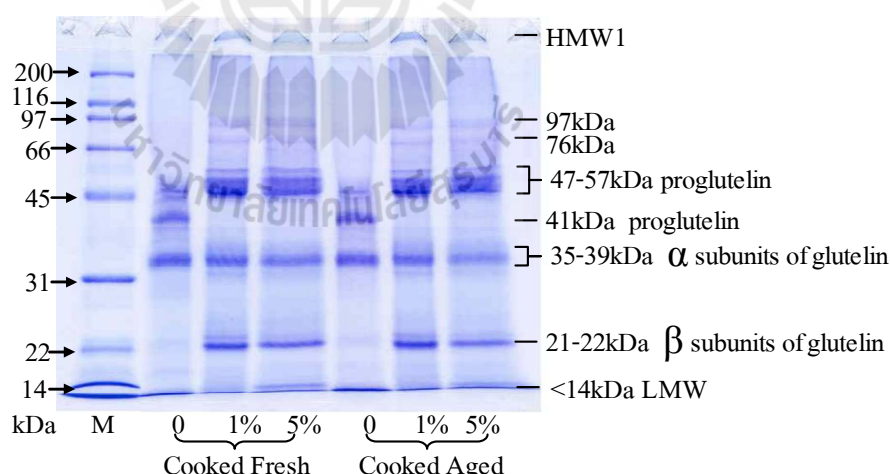
เนื่องจากคุณสมบัติของ SDS ที่ใช้ในการสักด้าโปรตีนมีผลต่อโครงสร้างของสตาร์ชโดย สามารถปลดปล่อยโปรตีนที่เกาอยู่ที่ผิวของสตาร์ช หรือเกาอยู่กับพอลิเมอร์ของสตาร์ชให้หลุด ออกมากได้ (Baldwin, 2001) แสดงว่าโปรตีนดังกล่าวเกิดปฏิกิริยาพันธ์กับสตาร์ชโดยการเข้ามารือ แกะอยู่กับโครงสร้างของสตาร์ชได้ ขณะให้ความร้อน และยังพบว่าใช้ด่างร่วมกับ SDS เพิ่มขึ้นร้อยละ 1 หรือ 5 สักด้าโปรตีนจากข้าวสุกขึ้นแสดงรูปแบบของโปรตีนหลักที่คล้ายคลึงกับตัวอย่างใน ฟลาร์ว (ภาพที่ 4.1) แต่ต่างกันที่ความเข้มของແบนโปรกูลทีลินที่สักด้าได้มากกว่า หน่วยย่อยแออลฟ้า และเบต้ากูลทีลิน และการสักด้าโปรตีนโดยใช้ SDS ยังคงพบโปรตีนขนาดใหญ่ (HWM1) ที่บริเวณ เจลสแต็คกิง ซึ่งต่างจากในฟลาร์ว ที่สักด้าโปรตีนด้วยด่างที่เติม SDS (ภาพที่ 4.1) นั้นจะพบແบน โปรกูลทีลินที่จำกว่าหน่วยย่อยแออลฟ้าและเบต้ากูลทีลิน และไม่พบແบนโปรตีนขนาดใหญ่ (HMW1) ที่บริเวณเจลสแต็คกิง

เมื่อเปรียบเทียบผล SDS-PAGE ที่เกิดขึ้นระหว่างก่อนและหลังให้ความร้อน แสดงให้เห็น ว่าภายหลังจากให้ความร้อน โนเมเลกุลของโปรตีนมีการรวมตัวเกิดเป็นโนเมเลกุลขนาดใหญ่ขึ้น ได้แก่ โปรตีนขนาด 41 กิโลดาตัน (cooked fresh0 และ cooked aged0) ที่พบในภาพที่ 4.7 ซึ่งเกิดจาก การรวมตัวกันของหน่วยย่อยเบต้ากูลทีลิน ทั้งนี้กู่กลุ่มโปรกูลทีลิน (cooked fresh และ cooked aged ที่ 1% และ 5% SDS) เพิ่มขึ้น ได้จากการรวมกลุ่มของหน่วยย่อยแออลฟ้า และหรือเบต้ากูลทีลิน รวมทั้ง HMW1 ที่เป็นกลุ่มโปรตีนขนาดใหญ่ที่พบหลังให้ความร้อนน่าจะเป็นกลุ่มโปรตีนที่เกิดขึ้นใหม่จาก โปรตีนขนาดเล็กที่เกากันด้วยพันธะไคซัลไฟฟ์ที่มีความแข็งแรง และด้วยขนาดที่ใหญ่และ ชับซ้อนขึ้นนี้เอง จึงทำให้เกิดปฏิกิริยาพันธ์กับสตาร์ชได้ ดังนั้นการใช้เพียงสารละลายด่างเพิ่มขึ้น

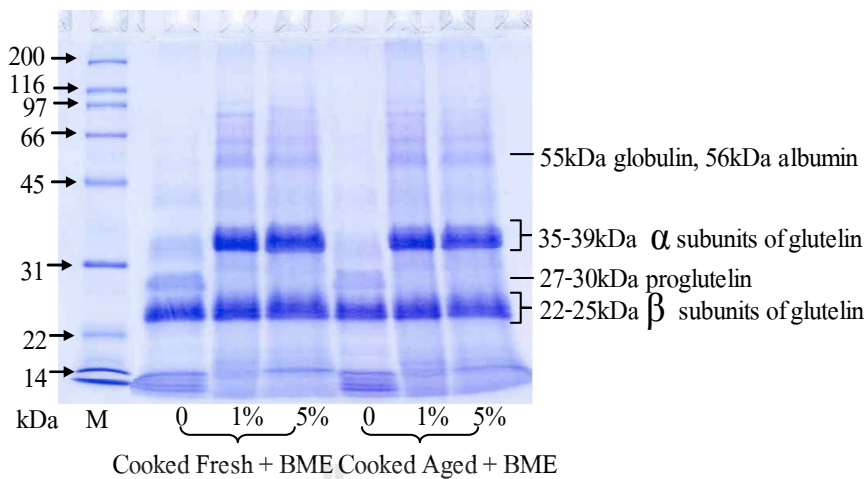
10 มิลิโมลาร์ ในตอนแรก(cooked fresh0 และ cooked aged0) จึงไม่สามารถถลายน้ำประตีนกลุ่มนี้ออกมานอกจากต้องมีการเติม SDS เพื่อปลดปล่อยให้ HWM1 ที่จับอยู่กับสตาร์ชส่วนเหลือจากการย้อมน้ำหลุดออกมานั้น

การศึกษาขนาดโมเลกุลของโปรตีนข้าวสุกที่สกัดได้ในสภาวะที่มี เบต้า-เมอร์แคปโตเอทานอล (cooked fresh0+BME และ cooked aged0+BME) ในภาพที่ 4.8 ทำให้ทราบว่าโปรตีนหลักโดยโปรตีนเกือบทั้งหมดที่สกัดในส่วนของออกมานำเสนอตัวอย่างสารละลายค่าง เช่น ขั้น 10 มิลลิโมลาร์ (cooked fresh0 และ cooked aged0 ในภาพที่ 4.7) เกิดจากการรวมตัวกันของหน่วยย่อยเบต้ากลูตีลิน ขณะที่การใช้สารละลายค่าง ที่มี SDS ร้อยละ 1 และ 5 นั้น มีผลทำให้ปริมาณโปรตีนที่ละลายออกมามีค่าเพิ่มขึ้น โดยกลุ่มโปรตีนหลักที่ละลายออกมานี้คือ โปรกลูตีลิน ซึ่งเกิดจากหน่วยย่อยแล็ปฟ้าและเบต้าที่เชื่อมด้วยพันธะไคซัลไฟฟ์คั่นเนอง (cooked fresh0+BME และ cooked aged0+BME ที่ 1 และ 5% SDS) จากผลที่เกิดขึ้นสามารถอธิบายได้ว่า โปรตีนกลูตีลินขนาดใหญ่เหล่านี้ (ประมาณ 47-100 กิโลดาลตัน) รวมถึงหน่วยย่อยเบต้ายังคงเชื่อมอยู่กับโครงข่ายของสตาร์ชที่หลงเหลือจากการย่อยด้วยอะไมเดส

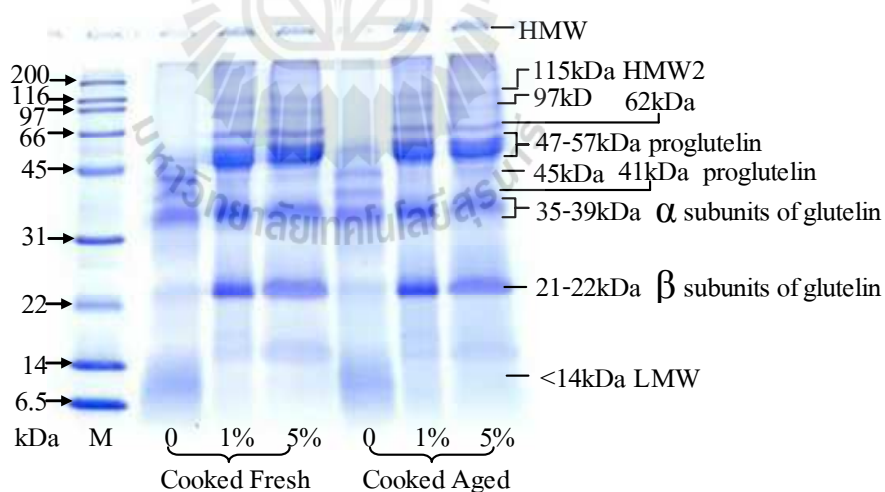
เมื่อพิจารณาที่ด้านล่างของแผ่นเจลในภาพที่ 4.7 และ 4.8 จะสังเกตเห็นแบบโปรตีนที่ต่ำกว่า 14 กิโลดาลตันที่ยังไม่แยกกันอย่างชัดเจน แสดงว่าโปรตีนดังกล่าวมีขนาดเล็กกว่ารูป/run ของ



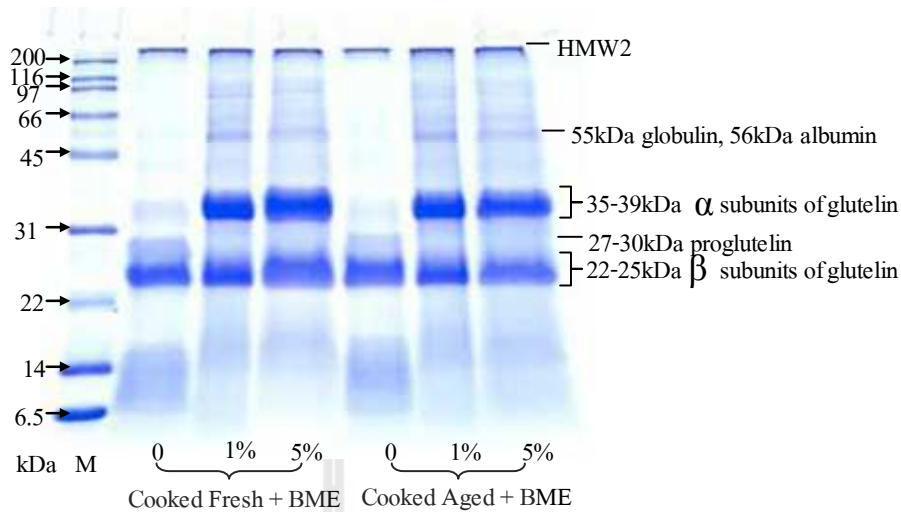
ภาพที่ 4.7 ผลการแยกขนาดโปรตีนด้วยวิธี SDS-PAGE ของสารละลายโปรตีนจากข้าวสุกขนาดออกมามี 105 ใหม่ (Cooked Fresh) และเก่า (Cooked Aged) สกัดด้วยสารละลาย NaOH เช่น ขั้น 10 มิลลิโมลาร์ ที่ประกอบด้วยสารละลาย SDS เช่น ร้อยละ 0, 1 และ 5 ตามลำดับ ภายใต้สภาวะที่ไม่มีเบต้า-เมอร์แคปโตเอทานอล (BME) ปริมาณอะคริลามิดร้อยละ 12.5 โดยแบบ M (lane M) แสดงโปรตีนมาตรฐาน



ภาพที่ 4.8 ผลการแยกขนาดโปรตีนด้วยวิธี SDS-PAGE ของสารละลายโปรตีนจากข้าวขาวคอกมະลิ 105 ใหม่ (Cooked Fresh) และเก่า (Cooked Aged) สกัดด้วยสารละลาย NaOH เข้มข้น 10 มิลลิโมลาร์ ที่ประกอบด้วยสารละลาย SDS เข้มข้นร้อยละ 0, 1 และ 5 ตามลำดับ ภายใต้สภาวะที่มีเบต้า-เมอร์แคปโตเออทานอล (BME) ปริมาณอะคริลามิดร้อยละ 12.5 โดยแถบ M (lane M) แสดงโปรตีนมาตรฐาน



ภาพที่ 4.9 ผลการแยกขนาดโปรตีนด้วยวิธี SDS-PAGE ของสารละลายโปรตีนจากข้าวสุกขาวคอกมະลิ 105 ใหม่ (Cooked Fresh) และเก่า (Cooked Aged) สกัดด้วยสารละลาย NaOH เข้มข้น 10 มิลลิโมลาร์ ที่ประกอบด้วยสารละลาย SDS เข้มข้น ร้อยละ 0, 1 และ 5 ตามลำดับ ภายใต้สภาวะที่ไม่มีเบต้า-เมอร์แคปโตเออทานอล (BME) ปริมาณอะคริลามิดร้อยละ 15 โดยแถบ M (lane M) แสดงโปรตีนมาตรฐาน



ภาพที่ 4.10 ผลการแยกขนาดโปรตีนด้วยวิธี SDS-PAGE ของสารละลายโปรตีนจากข้าวสุกขาวคอก มะลิ 105 ในมี (fresh) และเก่า (aged) สกัดด้วยสารละลาย NaOH เข้มข้น 10 มิลลิโนมาร์ที่ประกอบด้วยสารละลาย SDS เข้มข้นร้อยละ 0, 1 และ 5 ตามลำดับ ภายใต้สภาวะที่มีเบต้า-เมอร์แคปโตเทอทานอล (BME) ปริมาณอะคริลามิดร้อยละ 15 โดยแถบ M (lane M) แสดงโปรตีนมาตรฐาน

เจลอะคริลามิดที่ความเข้มข้นร้อยละ 12.5 จึงเคลื่อนที่ลงมาร่วมกันอยู่บริเวณด้านล่างของแผ่นเจลโดยไม่เกิดการแยกที่ชัดเจน การทดลองลดขนาดรูพรุนโดยเพิ่มความเข้มข้นของอะคริลามิดเป็นร้อยละ 15 ทำให้ประสาทวิภาคการแยกโปรตีนดังกล่าวได้ดีขึ้น โดยทั้ง cooked fresh 0 และ cooked aged 0 จะพบแถบโปรตีนหลักเพียง 3 แถบ คือ โปรกลูติลินขนาด 45 กิโลดالتัน โปรตีนขนาด 41 กิโลดالتัน และหน่วยย่อยออฟฟาที่มีขนาด 35-39 กิโลดالتัน (ภาพที่ 4.9) ส่วนตัวอย่างที่ใช้ด่างสกัดรวมกับ SDS เข้มข้นร้อยละ 1 และ 5 พบรอตีนขนาด 62 และ 115 กิโลดالتันแยกออกมาอย่างชัดเจน เมื่อเปรียบเทียบกับภาพที่ 4.7 ทั้งนี้มีอิพิารณาที่ส่วนล่างของแผ่นเจลเริ่มที่ตำแหน่ง 14 กิโลดالتันลงไปกลับไม่พบรอตีนที่ชัดเจนเหมือนโปรตีนสกัดจากตัวอย่างก่อนให้ความร้อน (ภาพที่ 4.5 และ 4.6) พบรอตีนขนาด 7 และ 11 กิโลดالتันในบริเวณนั้น จึงอาจเป็นไปได้ว่าโปรตีนขนาดเล็ก ๆ ที่เคยพบก่อนให้ความร้อนอาจจะติดค้างหรือถูกกักอยู่กับส่วนโครงข่ายสตาร์ช (starch network) ที่หลงเหลือจาก การย่อยด้วยเอนไซม์ และเช่นเดียวกันในภาพที่ 4.10 จึงยังคงพบแถบโปรตีนหลักครบทั้ง 4 แถบ (cooked fresh และ cooked aged ที่มี 1 หรือ 5% SDS) เหมือนกับที่พบรอตีนขนาด 4.9 นอกจากนี้ยังพบโปรตีนขนาดใหญ่ (HMW2) ด้วยซึ่งต่างกับตัวอย่างโปรตีนก่อนให้ความร้อนที่ใช้อะคริลามิดที่ร้อยละ 15 ในภาพที่ 4.6 ที่ไม่พบกลุ่ม HMW2 ที่บริเวณดังกล่าวเหมือนกับโปรตีนสกัดจากข้าวสุก

แสดงว่า โปรตีนกลุ่มนี้อาจจะแทรกอยู่หรือถูกกัดไห้ภายในโครงข่ายของสตาร์ชจึงไม่สามารถถูกสกัดออกมาได้ในตัวอย่างก่อนให้ความร้อน ภายหลังจากเม็ดสตาร์ชพองและแตกตัวด้วยความร้อนจึงทำให้โปรตีนเหล่านี้สามารถหลุดออกมายield ทำให้พบแบบโปรตีน HMW2 เลพะหลังให้ความร้อนเท่านั้น

4.4.5 ปริมาณพื้นผิวไฮโดรฟوبิก (Surface hydrophobicity)

จากการวิเคราะห์ปริมาณพื้นผิวเป็นไฮโดรฟอบิก (S_0) ของโปรตีนสกัดจากตัวอย่างทั้งสองได้แก่ ข้าวใหม่และข้าวเก่า ก่อนการให้ความร้อน พบว่าโปรตีนสกัดจากข้าวเก่ามีปริมาณพื้นผิวไฮโดรฟอบิกสูงกว่าข้าวใหม่ ($p<0.05$) ซึ่งการเพิ่มขึ้นของปริมาณพื้นผิวไฮโดรฟอบิกนี้บ่งบอกถึงการเปิดตัว หรือคลายตัวของโมเลกุลโปรตีนภายหลังการเก็บ เป็นผลให้กรดอะมิโนชนิดไม่มีข้าวซึ่งบดตัวอยู่ด้านในโมเลกุลของโปรตีนเปิดตัวออกสู่ภายนอก เพิ่มโอกาสในการจับตัว หรือเกาะกลุ่มกันของโปรตีนที่ไม่มีข้าว ผลที่เกิดขึ้นสอดคล้องกับผล SDS-PAGE (ภาพที่ 4.1 และ 4.2) ที่พบว่ามีจับกันระหว่างโมเลกุลโปรตีนภายหลังการเก็บด้วยแรงไฮโดรฟอบิก สอดคล้องกับผลปริมาณโปรตีนที่ละลายได้ (ตารางที่ 4.3) ในโปรตีนสกัดจากตัวอย่างข้าวเก่าที่มีค่าต่ำกว่าโปรตีนสกัดจากข้าวใหม่ ($p<0.05$) ที่แสดงถึงการละลายได้มีค่าลดลง โดยภายหลังจากหุงข้าวค่าปริมาณพื้นผิวไฮโดรฟอบิกในโปรตีนสกัดมีค่าเพิ่มสูงขึ้นทั้ง 2 ตัวอย่างเมื่อเปรียบเทียบกับก่อนให้ความร้อน

ตารางที่ 4.5 ค่าพื้นผิวความเป็นไฮโดรฟอบิกของตัวอย่างโปรตีนที่สกัดจากฟลาร์วและข้าวสุก

Protein extract	Surface hydrophobicity (S_0)	Alkaline extractable protein (mg/g sample)
Raw rice		
FRP	598.10 ± 29.87a	66±2.4b
ARP	690.80 ± 28.08 b	30±2.6a
Cooked rice		
CFP ₀	1,721.65 ± 294.37a	21 ± 0.9b
CAP ₀	2,418.30 ± 253.29b	18 ± 0.1a

ตัวอักษรพิมพ์เล็กที่ต่างกันตามแนวตั้ง หมายถึงมีความแตกต่างกันอย่างมีนัยสำคัญทางสถิติ ($p\leq 0.05$)
 FRP หมายถึง โปรตีนสกัดจากฟลาร์วข้าวใหม่ และ CFP₀ หมายถึง โปรตีนสกัดจากข้าวสุกใหม่
 ARP หมายถึง โปรตีนสกัดจากฟลาร์วข้าวเก่า และ CAP₀ หมายถึง โปรตีนสกัดจากข้าวสุกเก่า

สอดคล้องกับค่าปริมาณ โปรตีนที่ละลายได้ที่มีค่าลดต่ำลงในตัวอย่างข้าวสุก (ตารางที่ 4.4) ซึ่งค่าปริมาณพื้นผิวไฮโดรโฟบิกที่เพิ่มขึ้นนี้ บ่งชี้ถึงการเปิดตัวของโปรตีนมีค่าแปรผันตามการเพิ่มขึ้นของอุณหภูมิ (Paraman, Hettiarachchy, Schaefer and Beck, 2006) โดยพบว่าค่าปริมาณพื้นผิวไฮโดรโฟบิกของโปรตีนสกัดจากข้าวเก่าสุกมีค่าสูงกว่าโปรตีนสกัดจากข้าวใหม่สุก ($p<0.05$) บ่งบอกว่าภายในหลังการให้ความร้อนโน้มเลกุล โปรตีนในข้าวเก่าจะมีการเปิดตัวมากกว่าข้าวใหม่ ส่งผลให้ปริมาณ โปรตีนที่ละลายได้มีค่าน้อยกว่า

4.4.6 ปริมาณหมู่ชัลไฮดริล (SH) และไดชัลไฟฟ์ (SS)

จากการวิเคราะห์ปริมาณหมู่ไดชัลไฟฟ์ของโปรตีนสกัดจากข้าวก่อน และหลังการเก็บรักษา (FRP และ ARP) พบปริมาณหมู่ไดชัลไฟฟ์ในโปรตีนสกัดจากข้าวเก่ามีค่าสูงกว่าโปรตีนสกัดจากข้าวใหม่ สอดคล้องกับผล SDS-PAGE ในภาพที่ 4.2 และเมื่อพิจารณาร่วมกับจากการเปิดตัวของโปรตีนที่มีค่ามากขึ้น (ตารางที่ 4.5) ภายหลังการเก็บรักษา ส่งผลให้หมู่ชัลไฮดริลที่อยู่ภายในโน้มเลกุลของโปรตีนเปิดตัวออกมากเพิ่มขึ้น และโอกาสที่จะเกิดปฏิกิริยาออกซิเดชั่นระหว่างหมู่ชัลไฮดริลเป็นหมู่ไดชัลไฟฟ์ก็มีเพิ่มขึ้นด้วย ในขณะที่เมื่อพิจารณาหมู่ชัลไฮดริลระหว่างโปรตีนสกัดพบว่ามีค่าคงที่ไม่ลดลงภายหลังการเก็บแม้จะพบหมู่ไดชัลไฟฟ์เพิ่มขึ้น

ตารางที่ 4.6 ปริมาณหมู่ชัลไฮดริล และไดชัลไฟฟ์ของ โปรตีนจากฟลาრ์ว และตัวอย่างข้าวสุก

Values	Rice protein extracts			
	FRP	ARP	CFP ₀	CAP ₀
Total SH, $\mu\text{mol/g}$ protein	$15 \pm 5.94\text{a}$	$16 \pm 4.07\text{a}$	$62 \pm 24\text{b}$	$83 \pm 43\text{c}$
SS, $\mu\text{mol/g}$ protein	$49 \pm 1.76\text{a}$	$59 \pm 2.54\text{b}$	$100 \pm 33\text{c}$	$129 \pm 69\text{d}$
Alkaline extractable protein (mg/g sample)	$66 \pm 2.4\text{d}$	$30 \pm 2.6\text{c}$	$21 \pm 0.9\text{b}$	$18 \pm 0.1\text{a}$

ตัวอักษรพิมพ์เล็กที่ต่างกันตามแนวโน้มหมายถึงมีความแตกต่างกันอย่างมีนัยสำคัญทางสถิติ ($p \leq 0.05$)
FRP หมายถึง โปรตีนสกัดจากฟลาრ์วข้าวใหม่ และ CFP₀ หมายถึง โปรตีนสกัดจากข้าวสุกใหม่
ARP หมายถึง โปรตีนสกัดจากฟลาრ์วข้าวเก่า และ CAP₀ หมายถึง โปรตีนสกัดจากข้าวสุกเก่า

อธิบายได้ว่าข้าวเก่ามีการเปิดตัวของโปรตีนที่มากกว่าทำให้หมู่ชัลฟ์ไฮดริล ที่บดตัวอยู่ด้านในโปรตีน เปิดตัวออกมากได้มากด้วย ปริมาณที่วัดหมู่ชัลไฮดริลจะไม่ลดลง

นอกจากนี้โปรตีนที่สกัดจากหัวใจมี และเก่าที่หุงสุกแล้วจะมีการเพิ่มขึ้นของหัวใจชัลฟ์ไฮดรอล และไดชัลไฟด์ โดยปริมาณหัวใจชัลฟ์ไฮดรอลที่เพิ่มขึ้นนี้คือส่วนของหัวใจชัลฟ์ไฮดรอลที่อยู่ภายในโมเลกุลโปรตีนซึ่งเปิดตัวออกมานៅอื่นได้รับความร้อนนั้นยังส่งผลให้หัวใจชัลฟ์ไฮดรอลของโปรตีนกลูตินที่เปิดตัวออกมานิคเขื่อมกันด้วยพันธะไดชัลไฟด์ (ภาพที่ 4.7-4.10) จึงทำให้หัวใจชัลฟ์ไฟด์มีค่าเพิ่มขึ้นได้ภายหลังให้ความร้อนด้วย เมื่อเปรียบเทียบปริมาณหัวใจชัลฟ์ของโปรตีนสกัดจากหัวใจสุกทั้ง 2 พบร่วมหัวใจชัลฟ์ของโปรตีนสกัดจากหัวใจเก่ายังมีค่ามากกว่า

4.5 สรุปผลการทดลอง

ข้าวที่เก็บรักษาไว้ 1 ปี จะมีการเปลี่ยนแปลงคุณสมบัติทางเคมีของโปรตีนที่ต่างไปจากหัวใจมี โดยการละลายของโปรตีนในสารละลายโซเดียมไฮดรอกไซด์มีค่าลดลง แต่สามารถเพิ่มขึ้นได้เมื่อเติมโซเดียมโคลเดซิลชัลเฟตร่วมกับค่างสกัดโปรตีน โดยความเข้มข้นที่เหมาะสมในการสกัดโปรตีนจากฟลาร์ว คือ ใช้สารละลายโซเดียมไฮดรอกไซด์ เข้มข้น 10 มิลลิโนลาร์ที่มี SDS ร้อยละ 1 โปรตีนสกัดจากหัวใจเก่าจะมีปริมาณพื้นผิวไฮดร็อฟบิก และปริมาณหัวใจชัลฟ์ที่สูง บ่งชี้ว่าโปรตีนมีการเปิดตัว หรือคลายตัวเพิ่มขึ้น จึงทำให้กรดอะมิโนไฮดร็อฟบิกรวมทั้งหัวใจชัลฟ์ไฮดรอล และที่บดตัวอยู่ด้านในโมเลกุลโปรตีนเคลื่อนที่ออกมายังด้านหน้า จากนั้นจึงเกิดการเขื่อมกันของกรดอะมิโนระหว่างโมเลกุลโปรตีนด้วยอันตรกิริยาไฮดร็อฟบิก และพันธะไดชัลไฟด์ ซึ่งสอดคล้องกับผล SDS-PAGE ที่พบขนาดโมเลกุลของโปรตีนที่เพิ่มขึ้นในหัวใจเก่าจะขัดขวางการซึมผ่านของน้ำเข้าสู่เม็ดสตาร์ช ทำให้การพองตัวและการแตกตัวของสตาร์ชเกิดขึ้นน้อย จึงต้องใช้อุณหภูมิที่สูงในการทำให้มีสตาร์ชเจลต์ในชั้น นอกจากนี้ยังพบว่าค่าปริมาณพื้นผิวไฮดร็อฟบิกของโปรตีนสกัดจากหัวใจสุกมีค่ามากกว่าหัวใจสารและคงถึงโปรตีนเกิดการสูญเสียสภาพตามธรรมชาติจากความร้อนที่ใช้ในการหุงข้าวเป็นผลให้โมเลกุลโปรตีนเปิดตัวอย่างมาก ทั้งนี้หัวใจสุกจะมีปริมาณโปรตีนที่ละลายออกมามากกว่าหัวใจสารด้วย การละลายของโปรตีนหัวใจสุกสามารถเพิ่มขึ้นได้เมื่อใช้เอนไซม์อะไมโลส ย่อยพอลิเมอร์ของสตาร์ชก่อนการสกัด ซึ่งแสดงถึงการมีปฏิสัมพันธ์กันระหว่างโมเลกุลของโปรตีนกับสตาร์ชที่เกิดในระหว่างการให้ความร้อน นอกจากนี้ยังพบกลุ่มโปรตีนขนาดเท่าไประดูที่ลินในปริมาณมากในหัวใจสุก โดยเกิดจากการเกลี่ยกลุ่มกันใหม่ของหน่วยย่อยแอลฟ้า และเบต้ากลูทีลิน ด้วยพันธะไดชัลไฟด์ จากผลที่กล่าวมาข้างต้นแสดงให้เห็นว่าพันธะไดชัลไฟด์มีบทบาทสำคัญต่อความเสถียรของโครงสร้างโปรตีนทั้งก่อน และหลังให้ความร้อน โดยโปรตีนจากหัวใจเก่ามีการเกลี่ยกลุ่มกันเป็นโปรตีนขนาดใหญ่มากขึ้น ขัดขวางการพองตัว และการเจลต์ในเชิงของสตาร์ช จากการเพิ่มขึ้นของพันธะไดชัลไฟด์ซึ่งสามารถทำให้โครงสร้างของโปรตีนเสถียรได้มากขึ้น จึงทำให้โปรตีนของหัวใจสามารถเกิดโครงสร้างตามที่ต้องการได้ด้วย

4.6 รายการอ้างอิง

- Agboola, S., Ng, D., and Mills, D. (2005). Characterisation and functional properties of Australian rice protein isolates. **Journal of Cereal Science** 41: 283–290.
- Baldwin, P.M. (2001). Starch Granule-Associated Proteins and Polypeptides: A Review. **Starch/Stärke** 53: 475-503.
- Bean, M. M., and Nishita, K.D. (1985). Rice flours for baking. **Rice Chemistry and Technology**. 2nd Ed. Juliano, B.O., ed AACC Internation:St. Paul, MN: 59-174.
- Bechtel, D.B. and Pomeranz, Y. (1978). Ultrastructure of the mature ungerminated rice (*Oryza sativa*) caryopsis. **American Journal of Botany** 65: 684-691.
- Cagampang, G.B., Cruz, L.-J., Espiritu, S.G., Santiafo, S.G. and Juliano, B.O. (1966). Studies on the extraction and composition of rice protein. **Cereal Chemistry** 43: 145-155.
- Cardoso, M.B., Putaux, J.L., Samios, D., Silveira, N.P.D. (2007). Influence of alkali concentration on the deproteinization and/or gelatinization of rice starch. **Carbohydrate polymers** 70: 160-165.
- Chrastil, J. and Zarins, Z.M. (1992). Influence of storage on peptide subunit composition of rice oryzenin. **Journal of Agricultural and Food Chemistry** 40: 927-931.
- Creighton, TE. (1986). Disulfide bonds as probes of protein folding pathways. **Methods Enzymol** 131: 83-106.
- Cagampang, G.B., Cruz, L.J., Espiritu, S.G., Santiago, R.G. and Juliano, B.O. (1966). Studies on the extraction and composition of rice proteins. **Cereal Chemistry** 43: 145-155.
- Chartil, J. (1993). Changes of oryzenin and starch during preharvest maturing of rice grains. **Journal of Agricultural and Food Chemistry** 40: 927-930.
- Chrastil, J. (1994). Stickiness of oryzenin and starch mixtures from preharvest and postharvest rice grains. **Journal of Agricultural and Food Chemistry** 42: 2147-2151.
- Del Rosario, A.R., Briones, V.P., Vidal, A.J. and Juliano, B.O. (1968). Composition and endosperm structure of developing and mature rice kernel. **Cereal Chemistry** 45: 225-235.
- Dogi, A.J. and Williams, D.H. (1991). Is the hydrophobic effect stabilizing or destabilizing in protein? The contribution of disulfide bonds to protein stability. **Journal of Molecular Biology** 217: 389-398.
- Derycke, V., Veraverbeke, W.S., Vandepitte, G.E., De Man, W., Hoseney, R.C. and Delcour, J.A.

- (2005). Impact of protein on pasting and cooking properties of nonparboiled and parboiled rice. **Journal of Cereal Chemistry** 82(4): 468–474.
- Eggum, B.O., Cabrera, M.I.Z., and Juliano, B.O. (1992). Protein and lysine digestibility and protein quality of cooked Filipino rice diets and milled rice in growing rats. **Plant Foods for Human Nutrition** 43: 163-170.
- Fogarty, W.M. and Kelly. C.T. (1990). **Microbial Enzymes and Biotechnology**. Elsevier, London: 149-158.
- Ficochi, A., Travaini, M., D'Auria, E., Banderali, G., Bernardo, L., and Riva, E. (2003). Tolerance to a rice hydrolysate formula in children allergic to cow's milk and soy. **Clinical & Experimental Allergy** 33: 1576-1580.
- Görg, A. and Westermeier, R. (1999). Micorseparation Techniques and Sample Preparation. In R. Kellner, F. Lottspeich and H.E. Meyer (eds.). **Microcharacterization of proteins**. (2nd., pp. 16-17). Weinheim: Wiley-VCH
- Gururaj, A. and Narasinga, M.S. (1983). Effect of sodium dodecyl sulphate on the high molecular weight protein fraction of mustard (*Brassica juncea*) and rapeseed (*Brassica campestris*), **Journal of Biosciences** 5: 301-309.
- Hamaker, B.R. and Griffin, V.K. (1990). Changing the viscoelastic properties of cooked rice through protein disruption. **Cereal Chemistry** 67(3): 261–264.
- Houston, D.F., Iwasaki, T., Mohammad, A. and Chen, L. (1986). Radial distribution of protein by solubility classes in the milled rice kernel. **Journal of Agricultural and Food Chemistry** 5: 720-724.
- Ju, Z. Y., Hettiarachchy, N. S., & Rath, N. (2001). Extraction, denaturation and hydrophobic properties of rice flour proteins. **Journal of Food Science** 66: 229–232.
- Juliano, B. O. (1985). Polysaccharide, proteins and lipid of rice grain composition, Rice Chemistry and Technology, 2nd. AACC Internation:St. Paul, MN: 59-174.
- Juliano, B.O. (1985). **Rice chemistry and technology**. The American Association of Cereal Chemists, St. Paul, Minnesota, USA.
- Juliano, B.O. and Boulter, D. (1976). Extraction and composition of rice endosperm glutelin. **Phytochemistry** 15: 1976-1606.

- Kato, A., and Nakai, S. (1980). Hydrophobicity determined by an fluorescence probe method and its correlation with surface properties of proteins. **Biochem. Biophys. Acta.** 624:13-20.
- Kqczkowski, J. (2000). New aspects of the cereal storage protein synthesis and degradation including the role of thioredoxin, as well as its regulatory properties. **Acta physiologae plantarum** 22(4): 483-494.
- Kusama, T., Yangi, S.O. and Iwamoto, M. (1984). Comparison of rice (*Oryza sativa L.*) seed proteins from several varieties. **Agricultural and Biological Chemistry** 48(6): 1649-1651.
- Laemmli, U.K. (1970). Cleavage of structural proteins during the assembly of the head bacteriophage T4. **Nature** 277: 680-685.
- Likitwattanasade, T. and Hongsprabhas, P. (2010). Effect of storage proteins on pasting properties and microstructure of Thai rice. **Food Research International** 43: 1402-1409.
- Lugay, J.C. and Juliano, B.O. (1965). Crystallinity of rice starch and its fractions in relation to gelatinization and pasting characteristics. **Journal of Applied Polymer Science** 9: 3775-3790.
- Lyon, B.G., Champagne, E.T., Windham, W.R., Barton, F.E., Webb, B.D., McClung, A.M., Moldenhauer, K.A., Linscombe, S., McKenzie, K.S. and Kohlwey, D.E. (1990). Effect of degree of milling, drying condition, and final moisture content on sensory texture of cooked rice. **Cereal Chemistry** 76: 56-62.
- Martin, M. and Fitzgerald, M.A. (2002). Proteins in rice influence cooking properties. **Journal of Cereal Science** 36: 285–294.
- Maningat, C.C and Juliano, B.O. (1979). Properties and degradability of isolated starch granules. **Starch/Starke** 42: 298-301.
- Mitsuda, H., Yasumoto, K., Murikami, K., Kusano, T. and Kishida, H. (1967). Studies on the proteinaceous subcellular particles in rice endosperm: electron-microscopy and isolation. **Agricultural and Biological Chemistry**: 31: 293-300.
- Nigam, P. and Singh, D. (1995). Enzymes and microbial systems involved in starch processing. **Enzyme Microbial Technology** 17: 770-778.
- Ohno, T. and Ohisa, N. (2005). Studies on textural and chemical changes in aged rice grains, **Food Science and Technology Research** 11(4): 385-389.

- Ohno, T., Tomatsu, M., Toeda, K. and Ohisa, N. (2007). Texture of cooked rice prepared from aged rice and its improvement by reducing agents. **Bioscience Biotechnology Biochemistry** 71: 2912-2920.
- Osborne, T.B. (1924). **The Vegetable Proteins**. London: Longmans, Green.
- Oszvald, M., Tomoskozi, S., Larroque, O., Keresztenyi, E., Tamas, L. And Bekes, F. (2008) Characterization of rice storage proteins by SE-HPLC and micro z-arm mixer. **Journal of Cereal Science** 48: 68-76.
- Padhye, V.W. and Salunkhe, D.K. (1979). Extraction and characterization of rice proteins. **Cereal Chemistry** 56: 389-393.
- Paraman, I., Hettiarachchy, S.N., Schaefer, C. and Beck, M.I. (2007). Hydrophobicity, Solubility, and Emulsifying Properties of Enzyme-Modified Rice Endosperm Protein. **Cereal Chemistry** 84(4): 343-349
- Shewry, P.R. and Halford, N.G. (2002). Cereal seed storage proteins: Structures, properties and role in grain utilization. **Journal of Experimental Botany** 53(370): 947-958.
- Sugimoto, T., Tanaka, K. and Kasai, Z. (1991). Heterogeneity in subunit composition of glutelin in rice protein bodies, **Agricultural and Biological Chemistry** 55(1): 273-274.
- Takeda, M., Namba, Y., Nunokawa, Y. (1970). Heterogeneity of rice glutelin. **Agricultural and Biological Chemistry** 34: 473-481.
- Tanaka, Y., Resurreccion, A.P., Juliano, B.O. and Bechtel, D.B. (1978). Properties of whole and undigested fraction of protein bodies of milled rice. **Agricultural and Biological Chemistry** 42: 2015-2033.
- Tanaka, Y., Sugimoto, T., Ogawa, M., and Kasai, Z. (1980). Isolation and characterization of two types of protein bodies in the rice endosperm, **Agricultural and Biological Chemistry** 44: 1633-1639.
- Tecson, E.M.S., Esmama, B.V., Lontok, L.P. and Julino, B.O. (1999). Studies on the extraction and composition of rice endosperm glutelin and prolamin. **Cereal Chemistry** 48: 168-181.
- Teo, C. H., Karim, A. Abd., Cheah, P. B., Norziah, M. H., & Seow, C. C. (2000). On the role of protein and starch in the aging of non-waxy rice flour. **Food Chemistry** 69:229–236.

- Utsumi, S. (1992). Plant food protein engineering. In: Kinsella, J.E. (Ed.), **Advances in Food and Nutrition Research**. Academic Press, San Diego, CA: 89–208.
- Wen, T.N. and Luthe, D.S. (1985). Biochemical and characterization of rice glutelin. **Plant Physiology** 78: 172-177.
- Yang, T.Y., Shen, Y.H., Huang, X.G., He, J.H. and Wu, G.Z. (2005). Identification of genetic diversity in foxtail millet (*Setaria italic L. Beauv.*) by A-PAGE. **Acta Agronomica Sinica** 131(1): 131-133.
- Yamakata, H. and Tanaka, K. (1986). The site of synthesis and accumulation of rice storage proteins. **Plant of Cell Physiology** 27: 135-145.
- Yook, C. and Robyt, J.F. (2002). Reactions of alpha amylases with starch granules in aqueous suspension giving products in solution and in a minimum amount of water giving products inside the granule. **Carbohydrate Research** 337: 1113-1117
- Zhan, X.Y. and Lin, R.H. (1991). Electrophoresis analysis of glutelin of cultivar rice and wild rice. **Chinese Journal of Rice Science** 5(3): 109-113.
- Zhang, G., Ao, Z. and Hamaker, B.R. (2006). Slow digestion properties of native cereal starches. **Biomacromolecules** 7: 3252-3258.
- Zhou, Z., Robards, K., Helliwell, S. and Blanchard, C. (2003). Effect of rice storage on pasting properties of rice flour. **Food Research International** 36: 625-634.

บทที่ 5

ผลของสารรีดิวชิงซึ่งต่อคุณสมบัติข้าวเก่า

5.1 บทคัดย่อ

ข้าวเก่าพันธุ์ข้าวດอกมะลิ 105 เก็บ 1 ปีที่อุณหภูมิห้อง นำมาศึกษาผลการใช้สารละลายรีดิวชิงซึ่ง 3 ชนิด คือโซเดียมซัลไฟฟ์ (SS) กรดแอกโซอร์บิก (AA) และ ซิสทีอิน (CYS) ที่ความเข้มข้น 5, 10 และ 15 มิลลิโตร์ต แทนน้ำหุงข้าว พบว่าสารรีดิวชิงซึ่ง 3 ชนิดสามารถเพิ่มความนุ่มนวลให้ไกล์เคียงกับข้าวใหม่ ขณะที่ค่าการเกาะติดกันของเมล็ดข้าวสุกเพิ่มขึ้นเมื่อใช้ SS และ CYS ที่ 15 มิลลิโตร์ต แต่ไม่เพิ่มขึ้นเมื่อใช้ AA และยังพบว่าประสิทธิภาพของซิสทีอินในการเพิ่มความนุ่มนวลข้าวสุกลดลงมากเมื่อใช้ในฟอสเฟตบัฟเฟอร์ การปรับค่าพีอ่อนของน้ำให้เท่ากับพีอ่อนของสารรีดิวชิงซึ่งในช่วง 3.1-3.3 และ 9.5-9.6 สามารถทำให้ข้าวเก่านุ่มนั่น แต่ไม่มีผลเพิ่มการเกาะติดกันของเมล็ดข้าวสารรีดิวชิงซึ่ง 3 ชนิดมีผลในการเปลี่ยนแปลงความหนืดของข้าวเก่าโดยเพิ่มค่าความหนืดสูงสุด (peak viscosity, PV) เบรกดาวน์ (breakdown, BD) และลดค่าเซทแบค (setback, SB) และยังพบการเพิ่มขึ้นของค่า PV และการลดลงของค่า SB ในทุกด้าวย่างที่หุงด้วยสารรีดิวชิงซึ่งที่ละลายในบัฟเฟอร์การศึกษาการแข็งตัวอย่างข้าวเก่าด้วยสารละลาย SS ที่ความเข้มข้น 5, 10 และ 15 มิลลิโตร์ต และ ได้ไทโอดิทอล (DTT) ที่ 5 มิลลิโตร์ต โดยแซฟท์ที่ 37 องศาเซลเซียส 6 ชั่วโมง แล้วอบแห้ง นำมาตรวจสอบคุณสมบัติการเกิดเพลท พบการเพิ่มขึ้นของค่า PV และ BD ขณะที่ SB และ FV ลดลงทั้ง 3 ความเข้มข้น เช่นเดียวกับ DTT แต่ SS มีประสิทธิภาพต่ำกว่า การตรวจสอบเนื้อสัมผัสของข้าวสุกที่ผ่านการแซฟท์ SS ที่ 5 มิลลิโตร์ตพบว่ามีความนุ่มนั่น เมล็ดข้าวเก่าด้วยตัวกันดีขึ้น ผล SDS-PAGE แสดงให้เห็นว่า SS สามารถลดขนาดโมเลกุลโปรตีนโดยการตัดพันธะได้ซัลไฟฟ์ ทำให้ปริมาณหมู่ไดซัลไฟฟ์ลดลง สัมพันธ์กับปริมาณหมู่ซัลไฟดิลิที่เพิ่มขึ้น และการจางลงของแคนโปรตีนขนาดใหญ่และ แคนโปรกลูทีลิน ขณะที่แคนหน่วยย่อยของกลูทีลินเข้มข้น

5.2 บทนำ

ในปัจจุบันการบริโภคข้าวในรูปข้าวเต้มเมล็ดมีสัดส่วนที่สูงกว่าการนำໄไปแปรรูปเป็นผลิตภัณฑ์อื่น ๆ ขณะนี้แล้วคุณภาพในด้านการหุงต้ม และรับประทานจึงถือเป็นสิ่งที่ต้องคำนึงถึง และให้ความสำคัญ (Bao, Sun, Zhu, and Corke, 2004). ผลผลิตข้าวหลังเก็บเกี่ยวเสร็จจะถูกเก็บรักษาอยู่ในรูปข้าวเต้มเมล็ด (Matsukura, Kaneko, and Momma, 2000) เพื่อรักษาไว้ให้คงทน จัด

จำหน่ายต่อไป การเก็บข้าวไว้ที่อุณหภูมิห้องตั้งแต่ 6 เดือนขึ้นไป ข้าวที่เก็บไว้จะเริ่มมีการเปลี่ยนแปลง คุณสมบัติทางกายภาพต่าง ๆ เช่น การดูดซับน้ำ (hydration) การพองตัวของเม็ดสตาร์ช (swelling) ปริมาณของแข็งที่ละลายได้ (solubility) รวมถึงความหนืดของเจลแป้ง (viscosity) (Barber, 1972; Juliano, 1972) ที่ต่างไปจากเดิมในลักษณะของข้าวเก่า เรียกว่ากระบวนการนี้ว่า การเก่าของข้าว (aging process) การเปลี่ยนแปลงทางกายภาพที่ได้ก่อตัวถึงมาแล้วนี้ล้วนส่งผลโดยตรงต่อค่าเนื้อสัมผัสของข้าวภายหลังการเก็บ โดยข้าวเก่าสุกจะมีการเกาะกันของเม็ดข้าวน้อยลง ขณะที่ความแข็งมีค่าเพิ่มขึ้น (Meullenet, Marks, Griffin and Daniels, 1999; Tsugita, Ohta and Kato, 1983) ซึ่งให้ผลเหมือนกันทั้งการวัดด้วยเครื่องวัดเนื้อสัมผัส (Okabe, 1979; Shibuya, Iwasaki, Yanase and Chikubu, 1974) หรือการทดสอบทางประสาทสัมผัส คุณภาพเนื้อสัมผัสข้าวสุกที่ด้อยลง มีผลโดยตรงต่อความนิยมในการบริโภคที่ลดลง และส่งผลกระทบต่อยอดจำหน่ายข้าวที่ลดลงตามมา โดยจากผลการศึกษาที่ผ่านมาทำให้ทราบว่า นอกจากสตาร์ชแล้ว โปรตีนก็มีอิทธิพลต่อลักษณะความหนืดและเนื้อสัมผัสของข้าวอย่างมาก (Hamaker, and Griffin; 1990 Hamaker, and Griffin; 1993 Xie, Chen, Duan, Zhu, and Liao, ; 2008) โดยปฏิกิริยาออกซิเดชันของโปรตีนที่เกิดขึ้นภายหลังการเก็บ ทำให้เกิดการเขื่อมข้ามของโมเลกุลโปรตีนระหว่างโมเลกุลโปรตีนที่มีหมุนซัดไฮดรอลด้วยพันธะ ไซซัลไฟฟ์ ส่งผลให้ปริมาณหมุนซัดไฮดรอลิสระของโปรตีนมีค่าลดลง (Charstil and Zarins, 1992) ขณะเดียวกันพันธะ ไซซัลไฟฟ์ก็จะมีค่าเพิ่มขึ้น ซึ่งการเขื่อมกันของหน่วยย่อยโปรตีนทำให้โปรตีนขนาดใหญ่มีปริมาณเพิ่มมากขึ้น (Chrastil, 1990) โปรตีนในเม็ดข้าวนี้มีจะกระจายอยู่ทั่วไป ทั้งในส่วนของผนังเซลล์ ภายในเม็ดสตาร์ช หรือด้านรอบบริเวณเม็ดสตาร์ชไว้ จากการที่มีโปรตีนกระจายอยู่ทั่วเม็ดข้าวนี้เอง โปรตีนจึงสามารถขัดขวางการแพร่เข้าของน้ำสู่เม็ดสตาร์ช (Kang, Hwang, Kyung and Choi, 2006a) การพองตัวของเม็ดสตาร์ช และการเกิดเจลทำได้ยาก ส่งผลให้สตาร์ชเกิดการเจลلاتในชั้นไม่สมบูรณ์ (Kang et al, 2006b) จึงมีผลต่อเนื้อสัมผัสของข้าวได้ (Moritaka, and Yasumatsu, 1972; Watanabe, Arai, Honma and Fuke, 1991a) นอกจากนี้ยังพบว่าการใช้ความดันสูง(Watanabe et al, 1991b; Arai, Aoyama and Watanabe, 1993; Shibuya and Iwasaki, 1982; Saleh, M.I. and Meullenet, J-F. 2007) การย่อยเม็ดสตาร์ช หรือ โปรตีนด้วย酛 แนะนำ แล้วยังแต่การเติมน้ำส้มสายชู (rice vinegar) หรือ น้ำผลไม้ (fruit juice) ในน้ำสำหรับหุงข้าว (Ema and Kainuma, 1991) ก็สามารถปรับเปลี่ยนเนื้อสัมผัสของข้าวที่แข็งให้ความนุ่ม และมีการเกาะติดกันดีของเม็ดข้าวสุก สารรีดิวเซชันมีส่วนในการคืนสภาพธรรมชาติของโปรตีนกล้ามเนื้อปลาที่ผ่านการแช่แข็งได้ สามารถนำไปผลิตเป็นชูริมที่มีคุณภาพสูงให้เนื้อสัมผัสของเจลที่ดี (Itoh et al, 1979) โดยมีค่า gel strength ที่สูง (Itoh, Y., Yoshinaka, R. and Tsai, CY, 1979) และ gel-forming ability ที่ดี (Roussel, H and Cheftel, JC, 1990; Jiang, S.T., Hsieh, Ho and Jiang, S.H., 1998)

และในปี 2005 Benjakul, Thongkaew และ Visessanguan ได้นำสารรีดิวชิงซ์ทรายชนิดได้แก่ ชิสทีอิน กรดแอกโซบิก และโซเดียมซัลไฟฟ์ เข้มข้นร้อยละ 0.05-0.2 ใส่ผสมในการเตรียมชูริมจากปลาทะเล เช่น พบว่า ค่า gel-forming ability เพิ่มขึ้น ได้เนื้อสัมผัสของผลิตภัณฑ์ชูริมที่ดี เนื่องจากสารรีดิวชิงซ์ที่เกิดขึ้นจากการออกซิเดชันของกรดอะมิโนในเนื้อปลาระหว่างการแช่แข็ง ถูกทำลายลง ส่งผลให้ปรตีนกลับคืนสู่สภาพธรรมชาติก่อนการแช่แข็งได้ (Jiang, Lan and Tsai, 1986; Jaing, Hwang and Tsao, 1987) ในปี 2007 ได้มีความพยายามของนักวิจัยญี่ปุ่น ในการนำสารรีดิวชิงซ์บางชนิด ได้แก่ โซเดียมซัลไฟฟ์ ชิสทีอิน และไคโทโอดิทอล ซึ่งมีคุณสมบัติทำลายพันธะไดซัลไฟฟ์มาใช้ในการปรับปรุงคุณลักษณะเนื้อสัมผัสของข้าวญี่ปุ่นพันธุ์ อะคิตะ โคเระมะจิ (Akitakomachi) โดยพบว่าสารรีดิวชิงซ์มีผลในการทำลายพันธะไดซัลไฟฟ์ทำให้ขนาดโมเลกุลของปรตีนมีขนาดลดลง และสามารถลดค่าความแข็งขณะเดียว กันก็เพิ่มความหนึบของตัวอย่างข้าว เก่าได้ (Ohno, Tomatsu, Toeda and Ohisa, 2007) ผลที่เกิดขึ้นนี้ มีความน่าสนใจที่จะนำมาใช้เป็นแนวทางการศึกษาในกลุ่มของข้าวไทย โดยเฉพาะข้าวหอมมะลิที่เป็นข้าวคุณภาพดี ได้รับความนิยมในการบริโภคสูงทึ้งในและต่างประเทศ เพื่อเป็นแก้วปัญหาคุณภาพข้าวที่ด้อยลงในระหว่างการเก็บรักษา โดยการศึกษารังนี้ มีวัตถุประสงค์เพื่อการศึกษาชนิด และระดับความเข้มข้นของสารละลายรีดิวชิงซ์ ต่อเนื้อสัมผัสของข้าว รวมถึงขนาดโมเลกุลของปรตีนในข้าวสูกที่ผ่านการหุงด้วยสารรีดิวชิงซ์

5.3 วัสดุอุปกรณ์และวิธีดำเนินการวิจัย

5.3.1 วัสดุทดลอง

ตัวอย่างข้าวเปลือกพันธุ์ข้าวคอกมะลิ 105 ซึ่งมาจากศูนย์วิจัยข้าวอุบลราชธานี ตั้งอยู่ที่บ้านหนองขอน ต.เขื่องใน อ.เมือง จ.อุบลราชธานี โดยเป็นตัวอย่างข้าวที่เก็บเกี่ยวใหม่ปี 2551 และตัวอย่างข้าวเปลือกที่เก็บไว้ที่อุณหภูมิห้องเป็นเวลา 1 ปี

5.3.2 การเตรียมตัวอย่างข้าวสูก

หุงข้าวในอ่างน้ำควบคุมอุณหภูมิแบบมีฝาปิด โดยเติมน้ำให้ได้ระดับอย่างน้อยเท่ากับครึ่งหนึ่งของความสูงอ่าง ตั้งอุณหภูมิไว้ที่ 100 องศาเซลเซียส จากนั้นชั่งน้ำหนักกระป่องอะลูมิเนียมพร้อมฝาปิดแล้วบันทึกน้ำหนักที่แน่นอนไว้ ชั่งตัวอย่างข้าวสารให้ได้น้ำหนักที่แน่นอน ใส่ในกระป่องอะลูมิเนียมจำนวน 31 กระป่อง โดยแบ่งเป็น 2 กลุ่ม คือ ชั่งข้าวใหม่ใส่ กระป่องใบที่ 1 และ 2 แล้วชั่งข้าวเก่าใส่ในกระป่องใบที่เหลือจนครบ 31 ใบ จากนั้น เติมน้ำกลันในกระป่องอะลูมิเนียมใบที่ 1 และ 3 เติมสารละลายโซเดียมซัลไฟฟ์เข้มข้น 5, 10 และ 15 มิลลิโมลาร์

ในกระปองใบที่ 4, 5 และ 6 ตามลำดับ เติมสารละลายนิสทีอิน เข้มข้น 5, 10 และ 15 มิลลิโตร์ ในกระปองใบที่ 7, 8 และ 9 ตามลำดับ เติมสารละลายนิสทีอิน ความเข้มข้น 5, 10 และ 15 มิลลิโตร์ ในกระปองใบที่ 10, 11 และ 12 ตามลำดับ เติมละลายนิฟอตเฟสน้ำฟลูอิเดอร์เข้มข้น 0.05 โตร์ ในกระปองใบที่ 2 และ 13 เติมสารละลายนิสทีอิน ความเข้มข้น 5, 10 และ 15 มิลลิโตร์ ซึ่งละลายนิฟอตเฟสน้ำฟลูอิเดอร์เข้มข้น 0.05 โตร์ ในกระปองใบที่ 14, 15 และ 16 ตามลำดับ เติมสารละลายนิสทีอิน ที่ความเข้มข้น 5, 10 และ 15 มิลลิโตร์ ซึ่งละลายนิฟอตเฟสน้ำฟลูอิเดอร์ เข้มข้น 0.05 โตร์ ในกระปองใบที่ 17, 18 และ 19 ตามลำดับ เติมสารละลายนิสทีอิน ความเข้มข้น 5, 10 และ 15 ซึ่งละลายนิฟอตเฟสน้ำฟลูอิเดอร์เข้มข้น 0.05 มิลลิโตร์ ในกระปองใบที่ 20, 21 และ 22 ตามลำดับ เติมน้ำกลั่นพีเอช 9.51, 9.46 และ 9.63 ที่ปรับด้วยสารละลายนิสทีอิน ให้เข้มข้น 0.01 โตร์ ในใบที่ 23, 24 และ 25 ตามลำดับ เติมน้ำกลั่นพีเอช 3.30, 3.15, 3.07 ที่ปรับด้วยสารละลายนิสทีอิน 0.01 โตร์ ในกระปองใบที่ 26, 27 และ 28 ตามลำดับ และสุดท้าย เติมน้ำกลั่นพีเอช 5.59, 5.38 และ 5.34 ที่ปรับด้วยสารละลายนิสทีอิน ให้เข้มข้น 0.01 โตร์ ในกระปองใบที่ 29, 30 และ 31 ตามลำดับ

โดยใช้น้ำหนักตัวอย่าง และปริมาณน้ำหรือสารละลายน้ำที่ระบุไว้ในตาราง 5.1 เท่า กระปองเล็กน้อยเพื่อให้พิวน้ำของตัวอย่างข้าวเรียบเสมอ กัน วางแผนพลาสติกกลมใส่ที่ตัดเตรียมให้ขนาดพอดีกับขอบผนังด้านในของกระปองปิดทับด้านบนตัวอย่าง ปิดฝากระปองให้สนิท โดยใช้เทปการปิดทับรอยต่อระหว่างฝา กับ ตัวกระปองให้สนิท เพื่อป้องกันน้ำระเหยข้าวออกจากภาชนะ ขณะให้ความร้อนตัวอย่าง หลังจากเติมน้ำให้ทำการจับเวลา 10 นาที เมื่อครบเวลาทำการป้อง อะลูมิเนียมที่ได้ตัวอย่าง และปิดสนิทแล้วตั้งในอ่างน้ำควบคุมอุณหภูมิที่เตรียมไว้ ใช้เวลาเท่ากับเวลาในการหุงดังตารางที่ 5.1 เมื่อครบเวลาทำการป้องตัวอย่างข้าวออกจากอ่างน้ำควบคุมอุณหภูมิ ทำการ พลิกก้นให้กลับกระปองกลับอยู่ด้านบนเพื่อกระจายความชื้นของตัวอย่างให้สม่ำเสมอ ไม่ให้เกิด การสะสมความชื้นที่ก้นกระปอง ตั้งทิ้งไว้ให้เย็นเป็นเวลา 2 ชั่วโมง จากนั้นนำตัวอย่างที่ได้ไปให้ ความร้อนช้าในอ่างน้ำเดือดอีกรอบ เป็นเวลา 7 นาที เนื่องจากในการหุงข้าวเพื่อวัดเนื้อสัมผัสมีการ ใส่ตัวอย่างครั้งละมาก ๆ ปริมาณความร้อนที่ตัวอย่างได้รับจะมีค่าน้อยกว่าในขั้นตอนการทำเวลาใน การหุงข้าวที่หาได้ในตอนแรกจึงต้องเพิ่มเวลาในการให้ความร้อนเพื่อให้ตัวอย่างสุกพอดี และเมื่อ ครบเวลา นำตัวอย่างข้าวออกจากอ่างน้ำควบคุมอุณหภูมิ พลิกให้ก้นกระปองกลับมาอยู่ด้านบน อีกรอบแล้วตั้งทิ้งไว้เป็นเวลา 4 ชั่วโมง ซึ่งน้ำหนักตัวอย่างที่เย็นแล้วเพื่อตรวจสอบปริมาณความชื้น โดยกำหนดให้ปริมาณน้ำในตัวอย่างระเหยออกไปไม่เกินร้อยละ 5

อัดตัวอย่างข้าวในกระปองด้วยแรงคงที่ขนาด 500 กรัม ให้ได้ระดับความสูงของทุก ตัวอย่าง เท่ากับระดับความสูงของข้าวใหม่ที่หุงสุกแล้ว โดยทำการวัดระดับความสูงจากด้านก้น

กระป่องขึ้นสู่ด้านบนกระป่องมีค่าประมาณ 2 เซนติเมตร เมื่ออัดตัวอย่างเสร็จทุกครั้ง นำตัวอย่างที่อัดได้ระยะความสูงเหลือไปชั่งตัวอย่างอีกครั้ง โดยนำหนักที่ชั่งได้ค่ามีค่าใกล้เคียงน้ำหนักเดิมหลังหุงสุก เพื่อให้แน่ใจว่านำตัวอย่างระเหยออกจากในปริมาณน้อย

ตารางที่ 5.1 ปริมาณตัวอย่าง น้ำ และเวลาที่ใช้ในการหุงข้าว

Treatment samples	Sample weight (g)	Cooking water (ml)	Soaking time (s)	Cooking time (s)
Fresh rice	20	30	10	21
Aged rice 1 y	20	36	10	22

5.3.3 การวัดเนื้อสัมผัสข้าวสุก

วัดเนื้อสัมผัสด้วยเครื่องวัดเนื้อสัมผัส (ยี่ห้อ Texture analyzer รุ่น TA-XTplus ประเทศสหราชอาณาจักร) ที่มี load cell เท่ากับ 50 กิโลกรัม โดยนำตัวอย่างข้าวสุกที่เตรียมได้ตามวิธีการในบทที่ 3 ข้อ 3.3.9.3 มาวัดเนื้อสัมผัสแบบคอมเพลสชัน (compression) โดยใช้หัววัดทรงกระบอก (cylinder probe) ขนาด 35 มิลลิเมตร ตั้งระดับความสูงเริ่มต้นของหัววัดกับฐาน เท่ากับ 50 มิลลิเมตร และตั้งค่า pretest speed 1 มิลลิเมตร / วินาที posttest speed 1 มิลลิเมตร / วินาที กำหนดระยะที่หัววัดกดอัดลงไปที่ผิwtตัวอย่างที่ความลึก 1.2 เซนติเมตร ค่าที่วัดได้จะอยู่ในรูปของค่าแรง (force) ที่เกิดขึ้นระหว่างหัววัดกับตัวอย่างในหน่วยกรัม และรายงานผลเป็นค่าความแข็ง (hardness) และ ค่าการเกาะติดกันของเมล็ดข้าวสุก (stickiness)

5.3.4 คุณสมบัติการเกิดเพสท์ของแป้งในสารละลายรีดิวชิงชี้ (Pasting properties)

คำนวณหานำหนักตัวอย่าง และปริมาณสารละลายที่จะใช้ในการเตรียมตัวอย่าง คำนวณได้จากสูตรนี้

$$W = (25 + A - S)$$

$$S = \frac{(86 \times A)}{(25 + A - M)}$$

- เมื่อ S คือ น้ำหนักที่ปรับแล้ว (กรัม)
 A คือ น้ำหนักแบ่งที่ความชื้นร้อยละ 14 ในที่นี้คือ 3 กรัม
 M คือ ความชื้นของแบ่งที่จะวัด (ร้อยละ)
 W คือ น้ำหนักของน้ำที่ปรับแล้ว (กรัม)

ทำการซั่งสารละลายรีดิวชิงซ์แต่ละชนิด ได้แก่ โซเดียมชัลไฟฟ์แอนไฮดรัส, กรดแอกโซอร์บิก และ ซิสทีอิน ที่ระดับ 5, 10 และ 15 มิลลิโมลาร์ และได้ไทโอดิทอล (DTT) เข้มข้น 0.05 มิลลิโมลาร์ (คำนวณได้จากสูตร) ใส่ในระบบอกไส่ตัวอย่าง (RVA canister) จากนั้นซั่งตัวอย่างแบ่งข้าวเก่า น้ำหนักตามที่คำนวณได้จากสูตรใส่ลงในระบบอกไส่ตัวอย่างที่มีสารรีดิวชิงซ์ให้ได้น้ำหนักแน่นในระบบอกละ 3 กรัม โดยทำการซั่งและวัดที่ละระบบอก วนจนแบ่งกับสารละลายรีดิวชิงซ์ ผสมเข้ากันดีด้วยในภาชนะพลาสติก (plastic paddle) นำไปวัดความหนืดด้วย ใช้เครื่องวิเคราะห์ความหนืดแบบรุ่น RVA model 4, New port scientific, Australia ใช้โปรแกรมการวัดแบบ standard1 คือ สารละลายแบ่งจะถูกการผสมอย่างรวดเร็วที่ 10 วินาทีแรกด้วยความเร็ว 960 รอบต่อนาที จากนั้นลดความเร็วมาที่ 160 รอบต่อนาทีคงที่ตลอดการวัด โดยสารละลายจะถูกให้ความร้อนที่อุณหภูมิ 50 องศาเซลเซียส คงไว้เป็นเวลา 1 นาที จากนั้นเพิ่มระดับอุณหภูมิ จาก 50 เป็น 95 องศาเซลเซียส ด้วยอัตราเร็ว 12.2 องศาเซลเซียสต่อนาที ในเวลา 3 นาที 42 วินาที (นาทีที่ 4.42) คงอุณหภูมิไว้ที่ระดับ 95 องศาเซลเซียสเป็นเวลา 3 นาที 30 วินาที (นาทีที่ 7.12) ก่อนที่จะลดอุณหภูมิลงไปที่ 50 องศาเซลเซียสซึ่งใช้เวลา 3 นาที 48 วินาที (นาทีที่ 11) คงอุณหภูมิไว้ที่ 50 องศาเซลเซียสเป็นเวลา 1 นาที ใช้เวลาในการวัดตัวอย่างเท่ากับ 13 นาที ผลความหนืดแสดงในหน่วย อาร์วิชู (RVU) รายงานเป็นค่า peak viscosity, though, final viscosity, pasting temperature และ peak time ค่า setback และ breakdown คำนวณโดย setback = peak viscosity – final viscosity และ breakdown = peak viscosity – though

5.3.5 การเตรียมตัวอย่างข้าวเก่าที่ปรับปรุงคุณภาพด้วยสารรีดิวชิงซ์

พิจารณาเลือกสารรีดิวชิงซ์ ที่ให้คุณลักษณะการเกิดเพสท์ตัวอย่างข้าวเก่าเปลี่ยนแปลงใกล้เคียงกับฟลาร์วข้าวใหม่มากที่สุดมา 1 ชนิด จาก 3 ชนิด ในที่นี้คือ โซเดียมชัลไฟฟ์แอนไฮดรัส ศึกษาผลที่เกิดขึ้นจากการใช้สารรีดิวชิงซ์ต่อคุณภาพ โปรดตินก่อนการให้ความร้อน โดยมีการเตรียมตัวอย่างด้วยวิธีการแช่และอบตัวอย่าง โดยเตรียมข้าวครูปัชมพุ่งนาด 600 มิลลิลิตร 5 ใบใส่สารละลายโซเดียมชัลไฟฟ์เข้มข้น 0, 5, 10 และ 15 มิลลิโมลาร์ และได้ไทโอดิทอลเข้มข้น 5 มิลลิโมลาร์ ปริมาตร 250 มิลลิลิตร ปิดปากขวดด้วยฟิล์มพลาสติก โดยเจาะรูขนาดเล็กให้ทั่วบริเวณไว้ (เพื่อลดแรงดันของ

ไอน้ำขณะแห้งตัวอย่าง) นำไปตั้งในอ่างน้ำควบคุมอุณหภูมิ 37 องศาเซลเซียส เป็นเวลา 15 นาที เพื่อปรับให้อุณหภูมิของสารละลายมีค่าเท่ากับอุณหภูมิของน้ำในอ่าง จากนั้นชั่งข้าวสารน้ำหนัก 250 กรัม เทใส่ในภาชนะปูมพู่เขย่าให้ตัวอย่างกระจายสม่ำเสมอแล้วปิดฝาไว้ด้วยแผ่นฟิล์มพลาสติก ตั้งรอบการเขย่าที่ 100 รอบต่อนาที ใช้เวลา 6 ชั่วโมง จากนั้นเทตัวอย่างบนตะแกรงรูเล็กเพื่อสตั๊ดน้ำออกจากตัวอย่าง และใช้น้ำสารละลายส่วนเกินออกโดยให้น้ำไหลผ่านตัวอย่างขณะอยู่บนตะแกรงเป็นเวลา 5 นาที ตั้งทิ้งไว้ให้เมล็ดข้าวสารสะเด็คน้ำ เทเมล็ดข้าวใส่ถ้วยอะลูมิเนียมที่ปูรองไว้ด้วยกระดาษทิชชู เกลี่ยให้เมล็ดข้าวกระจายสม่ำเสมอทั่วถ้วย ให้ได้ความหนาประมาณ 0.5 เซนติเมตร และปิดทับตัวอย่างด้วยกระดาษทิชชู นำไปอบไอล์ความชื้นด้วยตู้อบลมร้อนที่อุณหภูมิ 50 องศาเซลเซียส เป็นเวลา 12 ชั่วโมง โดยทำการพลิกกลับตัวอย่างทุกๆ 30 นาที นำตัวอย่างที่ໄล์น้ำออกแล้วใส่ถุงซิพพลาสติก จากนั้นนำตัวอย่างประมาณ 50 กรัมนำไปบดด้วยเครื่องบดตัวอย่างที่ควบคุมอุณหภูมิตัวอย่างได้ 15 องศาเซลเซียสโดยใช้เวลา 8 รอบนาที จากนั้นนำไปปั่นที่บดแล้วมาผ่านตะแกรงร่อง เลือกแบ่งที่มีขนาดอนุภาค ≤ 125 ไมโครเมตร เก็บใส่ถุงพลาสติกใส่เพื่อรักษาไว้ระหว่างคุณลักษณะการเกิดเพสท์ตามวิธีในข้อ 5.3.4 และศึกษาในหัวข้อที่เกี่ยวข้องกับโปรตีนต่อไป

5.3.6 การเตรียมสารละลายโปรตีนสกัด

การสกัดโปรตีนจากข้าวที่แข็งสารริบิวซิงซ์ นำตัวอย่างแบ่งที่เตรียมได้จากข้อ 5.3.5 มาซึ่งน้ำหนัก 250 มิลลิกรัม ใส่ในหลอดปั่นเหวี่ยงขนาด 50 มิลลิลิตร เติมน้ำกลันปริมาตร 30 มิลลิลิตร ปั่นผสมให้เข้ากัน เบย่าด้วยเครื่องเบย่าที่อุณหภูมิห้อง ใช้ความเร็ว 300 รอบต่อนาที เป็นเวลา 15 นาที นำไปปั่นเหวี่ยงที่อุณหภูมิ 4 องศาเซลเซียส ความเร็วรอบ 10,000 xg เป็นเวลา 10 นาที เทสารละลายส่วนใสทิ้งไป ละลายตะกอนแบ่งด้วยน้ำกลัน 30 มิลลิเมตร เบย่าและปั่นเหวี่ยงตามช้าทึบหมด 6 รอบ นำตะกอนแบ่งที่ล้างสารริบิวซิงซ์ออกไปแล้วมาสกัดโดยเติมสารละลายโซเดียมไฮดรอกไซด์เบ้มขัน 10 มิลลิโนลาร์ หรือสารละลายโซเดียมไฮดรอกไซด์เบ้มขัน 10 มิลลิโนลาร์ที่มีโซเดียมโคเดซิลซัลเฟตเบ้มขันร้อยละ 1 ปริมาตร 5 มิลลิลิตร เบย่าตลอดเวลาที่อุณหภูมิห้องความเร็ว 240 รอบต่อนาที เป็นเวลา 2 ชั่วโมง นำไปปั่นเหวี่ยงที่อุณหภูมิ 4 องศาเซลเซียส ความเร็วรอบ 10,000 xg เวลา 15 นาที ถ่ายสารละลายส่วนใสลงในหลอดปั่นเหวี่ยงหลอดใหม่ นำไปวิเคราะห์ต่อไป

5.3.7 การวิเคราะห์ขนาดโมเลกุลโปรตีนด้วยเทคนิคอิเล็กโทรโฟรีซีส (SDS-PAGE)

ตามวิธีการของ Laemmli (1970) โดยนำตัวอย่างโปรตีนสักด้าจากข้อ 5.3.6 ที่ทราบความเข้มข้นแล้ว (วิเคราะห์ตามวิธีการ Lowry ในภาคผนวก ก.) ผสมกับทริเม็นต์บัฟเฟอร์ซึ่งประกอบด้วยทริส-ไฮโดรคลอริก (Tris-HCl) เข้มข้น 0.125 มोลาร์ (พีเอช 6.8) ที่มี SDS เข้มข้นร้อยละ 4 กลิเชอรอล (glycerol) เข้มข้นร้อยละ 20 ในอัตราส่วน 1 ต่อ 1 โดยปริมาณของโปรตีนสักด้าที่ใช้คือ 25 ไมโครกรัม โหลดสารละลายโปรตีนที่ผสมกับทริเม็นต์บัฟเฟอร์แล้วที่ด้านบนของแผ่นเจลตามช่องที่เตรียมไว้ ตัวอย่างที่ผสมทริเม็นต์บัฟเฟอร์ที่เบต้า-เมอร์แคปโตเอทานอล เข้มข้นร้อยละ 10 ก่อนโหลดโปรตีนจะต้องนำไปให้ความร้อนที่ 99 ± 1 องศาเซลเซียสเป็นเวลา 4 นาที เช่นเดียวกับโปรตีนมาตรฐาน (standard protein marker) ความเข้มข้นของอะคริลิคไมด์ในเจลรันning (running gel) มีค่าเท่ากับร้อยละ 12.5 และ 15 และเจลสแต็คกิ้ง (stacking gel) มีค่าเท่ากับร้อยละ 4 โดยให้กระแสไฟความต่างศักย์เท่ากับ 120 โวลต์ ข้อมูลตัวอย่างด้วยสารละลายที่ประกอบด้วย 1.25 กรัม comassie blue R-250 และล้างสีข้อมูลด้วยสารละลายที่ประกอบด้วยเอทานอลเข้มข้นร้อยละ 10 กับกรดอะซิติกเข้มข้นร้อย 10 และใช้ standard protein marker สำหรับเปรียบเทียบ molecular weight

5.3.8 การวิเคราะห์ปริมาณพื้นผิวไฮdroไฟบิกของโปรตีน (Surface hydrophobicity)

ตัดแปลงจากวิธีการของ Paraman 2007 และ Kato and Nakai (1980) ดูดสารละลายโปรตีนที่สักด้าได้จากข้อ 5.3.6 ใส่หลอดทดลองขนาดเล็กให้ได้ปริมาตรเท่ากับ 0, 0.1, 0.15, 0.2, 0.25 และ 0.3 มิลลิลิตร ตามลำดับ จากนั้นเติมสารละลายคาร์บอนเนต ใบคาร์บอนเนตบัฟเฟอร์ (พีเอช 10) ความเข้มข้น 50 มิลลิโนลาร์ ปริมาตร 2.0, 1.9, 1.85, 1.80, 1.75 และ 1.70 มิลลิลิตร ตามลำดับ ผสมให้เข้ากัน เติมสารละลาย 1-anilino-8-naphlene sulfonate (ANS) (พีเอช 7.0) ที่เข้มข้น 8 มิลลิโนลาร์ ปริมาตร 10 ไมโครลิตร ในทุกหลอด ผสมให้เข้ากันภายในเวลา 5 วินาที ตั้งไว้ในที่มีค่าเป็นเวลา 10 นาที นำไปวัดค่าการเรืองแสงของตัวอย่างด้วยเครื่องสเปกโทรฟลูออโรมิเตอร์ (ยี่ห้อ Shimadzu, โมเดล RF-1501, ประเภทญี่ปุ่น) เลือกวัดค่าตัวอย่างสารละลายในโหมดโลเซนซิทิวิตี้ (low sensitivity) โดยกำหนดความกว้างของสลิต (slit) ที่ 10 มิลลิเมตร รายงานค่าปริมาณพื้นผิวไฮdroไฟบิก (surface hydrophobicity, S_0) ของตัวอย่าง ได้จากการคำนวณชั้น (ϵ) ของกราฟความสัมพันธ์ระหว่างค่าความเข้มของการเรืองแสง (fluorescence intensity) (แกน y) ของตัวอย่าง กับความเข้มข้นของโปรตีนในตัวอย่าง มิลลิกรัม/มิลลิลิตร (แกน x) จากสมการ

$$A = \epsilon bc$$

- เมื่อ A คือ ค่าความเข้มของการเรืองแสง (flourescence intensity; FI)
- b คือ path length มีค่าเท่ากับ 1
 - c คือ ความเข้มข้นของสารละลายโปรตีน

โดยในกรณีตัวอย่างที่เป็นฟลาร์ว

$$\text{Fluorescence Intensity (Net_FI)} = FI_{sample} - FI_{blank1}$$

ในกรณีตัวอย่างที่เป็นฟลาร์วข้าวสุก

$$\text{Fluorescence Intensity (Net_FI)} = FI_{sample} - F_{blank1} - FI_{blank2}$$

- เมื่อ FI_{sample} คือ ค่าการเรืองแสงที่วัดได้จากตัวอย่างที่เติม ANS
 F_{blank1} คือค่าการเรืองแสงของสารละลายที่มีตัวอย่าง (blank 1)
 FI_{blank2} คือ ค่าการเรืองแสงของตัวอย่างที่ไม่เติม ANS (blank 2)

5.3.9 การวิเคราะห์ปริมาณหมู่ชัลไฮดริล (Total SH) และ พันธะไดซัลไฟด์ (SS)

5.3.9.1. การวิเคราะห์ปริมาณหมู่ชัลไฮดริลทั้งหมด (Total SH)

ปริมาณ Total SH วิเคราะห์ได้โดยอาศัยปฏิกิริยาระหว่าง Ellman's reagent (5,5'-dithiobis(2-nitrobenzoic acid) หรือ DTNB) กับกลุ่มไฮดรออล (thiol group; SH) ของโปรตีน ซึ่งคัดแปลงจากการของ Mine (1997) โดยนำตัวอย่างโปรตีนสักด้วยปริมาตร 500 ไมโครลิตร ผสมกับสารละลายบัฟเฟอร์ที่ประกอบด้วยทริส-ไฮド록โซอะซิติก (Tris-HCl) เข้มข้น 0.5 มोลาร์ pH 8.0 ที่มีอีทิลีนไคอะมีนเตตระอะซิติก (ethylenediaminetetraacetic acid; EDTA) เข้มข้น 10 มิลลิโมลาร์ และ ยูเรีย เข้มข้น 8 มोลาร์ (0.5 M Tris-HCl, 10 M EDTA, 8 M urea; pH 8) ปริมาตร 4.5 มิลลิลิตร ปีเปตสารละลายตัวอย่างที่ผสมบัฟเฟอร์แล้วปริมาตร 2 มิลลิลิตร ใส่หลอดทดลองขนาดเล็ก เติมสารละลาย DTNB เข้มข้นร้อยละ 0.1 ปริมาตร 0.2 มิลลิลิตร (DTNB เข้มข้นร้อยละ 0.1 ในโซเดียมไดไฟฟอฟฟ์ NaH_2PO_4) เข้มข้น 50 มิลลิโมลาร์ นำไปปั่นในอ่างน้ำควบคุมอุณหภูมิที่ 40 องศาเซลเซียส เป็นเวลา 25 นาที เตรียมตัวอย่าง blank โดยใช้น้ำกลั่น ปริมาตร 500 ไมโครลิตร ผสมกับสารละลายบัฟเฟอร์ 4.5 มิลลิลิตร แทนสารละลายโปรตีนสักด้วยสารละลายผสมของ blank ที่เตรียมได้ ปริมาตร 2 มิลลิลิตร เติมสารละลาย DTNB เข้มข้นร้อยละ 0.1 ปริมาตร 0.2 มิลลิลิตร

วัดค่าการดูดกลืนแสงที่ 412 นาโนเมตร ด้วยเครื่องยูวี วิสซิเบล สเปกโตรโฟโตมิเตอร์ (UV-Visible Spectrophotometer) โดยทำการวิเคราะห์ 3 ชั้น ปริมาณ total SH คำนวณได้โดยอาศัยค่าสัมประสิทธิ์ การดูดกลืนแสง (extinction coefficient) เท่ากับ $13600\text{M}^{-1}\text{cm}^{-1}$ คำนวณจากการ

$$\mu\text{mol SH/g} = 73.53A_{412} (\text{D/C})$$

- เมื่อ A_{412} คือ ค่าการดูดกลืนแสงที่ 412 นาโนเมตร
 C คือ ความเข้มข้นของตัวอย่างในหน่วย มิลลิกรัมต่อมิลลิลิตร
 D คือ dilution factor ซึ่งเท่ากับ 10

5.3.9.2. การวิเคราะห์ปริมาณอนุชัลไฮดราฟฟ์ และอนุชัลไฟฟ์ (Total SH + SS)

การวัดปริมาณของ Total SH+SS ตามวิธีการของ Thannhauser และคณะ (1984) โดยอาศัยการทำปฏิกิริยาของ 2-ไนโตร-5-ไธโซลไฟฟ์ เม็นโซเอท (2-nitro-5-thiosulfobenzoate ; NTSB) กับสารละลายโปรตีน ในสภาวะที่มีอนุชัลไฟฟ์ (SO_3^-) โดยนำสารละลายโปรตีนที่สกัดได้ปริมาตร 500 ไมโครลิตร (ที่ทราบความเข้มข้นโดยวิธี Lowry) ผสมกับสารละลายทริสโซడิคลอเริกบัฟเฟอร์ เข้มข้น 0.5 มोลาร์ ปริมาตร 4.5 มิลลิเมตร (พีเอช 9.5) ที่ประกอบด้วย ยูเรียเข้มข้น 8 มोลาร์ EDTA เข้มข้น 10 มิลลิโมลาร์ และ โซเดียมซัลไฟฟ์ (Na_2SO_3) เข้มข้น 100 มิลลิโมลาร์ (8 M Urea 10 mM EDTA 100 mM Na_2SO_3 , pH 9.5) คุณสารละลายผสมปริมาตร 2 มิลลิลิตร ใส่ในหลอดทดลองขนาดเล็ก เดิม NTSB ปริมาตร 0.02 มิลลิลิตร ผสมให้เข้ากันอย่างรวดเร็ว นำไปบ่มในอ่างน้ำควบคุมอุณหภูมิที่ 40 องศาเซลเซียสเป็นเวลา 25 นาที เตรียมตัวอย่าง blank โดยใช้น้ำกลั่นปริมาตร 500 ไมโครลิตรแทนโปรตีนสกัด วัดค่าการดูดกลืนแสงที่ 412 นาโนเมตร ทำการวิเคราะห์ 3 ชั้น คำนวณค่า Total SH + SS ด้วยวิธีการในข้อ 4.3.7 ข้อย่อยที่ 1 ส่วนพันธะไฮดราฟฟ์ คำนวณโดยนำค่า Total SH ไปหักลบจากค่า Total SH + SS

5.3.10 การวิเคราะห์ทางสถิติ

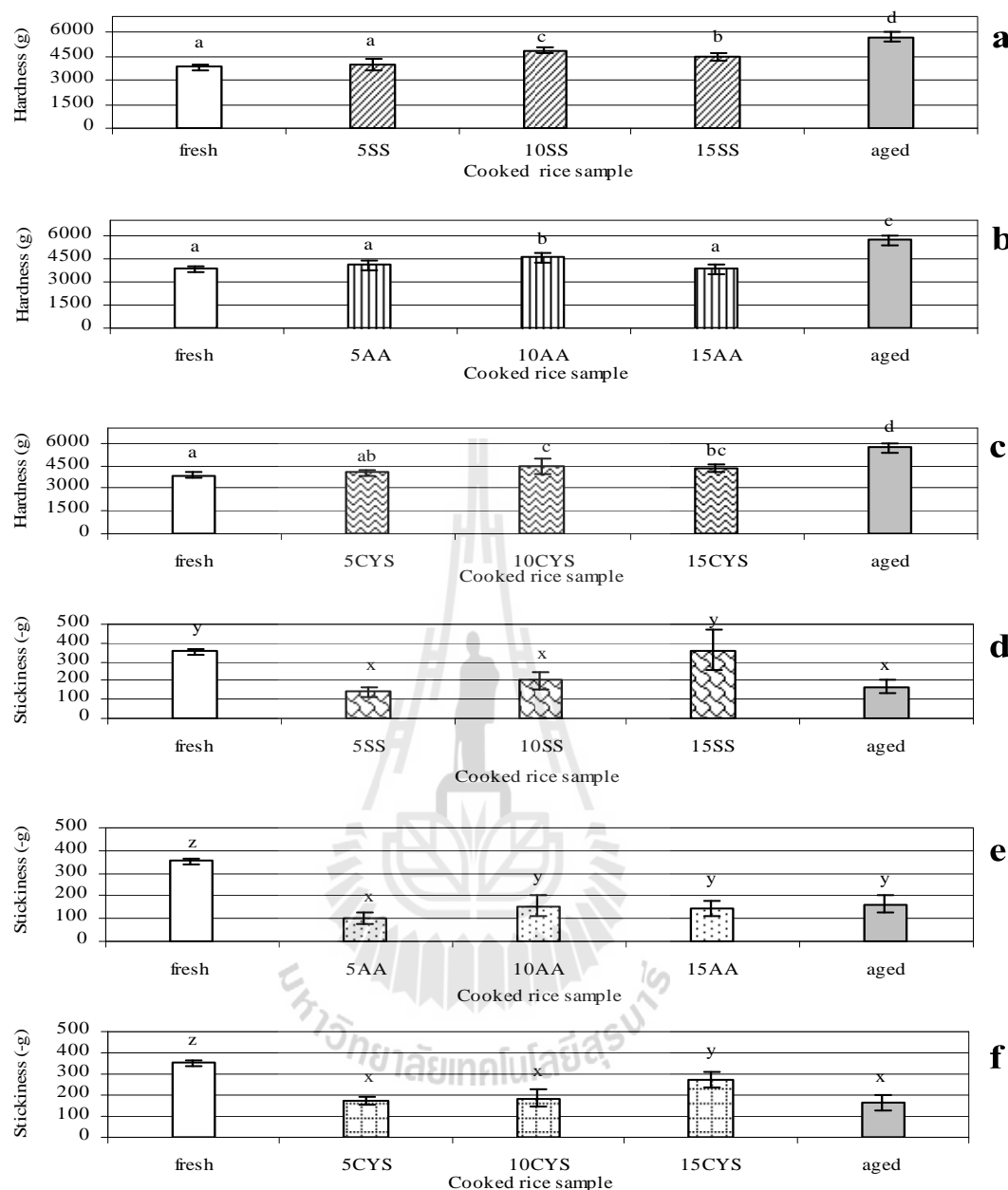
วางแผนการทดลองแบบสุ่มสมบูรณ์ (Completely randomized design: CRD) วิเคราะห์ความแปรปรวนของข้อมูลด้วยการวิเคราะห์ว่าเรียนซ์ (Analysis of Variance: ANOVA) เปรียบเทียบความแตกต่างของค่าเฉลี่ยด้วยวิธี Duncan's New Multiple Range Test (DMRT) โดยใช้โปรแกรม SPSS เวอร์ชัน 14.0

5.4 ผลการทดลอง และวิจารณ์

5.4.1 ผลของสารละลายรีดิวชิงซึ่งต่อเนื่องสัมผัสข้าวสุก

ข้าวเก่าที่หุงด้วยสารละลายรีดิวชิงซึ่งทั้ง 3 ชนิด ได้แก่ โซเดียมซัลไฟฟ์ (SS) กรดแอกซอร์บิก (AA) และซิสทีอีน (CYS) ทั้ง 3 ระดับความเข้มข้น คือ 5, 10 และ 15 มิลลิโมลาร์ (ภาพที่ 5.1a-c) มีความนุ่มนิ่มเพิ่มขึ้นซึ่งสังเกตได้จากค่าความแข็ง (hardness) ที่ลดลง ($p<0.05$) ตั้งแต่ระดับความเข้มข้น 5 มิลลิโมลาร์ ซึ่งเป็นความเข้มข้นต่ำสุดที่ใช้ สอดคล้องกับการศึกษาในข้าวเก่าพันธุ์อะติตะ โคมาจิ (Akitakomachi) เก็บอุณหภูมิ 30 องศาเซลเซียส ที่ 2 และ 5 เดือน ที่หุงด้วยสารละลายโซเดียมซัลไฟฟ์เข้มข้น 8 มิลลิโมลาร์ (Ohno and Ohisa, 2005; Ohno, Tomatsu, Toeda and Ohisa, 2007) และข้าวพันธุ์ Sang Tarom ที่หุงด้วยสารละลายกรดอะซิติก และ กรดแลคติก เข้มข้น 0.05 มิลลิโมลาร์ จะให้ลักษณะข้าวสุกที่มีความนุ่มนิ่ม และเมล็ดข้าวเก่าตัวกันดีขึ้น (Ghasemi, Mosavian and Khodaparast, 2008) ความนุ่มนิ่มที่เกิดขึ้นในข้าวเก่าเป็นผลจากการที่กลุ่มโปรตีนขนาดใหญ่ซึ่งเกาะกลุ่มกันอยู่ด้วยพันธะ ไดซัลไฟฟ์แตกออกเป็นโมเลกุลขนาดเล็ก (Ohno et al, 2007) โดยโปรตีนข้าวเก่าที่อยู่ในเอนโดสเปริร์มจะมีการกระจายตัวเป็นลักษณะตาข่าย (network of proteins) ล้อมรอบเม็ดสตาร์ชไว้ ด้วยกลุ่มโปรตีนที่เชื่อมกันด้วยพันธะ ไดซัลไฟฟ์ จึงเกิดขัดขวางการพองตัว และการเจลต์ในช่องสตาร์ช โดยในระหว่างให้ความร้อนในสภาวะที่มีน้ำโปรตีนจะคลายตัว และรวมตัวกับสตาร์ช (starch-protein complex) เป็นเหมือนตาข่ายขนาดใหญ่ และแข็งแรงโอบอุ้มโมเลกุลของน้ำและสตาร์ชไว้ สารรีดิวชิงซึ่งได้เข้าตัดบริเวณพันธะ ไดซัลไฟฟ์ซึ่งเป็นจุดเชื่อมโมเลกุลโปรตีนดังกล่าวเข้าไว้ด้วยกัน ให้โครงสร้างตาข่าย (network linked) โปรตีนถูกทำลาย (Xie, Chen, Duan, Zhu and Liao, 2008) สตาร์ชสามารถดูดน้ำ และพองตัวได้ เป็นผลทำให้ความแข็งของข้าวเก่าสุกลดลง (Saleh and Meullenet, 2007) สารรีดิวชิงซึ่งทั้ง 3 ชนิด ทำให้โปรตีนที่เปลี่ยนแปลงรูปร่าง (denature) จากการออกซิเดชันซึ่งเกิดขึ้นภายหลังการเก็บ กลับคืนสภาพเดิม (recovered) (Benjakul, Thongkaew and Visessanguan, 2005) โดยเมื่อเปรียบเทียบผลของระดับความเข้มข้นของสารละลายที่ต่างกันต่อประสิทธิภาพสารรีดิวชิงซึ่งพบว่าประสิทธิภาพในการลดความแข็งในข้าวสุกของโซเดียมซัลไฟฟ์ และกรดแอกซอร์บิกจะลดลงเมื่อเพิ่มระดับความเข้มข้นขึ้นเป็น 10 และ 15 มิลลิโมลาร์ตามลำดับ แต่ค่าความแข็งของข้าวเก่าสุกที่หุงด้วยสารรีดิวชิงซึ่งทั้ง 2 ระดับก็ยังลดต่ำกว่าข้าวเก่าที่หุงด้วยน้ำปกติ ($p<0.05$)

เมื่อพิจารณาค่าการเกาะกันของเมล็ดข้าวเก่าสุก ที่หุงด้วยสารละลายทั้ง 3 ชนิด (ภาพที่ 5.1d-f) พบว่าการหุงข้าวด้วยสารละลายรีดิวชิงซึ่งทั้ง 3 ที่ระดับความเข้มข้น 5 มิลลิโมลาร์ ไม่มีผลต่อค่าการเกาะกันของเมล็ดข้าวเก่าสุก ($p>0.05$) และเมื่อเพิ่มความเข้มข้นของสารละลายโซเดียมซัลไฟฟ์และซิสทีอีนเป็น 15 มิลลิโมลาร์ ค่าการเกาะกันของเมล็ดข้าวสุกจะเพิ่มสูงขึ้น (ภาพที่ 5.1d และ 5.1f)



ภาพที่ 5.1 ค่าความแข็ง (a-c) และ ค่าการเกาะตัวกัน(d-f) ของข้าวสุกใหม่ (fresh) เก่า (aged) ที่หุงด้วยน้ำ และข้าวสุกเก่าที่หุงด้วย โซเดียมซัลไฟฟ์ (SS) กรดแอสคอร์บิก (AA) และ ซิสเทอีน (CYS) ที่ความเข้มข้น 5, 10 และ 15 มิลลิโตร์มาร์ ตามลำดับ

แสดงให้เห็นว่า จะต้องใช้ความเข้มข้นของสารละลายโซเดียมซัลไฟฟ์ และซิสเทอีนที่ 15 มิลลิโตร์มาร์ จึงมีผลในการเพิ่มทั้งความนุ่ม และค่าการเกาะกันของเมล็ดข้าวเก่าสุกให้ใกล้เคียงกับข้าวใหม่ได้ จากผลการทดลองอธิบายได้ว่า ค่าการเกาะกันของเมล็ดข้าวสุกเพิ่มขึ้นจากการที่พันธะ

ได้ชัลไฟด์ของ โปรตีนสูกทำลาย โปรตีนที่มีหน่วยย่อขึ้นจิ้งแต่กอกอก ทำให้มีค่าสารซูกน้ำได้เต็มที่ เกิดลักษณะเจลที่มีความเหนียวสั่งผลให้เมล็ดข้าวสุกเกะด้วยสารละลายกรดแอกซอร์บิก (ภาพที่ 5.1e) แต่กลับพบว่า เมล็ดข้าวสุกเกะกันได้น้อยลงในข้าวเก่าที่หุงด้วยสารละลายกรดแอกซอร์บิกเข้มข้น 5 มิลลิโมลาร์ ซึ่งอาจเป็นผลมาจากการค่าพีอ่อนที่ต่ำของสารละลายกรดแอกซอร์บิก (พีอ่อน 3.07-3.30) ในตารางที่ 5.2 ที่มีผลทำลายโกรงสร้างของ โปรตีนไม่เพียงแต่ทำลายพันธุ์ได้ชัลไฟด์ ที่เชื่อมระหว่างหน่วยย่อของ โปรตีนที่เกิดขึ้นภายในห้องเหล็กหุ้นและอาจมีผลในการย่อยโกรงสร้างของสารซูก ทำให้ไม่สามารถเกิดเจลที่มีความเหนียว และยืดหยุ่นได้ จึงให้ผลลักษณะความนุ่มน้ำเพิ่มขึ้นเพียงอย่างเดียวเท่านั้น จากการศึกษาของ Ohishi, Kasai, Shimada และ Hatae (2003) ที่ใช้สารละลายกรดอะซิติกเข้มข้น 0.2 โมลาร์ (พีอ่อน 2.7) แซ่ข้าวพันธุ์ Nipponbare ที่ 50 องศาเซลเซียสเป็นเวลา 1 ชั่วโมง จะให้ลักษณะเนื้อสัมผัสของข้าวที่นุ่มนวลกว่าตัวอย่างที่แซ่น้ำปกติ ซึ่งเป็นผลจากการที่ โปรตีน และสารซูกย่อยให้มีขนาดเล็กลง ทำให้ผิวของเมล็ดข้าวด้านนอกดูดซับน้ำ และพองตัวได้มากขึ้น จึงเกิดลักษณะเจลที่อ่อนนุ่มได้ จากความแตกต่างของเนื้อสัมผัสที่เกิดขึ้นแสดงว่า สารละลายทั้ง 3 ชนิดมีประสิทธิภาพการทำงานที่ต่างกัน โดยสารละลายโซเดียมชัลไฟท์ มีประสิทธิภาพในการปรับเปลี่ยนเนื้อสัมผัสของข้าวเก่าให้มีค่าไกคลีคงกับข้าวใหม่มากที่สุด ($p<0.05$)

สารละลายรีดิวชิงชั้งทั้ง 3 ชนิดจะมีค่าพีอ่อนต่างจากพีอ่อนของน้ำกลั่นแสดงดังตารางที่ 5.1 โดยสารละลายโซเดียมชัลไฟท์มีค่าพีอ่อนเป็นต่าง (9.46-9.63) สารละลายกรดแอกซอร์บิกมีค่าพีอ่อนเป็นกรด (3.07-3.15) และสารละลายซิสทีอินมีค่าพีอ่อนเป็นกรดอ่อน (5.34-5.59) จากค่าพีอ่อนของสารละลายที่แตกต่างจากค่าพีอ่อนน้ำ เชนนั้นค่าพีอ่อนจึงอาจมีส่วนทำให้เนื้อสัมผัสข้าวสุกเปลี่ยนแปลงไปเมื่อหุงด้วยสารละลายรีดิวชิงชั้งทั้ง 3 ชนิด จึงทำการศึกษาผลของพีอ่อนสารละลายต่อเนื้อสัมผัสข้าวต่อไป

5.4.2 ผลของพีอ่อนในสารละลายรีดิวชิงชั้งต่อคุณลักษณะเนื้อสัมผัสของข้าวเก่า

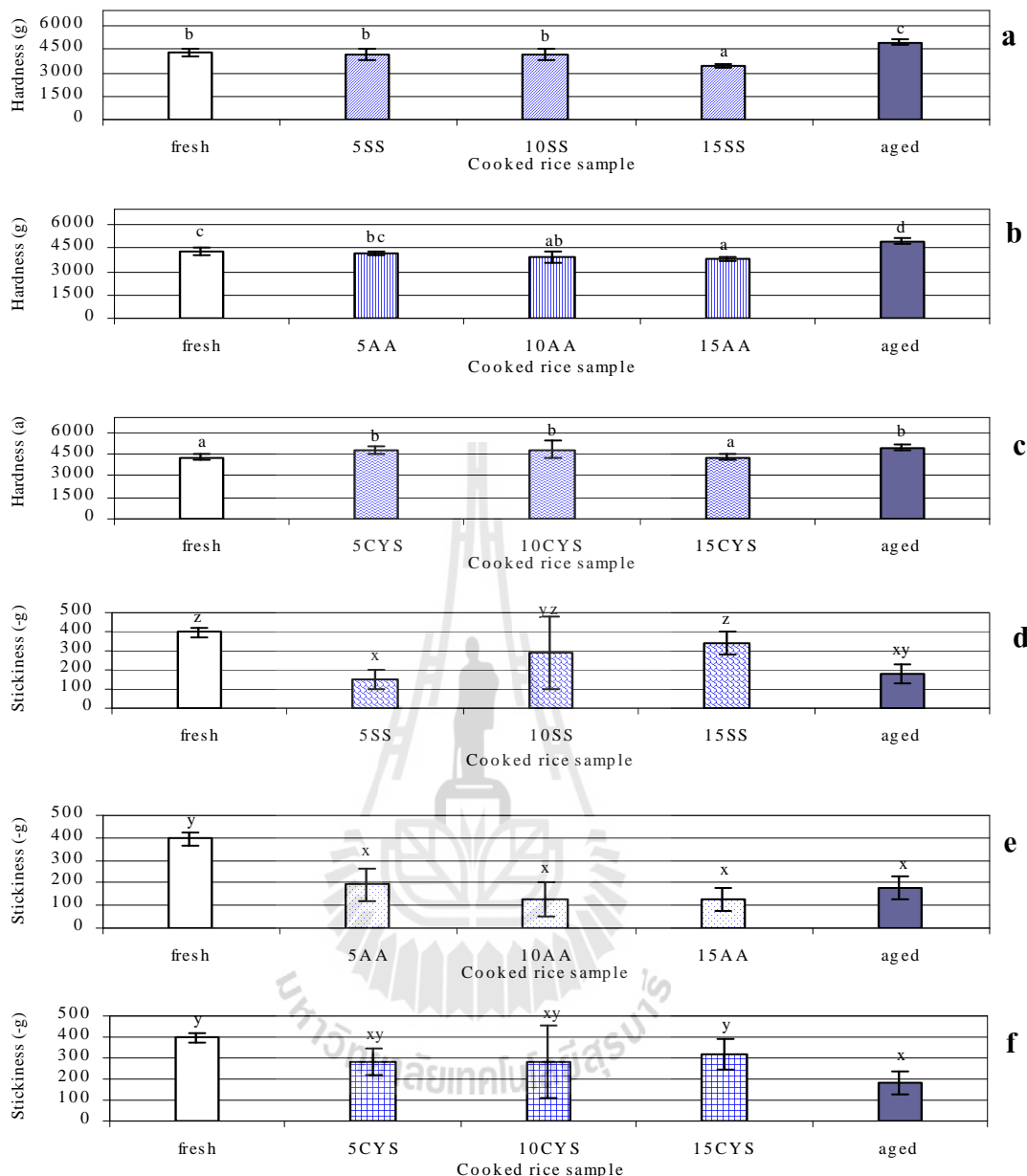
ลักษณะเนื้อสัมผัสของข้าวที่หุงด้วยสารละลายรีดิวชิงชั้งที่ความคุณพีอ่อนด้วยฟอสเฟตบัฟเฟอร์ดังแสดง ในภาพที่ 5.2a-f ตามลำดับ โดยพีอ่อนของสารรีดิวชิงชั้งจะถูกความคุณให้เท่าน้ำกลั่นด้วยระบบบัฟเฟอร์มีค่าอยู่ในช่วง 6.4-7.20 (ตารางที่ 5.2) จะเห็นได้ว่าความแข็งของข้าวสุกยังคงลดลงเช่นกันแม้จะอยู่ในสภาพที่ใช้บัฟเฟอร์ความคุณพีอ่อน (ภาพที่ 5.2a และ 5.2b) โดยในตัวอย่างที่ใช้โซเดียมชัลไฟท์ และกรดแอกซอร์บิก ตั้งแต่ที่ 5 มิลลิโมลาร์ แสดงว่าสารทั้งสองชนิดนี้ยังมีผลในการลดค่าความแข็งของข้าวสุกอย่างที่ชีสทีอินมีอยู่ในสารละลายบัฟเฟอร์สามารถลดค่าความแข็งของเมล็ดข้าวสุกที่ระดับความเข้มข้น 15 มิลลิโมลาร์ (ภาพที่ 5.2c) และแสดงว่าพีอ่อนมีผลต่อประสิทธิภาพของซิสทีอินด้วย

ตารางที่ 5.2 พิ效ของรีดิวชิงซ์ในตัวทำละลายที่เป็นน้ำกลั่น และฟอสเฟตบัฟเฟอร์

Reducing agents	Concentration (mM)	pH value	
		distilled water	phosphate buffer
Sodium sulfite	5	9.46 ± 0.01	7.04±0.01
	10	9.51 ± 0.00	7.24±0.31
	15	9.63 ± 0.01	7.16±0.01
Ascorbic acid	5	3.30 ± 0.01	6.85±0.01
	10	3.15 ± 0.01	6.61±0.01
	15	3.07 ± 0.01	6.42±0.01
Cysteine	5	5.59 ± 0.01	7.00±0.01
	10	5.38 ± 0.03	6.95±0.01
	15	5.34 ± 0.01	6.97±0.01

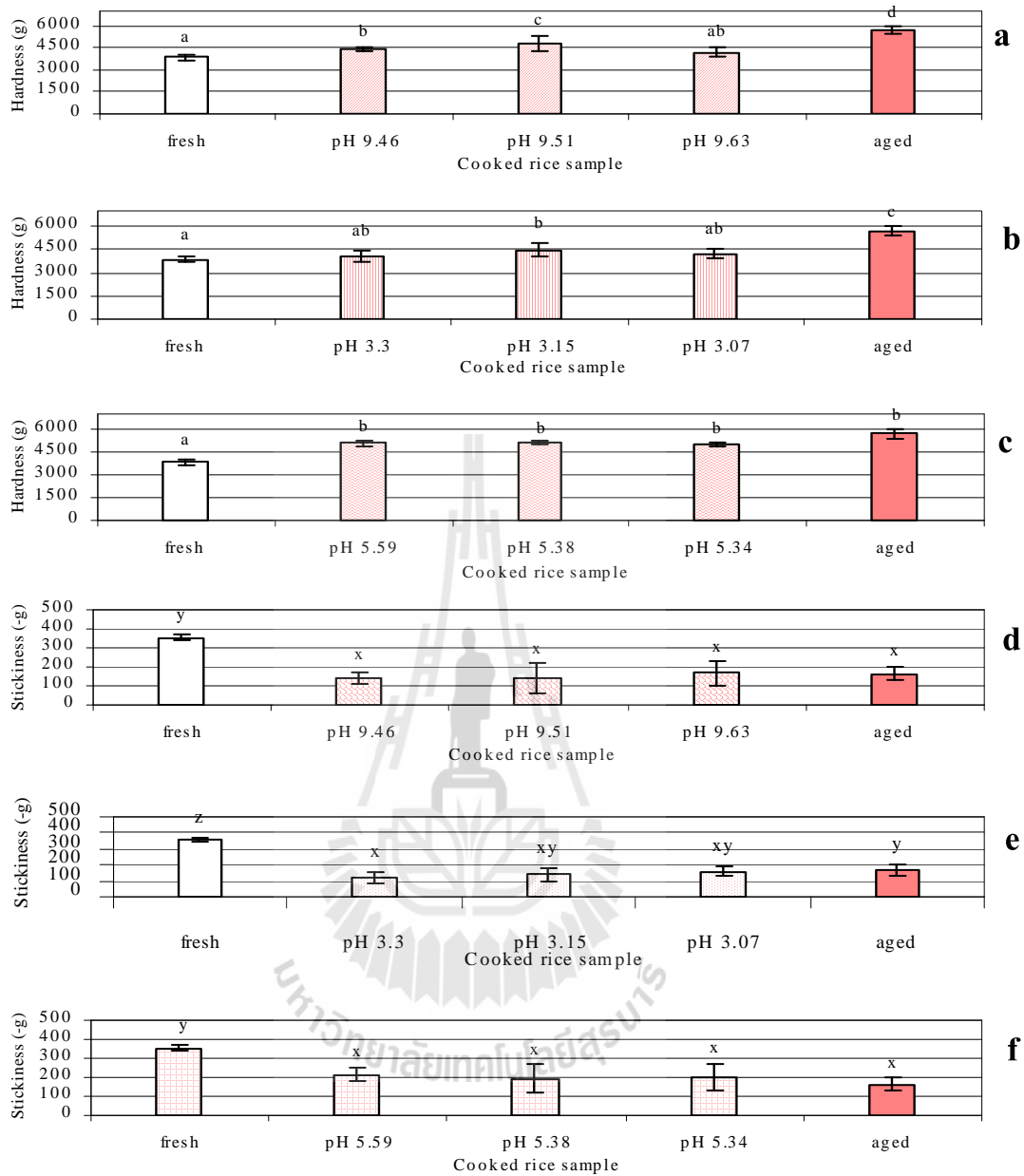
เพราะเมื่อถูกควบคุมพิ效ประสิทธิภาพการลดความแข็งของข้าวเก่าสุกจะลดลงไปด้วย อายุโรง ตามไม่พบการเปลี่ยนแปลงค่าการเกาตัวกันของเมล็ดข้าวเก่าสุกที่หุงด้วยสารละลายโซเดียมซัลไฟฟ์และซิสทีอินในฟอสเฟตบัฟเฟอร์ (ภาพที่ 5.2e) ซึ่งต่างจากข้าวเก่าที่หุงด้วยสารละลายโซเดียมซัลไฟฟ์และซิสทีอินในฟอสเฟตบัฟเฟอร์ที่ 15 มิลลิโนลาร์จะมีค่าการเกาตัวกันของเมล็ดข้าวสุกเพิ่มขึ้น (ภาพที่ 5.2d และ 5.2f) จึงแสดงให้เห็นว่าค่าพิ效ของสารละลายโซเดียมซัลไฟฟ์และซิสทีอินไม่มีผลต่อการเพิ่มค่าการเกาตัวกันของเมล็ดข้าวเก่าสุก ค่าพิ效ของกรดแอกซอร์บิกให้ผลในการลดค่าความแข็งของข้าวแต่ไม่เพิ่มค่าการเกาตัวกันของเมล็ดเช่นเดียวกับที่พูดในภาพที่ 5.1e

เมื่อพิจารณาภาพที่ 5.3a-c จะพบว่าการปรับพิ效ของน้ำที่ใช้หุงข้าวให้มีค่าเท่ากับพิ效ของสารรีดิวชิงซ์ มีผลต่อการเปลี่ยนแปลงค่าความแข็งของข้าวสุก โดยความแข็งของข้าวสุกที่หุงด้วยน้ำกลั่นที่ปรับพิ效ให้เป็นด่าง(9.5-9.6) และกรด (3.1-3.3) มีค่าความแข็งลดลง ($p<0.05$) เมื่อเทียบกับข้าวที่หุงด้วยน้ำปกติ โดยกรดจะเข้าทำลายโครงสร้างของโปรตีน โดยมีผลทำให้การละลายของโปรตีนเพิ่มขึ้น จากการที่โปรตีนซึ่งล้อมรอบเม็ดสตาร์ช และขัดขวางการดูดนำของสตาร์ช ที่บริเวณผิวน้ำเม็ดข้าวบางส่วนหลุดออก หรือถูกทำลายไป จึงเกิดช่องว่างให้น้ำ และความร้อนผ่านเข้าสู่ด้านในเม็ดสตาร์ชได้มาก ทำให้การดูดซับนำของเม็ดสตาร์ชเกิดได้ง่ายขึ้น (Ghasemi et al, 2008) เม็ดสตาร์ชมีการพอง และแตกตัวได้ดี สามารถรวมตัวกับโปรตีน และกักเก็บนำไว้ภายในโครงสร้างได้ดีเกิดเจลที่มีความหนานุ่มบริเวณผิวน้ำของเม็ดข้าวสุก จึงให้ลักษณะของข้าวสุกที่นุ่ม



ภาพที่ 5.2 ค่าความแข็ง (a-c) และ ค่าการเกาะตัวกัน (d-f) ของข้าวสุกใหม่ (fresh) เก่า (aged) ที่หุงด้วยสารละลายน้ำฟอสเฟตบัฟเฟอร์เพิ่มขึ้น 50 มิลลิโมลาร์ และข้าวสุกเก่าที่หุงด้วยโซเดียมซัลไฟท์ในฟอสเฟตบัฟเฟอร์ (SS) กรดแอกโซร์บิกในฟอสเฟตบัฟเฟอร์ (AA) และ ซิสทีอินในฟอสเฟตบัฟเฟอร์(CYS) ที่ความเข้มข้น 5, 10 และ 15 มิลลิโมลาร์ ตามลำดับ

ทั้งนี้ไม่พบเปลี่ยนแปลงค่าความแข็งของข้าวสุกที่หุงด้วยน้ำกลั่นปรับพีเอชอยู่ในช่วง 5.3-5.6 นอกจากนี้ ข้าวสุกที่หุงด้วยน้ำกลั่นปรับพีเอชเลียนแบบพีเอชของสารรีดิวชิงซ์ทั้ง 3 (ภาพที่ 5.3d, 5.3e และ 5.3f) ไม่พบการเกาะตัวกันเพิ่มขึ้นในเมล็ดข้าวเก่า ดังนั้นสารรีดิวชิงซ์จึงมีคุณสมบัติใน



ภาพที่ 5.3 ค่าความแข็ง (a-c) และ ค่าการเกาะตัวกัน (d-e) ของข้าวสุกใหม่ (fresh) เก่า (aged) และข้าวสุกเก่าที่หุงด้วยน้ำกลั่นที่มีค่าพีอ่อนเดิมแบบพีอ่อนของสารละลายน้ำไดวิชิซซ์

การเปลี่ยนแปลงค่าเนื้อสัมผัสของข้าวเก่า โดยลดความแข็งขณะเดียวกันกับเพิ่มการเกาะตัวกันของเมล็ด ข้าวสุกด้วยโดยค่าพีอ่อนของสารละลายน้ำไดวิชิซซ์ที่เป็นกรดหรือด่างนั้น มีส่วนช่วยเพิ่มประสิทธิภาพของสารรีดิวชิซซ์ในการลดค่าความแข็งของข้าวสุกได้ แต่ไม่มีผลในการเพิ่มการเกาะตัวกันของเมล็ดข้าวสุก

นอกจากนี้ยังพบว่าบัฟเฟอร์ที่ใช้มีผลต่อเนื้อสัมผัสของข้าวได้ โดยข้าวเก่าที่นำไปปุ่งในฟอสเฟต บัฟเฟอร์จะให้เนื้อสัมผัสด้านความแข็งของข้าวสูงลดลง ขณะที่ค่าการเกาะกันของเมล็ดข้าวสูงเพิ่มขึ้น ($p<0.05$)

ในกรณีของข้าวใหม่ที่หุงด้วยสารละลายบัฟเฟอร์นี้ พบว่ามีค่าความแข็งมีค่าความแข็งมากกว่า ข้าวใหม่ที่หุงด้วยน้ำปกติ และน้ำกลั่นที่ปรับค่าพีโซชให้เท่ากับพีโซของสารรีดิวซิงซ์ ($p<0.05$) เช่นเดียวกับผลของ Moritaka และ Nakamura (2005) ที่ทดลองนำข้าวญี่ปุ่น 3 พันธุ์ คือ Koshihikari, Yukinosei และ Akihikari นำมาหุงด้วยสารละลายโซเดียมคลอไรด์ หรือ แคลเซียมคลอไรด์ เพิ่มขึ้น 0.5 มิลลิโมลาร์ ผลการวัดเนื้อสัมผัสพบว่าจะต้องใช้แรงกดตัวอย่างมากกว่าเมื่อเทียบกับข้าวที่หุง ด้วยน้ำกลั่นปกติ ซึ่งสอดคล้องกับปริมาณการดูดนำของเม็ดข้าวสูงที่ลดลงในตัวอย่างข้าวทั้ง 3 พันธุ์ ที่หุงด้วยสารละลายเกลือ Moritaka และ Nakamura พบการขยายตัวของเม็ดข้าวหลังได้รับความร้อนลดลงเหมือนกันในเกลือทั้ง 2 ชนิด แสดงให้เห็นว่าไออกอนของเกลือในบัฟเฟอร์มีผลต่อการเพิ่มความแข็งของข้าวสูง ซึ่งเป็นผลจากการเชื่อมกัน (cross-linking) ระหว่างผนังเซลล์ (cell walls) ของเมล็ดข้าวกับไออกอนของเกลือ (salt bridge) และ electrostatic interaction ระหว่างสายพอลิเมอร์ของสตาร์ช (polysaccharide) และ โปรตีนที่อยู่รอบ ๆ โดยไออกอนเกลือจะเข้าจับกับโปรตีนที่อยู่รอบ ๆ เม็ดสตาร์ชทั่วบริเวณเม็ดข้าวโดยเฉพาะที่ผิวนอก เกิดเป็นโครงสร้างที่อัดตัวกันแน่นมีช่องว่างน้อย จึงลดการซึมผ่านและกักเก็บน้ำไว้ในโครงสร้าง ส่งผลให้ความนุ่มนวลลดลง (Moritaka and Nakamura, 2005) ในข้าวใหม่

แต่ในกรณีค่าความแข็งที่ลดลงของข้าวเก่าที่หุงด้วยฟอสเฟตบัฟเฟอร์นี้ อาจเกิดจากไออกอนของเกลือมีส่วนจับกันน้ำได้ดี จึงทำให้มีน้ำอยู่ภายในโครงสร้างเม็ดสตาร์ชมากกว่าปกติ การพองตัว จึงเพิ่มขึ้น เกิดเจลาตินไซด์มากขึ้น ทำให้ความแข็งของข้าวลดลงได้ และพบว่าค่าการเกาะติดของเมล็ดข้าวสูงเพิ่มขึ้นทั้งข้าวใหม่ และเก่าที่หุงด้วยบัฟเฟอร์ ($p<0.05$) โดยในกรณีข้าวใหม่อาจเกิดจากโครงสร้างที่แน่นหนาของเจลข้าวสูงที่เกิดขึ้นทำให้เกาะกันหัววัดได้ดีกว่าปกติ ขณะที่ข้าวเก่าจะมีไออกอนของเกลืออยู่จับน้ำเข้าไปในโครงสร้างเจลได้มากขึ้นจึงเกิดชั้นเจลที่นุ่มนวลขึ้น และเกาะกันหัววัดได้ดีขึ้นเช่นกัน แสดงให้เห็นว่าไออกอนของเกลือในสารละลายบัฟเฟอร์ที่ใช้ มีผลการเปลี่ยนแปลงค่าเนื้อสัมผัสของได้ทั้งข้าวเก่าและใหม่

5.4.3 ผลของใช้สารรีดิวชิงซ์ต่อคุณสมบัติการเกิดเพสท์ของฟลาრ์ว

คุณสมบัติการเกิดเพสท์ของฟลาრ์วที่เตรียมจากข้าวเก่าก็การเปลี่ยนแปลงได้เมื่อใช้สารละลายรีดิวชิงซ์ทั้ง 3 ชนิด ได้แก่ โซเดียมซัลไฟฟ์ กรดแอสคอร์บิก และซิสทีอิน เท้มขัน 5 มิลลิโลลาร์เป็นตัวทำละลาย โดยเปรียบเทียบผลที่ได้กับฟลาრ์วจากข้าวใหม่ และข้าวเก่าที่ไม่มีสารรีดิวชิงซ์ (ตารางที่ 5.3) พบการเพิ่มขึ้นของค่าความหนืดสูงสุด (peak viscosity, PV) และ เบรคดาวน์ (breakdown, BD) และค่าความหนืดสุดท้าย(final viscosity, FV) และ เชทแบค (setback, SB) ที่ลดลงในทุกตัวอย่างที่ใช้สารละลายรีดิวชิงซ์ ($p<0.05$) บ่งชี้ว่าเม็ดสตาร์ชสามารถพอง และแตกตัวมากขึ้น และยังแสดงถึงการคืนตัวของแป้งหลังเย็นตัวมีค่าลดลง เกิดลักษณะเจลแป้งที่มีความนิ่มและยืดหยุ่นเพิ่มขึ้น ผลดังกล่าว สอดคล้องกับที่พบในฟลาრ์วที่เตรียมจากข้าวเก่าพันธุ์ Koshihikari, Kyeema และ Doongara เก็บที่ 37 องศาเซลเซียส 16 เดือน โดยภายในหลังผอมกับ เปต้า-เมอร์แคปโตอทานอล ซึ่งเป็นสารรีดิวชิงซ์ชนิดหนึ่ง (Zhou, Robards, Helliwell and Blanchard, 2003) และ ข้าวพันธุ์ (Motti) ที่แช่กรดแลกติก และโซเดียมไบซัลไฟฟ์ที่ความเข้มข้นร้อยละ 3 และ ร้อยละ 7 (Neves, Pereira, Zavareze, Dias and Elias, 2010) ก็พบค่า PV และ BD ที่เพิ่มขึ้นได้เช่นเดียวกัน เมื่อเปรียบเทียบกับตัวอย่างเริ่มต้น ซึ่งความหนืดที่เพิ่มขึ้นนี้เป็นผลมาจากการตัดพันธะ ไดซัลไฟฟ์ของโปรตีนโดยสารรีดิวชิงซ์ เมื่อไม่มีกรดกลุ่มโปรตีนที่เกาะตัวกันเป็นโครงสร้างตัวข่ายล้อมรอบเม็ดสตาร์ชไว้แล้ว เม็ดสตาร์ชจึงพองตัวได้ดีขึ้น และมีระดับการเจลติดในซีที่เพิ่มขึ้น (Hamaker and Griffin, 1993) กรณีการปรับพีอ่อนน้ำเพื่อให้เท่ากับสารรีดิวชิงซ์ทั้ง 3 ชนิดพีอ่อนน้ำ พบการเปลี่ยนแปลงได้เฉพาะน้ำพีอ่อนให้เป็นกรดเท่ากับพีอ่อนของสารละลายกรดแอสคอร์บิก ($p<0.05$) (ตารางที่ 5.4) มีผลทำให้ค่า PV ของฟลาრ์วข้าวเก่ามีค่าลดลงได้ เช่นเดียวกับที่พบในตัวอย่างฟลาრ์วจากข้าวพันธุ์ Dongmi จะมีการลดลงของค่า PV, FV และ SB ในตัวอย่างที่เติมสารละลายกรดไฮโดรคลอริก 1 นอร์มอล ซึ่งมีค่า พีอ่อน 4.10 โดยเปรียบเทียบกับฟลาრ์วที่เติมน้ำปักกี (พีอ่อน 6.20) (Wang, Sun, Zeng and Lu, 2000) แสดงให้เห็นว่าค่าพีอ่อนที่ต่ำกว่ามีผลทำให้การคืนตัวของเจล (retrogradation) มีแนวโน้มลดลง โดย Wang และคณะ (2000) ให้เหตุผลว่าอาจเกิดจากโมเลกุลของสตาร์ชมีขนาดเล็กลง (short-chain starch molecules) อันเป็นผลของ การถูกย่อยจากกรดที่ใช้ เม็ดสตาร์ชที่อยู่ในสารละลายกรดได้รับความร้อน กรดจากสารละลายจะแทรกเข้าไปตามช่องปีด (intermicellar areas) ของเม็ดสตาร์ช และเข้าย่อยที่โมเลกุลของสตาร์ชที่บริเวณพันธะกลุ่มโคซิດิก (glucosidic linkages) ในส่วนของสัญญาณ (amorphous) ทำให้โครงสร้างภายในของเม็ดสตาร์ชอ่อนตัวลง เมื่อเพิ่มอุณหภูมิของสารละลายกรดจนสตาร์ชเกิดการเจลติไนซ์ เม็ดสตาร์ชจำนวนมากจะแตกสลาย และปลดปล่อยอะไรมोลสสารสันที่ถูกย่อยด้วยกรดให้ละลายออกมาก ทำให้ความหนืดของเพสท์ลดลงได้มากขึ้น (Leach and Schoch, 1962) เมื่อส่วนของไมโลสานาดเล็กรวมทั้งส่วนที่ถูกย่อยนี้อาจกลับมาร่วมตัวกัน เกิดเป็นตาข่าย สามมิติที่ไม่แข็งแรงเจล

ตารางที่ 5.3 คุณสมบัติการเกิดเพสท์ของฟลาร์วainerีดิวชิงซ์เข้มข้น 5 มิลลิโนลาร์

Rice flour	RVA value				
	Pasting Temp (°C)	Peak viscosity (RVU)	Breakdown (RVU)	Final viscosity (RVU)	Setback (RVU)
FF	89.43±0.46	101.31±1.63e	40.58±1.10d	125.50±2.96b	64.78±1.54b
AF	91.07±0.49	81.59±0.38a	18.64±1.03a	135.61±1.69c	72.66±0.38c
AF+5SS	89.38±1.26	93.50±1.40d	31.02±3.35c	108.92±2.57a	46.44±0.47a
AF+5AA	89.15±0.91	90.42 ±0.17c	29.31±0.34bc	126.44±0.27b	65.33±0.51b
AF+5CYS	89.57±1.01	85.17±1.58b	26.94±0.71b	122.69±2.70b	64.47±0.65b

ตัวอักษรพิมพ์เล็กที่แตกต่างกันตามแนวตั้งหมายถึงมีความแตกต่างอย่างมีนัยสำคัญทางสถิติ($p<0.05$)
FF หมายถึง ตัวอย่างแป้งข้าวใหม่ที่ผสมกับน้ำกลั่น, AF หมายถึง ตัวอย่างแป้งข้าวเก่าที่ผสมกับน้ำกลั่น, 5SS หมายถึง โซเดียมซัลไฟท์เข้มข้น 5 มิลลิโนลาร์, 5AA หมายถึง กรดแอกซ์โคร์บิกเข้มข้น 5 มิลลิโนลาร์ และ 5CYS หมายถึง ซิสทีอีนแอกซิดเข้มข้น 5 มิลลิโนลาร์

ตารางที่ 5.4 คุณสมบัติการเกิดเพสท์ของฟลาร์วินที่ใช้น้ำกลั่นปรับพีเอชเดือนแบบสารรีดิวชิงซ์

Rice flour	RVA value				
	Pasting Temp (°C)	Peak viscosity (RVU)	Breakdown (RVU)	Final viscosity (RVU)	Setback (RVU)
FF	89.43±0.46	101.31±1.63c	40.58±1.10b	125.50±2.96a	64.78±1.54a
AF	91.07±0.49	81.59±0.38b	18.64±1.03a	135.61±1.69bc	72.66±0.38bc
AF+DI _{pH 9.46}	90.53±0.83	81.59±1.76b	18.78±1.47a	136.72±4.06c	74.08±0.88c
AF+DI _{pH 3.30}	90.48±0.83	79.19±0.13a	18.08±0.55a	131.50±1.42b	70.39±1.11b
AF+DI _{pH 5.59}	90.23±0.51	80.81±0.71ab	19.39±0.85a	133.64±2.09bc	72.22±3.12bc

ตัวอักษรพิมพ์เล็กที่แตกต่างกันตามแนวตั้งหมายถึงมีความแตกต่างอย่างมีนัยสำคัญทางสถิติ ($p<0.05$)
FF หมายถึง แป้งข้าวใหม่ที่ผสมน้ำกลั่น, AF หมายถึง แป้งข้าวเก่าที่ผสมน้ำกลั่น, DI_{pH 9.46} หมายถึง น้ำกลั่นที่พีเอชเดียวกับโซเดียมซัลไฟท์ 5 มิลลิโนลาร์, 5AA DI_{pH 3.30} หมายถึง น้ำกลั่นที่พีเอชเดียวกับกรดแอกซ์โคร์บิก 5 มิลลิโนลาร์ และ AF+DI_{pH 5.59} หมายถึง น้ำกลั่นที่พีเอชเดียวกับซิสทีอีน 5 มิลลิโนลาร์

ตารางที่ 5.5 คุณสมบัติการเกิดเพสท์ของฟลาร์วในสารรีดิวชิงซ์เข้มข้น 5 มิลลิโนลาร์ในสารละลายนอกสเปตบับเฟอร์เข้มข้น 50 มิลลิโนลาร์

Rice flour	RVA value				
	Pasting	Peak	Breakdown	Final viscosity	Setback
	Temp (°C)	viscosity (RVU)	(RVU)	(RVU)	(RVU)
FF+P	92.08±0.06b	126.86±2.24d	35.25±3.17c	162.53±1.93d	70.92±3.93bc
AF+P	92.95±0.00b	101.06±0.68b	20.36±4.00ab	155.69±0.98c	75.00±3.73bc
AF+5SS+P	92.98±0.83b	103.20±1.68bc	26.70±6.38b	148.16±1.70b	71.67±7.36c
AF+5AA+P	90.47±1.40a	105.89±2.46c	21.67±5.05ab	147.94±4.21b	63.72 ±6.15ab
AF+5LC+P	92.72±0.45b	89.16±0.88a	15.67±2.29a	132.11±2.26a	58.61±1.56a

ตัวอักษรพิมพ์เล็กที่แทรกต่างกันตามแนวตั้งหมายถึงมีความแตกต่างอย่างมีนัยสำคัญทางสถิติ ($p<0.05$)
FF หมายถึง ตัวอย่างแป้งข้าวใหม่ที่ผ่านกระบวนการน้ำกลั่น, AF หมายถึง ตัวอย่างแป้งข้าวเก่าที่ผ่านกระบวนการน้ำกลั่น, P หมายถึง ฟลาร์วบับเฟอร์เข้มข้น 50 มิลลิโนลาร์, 5SS หมายถึง โซเดียมซัลไฟท์เข้มข้น 5 มิลลิโนลาร์, 5AA หมายถึง กรดแอลสโคอร์บิกเข้มข้น 5 มิลลิโนลาร์ และ 5CYS หมายถึง ซิสทีอีนและสิดเข้มข้น 5 มิลลิโนลาร์

ที่ได้จึงอ่อนนุ่มลง แสดงให้เห็นว่าการที่ข้าวเก่ากวนเข็นเมื่อหุงด้วยสารละลายกรดแอลสโคอร์บิกทั้ง 3 ระดับความเข้มข้นนั้นนอกจากจะเป็นผลจากการที่พันธะไคลเซลไฟฟ์ถูกทำลายลง จากคุณสมบัติของสารรีดิวชิงซ์องแล้ว ยังเกี่ยวข้องกับพีเอชที่ต่ำของสารละลายเอง โดยทำให้โปรตีน และสตาร์ชส่วนหนึ่งถูกย่อย (acid hydrolysis)ให้เล็กลง (Short-chain starch molecules) (Ghasemi et al, 2008) สำหรับตัวอย่าง ฟลาร์วข้าวเก่าที่ใช้น้ำกลั่นเป็นตัวทำละลาย ไม่พบการเปลี่ยนแปลงคุณสมบัติการเกิดเพสท์ในฟลาร์วข้าว ที่ใช้น้ำปรับพีเอชให้เท่ากับพีเอชของสารละลายซิสทีอีน (พีเอช 5.59) และ โซเดียมซัลไฟท์ (พีเอช 9.46) ที่ระดับความเข้มข้น 5 มิลลิโนลาร์

ผลของสารรีดิวชิงซ์ทั้ง 3 ชนิดที่มีต่อคุณสมบัติการเกิดเพสท์ของตัวอย่างแป้งข้าวเก่าในสภาวะที่มีบับเฟอร์ แสดงดังตารางที่ 5.5 โดยมีการเพิ่มน้ำของค่า PV และการลดลงของค่า FV และค่า SB ของตัวอย่าง ฟลาร์วที่ใช้สารละลายรีดิวชิงซ์บางชนิด โดยพบว่าตัวอย่างฟลาร์วที่ใช้สารละลายซิสทีอีนในฟลาร์วบับเฟอร์เป็นตัวทำละลาย จะแสดงคุณสมบัติ การเกิดเพสท์ลดลงเกือบทุกค่า ซึ่งให้ผลแตกต่างจากสภาวะที่ไม่มีบับเฟอร์ในตารางที่ 5.3 นอกจากนี้คุณสมบัติการ

เกิดเพสท์ในตัวอย่างฟลาร์วข้าวใหม่ และข้าวเก่าที่ใช้สารละลายบัฟเฟอร์ เป็นตัวทำละลายในตารางที่ 5.5 ต่างจากที่วัดได้ในตัวอย่างที่ใช้น้ำเป็นตัวทำละลาย (ตารางที่ 5.3 และ 5.4) ($p<0.05$) โดยสารละลายบัฟเฟอร์ที่ใช้ทำให้ค่า PV, FV, SB, รวมทั้ง PT สูงขึ้น ซึ่งอาจเกิดจากหมู่ฟอสเฟต เอสเทอร์ (phosphate ester groups) ที่อยู่ในสารละลายฟอสเฟตที่จะเข้าผลักและขัดขวาง (repulsion) การรวมตัวระหว่างโนไมเลกุลของน้ำ กับโนไมเลกุลสถาาร์ช (Craig, Maingat, Seib and Hoseney, 1989)

การใช้สารละลายฟอสเฟตบัฟเฟอร์มารควบคุมค่าพีเอชของสารรีดิวชิงซ์ ส่งผลทำให้สารรีดิวชิงซ์ทำหน้าที่ได้น้อยลง หรือลดประสิทธิภาพลง เนื่องจากอยู่ในสภาพะพีเอชที่ไม่เหมาะสม สอดคล้องกับผลการวิจัยของ Elkhalifa, Chandrashekhar, Mohamed และ Tinay (1999) ที่วัดการเกิดเพสท์ในฟลาร์วข้าวฟางเมื่อปรับค่าพีเอชของสารละลายกรดแอกโซร์บิก และซีสทีอิน มีค่าพีเอชเปลี่ยนไปจากปกติคือ 4.5 ไปที่ 7.0 มีผลทำให้ค่า SB ของตัวอย่างมีค่าเพิ่มขึ้น

5.4.4 การปรับปรุงคุณภาพข้าวเก่าด้วยการแซ่บสารรีดิวชิงซ์

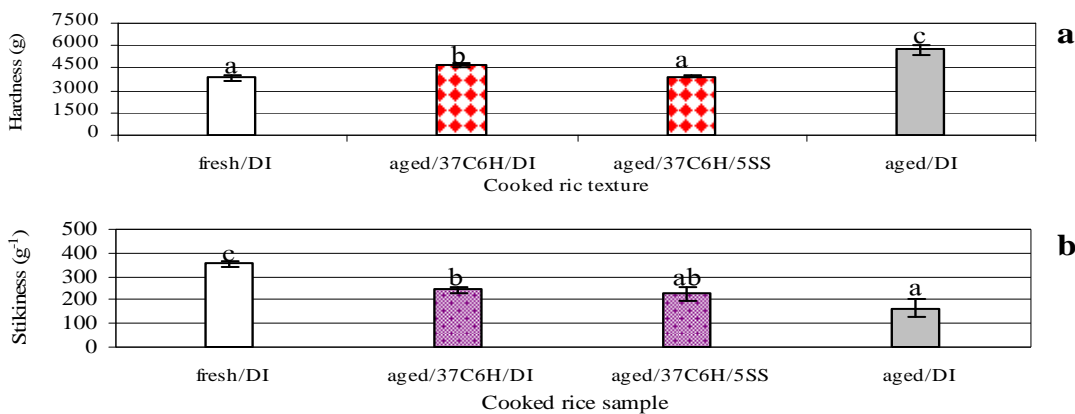
จากผลเนื้อสัมผัสข้าวเก่าที่หุงด้วยสารละลายรีดิวชิงซ์ (ภาพที่ 5.1) และคุณสมบัติการเกิดเพสท์ (ตารางที่ 5.3) ทำให้ทราบว่าจากสารรีดิวชิงซ์ทั้ง 3 ชนิดที่ศึกษามาแล้วนั้น โซเดียมแซลไฟท์เป็นสารรีดิวชิงซ์ที่มีประสิทธิภาพสูงสุดในการลดความแข็ง และเพิ่มความเกะกะติดของเมล็ดข้าว รวมทั้งทำให้คุณสมบัติการเกิดเพสท์ในฟลาร์วข้าวเก่าเปลี่ยนไปสู่ข้าวใหม่ได้ จึงเลือกโซเดียมแซลไฟท์ นำมาศึกษาต่อในส่วนของปรับปรุงวิธีการใช้สารรีดิวชิงซ์ให้เหมาะสม ในขั้นตอนการใช้ในรูปสารละลายสำหรับหุงข้าว โดยอาศัยน้ำเป็นตัวนำสารรีดิวชิงซ์เข้าสู่เม็ดข้าวด้วยการใช้วิธีแซ่บ แล้วกำจัดน้ำออกโดยใช้วิธีการอบ เพื่อให้ได้ข้าวเก่าที่พร้อมนำไปหุงบริโภคได้โดยไม่ต้องเตรียมสารรีดิวชิงซ์ในรูปสารละลาย โดยใช้สภาวะการแซ่บที่เหมาะสมคือที่ 37 องศาเซลเซียส 6 ชั่วโมง ($p<0.05$) (ตารางที่ 8 ในภาคผนวก) แสดงในตารางที่ 5.6 เป็นสภาวะที่ข้าวอิ่มตัวด้วยน้ำเต็มที่ เวลาที่ใช้แซ่บตัวอย่างนี้ต่างกับผลการทดลองของ Han และ Lim (2009) ทดลองแซ่บข้าวกล้องญี่ปุ่น (Japonica-type brown rice) ที่อุณหภูมิต่างกันสองอุณหภูมิ คือ 25 และ 50 องศาเซลเซียส จะใช้วิธี 8 ชั่วโมง การซึมผ่านของน้ำสู่เมล็ดข้าวทั้ง 2 อุณหภูมิจึงคงที่ ขณะที่ตัวอย่างที่ใช้ในงานวิจัยนี้เป็นข้าวที่ผ่านการขัดสีแล้วดังนั้นเวลาในการแซ่บตัวอย่างข้าวสารจึงเร็วกว่า

จากการศึกษาการแซ่บตัวอย่างด้วยโซเดียมแซลไฟท์ ที่ 5, 10 และ 15 มิลลิโมลาร์ และ DTT แสดงผลดังตารางที่ 5.6 พบว่ามีการเพิ่มขึ้นของค่า PV และ BD ได้ลักษณะของเจลที่มีความนุ่มนิ่น นอกจากนี้อุณหภูมิในการเกิดเพสท์ PT ของตัวอย่างที่ผ่านการแซ่บมีค่าลดลงเมื่อเทียบกับผลจากฟลาร์วข้าวใหม่ และเก่าที่ไม่ผ่านการแซ่บตารางที่ 5.3 แสดงถึงการเกิดเจลلاتีโนซ์ได้ ที่อุณหภูมิต่ำลง โดยการใช้สารรีดิวชิงซ์น่าจะมีผลทำให้มีเด碛เปลี่ยนพอง และแตกตัวได้ดีขึ้น เมื่อได้รับความร้อน

ตารางที่ 5.6 คุณสมบัติการเกิดเพสท์ในฟลาร์วที่เตรียมจากข้าวแห้งสารรีดิวชิงซ์ที่อุณหภูมิ 37 องศาเซลเซียส เวลา 6 ชั่วโมง

RVA value	Treatment samples					
	FF/DI	AF/DI	AF/5SS	AF/10SS	AF/15SS	AF/DTT
Peak viscosity (RVU)	101.31±1.63d	89.28±0.09b	95.50±0.66c	83.47±2.21a	90.42±1.34b	103.17±1.25d
Trough (RVU)	60.72±2.66b	62.44±0.57bc	61.39±0.46b	53.86±1.83a	56.65±3.30a	65.89±1.42c
Breakdown (RVU)	40.58±1.10e	26.83±0.55a	34.11±0.26c	28.95±0.41b	33.75±1.98c	37.28±1.26d
Final Viscosity (RVU)	125.50±2.96d	115.53±0.81c	110.30±1.04b	97.81±1.57a	100.70±3.89a	107.86±1.27b
Setback (RVU)	64.78±1.54e	53.08±0.25d	48.92±0.75c	43.95±0.29b	44.03±0.65b	41.97±0.38a
Peak Time (min)	6.04±0.10a	6.11±0.03a	6.09±0.08a	6.11±0.08a	6.07±0.14a	6.27±0.00a
Pasting Temperature (°C)	89.43±0.46bc	89.95±0.48c	87.77±1.25ba	87.28±1.37a	86.67±1.30a	86.95±1.28a

ตัวอักษรพิมพ์เล็กที่แตกต่างกันตามแนวโน้ม หมายถึง มีความแตกต่างอย่างมีนัยสำคัญทางสถิติ($p<0.05$), FF/DI หมายถึง ตัวอย่างแป้งข้าวใหม่ที่ไม่แห้ง AF/DI หมายถึง ตัวอย่างแป้งข้าวเก่าที่ผ่านการแห้งนานที่ 37 องศาเซลเซียส เวลา 6 ชั่วโมง, 5SS-15SS หมายถึง โซเดียมซัลไฟท์ที่ระดับความเข้มข้น 5-15 มิลลิโนมลาร์ DTT คือ ไคโทอิโธทอล ที่ระดับความเข้มข้น 5 มิลลิโนมลาร์



ภาพที่ 5.4 ค่าความแข็ง (a) และ ความเหนียว (b) ของข้าวสุกใหม่ (fresh/DI) เก่า(aged/DI) ที่หุงด้วยน้ำกลั่น ข้าวสุกเก่าที่แช่ด้วยน้ำกลั่น 37 องศาเซลเซียส 6 ชั่วโมง (aged/37C6H/DI) และ ข้าวสุกเก่าที่แช่ด้วยสารรีดิวซิงซ์ 37 องศาเซลเซียส 6 ชั่วโมง (aged/37C6H/5SS)

(Harmaker and Griffin, 1993) หังนี้เกิดจากเมื่อพันธุ์ไครซัลไฟฟ์ที่เข้มระห่วงไม่เลกูลโปรตีน และขัดขวางการพองตัวของสตาร์ชถูกทำลายลง ทำให้มีดสตาร์ชพองตัวง่ายขึ้น และเกิดเจลาตีไนเซชันได้ง่ายขึ้น เมื่อได้รับแรงเนื้อนจากการกรวนจึงทำให้มีดสตาร์ชแตกตัวง่ายกว่าสตาร์ชที่แช่ด้วยน้ำกลั่นปกติเช่นเดียวกับที่พบในฟาร์วจากกลุ่มข้าวพันธุ์ Zhongzheyou1, Koshihikari, Fengliangyou3GET, HTRD-12, Tong03-4060, Liangyoupeiji, BoIIIyou 169, Zhongzao25 และ IIyou 26 เมื่อใช้ DTT เพิ่มขึ้น 5 มิลลิโมลาร์แทนน้ำกลั่น ทำให้ค่า PV และ BD เพิ่มขึ้น (Xie et al. 2008) จากผลการทดลองพบว่า DTT ทำให้คุณสมบัติการเกิดเพสท์ในข้าวเก่าใกล้เคียงกับข้าวใหม่มาก ที่สุดตามด้วยโซเดียมซัลไฟฟ์ ที่ระดับ 5 มิลลิโมลาร์ที่เป็นเช่นนี้เนื่องจาก DTT มีความเป็นสารรีดิวซิงซ์ที่แรงกว่า (Tsen, 1969) จึงสามารถตัดพันธุ์ไครซัลไฟฟ์ของโปรตีนได้มากกว่า จึงมีผลต่อสมบัติการเกิดเพสท์ในข้าวมากกว่าได้

เมื่อนำเมล็ดข้าวเก่าที่ผ่านการแช่โซเดียมซัลไฟฟ์มาตรวจวัดเนื้อสัมผัส พบร่วมกับความแข็งของตัวอย่างข้าวเก่าลดลง (ภาพที่ 5.4a) นอกจากนี้การใช้น้ำกลั่นแช่ตัวอย่างก็มีผลทำให้ความแข็งที่มีในข้าวเก่าลงได้เช่นกัน การแช่ข้าวเก่าขังมีผลทำให้การเกะดิคันของเมล็ดข้าวสุกนั้นเพิ่มขึ้น ได้ทั้ง สภาพที่มีโซเดียมซัลไฟฟ์ และการใช้น้ำกลั่นปกติที่ไม่มีโซเดียมซัลไฟฟ์ หังนี้อาจเกิดจากผลการแช่ตัวอย่างทำให้สตาร์ชบางส่วนดูดนำ และพองตัวขึ้น เมื่อໄล้น้ำที่เมล็ดข้าวดูดซับไว้ให้ระเหยออกไปจากเม็ดข้าว จึงเกิดช่องว่างที่ผิวของเม็ดข้าว เมื่อนำมาหุงให้ความร้อนอีกครั้ง ทำให้น้ำแทรกเข้าไปในเม็ดข้าวได้ดีขึ้นจากช่องว่างที่เกิดขึ้น ทำให้เกิดความนุ่มนวลของข้าวสุกได้ ซึ่งเป็นผลจาก การพองตัวและดูดซับน้ำที่ดีขึ้น ทำให้สายอะไมโลสหลุดออกมากได้เยื่อจะ สตาร์ชจึงเกิดเจลตีในเชชัน

ได้ง่าย และการมีน้ำในโครงสร้างเจลมาก ทำให้เจลมีความนุ่มและเหนียวขึ้น ได้

5.4.5 ปริมาณหมู่ชัลไอกวิล (SH) และไดซัลไฟด์ (SS)

จากการวัดปริมาณหมู่ชัลไอกวิลของโปรตีนสกัด ที่ได้เตรียมจากข้าวเก่าที่ผ่านการแซ่ดด้วยสารรีดิวชิงซ์ ระดับความเข้มข้น 5-15 มิลลิโมลาร์ และ DTT เข้มข้น 5 มิลลิโมลาร์ มีปริมาณสูงขึ้น ($p<0.05$) (ตารางที่ 5.7) สอดคล้องกับหมู่ไดซัลไฟด์ที่มีปริมาณลดลง ซึ่งอธิบายได้ว่าเกิดจากพันธะไดซัลไฟด์ ที่เชื่อมระหว่างหมู่ชัลไอกวิลของโมเลกุลโปรตีนถูกทำลายลง ด้วยปฏิกิริยาเรตตักชันของโซเดียมชัลไฟฟ์ และ DTT ทำให้ปริมาณหมู่ชัลไอกวิลเพิ่มขึ้น และในขณะเดียวกันปริมาณหมู่ไดซัลไฟด์ก็มีค่าลดลง ทั้งนี้ DTT ซึ่งเป็นสารรีดิวชิงซ์ที่ประสิทธิภาพสูง (strong reducing agents) จึงสามารถทำลายหรือตัดพันธะไดซัลไฟด์ได้ ส่งผลให้ปริมาณหมู่ไดซัลไฟด์ในตัวอย่างลดลงมากที่สุด สอดคล้องกับปริมาณหมู่ชัลไอกวิลที่เพิ่มขึ้นสูงสุด เมื่อเปรียบเทียบกับโซเดียมชัลไฟฟ์

ตารางที่ 5.7 ปริมาณหมู่ชัลไอกวิล และไดซัลไฟด์ของตัวอย่างแป้งข้าวหลังผ่านการแซ่ดด้วยสารละลายน้ำที่ 37 องศาเซลเซียส เวลา 6 ชั่วโมง

Sample	Total SH $\mu\text{ mol / g protein}$	SS $\mu\text{ mol / g protein}$	Alkaline extractable proteins (mg/ g sample)
AF/0SS	16±3.0a	58±3.2d	50±3.5ab
AF/5SS	25±2.3bc	46±2.7b	52±1.6b
AF/10SS	23±0.6b	53±2.6c	55±1.5c
AF/15SS	26±0.4c	48±1.7b	53±1.7ab
AF/5DTT	38±0.6d	36±0.7a	67±1.9c

ตัวอักษรพิมพ์เล็กที่แทรกต่อหน้าตัวอย่างเป็นตัวอักษรที่แสดงถึงความแตกต่างของตัวอย่างที่มีนัยสำคัญทางสถิติ ($p<0.05$) AF หมายถึง ตัวอย่างแป้งข้าวเก่า, SS หมายถึง สารละลายน้ำโซเดียมชัลไฟฟ์ที่ 5, 10 และ 15 มิลลิโมลาร์ และ DTT หมายถึง สารละลายน้ำ DTT ที่ 5 มิลลิโมลาร์

นอกจากนี้การเกิดขึ้นของพันธะไดซัลไฟด์มีผลทำให้การละลายของโปรตีนมีค่าลดลง ได้ เนื่องจากเป็นพันธะโควาเลนท์ทำให้โปรตีนมีความเสถียร ถูกย่อย(proteolysis) หรือทำลายได้ยาก (Takeuchi, Masui and Yamaguchi, 1999) จากผลการทดลองเมื่อพันธะไดซัลไฟด์ของโปรตีนถูกทำลายลงด้วยสารรีดิวชิงซ์ จึงมีผลทำให้ความเสถียรของโปรตีนลดลง ปริมาณโปรตีนที่ละลายก็จะมีค่าเพิ่มขึ้น

เช่นผลของโปรตีนในข้าวแช่ DTT (ตารางที่ 5.7) ทั้งนี้ยังพบว่าประสิทธิภาพในการทำลายพันธะไดซัลไฟฟ์ของโซเดียมซัลไฟฟ์ที่ 5 และ 15 มิลลิโมลาร์ มีค่าไกลส์เคียงกันโดยพิจารณาปริมาณหมู่ซัลไฮคริลที่เพิ่มขึ้นไกลส์เคียงกัน ขณะที่โซเดียมซัลไฟฟ์ที่ 10 มิลลิโมลาร์มีปริมาณหมู่ซัลไฮคริลที่ต่ำกว่า

5.4.6 ปริมาณพื้นผิวไฮโดรโฟบิก

ปริมาณพื้นผิวไฮโดรโฟบิกของโปรตีนสักดัดที่ได้จากฟลาร์วข้าว ที่ผ่านการแช่ด้วยสารรีดิวชิงซ์ 2 ชนิดได้แก่ โซเดียมซัลไฟฟ์เพิ่มขึ้น 5, 10 และ 15 มิลลิโมลาร์ (5SS, 10SS และ 15SS) และได้ไทโอดิทอล เพิ่มขึ้น 5 มิลลิโมลาร์ (5DTT) ไม่แตกต่างกัน ($p>0.05$) เมื่อเปรียบเทียบกับโปรตีนที่สักดัดได้จาก ฟลาร์วข้าวเก่าที่แช่ด้วยน้ำกลั่นปกติ (OSS) ที่อุณหภูมิและเวลาเดียวกัน (ตารางที่ 5.7)

ตารางที่ 5.8 ปริมาณพื้นผิวไฮโดรโฟบิกของโปรตีนในตัวอย่างฟลาร์วข้าวที่ผ่านการแช่ด้วยโซเดียมซัลไฟฟ์ ที่อุณหภูมิ 37 องศาเซลเซียสเป็นเวลา 6 ชั่วโมง

Treatment samples	Surface hydrophobicity (So)	Alkaline extractable protein (mg/g sample)
OSS	659±32	50±3.5ab
5SS	653±49	52±1.6b
10SS	703±11	55±1.5c
15SS	699±12	53±1.7ab
5DTT	666±46	67±1.9c

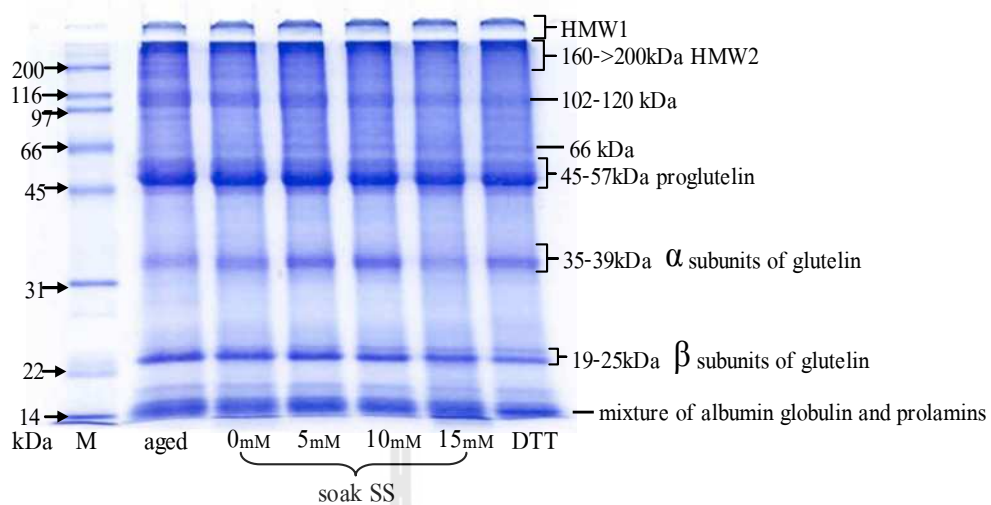
ตัวอักษรพิมพ์เล็กที่แตกต่างกันตามแนวตั้ง หมายถึง มีความแตกต่างอย่างมีนัยสำคัญทางสถิติ($p<0.05$) SS หมายถึง สารละลายน้ำโซเดียมซัลไฟฟ์ที่ 5, 10 และ 15 มิลลิโมลาร์ และ DTT หมายถึง สารละลายน้ำ DTT

ผู้พิจารณาค่าปริมาณโปรตีนที่ละลายได้ที่มีปริมาณเพิ่มขึ้นในบางตัวอย่างที่ใช้โซเดียมซัลไฟฟ์ และ DTT และปริมาณซัลไฮคริโลสัมาร์ที่เพิ่มขึ้นและปริมาณไดซัลไฟฟ์ที่ลดลงในทุกตัวอย่าง แสดงถึงโปรตีนทำการเปลี่ยนแปลงทางโครงสร้างภายในหลังจากการใช้สารรีดิวชิงซ์ แต่ค่าปริมาณพื้นผิวไฮโดรโฟบิก ที่วัดได้กลับมีค่าไม่ต่างกันอาจเกิดจาก ANS ซึ่งเป็นสารที่ใช้ทำปฏิกิริยา กับโปรตีน ถูกกรองจากประจุลบที่มีในหมู่ SO_4^- และ S^- ซึ่งเป็นประจุลบในโครงสร้างของสารรีดิวชิงซ์ในโซเดียมซัลไฟฟ์ และ DTT บางส่วนที่ไม่ได้ทำปฏิกิริยา กับโปรตีนเหลืออยู่ ในตัวอย่างที่ผ่านการ

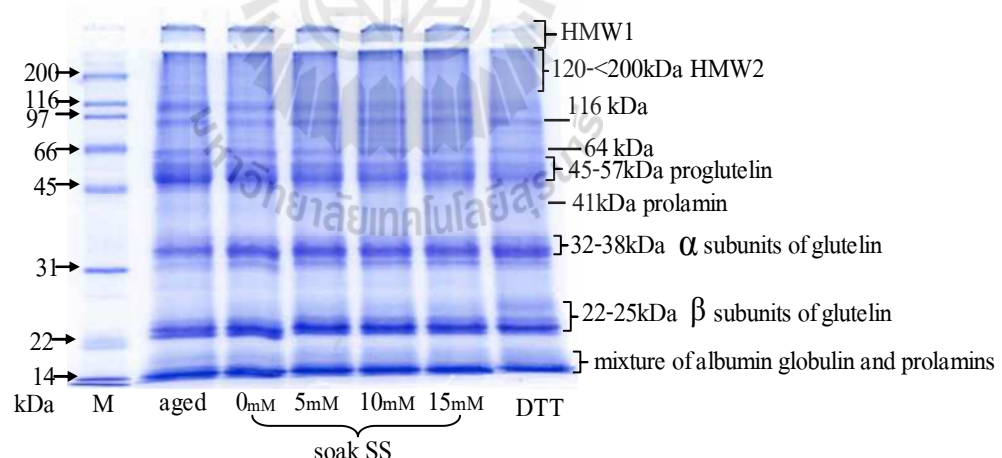
แข่สริวิตซิงซ์ ประกอบกับการมีประจุลบของกรดอะมิโน แอส帕ติก และกลูตามิก ซึ่งเป็นกรดอะมิโนที่พบมากในโปรตีนที่ได้จากข้าว (Houston, Allis and Kohler, 1969) เคลื่อนที่ภายนอกพร้อมกับการเปิดหรือคายตัวของในโมเลกุลโปรตีนอันเนื่องมาจากพันธะไคซัลไฟฟ์ ที่เชื่อมโมเลกุลของโปรตีนเข้าไว้ด้วยกันถูกทำลายลงไปได้ จากการใช้สารริวิตซิงซ์นั้นเอง นอกจานี้สภาวะทดลองที่ใช้บเฟอร์ที่มีค่าพีเอชเท่ากับ 10.0 นี้ทำให้กลุ่มคาร์บอชิล (COOH) ของกรดอะมิโนดังกล่าวเกิดการแตกตัวไปเป็น COO⁻ ซึ่งทำให้ประจุลบในระบบเพิ่มขึ้น โดยจากการศึกษาที่ผ่านมาของ Pasdar and Li-Chan ในปี 2000 ซึ่งทำการเปรียบเทียบค่าพีนิวไไซโตรโพบิกของตัวอย่าง whey protein isolate, β -lactoglobulin และ bovine serum albumin ก่อนให้ความร้อนที่สภาวะพีเอชต่างกัน 3.0-9.0 โดยใช้ ANS พบร่วมเมื่อค่า พีเอชในระบบเพิ่มขึ้น มีผลทำให้ปริมาณพีนิวไไซโตรโพบิกของตัวอย่างที่รักได้มีค่าน้อยลงด้วย ซึ่งน่าจะเกิดจาก ANS เข้าจับกับกรดอะมิโนกลุ่มที่ไม่มีประจุได้ยาก เพราะโครงสร้างของ ANS เองจะประกอบด้วยชัลโฟเนตไอออนที่มีประจุลบอยู่ด้วย ประสิทธิภาพการทำงานของ ANS จึงลดลง อาจเป็นเหตุให้ปริมาณพีนิวไไซโตรโพบิกที่รักได้จากตัวน้อยกว่าความเป็นจริง

5.4.7 การศึกษานาดโมเลกุลของโปรตีนด้วยเทคนิคอลิเอ็กโตรโฟรีซีส (SDS-PAGE)

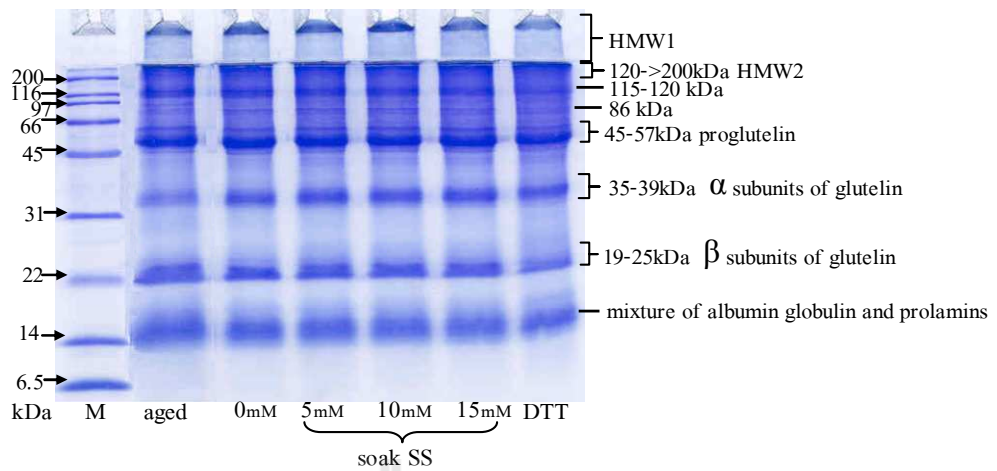
จากการวิเคราะห์ตัวอย่างโปรตีนสักด้วยเบรเยลระบะว่างโปรตีนที่สักดจากข้าวเก่าก่อน และหลังการแข่สริวิตซิงซ์ที่ระดับความเข้มข้นต่าง ๆ แสดงดังภาพที่ 5.5 จะพบการลดลงของความเข้มของแถบโปรกลูติลิน และโปรตีนโมเลกุลใหญ่ที่มีขนาดในช่วง 102-120 และ 160->200 กิโลดาตัน ขณะที่โปรตีนขนาดเล็กได้แก่หน่วยย่อยเบต้า และแอลฟ่า-กลูติลินมีความเข้มของแถบโปรตีนเพิ่มขึ้นในตัวอย่างทั้ง 3 ที่ผ่านการแข่ด้วยโซเดียมชัลไฟฟ์ (5, 10 และ 15 มิลลิโมลาร์) และได้ให้โอดิทอลเข้มข้น แสดงให้เห็นว่าโปรตีนขนาดใหญ่ที่เคยจับตัวกันอยู่นั้นเกิดการแยกออกจากกันเป็นโปรตีนขนาดเล็ก เนื่องจากพันธะไคซัลไฟฟ์ที่เชื่อมระหว่างโมเลกุลของโปรตีนซึ่งเพิ่มขึ้นในข้าวเก่าถูกทำลายด้วยสารริวิตซิงซ์ทั้ง 2 ชนิด สอดคล้องกับปริมาณหมู่ไคซัลไฟฟ์ที่ลดลงในตารางที่ 5.6 เมื่อโปรตีนขนาดใหญ่ ถูกริวิตซ์ให้มีขนาดเล็กลงเหมือนก่อนเริ่มดันการเก็บรักษาทำให้สารชักการดูดนำ การพองตัว และเกิดเจลาตีไนเซชันได้ดีขึ้น ส่งผลให้คุณลักษณะการเกิดเพสท์ และเนื้อสัมผัสบางอย่างของข้าวเปลี่ยนไปเหมือน หรือใกล้เคียงกับข้าวใหม่ก่อนเริ่มเก็บรักษา โดยแถบโปรตีนขนาดใหญ่ มีความเข้มลดลงอย่างมากในตัวอย่างที่แข่ด้วย DTT และ DTT มีประสิทธิภาพสูงกว่าโซเดียมชัลไฟฟ์ สอดคล้องกับค่าปริมาณหมู่ไคซัลไฟฟ์ที่ลดลง และคุณสมบัติการเกิดเพสท์ของข้าวที่เปลี่ยนแปลงไปมากกว่าฟลาร์วที่แข่ด้วยโซเดียมชัลไฟฟ์ สำหรับโปรตีนที่สักด้วยสารละลายค่างร่วมกัน โซเดียมโอดิซิลชัลไฟฟ์เพิ่มขึ้นร้อยละ 1 (ภาพที่ 5.6) พบร่วม



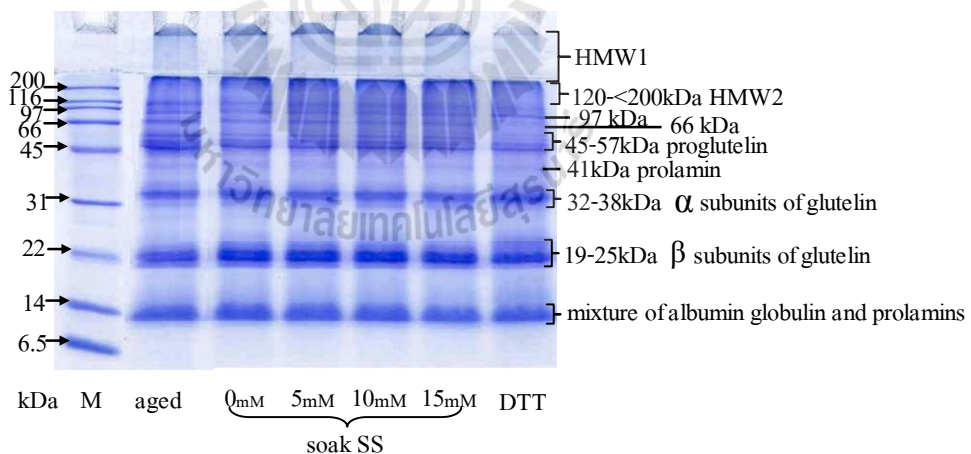
ภาพที่ 5.5 ผลการแยกขนาดโปรตีนด้วยวิธี SDS-PAGE ของสารละลายน้ำจากข้าวขาวคอกมະลิ 105 เก่า (aged) ที่แช่ด้วยโซเดียมซัลไฟฟ์ (SS) เข้มข้น 0, 5, 10 และ 15 มิลลิโมลาร์ และ ได้ไทโอดิทอล เข้มข้น 5 มิลลิโมลาร์ (DTT) ลักษณะสารละลายน้ำ NaOH เข้มข้น 10 มิลลิโมลาร์ ใช้ปริมาณอะคริลามีดร้อยละ 12.5 โดยแบบ M (lane M) แสดงโปรตีนมาตรฐาน



ภาพที่ 5.6 ผลการแยกขนาดโปรตีนด้วยวิธี SDS-PAGE ของสารละลายน้ำจากข้าวขาวคอกมະลิ 105 เก่า (aged) ที่แช่ด้วยโซเดียมซัลไฟฟ์ (SS) เข้มข้น 0, 5, 10 และ 15 มิลลิโมลาร์ และ ได้ไทโอดิทอลเข้มข้น 5 มิลลิโมลาร์ (DTT) ลักษณะสารละลายน้ำ NaOH เข้มข้น 10 มิลลิโมลาร์ ที่ประกอบด้วยสารละลายน้ำ SDS เข้มข้นร้อยละ 1 ใช้ปริมาณอะคริลามีดร้อยละ 12.5 โดยแบบ M (lane M) แสดงโปรตีนมาตรฐาน



ภาพที่ 5.7 ผลการแยกขนาดโปรตีนด้วยวิธี SDS-PAGE ของสารละลายโปรตีนจากข้าวขาวคอกมะลิ 105 เก่า (aged) และข้าวเก่าที่แช่ด้วยโซเดียมซัลไฟฟ์ (SS) เชื้มขึ้น 0, 5, 10 และ 15 มิลลิโนลาร์ และได้ไหโอโซชิทอลเชื้มขึ้น 5 มิลลิโนลาร์ (DTT) สักด้วยสารละลาย NaOH เชื้มขึ้น 10 มิลลิโนลาร์และใช้ปริมาณอะคริลามีดร้อยละ 15 โดยแถบ M (lane M) แสดงโปรตีนมาตรฐาน



ภาพที่ 5.8 ผลการแยกขนาดโปรตีนด้วยวิธี SDS-PAGE ของสารละลายโปรตีนจากข้าวขาวคอกมะลิ 105 เก่า (aged) และข้าวเก่าที่แช่ด้วยโซเดียมซัลไฟฟ์ (SS) เชื้มขึ้น 0, 5, 10 และ 15 มิลลิโนลาร์ และได้ไหโอโซชิทอลเชื้มขึ้น 5 มิลลิโนลาร์ (DTT) ใช้สารละลาย NaOH เชื้มขึ้น 10 มิลลิโนลาร์ที่ประกอบด้วยสารละลาย SDS เชื้มขึ้นร้อยละ 1 เป็นตัวสักด้วยปริมาณอะคริลามีดร้อยละ 15 โดยแถบ M (lane M) แสดงโปรตีนมาตรฐาน

โปรตีนขนาดใหญ่ตั้งแต่โปรกลูติลินขึ้นไปมีความเข้มของแคนโปรตีนลดลงในทุกตัวอย่างทั้งที่แข็งและไม่แข็งสารรีดิวซิงซ์ (aged, 0mM, 5mM, 10mM, 15mM และ DTT) เมื่อเทียบกับภาพที่ 5.5

แสดงให้เห็นว่าสารรีดิวซิงซ์มีผลทำลายเฉพาะพันธะไดซัลไฟด์เท่านั้น ไม่สามารถทำลายโปรตีนที่เชื่อมกันด้วยแรงไฮโดรฟอฟิกได้ โดยในภาพที่ 5.6 พนแคนโปรตีนกลูติลิน และกลุ่มโอมากูลใหญ่ (HMW1 และ HMW2) หลงเหลืออยู่ในปริมาณที่มาก แสดงว่า โปรตีนกลุ่มดังกล่าวเนี้ยอาจเชื่อมกันด้วยพันธะไดซัลไฟด์ และขาดตัวอยู่ภายใน การที่จะทำลายพันธะไดซัลไฟด์ที่พับตัวอยู่ภายในได้นั้นอาจต้องทำให้โปรตีนเกิดการเปิดตัวด้วยการให้ความร้อน จึงปัจจุบันว่าสารรีดิวซิงซ์จะทำงานได้ดีนั้น โปรตีนจะต้องมีการเปิดตัวด้วยความร้อนหรือปฏิกิริยาเคมีก่อน เมื่อเพิ่มความเข้มข้นของอะคริลามีดีเป็นร้อยละ 15 จะพบแคนโปรตีนผสมระหว่างอัลบูมิน โกลบูลิน และโพรลามิน ที่มีขนาดประมาณ 14 กิโลคาลตัน โดยไม่พบการเปลี่ยนแปลงความเข้มของแคนโปรตีนภายหลังการใช้สารรีดิวซิงซ์ (ภาพที่ 5.7 และ 5.8) แต่ยังคงพบการลงลงของโปรตีนขนาดใหญ่ และการเพิ่มขึ้นของโปรตีนขนาดเล็กอยู่ จึงอธิบายได้ว่าสารรีดิวซิงซ์จะรีดิวซ์พันธะไดซัลไฟด์ซึ่งเป็นพันธะหลักที่มีความสำคัญในการเสถียรโครงสร้างของโปรตีนกลูติลินเป็นส่วนใหญ่

5.5 สรุปผลการทดลอง

เนื้อสัมผัสของข้าวเก่าสุกที่แข็งและร่วน สามารถปรับเปลี่ยนให้นุ่มและมีการเกาะกันของเมล็ดข้าวมากขึ้นด้วยสารรีดิวซิงซ์ได้ โดยการใช้ SS และ CYS ที่ 5, 10 และ 15 มิลลิโนลาร์ แทนน้ำหุงข้าว สามารถเพิ่มทั้งความนุ่ม และการเกาะกันของเมล็ดได้ ต่างจาก AA ที่เพิ่มเพียงความนุ่มนิ่วในข้าวเก่าแต่ไม่เพิ่มการเกาะกันของเมล็ด การใช้บافเฟอร์เพื่อควบคุมพีอีชของสารรีดิวซิงซ์ทั้ง 3 ชนิดให้เท่ากันนั้น สามารถเพิ่มเพียงความนุ่มนิ่วแต่ไม่เพิ่มค่าการเกาะกันในเมล็ดข้าวสุกโดยเห็นผลที่ระดับ 15 มิลลิโนลาร์ การปรับพีอีชของน้ำที่ใช้หุงข้าวให้เท่ากับสารรีดิวซิงซ์ที่ 9.46-9.63 และ 3.07-3.30 มีผลทำให้ข้าวเก่าสุกนุ่มนิ่วได้ สารรีดิวซิงซ์ทั้ง 3 ชนิดทำให้ค่า PV และ BD เพิ่มขึ้น ขณะที่ค่า SB ต่ำลง แสดงถึงสตาร์ชเจลอดีโนซ์ได้จำกัดขึ้น จากการพอง และแตกตัวคีนีขึ้นของเม็ดสตาร์ช ส่งผลให้ เจลยึดหยุ่น และอ่อนนุ่มนิ่ว การปรับค่าน้ำพีอีชให้เท่ากับพีอีชของสารรีดิวซิงซ์ที่พีอีช 3.30 ทำให้การพองตัวของเม็ดสตาร์ช ค่าความหนืดสุดท้าย และค่าการคืนตัวของเจลมีค่าต่ำ จากผลทั้งหมดสรุปได้ว่า SS มีประสิทธิภาพสูงสุดในการปรับเปลี่ยนค่าน้ำสัมผัสและการเกิดเพสท์ในข้าวเก่าให้ใกล้เคียงข้าวใหม่ได้ การแข็งข้าวเก่าด้วยสารคละลาย SS เปลี่ยน 5, 10 และ 15 มิลลิโนลาร์ แสดงการลดลงของค่า PV และ BD แสดงถึงการพองและแตกตัวได้ดีขึ้นในเม็ดสตาร์ช และให้ค่าการคืนตัวของเจลที่ต่ำ เจลที่ได้จึงอ่อนนุ่มกว่าตัวอย่างข้าวเก่าปกติ โดย SS และ DTT ที่ใช้แข็งข้าวสามารถตัดพันธะไดซัลไฟด์ที่เชื่อมโอมากูลขนาดใหญ่ให้แตกเป็นหน่วยย่อย จึงไม่ขัดขวาง

การพองตัว และการเจล化ในเชื้อนของสตาร์ช ทำให้มีลักษณะข้าวเก่าการแกะตัวกันเพิ่มขึ้น และมีความนุ่มที่ใกล้เคียงข้าวใหม่

5.6 รายการอ้างอิง

- Arai, E., Aoyama, K. and Watanabe, M. (1993). Enzymatic improvement of the cooking quality of aged rice: A main mode of protease action. **Bioscience Biotechnology Biochemistry** 57: 911-914.
- Bao, J.S., Sun, M., Zhu, L.H., Corke, H. (2004). Analysis of quantitative trait loci for some starch properties of rice (*Oryza sativa* L.): thermal properties, gel texture and swelling volume. **Journal of Cereal Science** 39: 379–385.
- Barber, S. (1972). Milled rice and changes during aging. **Rice Chemistry and Technology**, (D.F. Houston, ed.), American Association of Cereal chemists, St. Paul. USA. page 215-263.
- Benjakul, S., Thongkaew, C. and Visessanguan, W. (2005). Effect of reducing agents on physicochemical properties and gel-forming ability of surimi produced from frozen fish. **European Food Research and Technology** 20: 316-321.
- Chrastil, J. and Zarins, Z.M. (1992). Influence of storage on peptide subunit composition of rice oryzzenin. **Journal of Agricultural Food Chemistry** 40: 927-930.
- Craig, S. A. S., Maningat, C. C., Seib, P.A. and Hoseney, R.C. (1989). Starch paste clarity. **Cereal Chemistry** 66: 173.
- Eklhalifa, A.E.O., Chandrashekhar, A., Mohamed, B.E. and Tinay, A.H.El. (1999). Effect of reducing agents on the in vitro protein and starch digestibilities of cooked sorghum **Food Chemistry** 66: 323-326
- Ema, S. and Kainuma, Y. (1991). Use of citrus fruits for rice cooking (Part 2) (in Japanese). **Journal. Cookery Science of Japan**, 24: 89-95.
- Ghasemi, E., Mosavian, M.T.H and Khodaparast, M.H.H (2008).The Effect of Acetic and Lactic Acid on the Oil Uptake Texture and Color of Rice (Sang Tarom) During Cooking. **World Applied Science Journal** 4(2): 183-187.
- Hamaker, B.R. and Griffin, V.K. (1990). Changing the Viscoelastic properties of cooked rice Through protein Disruption. **Cereal Chemistry** 67(3): 261-264.

- Hamaker, B.R. and Griffin, V.K.(1993) Effect of Disulfide bond-containing protein on rice starch gelatinization and pasting. **Cereal Chemistry** 70(4): 377-380.
- Hamaker, B.R. and Griffin, V.K. (1993). Effect of Disulfide Bond-Containing Protein on Rice Starch Gelatinization and Pasting, **Cereal Chemistry** 70(4): 377-380.
- Han, J.-H. and Lim, S.-T. (2009). Effect of presoaking on Textural, Thermal, and Digestive Properties of Cooked Brown Rice, **Cereal Chemistry** 86 (1): 100-105.
- Itoh, Y., Yoshinaka, R., and Ikeda, S. (1979). Effects of cysteine and cystine on the gel formation of fish meats on heating. **Bulletin of the Japanese Society for the Science of fish** 45: 341-345.
- Juliano, B.O.(1985). Criteria and tests for rice grain qualityes. **Rice Chemistry and Technology**, American Association of Cereal chemists, St. Paul. USA. page 443-524.
- Kang, H-J., Hwang, I-K., Kim, K-S. and Choi, H-C. (2006). Comparison of the physicochemical properties and ultrastructure of Japonica and Indica rice grains. **Journal of Agricultural and Food Chemistry** 54: 4833-4838.
- Leach, H.W. and Schoch, T.J. (1962). Structure of the starch granule. III. Solubilities of Granular Starches in dimethyl Sulfoxide, **Cereal Chemistry** 39: 318-326.
- Meullenet, J-F.C., Marks, B.P., Griffin, K. and Daniels, M.J. (1999). Effects of rough rice drying and storage conditions on sensory profiles of cooked rice, **Cereal Chemistry** 76: 483-486.
- Moritaka, S. and Yasumatsu, K. (1972). Studies on cereals. X. The effects of sulphydryl groups on storage deterioration of milled rice. **Eiyo To Shokuryo** 25:59-62.
- Moritaka, S., Sawada, K. and Yasumatsu, K. (1972). Studies on cereals. VI. Effect of fat extraction on rice quality and storage deterioration of defatted rice, **Eiyo To Shokuryo** 24: 457-460.
- Moritaka, H. and Nakamura, K. (2005). Effect of salts on mechanical properties of heated rice grains. **The Society of Rheology**: 22 (2): 75-79.
- Neves, F.M.D., Pereira, J.M., Zavareze, E.D.R., Dias, A.R.G and Elias, M.C. (2010) Expansion of rice flour treated with lactic acid and sodium bisulphite. **LWT-Food Science and Technology** 43: 326-330.
- Ohno, T. and Ohisa, N. (2005). Studies on textural and chemical changes in aged rice grains, **Food Science and Technology**.11(4): 385-389.

- Ohno, T., Tomatsu, M., Toeda, K. And Ohisa, N. (2007). Texture of Cooked rice prepared from Aged Rice and Its improvement by reducing agents. **Bioscience Biotechnology Biochemistry** 70(12): 2912-2920.
- Okabe, M. (1979). Texture measurement of cooked rice and its relationship to the eating quality. **Journal of texture studies** 10: 131-152.
- Ohishi, K., Kasai, M., Shimada, A. And Hatae, K. (2003). Effect of acetic acid added to cooking water on the dissolution of proteins and activation of protease in rice. **Journal of Agricultural and Food Chemistry** 51: 4054-4059.
- Roussel, H., Cheftel, J.C. (1990). Mechanisms of gelation of sardine proteins: influence of thermal processing and of various additives on the texture and protein solubility of kamaboko. **Journal of Food Science and Technology** 25:260–280
- Saleh, M.I. and Meullenet, J-F. (2007). Effect of protein disruption using proteolytic treatment on cooked rice texture properties. **Journal of Texture Studies** 38: 423-437.
- Shibuya, N and Iwasaki, T. (1982). Effect of the enzymatic removal of endosperm cell wall on the gelatinization properties of aged and unaged rice flours, **Starch/ Stärke** 34: 300-303.
- Takeuchi, W. Masui, H. and Yamaguchi, J. (1999). Reducing-agents-mediated Solubilization and Activation of Debranching Enzyme (Pullulanase) in Rice Flour, **Bioscience Biotechnology Biochemistry** 63 (3): 510-514.
- Tsugita, T., Ohta, T. and Kato, H.(1983). Cooking flavour and texture of rice stored under different conditions, **Agricultural and Biological Chemistry** 47: 543-549.
- Tsen, C.C. (1969). **Effect of oxidizing and reducing agents on changes of flour proteins during dough mixing.** (pp. 435-442) American Institute of baking: Chicago, Illinois.
- Villareal, C.P. and Juliano, B.O. (1986). Waxy gene factor and residual protein of rice starch granules. **Starch/Stärke** 38: 118.
- Wang, H. –H., Sun, D.-W., Zeng, Q. and Lu, Y. (2000). Effect of pH, Corn starch and phosphates on the pasting properties of rice flour. **Food Engineering** 46: 133-138.
- Xie, L., Chen, N., Duan, B., Zhu, Z. and Liao, X (2008). Impact of proteins on pasting and cooking properties of waxy and non-waxy rice. **Journal of Cereal Science** 47: 376-379.
- Zhou, Z., Robards, K., Helliwell, S. and Blanchard, C. (2003). Effect of rice storage on pasting properties of rice flour, **Food Research International** 36: 625-634.

บทที่ 6

บทสรุป

การศึกษาข้าวพันธุ์ข้าวคอกมະลิ 105 จำนวน 3 กลุ่ม คือ ข้าวเก่า 1 ปี ข้าวแซ่บเงี้ง 1 ปี และ ข้าวร่างความเก่า พนวตัวอย่างข้าวทั้ง 3 กลุ่มนี้ลักษณะเนื้อสัมผัส คุณสมบัติการเกิดเพลสต์ รวมทั้ง คุณสมบัติทางความร้อน ที่แตกต่างกันจากข้าวใหม่อย่างชัดเจน โดยข้าวเก่ามีเนื้อสัมผัสที่แข็งและ ร่วน เม็ดสตาร์ชพอง และแตกตัวน้อย ต้องใช้อุณหภูมิที่สูงในการเกิดเจลาติในเชื้ัน การเก็บข้าวที่ สภาพะแซ่บเงี้ง 1 ปี ไม่สามารถยับยั้งการเปลี่ยนแปลงคุณภาพของข้าวได้ โดยความนุ่ม และการเกาะ ติดกันของเม็ดข้าวสุกจะลดลง การพองตัวของสตาร์ชลดลง ขณะที่อุณหภูมิในการเกิดเจลาติในเชื้ัน ลดลง การใช้อุณหภูมิสูงเร่งความเก่าของข้าวทำให้การเกาะติดกันของเม็ดข้าวสุกมีค่าลดลงได้แต่ ความแข็งไม่เพิ่มขึ้น เม็ดสตาร์ชพองและแตกตัวได้น้อยมาก อุณหภูมิในการเกิดเจลาติในเชื้ันสูง เช่นเดียวกับข้าวเก่า ความแตกต่างของคุณสมบัติต่าง ๆ เช่น กำลังการพองตัว ปริมาณของเงี้งที่ ละลายได้ คุณสมบัติการเกิดเพสต์ และคุณสมบัติทางความร้อน สามารถลดระดับลงได้ ภายหลัง จากโปรตีนที่ขัดขวางการพองตัว และเจลาติในเชื้ันของสตาร์ชถูกกำจัดออกไป แสดงว่าโปรตีนมี ผลอย่างมากต่อคุณภาพของข้าวที่เปลี่ยนแปลงไป

การเก็บรักษาข้าว 1 ปีมีผลทำให้คุณสมบัติทางเคมีภายในภาพของโปรตีนเปลี่ยนแปลงไปโดย การละลายของโปรตีนลดลง โปรตีนมีการเปิดตัวหรือคลายตัวเพิ่มขึ้น ทำให้หมู่ชัลไอดริล และ กรดอะมิโนไฮโดรฟอฟิกที่บดตัวอยู่ด้านในโมโนกลูเลอีนที่ออกมายังด้านหน้า จากนั้นจึงเกิดการ เซื่อมกันของกรดอะมิโนระหว่างโมโนกลูเลอีก โปรตีนด้วยอันตราริยาไฮโดรฟอฟิก และพันธะไดชัลไฟฟ์ ทำให้โปรตีนมีขนาดโมโนกลูเลอีกใหญ่ขึ้น ขัดขวางการซึมผ่านของน้ำเข้าสู่เม็ดสตาร์ช การพองตัว และการแตกตัวของสตาร์ชเกิดขึ้นน้อย ต้องใช้อุณหภูมิที่สูงในการทำให้มีดสตาร์ชเจลาติในเชื้ัน นอกจากนี้ความร้อนที่ใช้ในการหุงข้าวก็ทำให้โปรตีนสูญเสียสภาพ โดยโมโนกลูเลอีก โปรตีนมีการ เปิดตัวเพิ่มขึ้น ข้าวหุงสุกมีปริมาณโปรตีนที่ละลายออกมากได้น้อยกว่าข้าวสาร ทั้งนี้การละลายของ โปรตีนสามารถเพิ่มขึ้นได้เมื่อใช้อ่อนไข่มะไนโอลส์ ย่อยพอลิเมอร์ของสตาร์ชก่อนการสกัด โปรตีน ซึ่งแสดงถึงการมีปฏิสัมพันธ์ระหว่างโปรตีนกับสตาร์ชที่เกิดขึ้นระหว่างการทำความร้อน นอกจากนี้ ยังพบกลุ่มโปรตีนขนาดเท่าโปรกลูทีลินในปริมาณมาก ซึ่งเกิดจากการเกาะกลุ่มกันใหม่ของหน่วย ย่อยแอลฟ่า และบีต้ากลูทีลิน ด้วยพันธะไดชัลไฟฟ์ แสดงว่าพันธะไดชัลไฟฟ์มีบทบาทสำคัญต่อ ความเสถียรของโครงสร้างโปรตีนทั้งก่อนและหลังให้ความร้อน และจากปริมาณหมู่ไดชัลไฟฟ์ที่มีมาก

ในข้าวเก่า ทำให้โครงสร้างตاخت่ายสารมิคิของเจลจากข้าวเก่ามีความเสถียรมากกว่านั้นเอง

สารรีดิวชิงซ์ 2 ชนิดได้แก่ โซเดียมซัลไฟฟ์ (SS) และ ซิสทีอิน (CYS) สามารถปรับเปลี่ยนเนื้อสัมผัสข้าวเก่าโดยเพิ่มทั้งความนุ่ม และการเกาะกันของเมล็ดได้ ต่างจากการด逍สคอร์บิก (AA) ที่เพิ่มเพียงความนุ่มนิ่วในข้าวเก่าแต่ไม่เพิ่มการเกาะกันของเมล็ด สารรีดิวชิงซ์ทั้ง 3 ทำให้สตาร์ช เจลาตินซ์ ได้ง่ายขึ้น จากการพองและแตกตัวดีขึ้นของเม็ดสตาร์ชส่างผลให้เจลยึดหยุ่นและอ่อนนุ่มลงได้ ค่าพีเอชของสารละลายทั้ง 3 ชนิดก็มีส่วนช่วยเพิ่มความนุ่มนิ่วในข้าวเก่าด้วย จากการที่โครงสร้างของโปรตีนถูกทำลายทำให้สตาร์ชพองตัวและดูดน้ำได้มาก ค่าพีเอชที่เป็นกรด (พีเอช 3.30) ลดการพองตัวของเม็ดสตาร์ช และคงว่ากรดย่อยโมเลกุลสตาร์ชให้เล็กลง ค่าความหนืดสุดท้ายและการคืนตัวของเจล มีค่าต่ำได้ จากสารรีดิวชิงซ์ทั้ง 3 ชนิด SS มีประสิทธิภาพสูงสุดในการปรับเปลี่ยนค่านี้อีกต่อไป และการเกิดเพสท์ในข้าวเก่าให้ใกล้เคียงข้าวใหม่ การแซ่บข้าวเก่าด้วย SS สามารถทำให้เม็ดสตาร์ช พองและแตกตัวได้ดีขึ้น การคืนตัวของเจลมีค่าต่ำ เจลที่ได้จึงอ่อนนุ่มลง นอกจากนี้ปริมาณหมู่ไค ซัลไฟฟ์ของโปรตีนสักด JACK ข้าวแห้ง SS ที่ 5 mM และ DTT ลดลง สัมพันธ์กับการเพิ่มขึ้นของหมู่ ชัลไครติ รวมถึงผล SDS-PAGE ที่แสดงการลดลงของแถบโปรตีนขนาดใหญ่ และโปรตีนที่ลิน และการเพิ่มขึ้นของหน่วยย่อยกลูทีลิน แม้ประสิทธิภาพของ SS จะต่ำกว่า DTT แต่ค่าเนื้อสัมผัส ของข้าวเก่าแห้ง SS ก็ยังมีความนุ่มนิ่ว และมีการเกาะกันของเมล็ดข้าวสูงเพิ่มขึ้น ใกล้เคียงกับข้าวใหม่ได้



ภาคผนวก

วิธีการเตรียมตัวอย่างและสารเคมี

1. การเตรียมเอนไซม์อะไเมเลส

ดัดแปลงจากวิธีการของ Zihua Ao และคณะฯ (2007) และ Yook และคณะฯ (2002) สารละลายน้ำเอนไซม์อะไเมเลสเข้มข้นร้อยละ 0.05 เตรียมได้โดยชั่งเอนไซม์ 0.0125 กรัม ใส่ในบีกเกอร์ขนาด 50 มิลลิลิตร เติมน้ำกลันปฐมคราว 25 มิลลิลิตร นำบีกเกอร์ที่มีสารละลายน้ำเอนไซม์อยู่ตั้งในอ่างน้ำแข็งขนาดเล็ก ทำการกรวนผสมเป็นเวลา 30 นาที จากนั้นถ่ายสารละลายน้ำเอนไซม์ในหลอดปั่นเหวี่ยงขนาด 50 มิลลิลิตร นำไปปั่นเหวี่ยงด้วยความเร็วรอบ 1,500 xg ที่อุณหภูมิ 4 องศาเซลเซียส เป็นเวลา 15 นาที ถ่ายสารละลายน้ำเอนไซม์ในหลอดปั่นเหวี่ยงหลอดใหม่ นำไปเก็บรักษาที่ 4 องศาเซลเซียส เพื่อรอนำไปใช้ย่อยตัวอย่างเจลข้าวสุกต่อไป (โดยในการย่อยตัวอย่างทุกครั้งควรจะเตรียมเอนไซม์ใหม่เสมอ)

2. การวิเคราะห์ปริมาณน้ำตาลรีดิวชิงตามวิธีการของ Somogyi (1952)

ตารางที่ 1 อัตราส่วนสารละลายน้ำตาลรีดิวชิงที่ใช้วิเคราะห์ปริมาณน้ำตาลรีดิวชิง

Solution	Standard glucose (ml)	Distilled water (ml)
	0	1
standard glucose	0.02	0.980
	0.04	0.960
	0.08	0.920
	0.120	0.880
	0.160	0.840
	0.100	0.800
sample	-	-

หมายเหตุ: sample หมายถึง สารละลายน้ำเอนไซม์อะไเมเลสที่ได้จากการบ่มอยด์ข้าวสุกที่ผ่านการย่อยตัวอย่างเจลข้าวสุกต่อไป ที่เวลาในการย่อยต่างกัน ปริมาตร 1 มิลลิลิตร

เตรียมสารละลายน้ำตาลรากูลูโคสที่ความเข้มข้น 0, 40, 80, 120, 160 และ 200 มิลลิกรัมต่อมิลลิลิตร จากสารละลายน้ำตาลรากูลูโคสมาราฐานเพื่อปรับปรุงค่าการดูดซึมน้ำตาลในน้ำก่อนต้ม ให้เท่ากัน นำไปต้มในน้ำเดือด 15 นาที เมื่อครบเวลา ลดอุณหภูมิตัวอย่างลงให้เหลืออุณหภูมิห้อง จากนั้นเติม เนลเซ่น รีเอเจนต์ (nelson reagent) ปริมาตร 1 มิลลิลิตรลงไปผสมให้เข้ากัน ตั้งทิ้งไว้ 30 นาที เมื่อครบเวลาเติมน้ำก่อนต้มปริมาตร 5 มิลลิลิตร และผสมให้เข้ากัน นำไปวัดค่าการดูดซึมน้ำตาล 520 นาโนเมตร คำนวณปริมาณน้ำตาลรีดิวชิงชี้ในตัวอย่าง โดยเทียบจากกราฟสารละลายน้ำตาลรากูลูโคสมาราฐาน

ตารางที่ 2 ปริมาณกูลูโคสและโปรตีนที่สกัดได้จากสารละลายน้ำตาลรีดิวชิงชี้ในตัวอย่าง
โดยใช้มือไมโครแสป์ที่ระยะเวลาต่าง ๆ

sample	digestion time (h)	glucose ($\mu\text{g/g dry sample}$)	alkaline extractable protein (mg/g sample)
fresh cooked	1	176	39
	3	277	36
	5	337	42
	8	335	38
aged cooked	1	235	30
	3	272	28
	5	298	25
	8	390	25

2.1 สารเคมีที่ใช้สำหรับการวิเคราะห์ปริมาณน้ำตาลรีดิวชิงชี้ด้วยวิธี Somogyi

2.1.1 Arsenomolybdate color reagent

ชั้งแอนโอมีเนียม โมลิบเดท (ammonium molybdate: $(\text{NH}_4)_6 \text{Mo}_7\text{O}_{24}$) 25 กรัม ละลายในน้ำก่อนต้ม 450 มิลลิลิตร เติมกรดซัลฟิวริกเข้มข้น 21 มิลลิลิตร ผสมกับสารละลายน้ำตาลรากูลูโคส (sodium arsenate: Na_2HAsO_4) โดยชั้งโชเดียมอาร์เซนิท 3 กรัม ที่ละลายในน้ำก่อนต้มปริมาตร 25 มิลลิลิตร นำไปให้ความร้อนที่อุณหภูมิ 55 องศาเซลเซียสเป็นเวลา 25 นาที เก็บสารละลายน้ำตาลรากูลูโคส

2.1.2 Copper carbonate-tartrate reagent

นำสารละลาย A (เติมน้ำกลั่น 250 มิลลิลิตร ใส่ขวดปริมาตรขนาด 2 ลิตร ชั้ง แอนไฮดรัสโซเดียมคาร์บอเนต (anhydrous sodium carbonate: Na_2CO_3) 24 กรัม และ Rochelle salts 12 กรัม ลงในขวดปริมาตรอันเดิม ผสมให้เข้ากัน จากนั้นเติมสารละลายคอปเปอร์ซัลเฟต เข้มข้น ร้อยละ 10 ปริมาตร 40 มิลลิลิตร โดยการผสมตลอดเวลาจนที่ทำการเติมสารละลาย และเติมโซเดียมไบคาร์บอเนต 6 กรัม) คนผสมให้ละลายเข้ากัน และสารละลาย B (น้ำกลั่นปริมาตร 500 มิลลิลิตร ใส่ในบีกเกอร์ขนาด 1 ลิตร นำไปต้มให้เดือด เติมแอนไฮดรัสโซเดียมซัลเฟต ปริมาตร 180 กรัมลงไป ต้มให้ความร้อนจนกว่าเกิดอุจจาระเหลือง แล้วลดอุณหภูมิสารละลายลง) ปรับปริมาตรด้วยน้ำกลั่นให้เป็น 2000 มิลลิลิตร เก็บสารละลายไว้ในขวดสีชา

2.2 สารเคมีที่ใช้สำหรับสักดีโปรตีนขาวสูญ

2.2.1. สารละลายโซเดียมโอดเดซิลซัลเฟต (SDS)

SDS เข้มข้นร้อยละ 20 (น้ำหนักต่อปริมาตร) ปริมาตร 20 มิลลิลิตร โดย SDS 4 กรัม ใส่บีกเกอร์ขนาด 50 มิลลิลิตรละลายในน้ำกลั่น 20 มิลลิลิตร โดยค่อยๆ คนสารละลายเบาๆ เพื่อไม่ให้เกิดฟอง จนกว่า SDS จะละลายหมด

2.1.2 สารละลายโซเดียมไฮดรอกไซด์

สารละลายโซเดียมไฮดรอกไซด์เข้มข้น 1.0 โมลาร์ ปริมาตร 100 มิลลิลิตร

3. การหาปริมาณโปรตีนด้วยวิธีโลว์รี (lowry)

สร้างกราฟมาตรฐานของสารละลายโปรตีนมาตรฐาน บòวินเซรั่มอัลบูมิน (bovine serum albumin: BSA) (ความเข้มข้น 1 มิลลิกรัมต่อมิลลิลิตร เก็บที่อุณหภูมิ 4 องศาเซลเซียส ก่อนการวิเคราะห์) โดยคุณสารละลายมาตรฐาน BSA ปริมาตร 0, 10, 20, 30, 50, 70 และ 100 ไมโครลิตร ใส่ในหลอดทดลองขนาดเล็ก จากนั้นเติมสารละลายตัวอย่างโปรตีนที่สักดีได้ปริมาตร 10 ไมโครลิตร ใส่ในหลอดทดลองใหม่ แล้วปรับปริมาตรทุกหลอดด้วยน้ำกลั่นให้ละหลอดเป็น 100 ไมโครลิตร จากนั้นเติมเรอเจนต์ 1 มิลลิลิตร (สารผสมระหว่างเรอเจนต์เอกับเรอเจนต์บี) ปั่นผสมทันทีจนครบทุกหลอด จากนั้นเติมเรอเจนต์ซีปริมาตร 100 ไมโครลิตร ใส่ในทุกหลอด (โดยเริ่มเติมจากหลอดแรกที่เติมสารเรอเจนต์ดี) จับเวลา 30 นาทีโดยเริ่มจับเวลาตั้งแต่หลอดแรกที่เติมเรอเจนต์ดี วัดค่าการดูดกลืนแสงที่ 750 นาโนเมตร ปริมาณโปรตีนที่สักดีได้คำนวณจากกราฟความสัมพันธ์ระหว่างค่าการดูดกลืนแสงกับความเข้มข้นของสารละลาย BSA ในหน่วย มิลลิกรัมต่อมิลลิลิตร

3.1 สารเคมีสำหรับหาปริมาณโปรตีนด้วยวิธีลาร์ว (Lowry)

3.1.1 รีเอเจนต์เอ

โซเดียมคาร์บอนเนตเข้มข้นร้อยละ 2 ในสารละลายน้ำโซเดียมไฮดรอกไซด์เข้มข้น 0.1 โมลาร์ เตรียมได้โดยชั่งโซเดียม 21.2 กรัมต่อลิตร ผสมกับ 10 มิลลิลิตร ของ 1.0 โมลาร์ NaOH ในปริมาตรรวมเท่ากับ 100 มิลลิลิตร

3.1.2 รีเอเจนต์บี

สารละลายน้ำเปอร์ซัลเฟต ($\text{CuSO}_4 \cdot 5\text{H}_2\text{O}$) เข้มข้นร้อยละ 0.5 ละลายน้ำโซเดียมซิเตอทเข้มข้นร้อยละ 1

3.1.3 รีเอเจนต์ซี

Folin-Ciocalteu's phenol reagent เข้มข้น 1 นอร์มอล์ ผสมกับน้ำกลั่นในอัตราส่วน 1 ต่อ 1

3.1.4 รีเอเจนต์ดี

รีเอเจนต์บี 1 มิลลิลิตร ผสมกับ รีเอเจนต์เอ 50 มิลลิลิตร

4. การวิเคราะห์ขนาดโมเลกุลโปรตีนด้วยเทคนิคโอลิ哥โทฟอร์เมล SDS-PAGE

4.1 สารละลายน้ำที่ใช้เตรียมเจล

4.1.1 อะคริลามิด (acrylamide) (30%T, 2.7%C)

ชั่งสารเคมีได้แก่ อะคลิลามิด 29.2 กรัม และ Bis – (N,N' methylene-bis-acrylamide) 0.8 กรัม ละลายด้วยน้ำกลั่นและปรับปริมาตรให้ครบ 100 มิลลิลิตร จากนั้นถ่ายสารละลายน้ำที่อุณหภูมิ 4 องศาเซลเซียส

4.1.2 รันนิ่ง บัฟเฟอร์ (4x) (Tris-HCl เข้มข้น 1.5 โมลาร์, พีเอช 8.8)

ชั่งทรีสเบส (Tris base) 18.15 กรัม ละลายด้วยน้ำกลั่น ปรับพีเอชเท่ากับ 8.8 ด้วยกรดไฮโดรคลอริกเข้มข้น ปรับปริมาตรให้ครบ 100 มิลลิลิตร

4.1.3 สเต็กกิ่ง บัฟเฟอร์ (4x) (Tris HCl เข้มข้น 0.5 โมลาร์, พีเอช 6.8)

ชั่งทรีสเบส (Tris base) 3 กรัม ละลายในน้ำกลั่น แล้วปรับพีเอชเท่ากับ 6.8 ด้วยกรดไฮโดรคลอริกเข้มข้น ปรับปริมาตรให้ครบ 50 มิลลิลิตร ด้วยน้ำกลั่น

4.1.4 สารละลายน้ำโซเดียมโอดีเดซิลซัลเฟต (sodium dodecyl sulfate) เข้มข้นร้อยละ 10

ชั่ง SDS 10 กรัม ละลายในน้ำกลั่น 100 มิลลิลิตร

4.1.5 แอมโมเนียมเพอร์ซัลเฟต (ammonium persulfate) เข้มข้นร้อยละ 10

ชั่ง ammonium persulfate 0.1 กรัม ผสมกับน้ำกลั่น 1 มิลลิลิตร ควรเตรียมใหม่ทุกครั้งเมื่อต้องการใช้งาน และห้ามด้วยกระดาษอะลูมิเนียม

4.1.6 ทริตเมนต์ บัฟเฟอร์ (2x) ประกอบด้วย Tris-HCl เข้มข้น 0.125 โมลาร์, พีเอช 6.8, SDS ร้อยละ 4, กลีเซอโรล ร้อยละ 20 และ บีต้าเมอร์แคปโtopicอทานอล เข้มข้นร้อยละ 10

ปีเปต Tris-HCl (พีเอช 6.8) เข้มข้น 0.5 โมลาร์ ปริมาตร 2.5 มิลลิลิตร เติม SDS เข้มข้นร้อยละ 10 ปริมาตร 4 มิลลิลิตร กลีเซอโรล 2 มิลลิลิตร เบต้า-เมอร์แคปโtopicอทานอล 1 มิลลิลิตร และ โนรโนฟินอลบลู เข้มข้นร้อยละ 0.1 (ทำให้เกิดสี) ปริมาตร 0.2 มิลลิลิตร ปรับปริมาตร ด้วยน้ำกลั่นให้ครบ 10 มิลลิลิตร ถ่ายใส่หลอดไม้โคเรเซนทริฟิวส์ ขนาด 1.5 มิลลิลิตร และเก็บไว้ในตู้แช่แข็ง

4.1.7 แท่งกับบัฟเฟอร์ ประกอบด้วย Tris 0.025 โมลาร์, พีเอช 8.3, ไกคลีน 0.192 โมลาร์, SDS ร้อยละ 0.1)

ชั้งทรีสเบส (Tris base) 12 กรัม ไกคลีน 57.6 กรัม และ SDS 4 กรัม ปรับปริมาตร ด้วยน้ำกลั่นให้ครบ 4 ลิตร ปรับค่าพีเอชสุดท้ายให้เท่ากับ 8.3

4.1.8 สีข้อมโปรตีน (staining solution)

ชั้ง Coomassie blue R-250i 1.25 กรัม เติมอทานอลปริมาตร 250 มิลลิลิตร และ กรดอะซิติกปริมาตร 100 มิลลิลิตร ปรับปริมาตรด้วยน้ำกลั่นให้ครบ 1 ลิตร

4.1.9 น้ำล้างสีข้อม (destaining solution)

เตรียม อทานอล 250 มิลลิลิตร กรดอะซิติก 100 มิลลิลิตร ในขวดปริมาตรขนาด 1 ลิตร ปรับปริมาตรด้วยน้ำกลั่นให้ครบ 1 ลิตร

4.2 การเตรียมตัวอย่างโปรตีน

นำสารละลายโปรตีนสักดิที่ทราบความเข้มข้นแล้วสมกับทริตเมนต์บัฟเฟอร์ ในอัตราส่วน 1 ต่อ 1 โดยคำนวณความเข้มข้นสุดท้ายของโปรตีนที่จะโหลดเข้าสู่แผ่นเจลให้มีค่า 25 ไมโครกรัม โปรตีนในทุก ๆ ตัวอย่าง ภายหลังจากทราบความเข้มข้นของตัวอย่างโปรตีนที่ได้ในสารสักดิ้แล้ว ทำการคำนวณปริมาณสารสักดิที่จะใช้ฉีดตัวอย่าง ดังนี้.

4.2.1 ตัวอย่างการคำนวณ

เมื่อทราบโปรตีนที่สักดิได้ว่ามีความเข้มข้น 4.50 มิลลิกรัมต่อมิลลิลิตร หมายถึง มีโปรตีน 4.50 มิลลิกรัมละลายอยู่ในสารละลายด่าง (ตัวทำละลาย) 1 มิลลิลิตร แสดงว่ามีโปรตีน 4.50 ไมโครกรัม ละลายในสารสักดิ 1 ไมโครลิตร ดังนั้นหากต้องการ โปรตีนทั้งหมด 25 ไมโครกรัม จะต้องดูดสารละลายเท่ากับ $(25 \times 1)/4.5 = 5.55$ ไมโครลิตร

ปีเปตสารละลายโปรตีน ผสมกับทริตเมนต์บัฟเฟอร์เข้มข้น 2X ในอัตราส่วน 1 ต่อ 1 โหลดตัวอย่าง โดยใช้โปรตีนที่ผสมกับทริตเมนต์บัฟเฟอร์ปริมาณ 11.10 ไมโครลิตร เพื่อให้ได้ปริมาณ

โปรตีนเท่ากับ 25 ไมโครกรัมในทุกด้าวย่าง

4.3 อุปกรณ์และวิธีการเตรียมเจลอะสดีเจล

เตรียมชุดอุปกรณ์สำหรับเตรียมเจล (Biorad's Mini-protean II) 1 ชุดประกอบด้วยแผ่นยาง, glass plates with integrated spacers ขนาด 0.75 มิลลิเมตร, plastic combs, plastic plate, casting frame, casting stand, clamping frame, electrode assembly, tank, sample loading guides และ power supply

ทำความสะอาด glass plates และ integrated spacers ใช้กระดาษเช็ดเล่นส์ชูบด้วยสารละลายเอทานอลเข้มข้น ร้อยละ 70 ทำการประกอบ glass plate และ integrated spacers เข้าด้วยกัน (glass plate sandwich) แล้วยึดแผ่นกระจักข้าวไว้ด้วยกัน (casting frame) นำไปประกอบเข้ากับ (casting stand) ซึ่งมีแผ่นยางวางไว้ที่ฐานของ casting stand แล้ว พร้อมสำหรับการเตรียมเจล

เตรียมส่วนผสมของรันนิ่งเจล (cocktail running gel) โดยผสมสารเคมีต่าง ๆ ตามลำดับให้ได้อัตราส่วนตามตารางที่ 3-7. ใช้ไมโครปีเพตขนาด 1000 ไมโครลิตร คุณสารละลายผสมที่เตรียมไว้ ใส่ลงระหว่าง glass plates ที่ถูกจัดเตรียมไว้ในข้อ 2 อย่างรวดเร็ว (ระวังเจลแข็งตัว) ระยะความสูงที่เหมาะสมของเจล (โดยเว้นส่วนบนไว้สำหรับเตรียมเจลสเต็กกิ้ง โดยให้ขอบบนสุดของสารละลายรันนิ่งเจลห่างจากค้านบนของ short plate ประมาณ 2.5 เซนติเมตร) ใช้ปีเพตคุณน้ำกลั่นเติมทับลงไปให้เต็มแผ่น plate อย่างรวดเร็วจนกระทั่งแผ่นเจลแข็งตัว (สังเกตได้จากแนวเส้นรอยต่อระหว่างส่วนของเจลที่แข็งตัวแล้วกับน้ำกลั่นที่ปรากฏขึ้นอยู่ค้านบน ซึ่งใช้เวลาประมาณ 30-40 นาที)

ตารางที่ 3 ปริมาณสารเคมีสำหรับเตรียมเจลรันนิ่งเจลเข้มข้นร้อยละ 12.5

Cocktail running gel	1 plate (ml)	2 plate (ml)	4 plate (x2) (ml)	6 plate (x3) (ml)
1.) Acrylamide	2.084	4.167	8.334	12.501
2.) 1.5 M Tris (pH 8.8)	1.25	2.5	5.0	7.5
3.) DI water	1.617	3.233	6.466	9.699
4.) 10% SDS	0.05	0.1	0.2	0.3
5.) Ammonium persulfate**	0.025	0.05	0.1	0.15
6.) TEMED**	0.001	0.01	0.02	0.03
Total volume	5.027	10.06	20.12	30.18

** ใส่เป็นลำดับสุดท้าย

ตารางที่ 4 ปริมาณสารเคมีสำหรับเตรียมเจลรันนิ่งเข้มข้นร้ออยละ 10

Cocktail running gel	1 plate (ml)	2 plate (ml)	4 plate (x2) (ml)	6 plate (x3) (ml)
1.) Acrylamide	1.667	3.333	6.667	10.000
2.) 1.5 M Tris (pH 8.8)	1.25	2.5	5	7.5
3.) DI water	2.007	4.007	8.013	12.02
4.) 10% SDS	0.05	0.1	0.2	0.3
5.) Ammonium persulfate**	0.025	0.05	0.1	0.15
6.) TEMED**	0.001	0.01	0.02	0.03
Total volume	5	10	20	30

** ใส่เป็นลำดับสุดท้าย

ตารางที่ 5 ปริมาณสารเคมีสำหรับเตรียมเจลรันนิ่งเข้มข้นร้ออยละ 15

Cocktail running gel	1 plate (ml)	2 plate (ml)	4 plate (x2) (ml)	6 plate (x3) (ml)
1.) Acrylamide	1.25	2.5	5	7.5
2.) 1.5 M Tris (pH 8.8)	1.25	2.5	5	7.5
3.) DI water	2.424	4.84	9.68	14.52
4.) 10% SDS	0.05	0.1	0.2	0.3
5.) Ammonium persulfate**	0.025	0.05	0.1	0.15
6.) TEMED**	0.001	0.01	0.02	0.03
Total volume	5	10	20	30

** ใส่เป็นลำดับสุดท้าย

ตารางที่ 6 ปริมาณสารเคมีสำหรับเตรียมเจลรันนิ่งเข้มข้นร้อยละ 7.5

Cocktail running gel	1 plate (ml)	2 plate (ml)	4 plate (x2) (ml)	6 plate (x3) (ml)
1.) Acrylamide	2.500	5	10	15
2.) 1.5 M Tris (pH 8.8)	1.25	2.5	5	7.5
3.) DI water	1.174	2.340	4.680	7.02
4.) 10% SDS	0.05	0.1	0.2	0.3
5.) Ammonium persulfate**	0.025	0.05	0.1	0.15
6.) TEMED**	0.001	0.01	0.02	0.03
Total volume	5	10	20	30

** ใส่เป็นลำดับสุดท้าย

ตารางที่ 7 ปริมาณสารเคมีใช้สำหรับเตรียมเจลเข้มข้นร้อยละ 4

Cocktail stacking gel	1 แผ่น (มล.)	4 แผ่น (x2) (มล.)	6 แผ่น (x3) (มล.)
1.) Acrylamide	0.625	1.25	1.875
2.) 1.5 M Tris (pH 8.8)	1.25	2.5	3.75
3.) DI water	3.05	6.0	9.15
4.) 10% SDS	0.05	0.1	0.15
5.) Ammonium persulfate**	0.025	0.05	0.075
6.) TEMED**	0.0025	0.005	0.0075
Total volume	5.0025	9.905	15.0075

** ใส่เป็นลำดับสุดท้าย

เทน้ำก้อนที่อยู่ด้านบนออกให้หมด โดยวิธีการอุ่นแล้วเทลงในภาชนะที่ใช้กระดายทิชชูชั้นนำที่บรรจุด้านข้างออกให้หมด

เตรียมสารละลายน้ำและเจลสเต็กกิ้ง (cocktail stacking gel) โดยผสมสารเคมีต่าง ๆ ตามลำดับให้ได้อัตราส่วนตามตาราง

ใช้ไมโครปีเปตขนาด 1000 ไมโครลิตร ดูดสารละลายผสมของสแต็กกิ้งที่กวนผสมกันดี แล้วใส่ด้านบนเจลรันนิ่งที่แข็งตัวแล้วอย่างรวดเร็ว จากนั้นนำ plastic comb ประกอบเข้าด้านบน บริเวณจุดเดียวกับสแต็กกิ้งอย่างรวดเร็ว ให้ขอบของ plastic comb แนวสนิทพอดีกับ short plate เพื่อใช้เป็นช่องสำหรับโหลดโปรตีนตัวอย่าง โดยระวังอย่างให้เกิดฟองอากาศขณะที่ใส่ plastic comb เข้าไปโดยใช้เวลาประมาณ 40-120 นาทีให้เจลสแต็กกิ้งแข็งตัว

เมื่อสแต็กกิ้งแข็งตัวแล้วดึงแผ่น plastic comb ขึ้นช้าๆ ในแนวตั้ง ระวังไม่ให้แผ่นเจลเกิดการโค้งงอหรือเสียรูปทรง

ถอนแผ่น plate ที่เจลแข็งตัวแล้วออกจาก casting stand และ casting frame นำไปประกอบเข้ากับอุปกรณ์อิเล็กโทรด โดยเอา integrated spacer หันออกด้านนอกบริเวณให้ส่วน glass plate จะหันเข้าด้านในของ chamber) ขัดให้เส้นขอบบนของ glass plate ซิดกับขอบยางสีเขียวของตัวอุปกรณ์เพื่อป้องกันการไม่ให้เกิดการร้าวไฟฟองแท็งก์ บัฟเฟอร์ แล้วล็อกให้แน่นดีกับ clamping frame

นำแผ่นเจลที่ประกอบเข้าชุดอุปกรณ์อิเล็กโทรด และ clamping frame แล้ว ใส่ลงใน chamber เติมสารละลายแท็งก์บัฟเฟอร์ให้เต็มบริเวณช่องว่างด้านในของ chamber (ระดับความสูงของแท็งก์ บัฟเฟอร์ ต้องเสมอ กับแผ่นเจลเสมอขณะที่โหลดตัวอย่างสารละลายโปรตีนเข้าไป เพื่อป้องกันการฟุ้งกระจายของโปรตีนข้ามเลนมา) ขณะที่ระดับน้ำแท็งก์ บัฟเฟอร์ บริเวณ chamber ด้านนอกจะต้องอยู่ในระดับที่สูงกว่าเส้นลวดนำไฟฟ้า เพื่อให้เกิดการไฟฟองผ่านของกระแสไฟได้ ในระบบเตรียมว่าง sample loading guide ลงด้านบนของแผ่นเจล จากนั้นทำการโหลดตัวอย่างโปรตีนลงในช่องที่ทำไว้ปริมาณด้านบน โดยเริ่มโหลดสารละลายโปรตีนมาตรฐาน (standard marker protein) ก่อนเท่ากับ 4 ไมโครลิตร เตรียมจากสารละลายโปรตีนมาตรฐาน (standard board range) และสารละลายทริทเมนต์บัฟเฟอร์ชนิดที่มีเบต้าเมอร์แคปโตเอทานอลปริมาตร 100 ไมโครลิตร ใส่หลอดไมโครเซ็นทริฟิวชั่นขนาด 1.5 มิลลิลิตร (อัตราส่วน 20 ต่อ 1) ปั่นผสมให้เข้ากัน ถ่ายเก็บใส่ใน 1.5 มิลลิลิตร ไมโครเซ็นทริฟิวชั่นหลอดที่ -20 องศาเซลเซียส เมื่อต้องการใช้งานให้นำออกมารีดที่อุณหภูมิห้องจนละลายเป็นของเหลว นำไปให้ความร้อนในอ่างน้ำเดือดเป็นเวลา 5 นาที ตัวอย่างสารละลายโปรตีนที่ผสมกับทริทเมนต์บัฟเฟอร์ที่มีเบต้าเมอร์แคปโตเอทานอลนำไปต้มให้ความร้อนที่เวลา 5 นาทีเช่นเดียวกัน เมื่อครบเวลานำออกตั้งไว้ที่อุณหภูมิห้องให้สารละลายเย็นตัวก่อน โหลดเข้าแผ่นเจล

เมื่อโหลดสารละลายโปรตีนมาตรฐานเสร็จแล้ว จึงโหลดสารละลายโปรตีนตัวอย่างควรใช้เวลาในขั้นตอนการนี้ดี โปรตีนให้น้อยที่สุด เพื่อป้องกันการแพร่เข้าหากันของสารละลายโปรตีนตัวอย่างที่อยู่ใกล้กัน

ปิดฝา chamber (ให้ขั้วสีแดงต่อเข้ากับขั้วสีแดงของ electrode ส่วนสายสีดำก็ต่อเข้ากับขั้วสีดำ) นำไปต่อเข้ากับเครื่องจ่ายกระแสไฟ (power supply) ให้ความต่างศักย์ 120 โวล์ต (โปรตีนจะเคลื่อนที่จากด้านบนลงมาด้านล่าง ประมาณ 155 นาที) โดยให้สังเกตฟองก้าซเกิดขึ้นจากเส้นลวดแสดงถึงว่าเครื่องจ่ายกระแสไฟฟ้าทำงานได้เป็นปกติ และจะสังเกตแอบสีน้ำเงินของโปรตีนเริ่มเคลื่อนที่ลงจนมาใกล้กับขอบด้านล่างของแผ่นเจล ให้ทำการหยุดให้กระแสไฟฟ้า แกะแผ่นเจลออกเพื่อนำไปข้อมูลโปรตีนในขั้นตอนต่อไป

4.4 การข้อมูลโปรตีน

ถอดแผ่นเจลออกโดยค่อยๆ งัดให้ glass plate และ integrated spacer แยกออกจากกัน ด้วย plastic plate โดยกรีดที่ชุดรอยต่อของเจลกับกระดาษแยกออกจากแผ่น glass plate แล้วจะเห็นแผ่นเจลออกมากโดยเริ่มนัดจากขอบเจลด้านล่างด้านใดด้านหนึ่ง แล้วนำใส่ในกล่องพลาสติกที่มีฝาปิดมิดชิดซึ่งภายในบรรจุ staining solution ไว้แล้ว

นำกล่องพลาสติกที่มีแผ่นเจลตัวอย่างมาเขย่า ตั้งความเร็วรอบของการเขย่าที่ 80 รอบต่อนาทีเพื่อให้สีข้อมูลติดกับโปรตีน ใช้เวลา 1 ชั่วโมง

เทสีข้อมูลทึบในวดทึบสาร จากนั้นเท destaining solution ลงไปแทนที่ เบื้องต้นเวลาเป็นเวลา 1 ชั่วโมงครึ่ง (ทำการเปลี่ยน destaining solution ใหม่ทุก ๆ 15 นาที) จนปรากฏลักษณะของแอบสีน้ำเงินที่ชัดเจนในบริเวณที่มีโปรตีน และบริเวณแผ่นเจลที่ไม่มีโปรตีนจะเป็นลักษณะเจลใส ไม่มีสี

เท destaining solution ทึบไปแล้วเติมน้ำกลั่นแทน เขย่า ๆ ต่อเป็นเวลา 15-20 นาที เพื่อให้ destaining solution ละลายออกมานานหมวด แล้วเทน้ำล้างทึบ เติมน้ำกลั่นเข้าไปอีกร่วงตั้งทึบไว้เพื่อรอการทำแห้งเจลต่อไป โดยสามารถเก็บไว้ในลักษณะนี้ได้นานประมาณ 12 ชั่วโมง

4.5 การทำแห้งตัวอย่าง

เทแผ่นเจลที่ destain เรียบร้อยแล้วในอ่างพลาสติกขนาดเล็กที่ใส่น้ำกลั่นเตรียมไว้ประมาณหนึ่ง ใช้กระดาษแข็งขนาด กว้าง x ยาว เท่ากับ 10 x 12 เซนติเมตร ช้อนแผ่นเจลขึ้นไว้ด้านบน แล้วจัดเรียงให้ได้ตัวແນ່ງສາຍงานแล้วใช้มือทึบสอง (สวมถุงมือทุกครั้ง) ข้างกันเบา ๆ เพื่อไม่ให้แผ่นเจลเคลื่อนออกจากการแผ่นกระดาษแข็ง ยกแผ่นกระดาษแข็งที่มีแผ่นเจลประกอบด้านบนขึ้นช้า ๆ โดยยกด้านที่ติดกับส่วนล่างของแผ่นเจลขึ้นก่อนในลักษณะเอียงไปด้านหน้าให้น้ำไหลออก แล้วนำไปวางบนเครื่องทำแห้งของเจล (Gel dryer) นำแผ่นเจลไปทำแห้งที่อุณหภูมิ 55 องศาเซลเซียส เป็นเวลา 1.40 ชั่วโมง สังเกตได้ว่าแผ่นเจลที่แห้งจะสามารถถอดออกจากแผ่นพลาสติกได้โดยง่าย

5. สารเคมีสำหรับเตรียมการวิเคราะห์ค่าปริมาณพื้นผิวไฮโดรฟอบิก

5.1 การเตรียมสารละลาย ANS เข้มข้น 8 มิลลิโนมาร์ท ในฟอสเฟตบัฟเฟอร์ พีเอช 7.0

เตรียมได้ชั่งโซเดียมฟอสเฟต 0.3480 กรัม ของ NaH_2PO_4 ใส่ในบีกเกอร์เกอร์ขนาด 50 มิลลิลิตรที่หุ้มด้วยแผ่นอะลูมิเนียมฟอลอย์ไว้โดยรอบเพื่อป้องกันแสง เติมน้ำกลัน 15 มิลลิลิตร จากนั้นปรับพีเอช เท่ากับ 7.0 จากนั้นเติม ANS 56.86 มิลลิกรัม ลงไปผสมปรับพีเอช สารละลายให้ได้เท่ากับ 7.0 อีกครั้ง โดยการสารละลายตลอดเวลา เมื่อละลายหมดแล้วทำการละลายใส่ในขวด วัดปริมาตรขนาด 25 มิลลิลิตร ปรับปริมาตรด้วยน้ำกลัน เทใส่ขวดสีชาที่หุ้มด้วยกระดาษอะลูมิเนียมฟอลอย์ย่างมิดชิด แข็งเก็บที่อุณหภูมิ 4 องศาเซลเซียส (เมื่อเก็บไว้ ANS จะตกตะกอน ดังนั้นจึงควรเขย่าหรือการสารละลายทุกครั้งก่อนใช้งาน)

5.2 การเตรียมสารละลายโซเดียม คอร์บอเนต/ โซเดียมไบคาร์บอเนต บัฟเฟอร์ ($\text{Na}_2\text{CO}_3/\text{NaHCO}_3$) เข้มข้น 50 มิลลิโนมาร์ท พีเอช 10.0

ตามวิธีการของ Stoll และ Blanchard (1990) เตรียมสารละลายเอ (เตรียมโดยชั่งแอนไฮดรัสโซเดียมคาร์บอเนต 21.1 กรัม ละลายในน้ำกลัน ปรับปริมาตรเป็น 1 ลิตร) และสารละลายบี (เตรียมโดยชั่งโซเดียมไบคาร์บอเนต 16.8 กรัม ละลายในน้ำกลัน ปรับปริมาตรเป็น 1 ลิตร) ผสมสารละลายเอ กับ สารละลายบี ในอัตราส่วนของ เอ ต่อ บี เท่ากับ 137.5 ต่อ 112.5 มิลลิลิตร แล้วปรับปริมาตรด้วยน้ำกลันให้ได้ 1000 มิลลิลิตร ค่าพีเอชสุดท้ายที่วัด ได้เท่ากับ 10.0

6. สารเคมีสำหรับเตรียมการวิเคราะห์หิมุชัลไฮดรอล และไดชัลไฟล์

6.1 บัฟเฟอร์สำหรับวิเคราะห์หิมุชัลไฮดรอล (Total SH)

6.1.1 Tris-HCl บัฟเฟอร์

เตรียมสารละลาย Tris-HCl บัฟเฟอร์ เข้มข้น 0.5 โนมาร์ท ประกอบด้วย EDTA (เข้มข้น 10 มิลลิโนมาร์ท และยูเรียเข้มข้น 8 โนมาร์ท (มีพีเอชเท่ากับ 8.0) เตรียมได้โดยชั่ง Tris-HCl (น้ำหนักโมเลกุล เท่ากับ 121.14 กรัม ต่อ โนมล) 30.285 กรัม EDTA 1.46 กรัม (น้ำหนักโมเลกุล เท่ากับ 292.25 กรัม ต่อ โนมล) และยูเรีย 240.24 กรัม (น้ำหนักโมเลกุล เท่ากับ 60.06 กรัม ต่อ โนมล) เทสารทึบหมุดในบีกเกอร์ขนาด 1000 มิลลิลิตร เติมน้ำกลัน 300 มิลลิลิตร กวนผสมให้ละลาย แล้วปรับค่าพีเอชของสารละลายบัฟเฟอร์ด้วยกรดไฮโดรคลอริกเข้มข้นให้ได้เท่ากับ 8.0 ถ่ายสารละลายที่ปรับค่าพีเอชแล้วใส่ในขวดปริมาตรขนาด 500 มิลลิลิตร ปรับปริมาตรด้วยน้ำกลันให้ครบ 500 มิลลิลิตร เก็บสารละลายบัฟเฟอร์ไว้ในขวดสีชาที่อุณหภูมิห้อง

6.1.2 2-nitrobenzoic acid (DTNB)

DTNB เข้มข้นร้อยละ 0.1 (พีเอชเท่ากับ 7.0) ในสารละลายนโซเดียมฟอสเฟต (NaH_2PO_4) เข้มข้น 50 มิลลิโนมาร์ เตรียมได้โดยชั่ง DTNB 0.1 กรัม และ NaH_2PO_4 0.690 กรัม ใส่ลงในบีกเกอร์ขนาด 100 มิลลิลิตร เติมน้ำกลั่นปริมาตร 50 มิลลิลิตร กวนผสมให้ละลาย แล้วปรับค่าพีเอช ให้ได้เท่ากับ 7.0 ด้วยโซเดียมไฮดรอกไซด์เข้มข้น 0.1 โนมาร์ ถ่ายสารละลายนี้ที่ปรับค่าพีเอช แล้วใส่ในขวดวัดปริมาตรขนาด 100 มิลลิลิตร ปรับปริมาตรด้วยน้ำกลั่นให้ครบ 100 มิลลิลิตร ถ่ายสารละลายนี้ในขวดสีชาน้ำไปเก็บไว้ในที่อุณหภูมิ 4 องศาเซลเซียส

6.2 การเตรียมบัฟเฟอร์สำหรับวิเคราะห์หมู่ชัลไอกซ์วิล และหมู่ไดชัลไฟฟ์ (Total SH + SS)

6.2.1 Tris-HCl บัฟเฟอร์

สารละลายนีตรีมี Tris-HCl บัฟเฟอร์ เข้มข้น 0.5 โนมาร์ ที่ค่าพีเอชเท่ากับ 9.5 ประกอบด้วย EDTA เข้มข้น 10 มิลลิโนมาร์ ยูเรีย เข้มข้น 8 โนมาร์ และ โซเดียมชัลไฟฟ์ เข้มข้น 100 มิลลิโนมาร์ เตรียมโดยการชั่ง Tris-HCl 30.285 กรัม (น้ำหนักโนเมเลกุล เท่ากับ 121.14 กรัม ต่อโนมล) EDTA 1.46 กรัม (น้ำหนักโนเมเลกุล เท่ากับ 292.25 กรัม ต่อ โนมล) ยูเรีย 240.24 กรัม (น้ำหนักโนเมเลกุล เท่ากับ 60.06 กรัม ต่อ โนมล) และ โซเดียมชัลไฟฟ์ 6.302 g (น้ำหนักโนเมเลกุล เท่ากับ 126.04 กรัม ต่อ โนมล) ใส่ในบีกเกอร์ขนาด 1000 มิลลิลิตร เติมน้ำกลั่นปริมาตร 300 มิลลิลิตร กวนผสมให้ละลาย แล้วปรับพีเอช ของสารละลายนี้ให้ได้ 9.5 ด้วยกรดไฮโดรคลอริกเข้มข้น ถ่ายสารละลายนี้บัฟเฟอร์ที่ปรับพีเอช แล้วใส่ในขวดวัดปริมาตรขนาด 500 มิลลิลิตร ทำการปรับปริมาตรด้วยน้ำกลั่นให้ครบ 500 มิลลิลิตร ถ่ายสารละลายนี้บัฟเฟอร์ลงในขวดสีชาน้ำไปเก็บไว้ที่อุณหภูมิห้อง

6.3 การสังเคราะห์ 2-nitro-5-thiosulfobenzoate (NTSB)

ชั่ง DTNB 100 มิลลิกรัม และ โซเดียมชัลไฟฟ์ 0.126 กรัม ใส่ในบีกเกอร์ขนาด 10 มิลลิลิตร เติมน้ำกลั่นปริมาตร 5 มิลลิลิตร กวนผสมให้ละลาย จากนั้นปรับค่าพีเอช ของสารละลายนี้ให้ได้เท่ากับ 7.5 ด้วยสารละลายนีตรีมีกรดไฮโดรคลอริกเข้มข้น 0.1 นومอล (จะสังเกตเห็นสีของสารละลายนี้เป็นสีแดง (bright red color)) ถ่ายสารละลายนี้ในหลอดทดลองขนาด 50 มิลลิลิตร นำไปให้ความร้อนในอ่างน้ำควบคุมอุณหภูมิที่ 38 องศาเซลเซียส ในสภาวะทึบแสง พ่นอากาศเข้าไปยังสารละลายนี้ให้เกิดลักษณะเป็นฟองตลอดเวลาเพื่อให้เกิดการออกซิไดช์ของหมู่ชัลไฟฟ์ โดยติดตั้งปั๊มอากาศขนาดเล็ก (ใช้เวลาอย่างน้อยประมาณ 12 ชั่วโมง) โดยระหว่างอย่าให้สารละลายนี้หายไปหมดในระหว่างที่พ่นออกการรักษาระดับของสารละลายนี้ให้มีความสูงที่จุดเดิมเสมอ การสังเคราะห์ NTSB ที่เสร็จสมบูรณ์ น้ำสังเกตได้จากการเปลี่ยนสีของสารละลายนี้จากสีแดงไปเป็นสีเหลืองซีด (pale yellow) แสดงถึง

การออกซิไดซ์ที่สมบูรณ์ ถ่ายสารละลายที่ได้ใส่ขวดวัสดุปริมาตรขนาด 10 มิลลิลิตร ทำการปรับปริมาตรด้วยน้ำกลันให้ครบ 10 มิลลิลิตร ถ่ายสารละลายใส่หลอดไม้ไครเซ็นทริฟิวชันขนาด 1.5 มิลลิลิตร พันปิดด้วยพาราฟิล์มและปิดทับอีกรังด้วยแผ่นอะลูมิเนียมฟอยล์ เก็บสารละลาย NTSB ที่สังเคราะห์ได้ที่ตู้แช่แข็ง -20 องศาเซลเซียส จนกว่าจะใช้งาน โดยสารละลายจะมีอายุการใช้งานประมาณ 6 เดือน

6.4 วิธีการคำนวณปริมาณหมู่ชัลไอดริล (total SH) และหมู่ไดชัลไฟฟ์ (total SS)

$$\text{จากกฎของ Beer ที่ว่า} \quad A = \varepsilon b C$$

โดยที่ C คือ ความเข้มข้นของตัวอย่าง (ในที่นี้คือ Total SH หรือ Total SH+SS)

ε คือ ค่า extinction coefficient ($M^{-1} cm^{-1}$)

b คือ ความยาวหรือระยะทางของเซลล์ (cuvette) ที่ใช้วัดตัวอย่างเท่ากับ 1 เซนติเมตร

A คือ ค่าการดูดกลืนแสง

ดังนั้นจะได้ว่า

$$C = \frac{A}{\varepsilon b}$$

การคำนวณหาปริมาณ Total SH , Total SH + SS และ SS ได้จากการดังต่อไปนี้

$$\mu mol SH/g = 73.57 \times A_{412} \times (D/C)$$

โดยที่ D คือ ค่า Dilution factor

C คือ ความเข้มข้นของตัวอย่าง (มิลลิกรัม ต่อ มิลลิลิตร)

A_{412} คือ ค่าการดูดกลืนแสงของตัวอย่างที่ 412 นาโนเมตร

ส่วนตัวเลข 73.53 ได้จาก $10^6 / 1.36 \times 10^4$ ซึ่ง 1.36×10^4 คือค่า extinction coefficient ($13,600 M^{-1} cm^{-1}$) (Ellman, 1959) และ 10^6 มาจากการเปลี่ยนหน่วยจากไมลาร์ ให้เป็น ไม้ไคร ไมล ต่อ มิลลิลิตร และจากหน่วยมิลลิกรัมของโปรตีนให้อยู่ในหน่วย กรัม ซึ่งอธิบายการคำนวณโดยละเอียดดังสมการข้างล่างนี้

$$C = \frac{A_{412}}{(1.36 \times 10^4 M^{-1} cm^{-1}) \times 1cm}$$

$$C = 0.7353 \times M \times 10^{-4} A_{412}$$

$$C = 0.7353 \times 10^{-4} \times (mol/L) \times \left(\frac{D}{C(mg/ml)} \right) \times A_{412}$$

$$C = 73.53 \times 10^{-6} \times (10^3 \mu mol/ml) \times \left(\frac{D \times 10^3}{C(g/ml)} \right) \times A_{412}$$

$$C = 73.53 \times \frac{D}{C} (\mu mol/g) \times A_{412}$$

7. การเตรียมสารละลายนิวชิงชี

7.1 สารละลายนิวเชียมซัลไฟฟ์ (Na_2O_3S)

การเตรียมสารละลายนิวเชียมซัลไฟฟ์ (Na_2O_3S) 3 ระดับความเข้มข้น คือ 5, 10 และ 15 มิลลิโมลาร์ ปริมาตร 1,000 มิลลิลิตร โดยชั่ง Na_2O_3S เท่ากับ 0.063, 0.126 และ 0.189 กรัม (Na_2O_3S น้ำหนักโมเลกุล เท่ากับ 126.04 กรัมต่อโมล) เทใส่บีบิกอร์ทึ้ง 3 ที่เตรียมไว้ลักษณะเดียวกัน 50 มิลลิลิตร เทใส่ขวดวัดปริมาตรขนาด 1,000 มิลลิลิตร ปรับปริมาตรด้วยน้ำกลั่นให้ครบ 1,000 มิลลิลิตร (เตรียมใหม่ทุกครั้งที่ทำการทดลอง)

7.2 สารละลายนิวเชียมกรดแอกโซบิก

การเตรียมสารละลายนิวเชียมกรดแอกโซบิก 3 ระดับความเข้มข้น คือ 5, 10 และ 15 มิลลิโมลาร์ ปริมาตร 1,000 มิลลิลิตร โดยชั่งกรดแอกโซบิก 0.088, 0.176 และ 0.264 กรัม (น้ำหนักโมเลกุล เท่ากับ 176.13 กรัมต่อโมล) เทใส่บีบิกอร์ที่เตรียมไว้ ลักษณะเดียวกัน 50 มิลลิลิตร เทใส่ขวดวัดปริมาตรขนาด 1,000 มิลลิลิตร ปรับปริมาตรด้วยน้ำกลั่นให้ครบ 1,000 มิลลิลิตร (เตรียมใหม่ทุกครั้งที่ทำการทดลอง)

7.3. สารละลายชีสทีอีน

การเตรียมสารละลายชีสทีอีน 3 ระดับความเข้มข้น 5, 10 และ 15 มิลลิโมลาร์ ปริมาตร 1,000 มิลลิลิตร โดยหั่งชีสทีอีน 0.061, 0.121 และ 0.186 กรัม (นำหนักโมเลกุล เท่ากับ 121.16 กรัมต่อ โมล) เทไส์บีกเกอร์ทั้ง 3 ขนาด 100 มิลลิลิตร ที่เตรียมไว้ ละลายด้วยน้ำกลั่น 50 มิลลิลิตร เทไส์ขวดวัดปริมาตรขนาด 1,000 มิลลิลิตร ที่เตรียมไว้ ปรับปริมาตรด้วยน้ำกลั่นให้ครบ 1,000 มิลลิลิตร (เตรียมใหม่ทุกครั้งที่ทำการทดลอง)

8. การปรับค่าพีอ่อนของน้ำกลั่นเลียนแบบพีอ่อนของสารรีดิวชิงชี้

สารละลายรีดิวชิงชี้ 3 ชนิด คือ โซเดียมซัลไฟฟ์ แอสคอร์บิกแอดสิด และ ชีสทีอีน ทั้ง 3 ระดับความเข้มข้น คือ 5, 10 และ 15 มิลลิโมลาร์ มีค่าพีอ่อนที่แตกต่างกัน โดยโซเดียมซัลไฟฟ์มีค่าพีอ่อนที่ 9.51-9.63 แอสคอร์บิกแอดสิด มีค่าพีอ่อนที่ 3.07-3.30 และ ชีสทีอีน มีค่าพีอ่อนที่ 5.34-5.59 ทำการปรับพีอ่อนน้ำกลั่นให้เท่ากับพีอ่อนของสารละลายรีดิวชิงชี้ โดยใช้สารละลายโซเดียมไฮดรอกไซด์ ปรับค่าพีอ่อนของน้ำกลั่นให้เท่ากับพีอ่อนของสารละลาย โซเดียมซัลไฟฟ์ และชีสทีอีน ที่ระดับความเข้มข้น 5-15 มิลลิโมลาร์ ในกรณีของกรดแอสคอร์บิก ให้ใช้สารละลายกรดซิตริกในการปรับค่าพีอ่อนของน้ำกลั่น จากนั้นนำน้ำกลั่นที่ทำการปรับค่าพีอ่อน แล้ว ไปใช้แทนสารรีดิวชิงชี้ 3 ชนิด เพื่อศึกษาผลของพีอ่อนที่มีต่อค่าความหนืดของแป้ง และเนื้อสัมผัสของข้าวสุกจากตัวอย่างข้าว García ไป

9. การเตรียมสารละลายรีดิวชิงชี้ในสารละลายบัฟเฟอร์

หากความเข้มข้นที่เหมาะสมของสารละลายฟอตเฟลสบัฟเฟอร์ที่มี ความสามารถในการควบคุมค่าพีอ่อนของสารรีดิวชิงชี้ ให้ใกล้เคียงกับค่าพีอ่อนของน้ำปกติ (6.0-7.0) จากการทดลองพบกว่าที่ระดับความเข้มข้นของสารละลายเฟลสบัฟเฟอร์ 0.05 มิลลิโมลาร์ เป็นระดับความเข้มข้นที่เหมาะสมที่จะใช้ในการควบคุมค่าพีอ่อนของสารรีดิวชิงชี้ เตรียมสารละลายเฟลสบัฟเฟอร์ เข้มข้น 0.05 มิลลิลิตร ที่พีอ่อนเท่ากับ 7.0 ตามวิธีการของ Gomori(1995) ซึ่งเป็นการทดสอบระหว่างส่วนของสารละลายเอ (ไดโซเดียมฟอตเฟส ($\text{Na}_2\text{PO}_4 \cdot 2\text{H}_2\text{O}$) เข้มข้น 0.05 มิลลิโมลาร์) ปริมาตร 30.50 มิลลิลิตร (เตรียมได้โดยหั่งไดโซเดียมฟอตเฟส 7.80 กรัม ละลายในน้ำกลั่นปรับปริมาตรให้ครบ 1,000 มิลลิลิตร) กับ สารละลายบี (โนโนโซเดียมฟอตเฟส ($\text{NaH}_2\text{PO}_4 \cdot 2\text{H}_2\text{O}$) เข้มข้น 0.05 มิลลิโมลาร์ ปริมาตร 19.50 มิลลิลิตร (เตรียมโดยหั่งโนโนโซเดียมฟอตเฟส 8.9 กรัม ละลายในน้ำกลั่นปรับปริมาตรให้ครบ 1,000 มิลลิลิตร) ใช้ละลายสารรีดิวชิงชี้แทนน้ำกลั่นปกติ ในการเตรียมตัวอย่างข้าวสุก หรือผสมกับแป้งข้าวแล้วนำไปวัดความหนืดต่อไป

ตารางที่ 8 คุณสมบัติการเกิดเพสท์ของฟลาร์วที่แข็งสารละลายโซเดียมซัลไฟท์ที่อุณหภูมิและเวลาการแข็งต่างกัน

Sample	Solution	Soaking	Peak	Breakdown	Final Viscosity	Setback	Pasting Temp
		solution	(RVU)	(RVU)	(RVU)	(RVU)	(°C)
Fresh	-	-	101.31±1.63 d	40.58±1.10c	125.50±2.96c	64.78±1.54c	89.43±0.46a
Aged	0SS	50°C, 30 min	64.67±3.75a	16.61±0.99a	100.22 ± 3.64a	52.17 ± 0.87a	89.43 ± 0.46a
		50°C, 120 min	73.50±1.54b	17.78±0.27a	114.11±1.39b	58.39±0.17b	90.55±0.85a
		37°C, 360 min	89.28±0.09c	26.83±0.55b	115.53±0.81b	53.08±0.25a	89.95±0.48a
Fresh	-	-	101.31±1.63c	40.58±1.10d	125.50±2.96c	64.78±1.54d	89.43±0.46a
Aged	5SS	50°C, 30 min	73.05±2.28a	20.05±2.42a	108.06±4.53b	55.05±0.54c	89.95±0.95a
		50°C, 120 min	74.44±0.60a	24.72±2.31b	101.76±3.67a	51.92±1.08b	89.42±0.45a
		37°C, 360 min	95.50±0.66b	34.11±0.26c	110.30±1.04b	48.92±0.75a	87.77±1.25a
Fresh	-	-	101.31±1.63d	40.58±1.10c	125.50±2.96d	64.78±1.54d	89.43±0.46b
Aged	10SS	50°C, 30 min	68.50±1.96a	24.03±1.86a	93.86±1.75a	49.39±0.80b	88.38±0.38ab
		50°C, 120 min	75.03±2.29b	23.22±2.30a	106.83±2.83b	55.03±1.21c	89.42 ± 0.89b
		37°C, 360 min	83.47±2.21c	28.95±0.41b	97.81±1.57a	43.95±0.29a	87.28±1.37a

ตัวอักษรพิมพ์เล็กที่แตกต่างกันตามแนวตั้งหมายถึงมีความแตกต่างอย่างมีนัยสำคัญทางสถิติ ($p<0.05$), Fresh หมายถึงฟลาร์วข้าวใหม่, Aged หมายถึง ฟลาร์วข้าวเก่า, SS หมายถึง สารละลายโซเดียมซัลไฟท์ที่ 5, 10 และ 15 มิลลิโมลาร์

ตารางที่ 8 (ต่อ)

Sample	Solution	Soaking solution	Peak (RVU)	Breakdown (RVU)	Final Viscosity (RVU)	Setback (RVU)	Pasting Temp (°C)
Fresh	-	-	101.31±1.63c	40.58±1.10c	125.50±2.96c	64.78±1.54c	89.43±0.46b
Aged	15SS	50°C, 30 min	66.36±1.39a	23.50±2.14a	90.19±2.91a	47.33±0.36b	89.40±1.24b
		50°C, 120 min	68.70 ± 1.53a	23.89 ± 2.68a	93.61 ± 1.98a	48.81 ± 0.47b	89.95 ± 0.48b
		37°C, 360 min	90.42±1.34b	33.75±1.98b	100.70±3.89b	44.03±0.65a	86.67±1.30a

ตัวอักษรพิมพ์เล็กที่แตกต่างกันตามแนวตั้งหมายถึงมีความแตกต่างอย่างมีนัยสำคัญทางสถิติ ($p<0.05$), Fresh หมายถึงฟลาร์วข้าวใหม่, Aged หมายถึง ฟลาร์วข้าวเก่า, SS หมายถึง สารละลายนโซเดียมซัลไฟท์ที่ 5, 10 และ 15 มิลลิโมลาร์

ประวัติผู้เขียน

นางสาวทานตะวัน ตนอมพลกรัง เกิดเมื่อวันที่ 2 กันยายน 2527 มีภูมิลำเนาอยู่ที่จังหวัดนครราชสีมา สำเร็จการศึกษาระดับประถมศึกษาที่โรงเรียนประชารัฐสามัคคี ตำบลสูงเนิน อำเภอสูงเนิน จังหวัดนครราชสีมา ในปี พ.ศ. 2539 จากนั้นได้เข้าศึกษาในมัธยมต้น และมัธยมปลายที่โรงเรียนสูงเนิน ตำบลสูงเนิน อำเภอสูงเนิน จังหวัดนครราชสีมา จนสำเร็จการศึกษาในปี พ.ศ. 2546 ได้เข้าต่อศึกษาในหลักสูตรระดับปริญญาตรีสาขาวิทยาศาสตรบัณฑิต สาขาวิชาเทคโนโลยีอาหารมหาวิทยาลัยเทคโนโลยีสุรนารี และสำเร็จการศึกษาในปี พ.ศ. 2549 และในปี พ.ศ. 2550 ได้เข้าศึกษาต่อในระดับปริญญาโท หลักสูตรปริญญาวิทยาศาสตรมหาบัณฑิต สาขาวิชาเทคโนโลยีอาหารมหาวิทยาลัยเทคโนโลยีสุรนารี โดยในระหว่างศึกษาต่อได้ทำหน้าที่ผู้ช่วยสอนในรายวิชาปฏิบัติการแปรรูปอาหาร 1 วิชาปฏิบัติการแปรรูปอาหาร 2 และ วิชาปฏิบัติการแปรรูปผลิตภัณฑ์เนื้อและสัตว์ปีก

ทุน/ รางวัลที่เคยได้รับ

- ปี 2546 นักศึกษาทุนหลวงพ่อคุณ ปริสุทโธ
- ปี 2547-2549 เป็นนักศึกษาทุนไทยบริจสโตน

ประสบการณ์การทำงาน

- นักศึกษาฝึกงานที่แผนกพัฒนาผลิตภัณฑ์ที่บริษัทเฟรชเมท จำกัด จ.นครปฐม (กันยายน-ธันวาคม พ.ศ. 2549)